



TALLINNA TEHNIKAÜLIKOOL
INSENERITEADUSKOND
Elektroenergeetika ja mehhaproonikainstituut

**ALALISVOOLUÜHENDUSTE MÕJU
VAHELDUVVOOLUVÕRGU DISTANTS KAITSELE**

**IMPACT OF HVDC CONNECTIONS TO AC GRID
DISTANCE PROTECTION**

MAGISTRITÖÖ

Üliõpilane: Leino Schnur

Üliõpilaskood: 192342

Juhendaja: Marko Tealane, releeaitse ja
automaatika ekspert

Kaasjuhendaja: Jako Kilter,
professor

(Tiitellehe pöördel)

AUTORIDEKLARATSIOON

Olen koostanud lõputöö iseseisvalt.

Lõputöö alusel ei ole varem kutse- või teaduskraadi või inseneridiplomit taotletud.

Kõik töö koostamisel kasutatud teiste autorite tööd, olulised seisukohad,

kirjandusallikatest ja mujalt päritnevad andmed on viidatud.

"18" mail 2022.

Autor:

/ allkiri /

Töö vastab bakalaureusetöö/magistritööle esitatud nõuetele

"18" mail 2022.

Juhendaja:

/ allkiri /

Kaitsmisele lubatud

"18" mail 2022.

Kaitsmiskomisjoni esimees

/ nimi ja allkiri /

Lihtlitsents lõputöö reproduutseerimiseks ja lõputöö üldsusele kättesaadavaks tegemiseks¹

Mina _____ Leino Schnur _____ (*autorinimi*)

1. Annan Tallinna Tehnikaülikoolile tasuta loa (lihtlitsentsi) enda loodud teose ALALISVOOLUÜHENDUSTE MÕJU VAHELDUVVOOLUVÕRGU DISTANTSKAITSELE

_____ ,

(*lõputöö pealkiri*)

mille juhendaja on _____ Marko Tealane _____ ,

(*juhendajanimi*)

1.1 reproduutseerimiseks lõputöö säilitamise ja elektroonse avaldamise eesmärgil, sh Tallinna Tehnikaülikooli raamatukogu digikogusse lisamise eesmärgil kuni autorioiguse kehtivuse tähtaja lõppemiseni;

1.2 üldsusele kättesaadavaks tegemiseks Tallinna Tehnikaülikooli veebikeskkonna kaudu, sealhulgas Tallinna Tehnikaülikooli raamatukogu digikogu kaudu kuni autorioiguse kehtivuse tähtaja lõppemiseni.

2. Olen teadlik, et käesoleva lihtlitsentsi punktis 1 nimetatud õigused jäädavad alles ka autorile.

3. Kinnitan, et lihtlitsentsi andmisega ei rikuta teiste isikute intellektuaalomandi ega isikuandmete kaitse seadusest ning muudest õigusaktidest tulenevaid õigusi.

18.05.2022

¹Lihtlitsents ei kehti juurdepääsupiirangu kehtivuse ajal vastavalt üliõpilase taotlusele lõputööle juurdepääsupiirangu kehtestamiseks, mis on allkirjastatud teaduskonna dekaani poolt, välja arvatud ülikooli õigus lõputööd reproduutseerida üksnes säilitamise eesmärgil. Kui lõputöö on loonud kaks või enam isikut oma ühise loomingulise tegevusega ning lõputöö kaas- või ühisautor(id) ei ole andnud lõputööd kaitsvale üliõpilasele kindlaks määratud tähtajaks nõusolekut lõputöö reproduutseerimiseks ja avalikustamiseks vastavalt lihtlitsentsi punktidele 1.1. ja 1.2, siis lihtlitsents nimetatud tähtaja jooksul ei kehti.

LÕPUTÖÖ LÜHIKOKKUVÕTE

<i>Autor:</i> Leino Schnur	<i>Lõputöö liik:</i> Magistritöö
<i>Töö pealkiri:</i> Alalisvooluühenduste mõju vahelduvvooluvõrgu distantskaitsele	
<i>Kuupäev:</i> 18.05.2022	99 /k
<i>Ülikool:</i> Tallinna Tehnikaülikool	
<i>Teaduskond:</i> Inseneriteaduskond	
<i>Instituut:</i> Elektroenergeetika ja mehhaproonika instituut	
<i>Töö juhendaja(d):</i> reelekaitse ja automaatika ekspert Marko Tealane, professor Jaks Kilter	
<i>Töö konsultant (konsultandid):</i>	
<i>Sisu kirjeldus:</i> Käesoleva töö eesmärgiks oli uurida kõrgepinge alalisvooluühenduse toimet vahelduvvoolu võrgu distantskaitsele. Energiasüsteemide arengus on trend alalisvooluühenduste suurenemisele, seda nii erinevate võrkude omavahelise ühendamise tõttu merealuste ühendusliinidega, kui ka tuule- ja päikeseparkide ühendamisel põhivõrguga. Tänapäeval on valdav distantskaitse kasutamine kõrgepingelistele vahelduvvooluvõrkude põhikaitsena. Distantsantskaitse on üldjuhul seadistatud reageerima sünkroongeneraatoritoitelistele lühistele, mistõttu põhjustavad alalisvooluühendused erinevaid distantskaitsereliede väärtoimeid. Töö eesmärgiks on nende tuvastamine ja kaardistamine. Selleks moodustati võrgumudel koos alalisvoolu konverterite ja liiniga. Reaalajasimulaatoriga (RTDS) testiti lühiseid nii kaitstava kui ka kaugreserveeritava liini osas, seda nii alalisvoolumuunduri alaldi kui vaheldi suunal. Katsetati kolme tüüpi alalisvoolumuunduri (voolumuunduri, pingemuunduri ja pingemuunduri koos pingelohu läbimise loogikaga) mõju. Töös teostati lühiskatsed erinevates asukohtades kogu kaitstava ja kaugreserveeritava liini ülatuses. Igas lühisekohas testiti ühe- ja kahefaasilise maalühise ning kahe- ja kolmefaasilise lühise mõju distantskaitsereliale. Alalisvooluühendusi koormati erineva võimsusega, et tuvastada selle mõju distantskaitse reageerimisele. Lühiskatsete visualiseeritud detailsed tulemused on toodud käesoleva töö lisades. Töö tulemusena tehti kindlaks, et klassikalise distantskaitse puhul tekib antud konfiguratsioonis olulisel määral väärtoimeid, mistõttu tuleb alalisvoolu linkide kasutamisel reelekaitse üles ehitada muundurite eripärasid arvestades.	
<i>Märksõnad:</i> Kõrgepinge alalisvool, pingemuundur, võrgukommuteeritav muundur, distantskaitse, Toshiba GRL200 ja Siemens 7SL87.	

ABSTRACT

<i>Author:</i> Leino Schnur	<i>Type of the work:</i> Master Thesis
<i>Title:</i> Impact of HVDC connections to AC grid distance protection	
<i>Date:</i> 18.05.2022	<i>99 pages</i>
<i>University:</i> Tallinn University of Technology	
<i>School:</i> School of Engineering	
<i>Department:</i> Department of Electrical Power Engineering and Mechatronics	
<i>Supervisor(s) of the thesis:</i> Relay protection and automation expert Marko Tealane, professor Jako Kilter	
<i>Consultant(s):</i>	
<i>Abstract:</i> <p>The purpose of this thesis was to study the effect of high voltage direct current connection on the distance protection of the AC grid. In the development of energy systems, there is a trend towards increasing DC connections, both due to the interconnection of different networks by submarine interconnectors and connecting wind and solar parks to the transmission network.</p> <p>Today, the use of distance protection as the main protection for high-voltage AC networks is predominant. Distance protection is generally set to respond to synchronous generator-powered short circuits, which is the reason why DC connections cause different discords of distance protection relays. The purpose of this thesis was the identifying and the mapping of these discords. The grid model comprising DC converters and the line was designed. Real-time simulator (RTDS) was used to test short-circuits for both the protected as well as reserved line on the rectifier and on the inverter side of the DC converter. The effects of three types of DC converters (LCC, VSC and VSC with LVRT) were tested.</p> <p>Short-circuit tests were performed in different locations throughout the length of the protected as well as reserved line. At each short-circuit the effect of one-phase and two-phase ground short-circuit as well as two-phase and three-phase short-circuit on the distance relay was tested. DC connections were loaded with different levels of power to detect its impact on distance protection response. The detailed visualised results of short-circuit tests are presented in the appendices of the thesis. The results of the thesis showed that in the case of a conventional distance protection this configuration causes a significant degree of discord, which is the reason why in designing relay protection using DC links, the specificities of the converters must be taken into account.</p>	
<i>Keywords:</i> High-voltage direct current, HVDC, voltage source converter, line-commutated converter, distance protection relay, Toshiba GRL200, Siemens 7SL87..	

LÕPUTÖÖ ÜLESANNE

Lõputöö teema: **Alalisvooluühenduste mõju vahelduvvooluvõrgu distantskaitsele**

Lõputöö teema inglise keeles: **Impact of HVDC connections to AC grid distance protection**

Üliõpilane: **Leino Schnur, 192342**

Eriala: **Elektroenergeetika**

Lõputöö liik: **Magistritöö**

Lõputöö juhendaja: **Marko Tealane**

Lõputöö kaasjuhendaja: **Prof. Jako Kilter**

(ettevõte, amet ja kontakt)

Lõputöö ülesande kehtivusaeg: **31.01.2023**

Lõputöö esitamise tähtaeg: **18.05.2022**

Üliõpilane (allkiri)

Juhendaja (allkiri)

Õppekava juht (allkiri)

Kaasjuhendaja (allkiri)

SISUKORD

LÕPUTÖÖ LÜHIKOKKUVÕTE	4
ABSTRACT	5
LÕPUTÖÖ ÜLESANNE	6
EESSÕNA	9
LÜHENDITE JA TÄHISTE LOETELU	10
SISSEJUHATUS	11
1. ALALISVOOLUÜLEKANNETE ÜLEVAADE	13
1.1 Alalisvooluühenduste eelised.....	13
1.2 Voolumuundur	16
1.3 Pingemuundur	20
2. ALALISVOOLUÜHENDUSTE VÕIMALIKUD MÕJUD ELEKTRISÜSTEEMI RELEEKAITSELE	23
2.1 Distantskaitse olemus	23
2.2 Muundurite mõju distantskatsele	27
2.3 Distantskaitse toimimine reaalsetes tingimustes	32
3. KATSEMUDELI LOOMINE JA RELEESEADMETE KATSETAMINE.....	34
3.1 Mudel pingemuunduriga	35
3.2 Mudel voolumuunduriga	35
3.3 Distantskaitsesätete arvutamine	38
3.4 Katsetuste teostamine	44
4. KATSETULEMUSTE ANALÜÜS JA MÕJUDE UURIMINE.....	51
4.1 Katsetulemused latil 2 (muunduri importival poolel)	51
4.2 Katsetulemused latil 3 (muunduri eksportival poolel)	54
4.3 Katsetulemused latil 2 (muunduri importival poolel) koos generaatoriga.....	56
4.4 Katsetulemused latil 3 (muunduri eksportival poolel) koos generaatoriga	58
4.5 Katsetulemiste analüüs	60
4.6 Järeldused	68
KOKKUVÕTE	69
KASUTATUD KIRJANDUS	71
LISA 1. C++ script lühiste testimiseks voolumuunduriga liinil 1-2	73
LISA 2. Testitulemused liinil 2-1 LCC-ga	76
LISA 3. Testitulemused liinil 1-5 LCC-ga	77
LISA 4. Testitulemused liinil 2-1 VSC-ga.....	78
LISA 5. Testitulemused liinil 1-5 VSC-ga.....	79

LISA 6. Testitulemused liinil 2-1 VSC ja LVRT-ga	80
LISA 7. Testitulemused liinil 1-5 VSC ja LVRT-ga	81
LISA 8. Testitulemused liinil 3-4 LCC-ga	82
LISA 9. Testitulemused liinil 4-5 LCC-ga	83
LISA 10. Testitulemused liinil 3-4 VSC-ga	84
LISA 11. Testitulemused liinil 4-5 VSC-ga	85
LISA 12. Testitulemused liinil 3-4 VSC ja LVRT-ga	86
LISA 13. Testitulemused liinil 4-5 VSC ja LVRT-ga	87
LISA 14. Testitulemused liinil 2-1 LCC ja generaatoriga	88
LISA 15. Testitulemused liinil 1-5 LCC ja generaatoriga	89
LISA 16. Testitulemused liinil 2-1 VSC ja generaatoriga.....	90
LISA 17. Testitulemused liinil 1-5 VSC ja generaatoriga.....	91
LISA 18. TT-d liinil 2-1 VSC LVRT-ga ja generaatoriga.....	92
LISA 19. TT-d liinil 1-5 VSC LVRT-ga ja generaatoriga.....	93
LISA 20. Testitulemused liinil 3-4 LCC ja generaatoriga	94
LISA 21. Testitulemused liinil 4-5 LCC ja generaatoriga	95
LISA 22. Testitulemused liinil 3-4 VSC ja generaatoriga.....	96
LISA 23. Testitulemused liinil 4-5 VSC ja generaatoriga.....	97
LISA 24. TT-d liinil 3-4 VSC LVRT-ga ja generaatoriga.....	98
LISA 25. TT-d liinil 4-5 VSC LVRT-ga ja generaatoriga.....	99

EESSÕNA

Euroopa on energiectika arengus etappi, kus on toimumas rohepõõre. Rohepõördega kaasneb suur hulk alalisvooluühendusi, sest nii päikese- kui ka tuuleenergeetika puhul on tegemist juhitamatute energiaallikatega, mida saab põhivõrguga ühendada ainult alalisvooolulinkidega. Turu areng nõuab hindade ühtlustumiseks ja turutõrgete kadumiseks erinevate hinnapiirkondade vaheliste ühenduste parandamist. Tihtipeale lahendatakse need ühendused veealuste merekaablitega. Et pikad vahelduvvoolukaablid genereerivad suures koguses võrku koormavat reaktiivenergiat, on majanduslikult otstarbekas lahendus kasutada kõrgepinge alalisvooluühendusi. Viimased mõjutavad oluliselt põhivõrgu katsesüsteemide toimet.

Töö autor on teadlikult huvitunud releekaitsest ja läbis õppepraktika Elering AS releekaitse ja automaatika talitluses. Alalisvooluühenduste mõju vahelduvvoolu releekaitsele on Tallinna Tehnikaülikoolis väheuuritud teema. Sellest lähtuvalt võttis autor vastu juhendaja poolt pakutud väljakutse käesoleva teema osas.

Mudelite koostamisel olid suureks abiks CIGRE poolt avalikuks kasutamiseks disainitud voolu- ja pingemuundurite mudelid, mis võimaldasid uurimistöös arvestatavat ajakulu vähenemist. Eri list tänu soovib autor väljendada juhendajale, kelle näpunäited RSCAD-is modelleerimiseks ja relee testkoodide kirjutamiseks olid märkimisväärse väärtsusega.

LÜHENDITE JA TÄHISTE LOETELU

AC - Vahelduvvool (*Alternating Current*)

CSC - Voolumuundur (*Current Source Converter*)

CIGRE - Suурte elektrisüsteemide rahvusvaheline nõukogu (*Conseil international des grands réseaux électriques*)

DC - Alalisvool (*Direct Current*)

HPF - Kõrgpääsfilter (*High Pass Filter*)

HVAC - Kõrgepingeline vahelduvvool (*High Voltage Alternating Current*)

HVDC - Kõrgepingeline alalisvool (*High Voltage Direct Current*)

IGBT - Isoleeritud paisuga bipolaartransistor (*Insulated-Gate Bipolar Transistor*)

LCC - Voolumuundur (*Line Commutated Converter*)

LPF - Madalpääsfilter (*Low Pass Filter*)

LVRT - Pingelohu läbimise loogika (*Low Voltage Ride Through*)

PWM - Pulsilaiusmodulatsioon (*Pulse Width Modulation*)

RTDS - Digitaalne reaalajasimulaator (*Real Time Digital Simulator*)

SG - Sünkroongeneraator (*Synchronous Generator*)

VSC - Pingemuundur (*Voltage Source Converter*)

SISSEJUHATUS

Elektrivõrkude areng algas tsentraalse elektrijaamade ehitamisega 19. sajandi lõpul. Algselt tekkisid lokaalsed vahelduvvooluvõrgud suuremate elektritarbijate ja -tootjate ümber 20 sajandi algul asuti lokaalseid vörke liitma ühtseteks kõrgepingelisteks vahelduvvooluvõrkudeks (*High Voltage Alternating Current*, HVAC). Kui esmaselt ehitati elektrisüsteemid vahelduvvooluvõrkudena, siis merealuste kaablite kasutuselevõtuga erinevate elektrisüsteemide ühendamiseks tekkis vajadus alalisvooluühenduste järele.

Ajalooliselt esimene tööstuslik katse alalisvooluühenduse abil võimsuse ülekannet teostad toimus 1889 aastal Moutiers ja Lyoni vahel Prantsusmaal ja selle tulemusel saavutati 20 MW võimsuse ülekanne pingel 125 kV 230 km kaugusele.[1] Esimene alalisvoolu merekaabel ehitati Rootsiga mandriosa ja Gotlandi saare vahele aastal 1954.[1] Siit edasi on kõrgepingeliste alalisvooluühenduste (*High Voltage Direct Current*, HVDC) tähtsus erinevate elektrisüsteemide liitjatena pidevalt kasvanud. Lisaks merekaablitel on hakatud alalisvooluühendusi kasutama ka maismaal võimsuse transpordimiseks suurte kauguste taha, sest alalisvooluliinidel puuduvad induktiivsed ja mahtuvuslikud piirangud. Sellega seoses on Kõrgepingelised alalisvooluühendused on muutunud järjest olulisemateks elektrisüsteemide osadeks.

Seoses kõrgepingeliste alalisvooluühenduste arvukuse kasvuga on kerkinud küsimused nende mõjust vahelduvvooluvõrkude releekaitsesüsteemidele. Töö ülesandeks on simuleerida rikkeid paralleelselt toimivate alalis- ja vahelduvvoolu liinide puhul ning uurida nende toimet põhivõrgu distantskaitsele. Lähtuvalt erialastest kirjandusest ja eelnevalt teostatud uurimustest püstitati hüpotees, et klassikalise vahelduvvooluvõrkudele möeldud distantskaitse reageerimisel alalisvooluühenduste toitelistele lühistele on oodata väärtoimeid. Töö eesmärgiks oli antud väärtoimed kaardistada ja pakkuda välja võimalikud lahendused nende vältimiseks.

Käesolevas uurimistöös käsitleti nii voolumuundureid (*Line Commutated Converter*, LCC), kui pingemuundureid (*Voltage Source Converter*, VSC), kusjuures täiendava variandina on katsetatud pingelohu läbimise loogikaga (*Low Voltage Ride Through*, LVRT) varustatud pingemuunduriga ühenduse mõju. Uuritavateks objektideks oli kahte eri tüüpi distantskaitserelée reageerimine lühisele, kui seda toitis alalisvoolumuundur. Alalisvooluühendust koormati vahemikus 100 - 600 MW 100 MW sammuga. Testitavateks kaitsevälineid valiti Siemens SIPROTEC 7SL87 ja Toshiba GRL200. Katsed teostati releekaitsete kolme kaitsetsooni ulatuses ehk vaadeldi nii põhikaitse toimet esimesele liinile kui ka järgneva liini reserveeriva kaitse toimet kuni

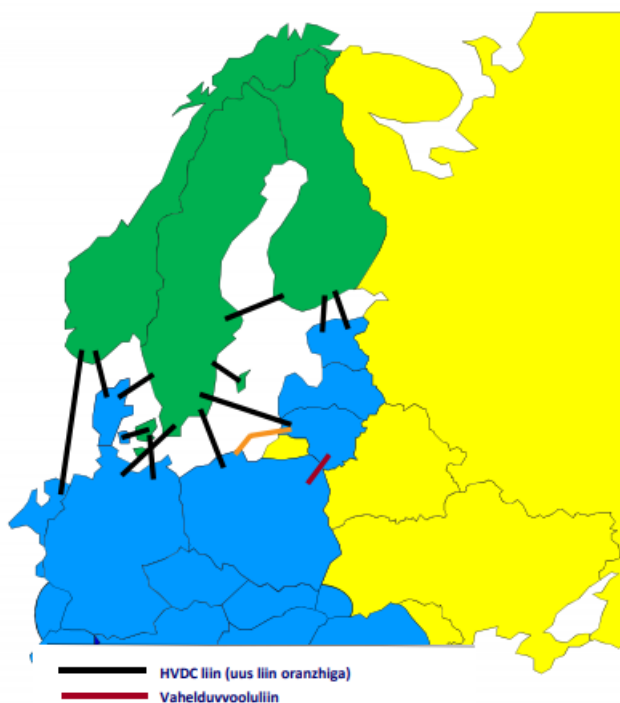
kaugreserveeritava objekti lõpuni. Releed testiti nii alaldi kui vaheldi suunale talitluses. Töö põhiosale täiendavalt testiti alalisvoolumuunduriga samale latile sünkroongeneraatori ühendamise mõjusid. Sünkroongeneraator töötas nominaalvõimsuse 170 MVA juures ja katsetused teostati analoogselt põhikatsega.

Töös on kasutatud süsteemi disainimiseks RSCAD-i ja testimiseks digitaalset reaalajasimulaatorit (*Real Time Digital Simulator*). Releesätete edastamine releedesse Siemens SIPROTEC 7SL87 ja Toshiba GRL200 toimus vastavalt DIGSI ja GR-TIEMS tarkvaraade abil. Katsete automatiseerimiseks kirjutati katseprogrammid tarkvaraga C++.

Käesolev töö jaguneb neljaks peatükiks, millega esimeses tutvustatakse alalisvooluühendustede tööpõhimõtet ja erinevaid alalisvooluühendusi. Teises peatükis näidatakse teoreetiliselt probleemi olemust. Kolmandas peatükis on kirjeldatud katsemudeli ülesehitust ja releekaitsesätete määramist ning katsemetoodikat. Neljandas osas on välja toodud katsetuste tulemused ja lõpuks on järeldusena välja toodud tähelepanekud ja lahendused püstitatud probleemi osas. Lisades 2-25 on ära toodud visualiseeritud katsetulemused nii tabelite kui ringdiagrammidena.

1. ALALISVOOLUÜLEKANNETE ÜLEVAADE

Ajalooliselt võeti alalisvool kasutusele enne vahelduvvoolu. Esimalt kasutati seda 19. sajandi teises pooles lokaalselt, hõõgniidiga valgusallikate toiteks. Elektrivõrkude areng tõi vajaduse võimsuse transpordiks suurematele kaugustele. Hakkas prevalveerima vahelduvvool, sest see võimaldas trafode abil pinget muuta ja seeläbi kadusid vähendada. 20. sajandi keskel alustati esimeste merealuste alalisvooluühenduste rajamist. Sellest alates on alalisvoolu ühenduste areng olnud väga kiire. Joonisel 1.1 on ära toodud tänapäeval Läänemerre rajatud alalisvoolukaabelliinid. Neist üks Leedu-Poola alalisvoolu merealune ühendus on ehitusjärgus.



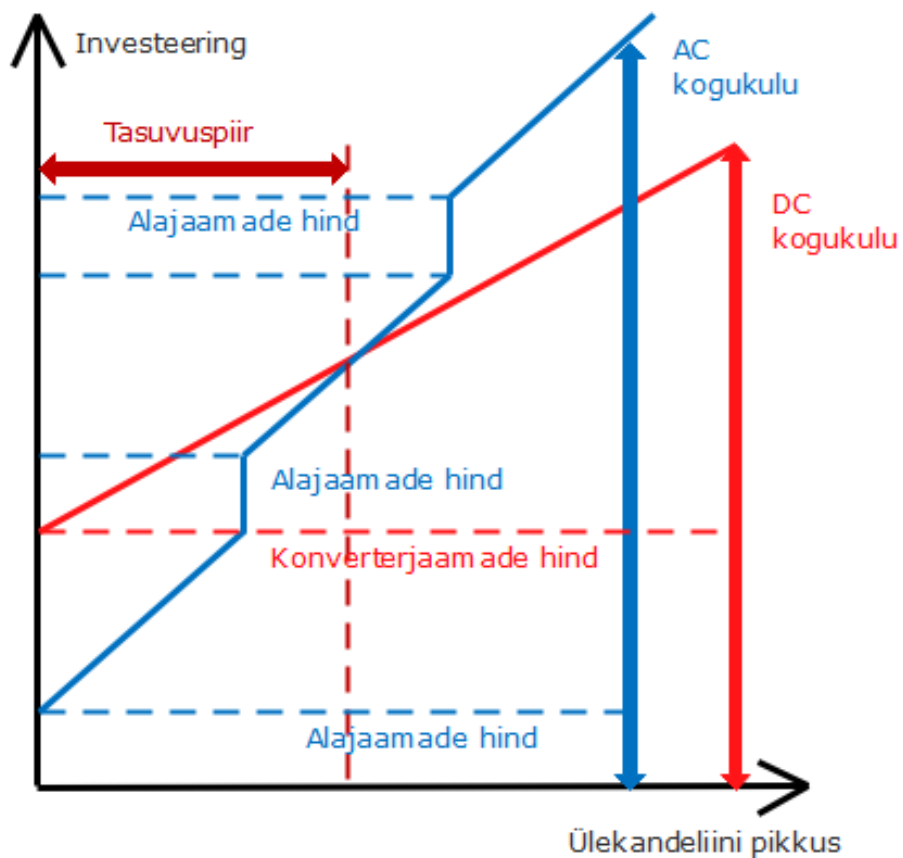
Joonis 1.1 Läänemere alalisvooluühendused[2]

1.1 Alalisvooluühenduste eelised

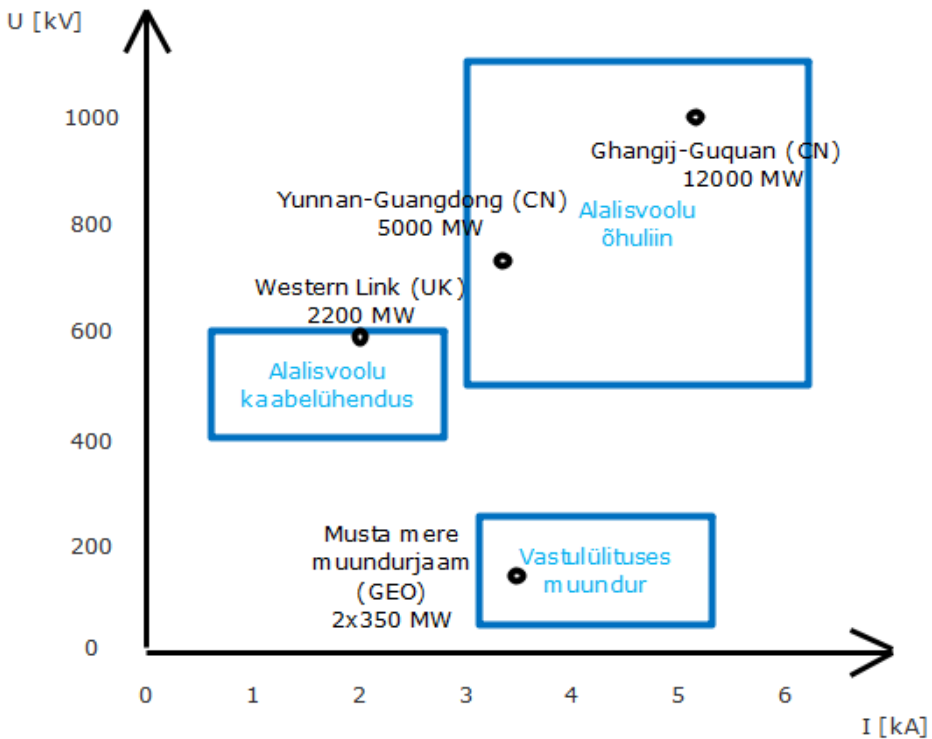
Alalisvoolu (*Direct Current, DC*) ühenduste võidukäiku toetavad mitmed põhjused. Pikkade kaabelliinide kasutamisel vahelduvvooluülekande (*Alternating Current, AC*) puhul toodaksid need suures koguses reaktiivenergiat, mille kompenseerimine on kulukas ja merekaablite puhul ka tehniliselt kompliitseeritud. Vastulülitusega alisvoolumuundur (*back-to-back converter*) on ainuvõimalik lahendus ühendada kahte erinevat sünkroonala. Alalisvooluühendus piirab lühisvoolu ning on võimalik kiiresti ja vabalt valida ülekantavad võimsust ning selle liikumise suunda. Seetõttu tõstavad

kõrgepingelised alalisvoooluliinid ka elektrisüsteemi stabiilsust ning võimaldavad summutada madalsageduslikke süsteemidevahelisi võnkumisi. Alalisvooluühendused on väiksemate kadudega, sest ei ole pinnaefekti (*skin effect*) ja puudub reaktiivvõimsuse ülekanne. Maismaal kasutatakse alalisvoolu õhuliine, nende eeliseks on kitsama koridori vajadus ja väiksem materjalikulu ning liinidel puuduvad induktiivsusest ja mahtuvusest tulenevad pikkusepiirangud.

Alalisvooluõhuliinid muutuvad tasuvaks reeglina üle 600 km pikkuste trasside puhul. Merekaablitel korral on tasuvuspiiriks ca 40 km.[3] Põhjuseks nii vahelduvvoolu kompenseerimisseadmete kui ka suuremate kadude kulu. Tasuvuspiiri leidmine alalis- ja vahelduvvoolu ülekandeliinide vahel on toodud joonisel 1.2. Tänapäeval ulatuvad alalisvoooluliinide pikkused 2000 km-ni ning võimsusülekanne ulatub pinge ± 800 kV juures 12000 MW-ni (joonis 1.3).[4]

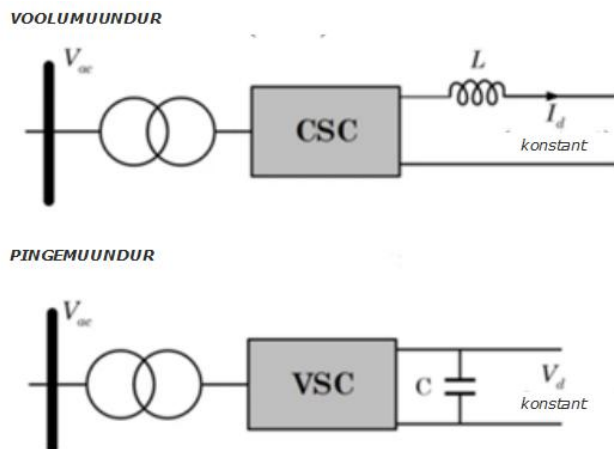


Joonis 1.2 Alalis- ja vahelduvvoolu ülekandeliinide kogukulu võrdlus[3]



Joonis 1.3 Suurimad alalisvooluühendused maailmas[4]

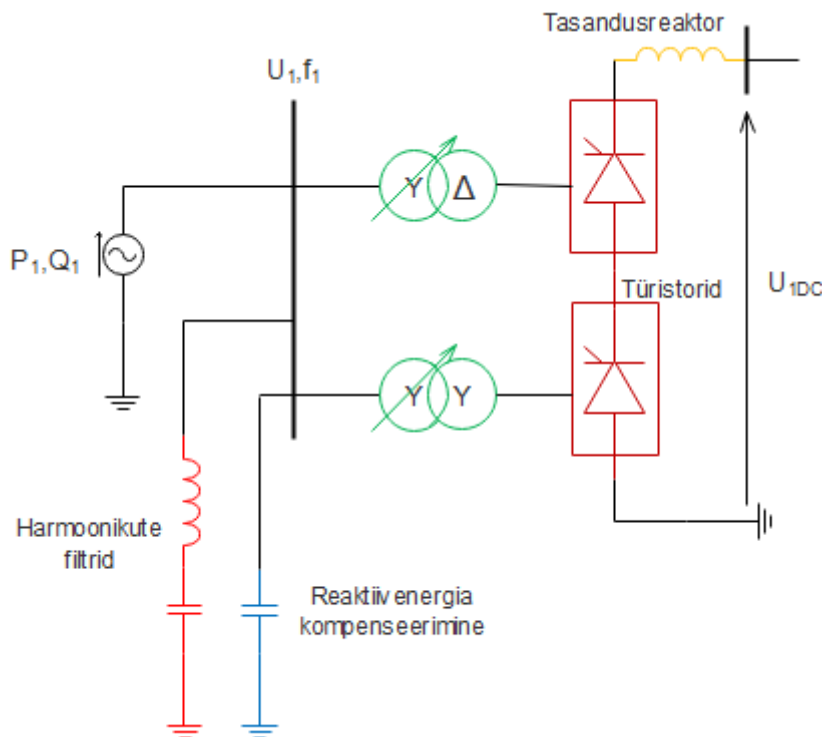
Alalisvoolumuundureid on kahte tüüpi, voolu- ja pingemuundurid. Esimesel puhul väljub konverterist konstantne ühesuunaline vool, teisel juhul on tegemist konverteriga, mis hoiab alalispinge poolel konstantset pinget. Muundurite tööpõhimõtted on nähtavad joonisel 1.4.[5] Esimene muundur on aluseks voolumuunduriga ja teine pingemuunduriga alalisvooluühendusele.



Joonis 1.4 Muundurite tüübidi[5]

1.2 Voolumuundur

Voolumuundur tehnoloogia on vanim alaldusmeetod. Algsest toimus voolumuunduri puhul voolu alaldamine elavhõbedaaure kasutava lülitili abil. Türistoride võidukäik 1970-ndatel aastatel võimaldas selle asendada oluliselt kulutõhusama ja töökindlama pooljuhtlülitustega.[1] Türistoridel põhineva 12-pulsilise ühepooluse�ise alalisvoolu muunduri (*monopolar HVDC converter*) ühejooneskeem on toodud joonisel 1.5.



Joonis 1.5 Ühepooluse�ise voolumuundurjaama ühejooneskeem[6]

Muundurjaama võib teostada ka kahepooluselisena (*bipolar HVDC converter station*), sel juhul lisandub skeemile täiendavad kaks kuuepulsilist silda ühte ja kaks teise muundurjaama. Tagasivool on sel juhul negatiivse pingega ning maandatud punkt jäääb teise ja kolmenda sillaga vahel.

Voolumuunduri põhilised koostisosad

LCC HVDC koosneb alljärgnevatest põhikomponentidest vaadates joonisel 3 vasakult paremale.

Filtrid (joonisel 1.5 punane) on mõeldud harmoonikute summutamiseks. 12-pulsilise skeemi puhul on suurima mõjuga 11 ja 13 harmoonik ja 6-pulsilise skeemi puhul 5 ja 7 harmoonik. filtrid disainitakse takistama vastavate harmoonikute pääsu HVAC vörku.

Kondensaatorpatarei (joonisel 1.5 sinine) on vajalik reaktiivenergia kompenseerimiseks, sest LCC vajab toimimiseks suurel hulgal reaktiivenergiat. Oluliselt lihtsam ja odavam on seda toota konverterjaamas, kui koormata vörku selle transpordiga.

Trafod (joonisel 1.5 roheline) on pinge all muudetavate astmelülititega ja spetsiaalselt projekteeritud konverterjaamaletalumaks harmoonikute suure osakaaluga voolu ja pinget. Konverterjaamas on kaks trafov. Ühe trafo lülitusgrupp on $Y\Delta$ ja teisel YY , et saavutada faasinihe 30° , mis laseb läbi ainult karakteristlikud harmoonikud ja tasandab alalisvoolusignaali.

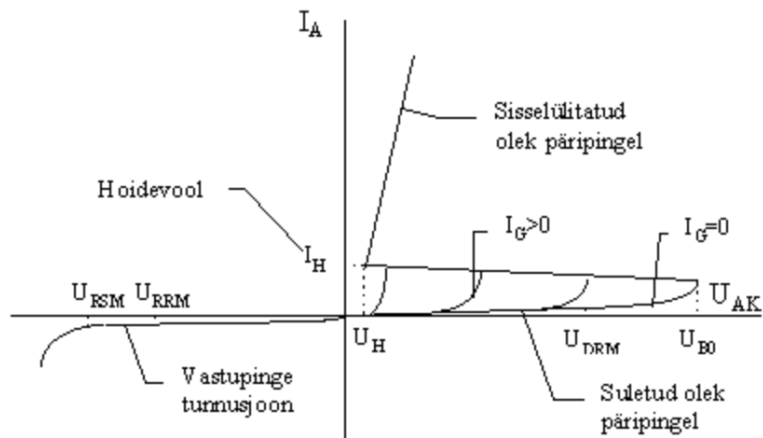
Muundur (joonisel 1.5 pruun) koosneb kuuepulsilistest türistorisildadest (Graetz'i sild)[7]. 12-pulsiline koosneb kahest sillast.

Türistorid (joonisel 1.5 pruun) on pooljuhid, mille ülesandeks on voolu alaldamine ja vaheldamine.

Silumisreaktori (joonisel 1.5 oranž) eesmärgiks on alalisvoolu signaalit elimineerida lainetus, ellimineerida kommutatsioonivead ning ühtlasi piirab see ka lühisvoole ning parandab dünaamilist stabiilsust. Silumisreaktor garanteerib positiivse voolu voo negatiivse poolperioodi ajal.[6]

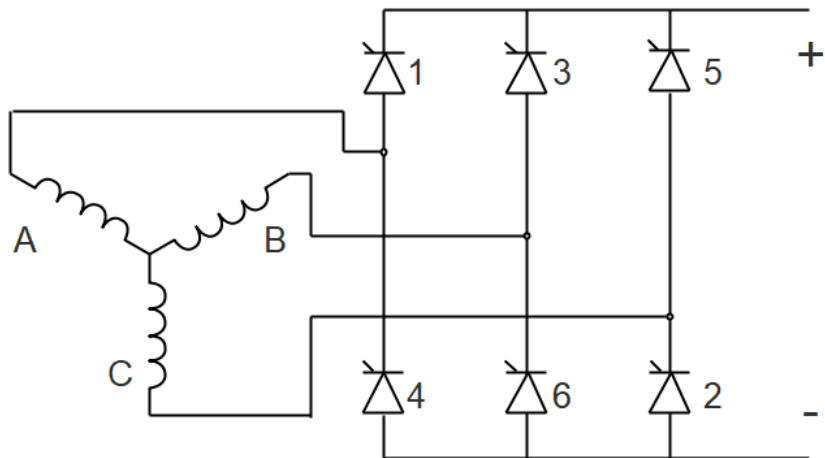
Kuuepulsilise türistorissa toimimispõhimõte

Türistor on jõupooljuhtelement, mille puhul peale tüürvoolu impulsi saamist läbib seda päripinge puhul vool kuni voolu nullini jõudmiseni. Türistori pinge-voolu tunnusjoon on toodud joonisel 1.6. Türistoride eripäraks on juhtivuse katkemine voolu nulli läbimisel. See tähendab, et türistori väljalülitamiseks ei ole võimalik kasutada kontrollsigaali.



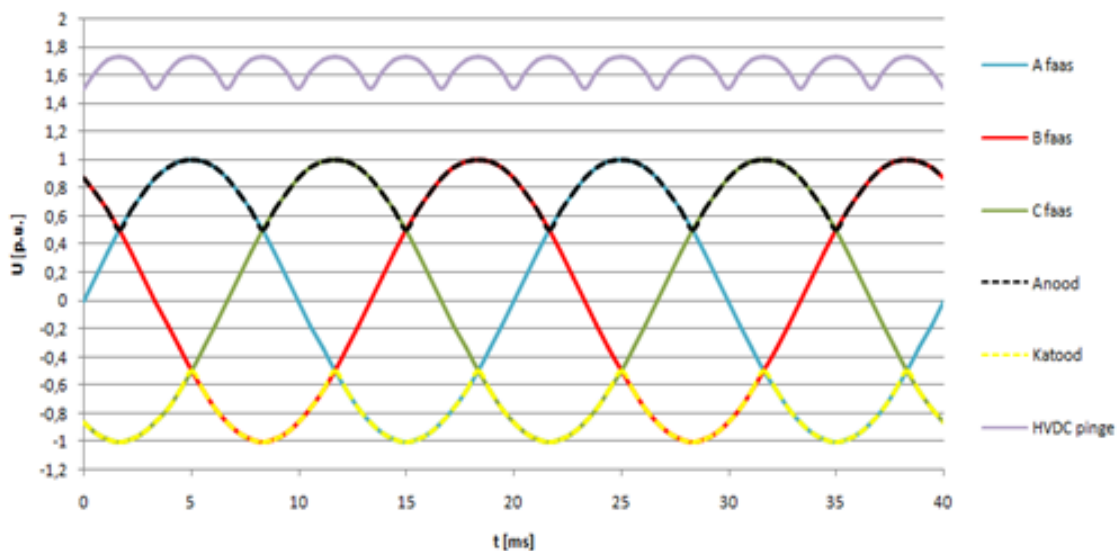
Joonis 1.6 Türistori pingevoolu tunnusjoon[8]

Türistor on kaugele võimsaimate parameetritega ja robustne pooljuhtseade, andes maksimaalseks vastupingeks kuni 8500 V ja voolutaluvuseks 4500 A, mistõttu on nende kasutamine alaldites ka väga levinud.[6] Kõige tavalisem ja lihtsam on kuuepulsiline alaldi. Kuuepulsilise türistoralaldi puhul on kasutusel 6 türistori 3 faasi kohta, mille skeem on nähtav joonisel 1.7.



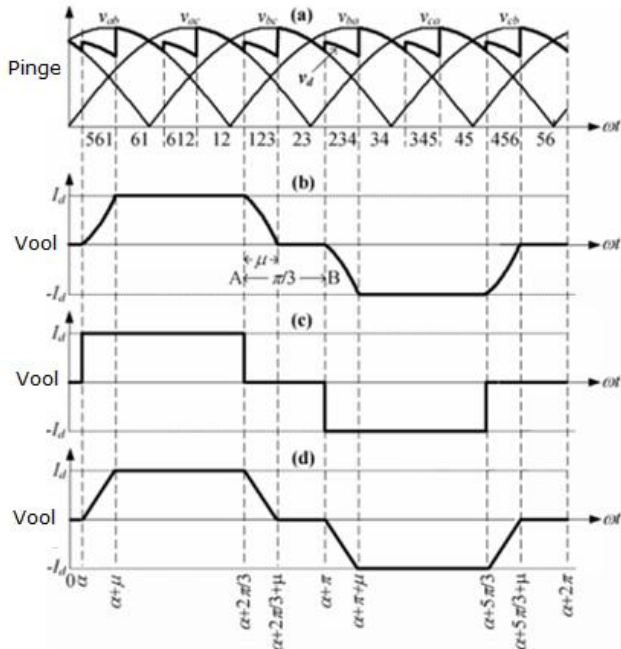
Joonis 1.7 Kuuepulsilise türistor silla skeem[1]

Türistorid lülitatakse vastaval pinge muutusele. Joonisel 1.7 toodud kuuepulsilise türistor silla puhul on türistoride lülitusjärjekord 1 ja 2, 2 ja 3, 3 ja 4, 4 ja 5, 5 ja 6 ning 6 ja 1. Pidevalt juhivad kaks türistori, üks anoodil ja teine katoodil. Lülitustega tulemustena saadakse idealiseeritult joonisel 1.8 lilla värviga toodud signaal.



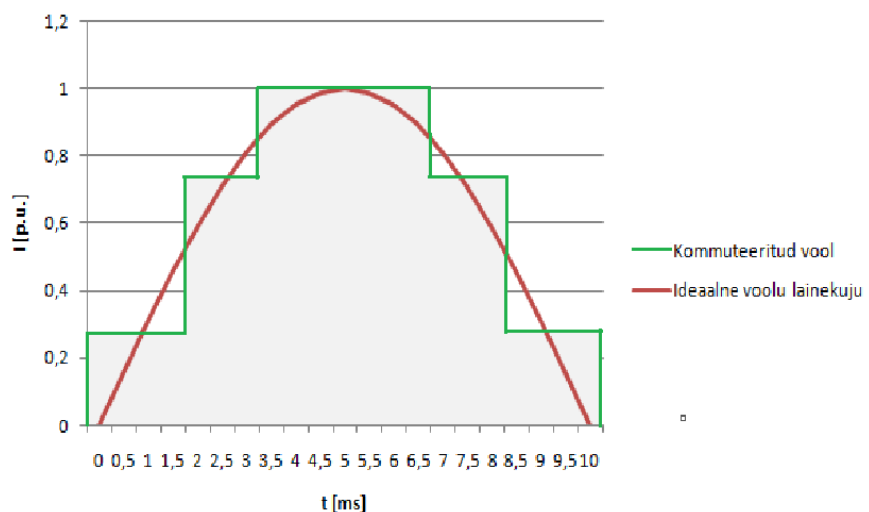
Joonis 1.8 Kuuepulsilise türistor silla signaal

Kui kasutatakse 12 pulsilist konverterit, siis ühe signaali annab $Y\Delta$ trafoga ühendatud sild ja teise YY trafoga ühendatud sild. Seetõttu on signaalid omavahel 30° ehk $2,5$ ms võrra nihkes, mis omakorda tasandab pinget. Tegelik signaal erineb ideaalsest kadude võrra. Kadusid tekitavad süütenurk α ja kommutatsiooniaeg μ (joonis 1.9).



Joonis 1.9 Tegelikud alaldi pinge- ja voolusignaalid[9]

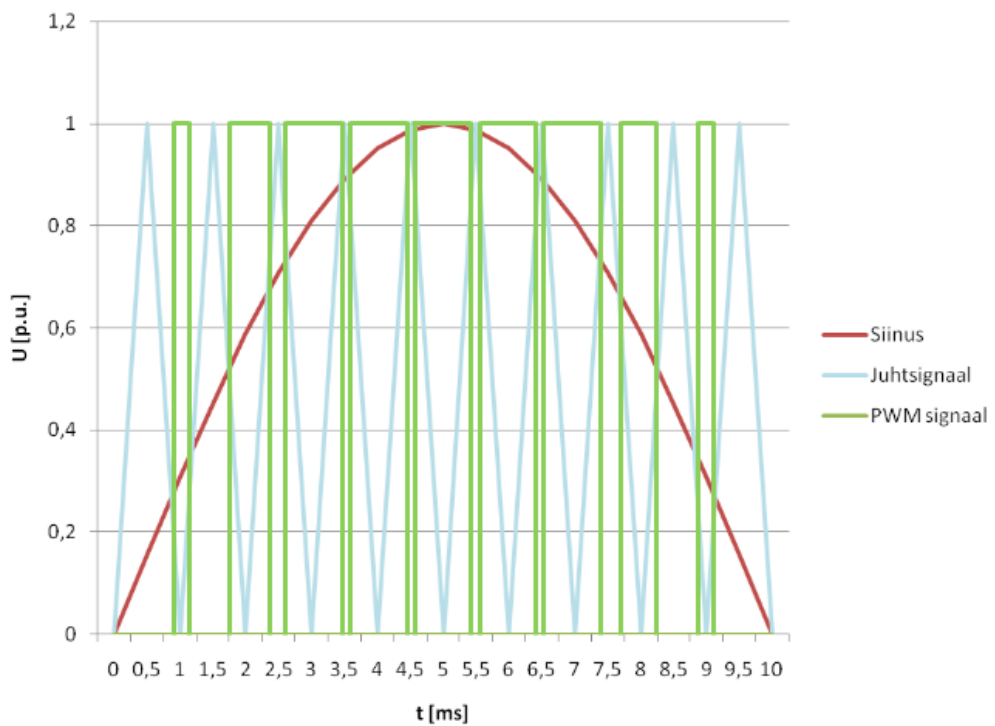
12-pulsilise konverter võimaldab vaheldipoolse voolusignaali muuta astmeliseks, et saavutada suuremat sarnasust AC voolusignaaliga. 12-pulsilise konverteeri poolperioodi voolusignaal on nähtav joonisel 1.10.



Joonis 1.10 12-pulsilise inverteri vooluväljundi poolperiood

1.3 Pingemuundur

Pingemuunduri põhiosaks on isoleeritud paisuga bipolaartransistorid (*insulated gate bipolar transistor, IGBT*). Transistoritel eeliseks türistoride kasutamise ees on võimalus voolu lülitada paisu pinge reguleerimise teel, kui türistoride puhul katkeb juhtivus ainult voolu nullist läbimisel. IGBT transistorid on võimelised teostama lülitusi suure, kuni 50 kHz. sagedusega.[10] Kõrge sagedusega lülitused võimaldavad inverterina toimimisel kasutada pulsilaiusmodulatsiooni (*pulse with modulation, PWM*), toodud joonisel 1.11, millega saab saavutada täpsemalt pinge sinusoidaalse kuju, tekitades kõrgsagedusliku lülituse töttu ainult kõrgemaid harmoonikuid. Neid saab filtreerida väiksemate filtritega kui voolumuunduri puhul, millest tuleneb väiksem maksumus ja väiksemad kaod.[11]

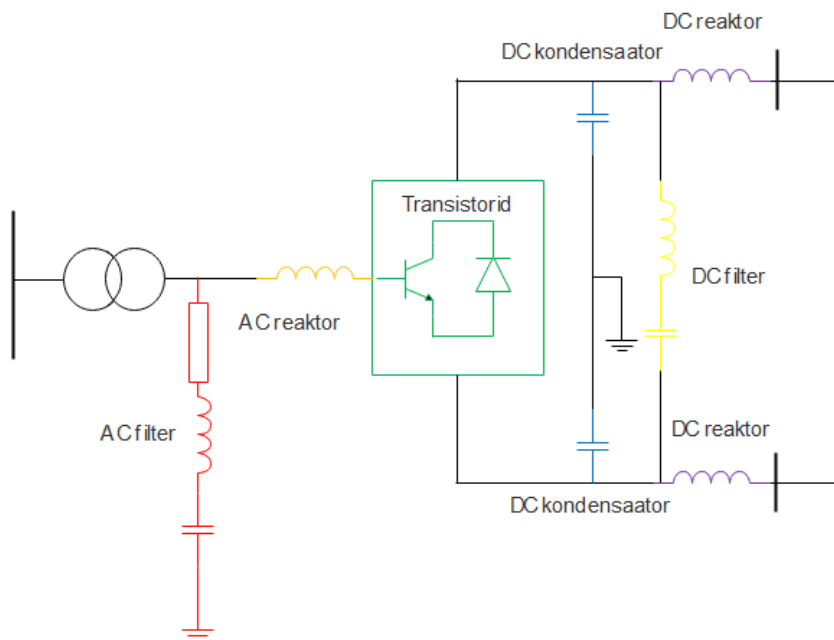


Joonis 1.11 Pulsilaiusmodulatsiooni signaal poolperioodil

Erinevalt voolumuundurist on pingemuunduri puhul võimalik kontrollida aktiiv- ja reaktiivvõimsust üksteisest sõltumatult. Konverter on võimeline nii tootma kui tarbima reaktiivenergiat sõltumatult aktiivenergiavoost. Seetõttu võimaldab pingemuunduriga alalisvooluühendus vahelduvvooluvõrgus teostada pingereguleerimist täiendavate lisakuludeta. Pingemuunduriga ühenduse puhul on võimsuse ülekande reverseerimine kiire (50-100 ms). Oluliseks omaduseks on VSC lingi puhul iseseisva võrgu pingestamise (*black start*) võimekus, s.t. muundur on võimeline pingestama väljalülitunud vahelduvvooluvõrgu ilma sünkroongeneratoreid kasutamata.[6]

Pingemuunduri põhilised koostisosad

VSC konverterjaama ühejooneskeem on toodud joonisel 1.12.



Joonis 1.12 Pingemuunduri ühejooneskeem[6]

Pingemuundur koosneb alljärgnevatest põhikomponentidest vaadates joonisel 12 vasakult paremale.

Trafod (joonisel 1.12 must) on ühefaasilised iga faasi jaoks eraldi. Tavaliselt lisatakse ka neljas trafo, mis reserveerib kõiki trafosid, s.t. on võimeline asendama ükskõik millise faasi trafot. Trafode astmelülititega reguleeritakse konverteeri poolset pinget, et maksimeerida aktiivenergia läbilaskevõimet ning reaktiivenergia tootmist ja tarbimist.

Vahelduvvoolu filtri (LPF, joonisel 1.12 punane) eesmärk on vähendada kõrgemaid harmoonikuid. Erinevalt voolumuundurist ei ole siin filtril reaktiivenergia tootmise funktsiooni ning seetõttu on pingemuunduri filtid oluliselt väiksemad.

Vahelduvvoolu reaktori (joonisel 1.12 oranž) eesmärgiks on vähendada lühisvoolusid, seda eriti tugeva vahelduvvooluvõrgu korral. IGBT on suurte lühisvoolude osas tundlik ning üldjuhul on reaktori paigaldamine odavam, kui kõrgema lühisvoolutaluvusega transistorite soetamine.

Transistorid (joonisel 1.12 roheline) on pooljuhid, mille ülesandeks on voolu alaldamine ja vaheldamine. Iga konverteeri lüüs sisaldab jadamisi ühendatud

transistoreid ja on disainitud nii, et ühe transistori purunemine ei blokeeri lüüsi tööd. Purunenud transistorid vahetatakse välja hooldustööde käigus.

Alalisvoolu kondensaatorite (joonisel 1.12 sinine) ülesandeks on ühtlase pinge hoidmine transistorite lülitushetkedel ja alalisvoolu poolele pääsevate harmoonikute summutamine.

Alalisvoolu filter (joonisel 1.12 kollane) võidakse paigaldada kindlate harmoonikute filtreerimiseks, aitab vähendada Alalisvoolu kondensaatorite mahtuvust.

Alalisvoolu reaktor (joonisel 1.12 lilla) on paigaldatud vähendamaks alalisvoolumiini lühisvoolusid ja kombinatsioonis kondensaatoritega on disainitud vähendama süsteemi resonantsi.

2. ALALISVOOLUÜHENDUSTE VÕIMALIKUD MÕJUD ELEKTRISÜSTEEMI RELEEKAITSELE

Releekaitse eesmärgiks on kaitsta elektrisüsteemi seadmeid lühisvoolude mõjude eest. Releekaitse esmane ülesanne on lahutada lühisvool võimalikult kiiresti, et vältida seadmete hävimist, säilitades samal ajal selektiivsuse, et vältida elektrisüsteemist mitterikklistele elementide eraldamine. Releekaitse peab täitma kõiki alljärgnevaid põhinõudeid[12]:

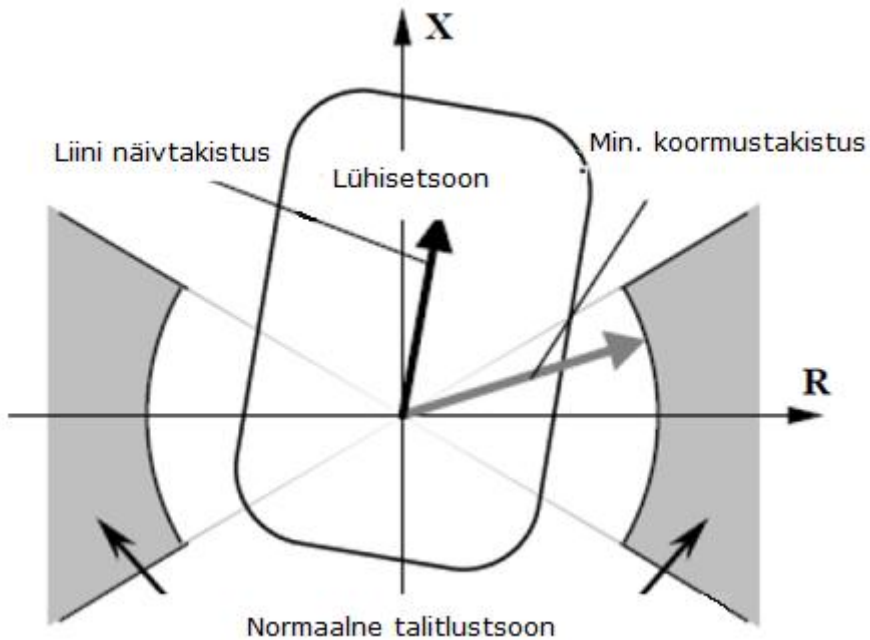
- Hölmavus - kaitstud peavad olema kõik seadmed
- Selektiivsus - vigane element tuleb eraldada võimalikult väikese arvu elementide väljalülitamisega
- Tundlikkus - peab reageerima võimalikult väiksele tunnussuuruse muutumisele säilitades selektiivsust
- Töökindlus
- Töökiirus

2.1 Distantskaitse olemus

Kõrgepingeliinide kaitseks kasutatakse voolukaitset, distantskaitset ja vähemal määral ka pikidiferentsiaalkaitset. Voolukaitse on kasutuses keskpingeliinide põhikaitseks ja kõrgepingeliinide puhul reservkaitseks. Pikidiferentsiaalkaitse on kulukas ja piiratud liinipikkusega ning seetõttu kasutusel ainult kriitilisemates kohtades. Käesolevas töös on käsitletud distantskaitset, kui pikkade elektriliinide puhul valdavat põhikaitset. Distantskaitse mõõteelemendiks on takistusrelee ja tööpõhimõte pöhineb lühise kauguse arvutamisel nävtakistuse järgi. Kogu energiasüsteemi turvaliseks talitluseks on kriitiline, et antud arvutus toimuks õigetel alustel. Distantskaitse toimimisprintsiipe ilmestab joonis 2.1. Korrektselt toimiv distantskaitse reageerib lühistele, kui nävtakistus osutub olema kaitsetsoonis, kaitsetsoone on tavaliselt mitu, ja ei reageeri normaalsele töökoormusele (joonisel 2.1 hall ala). Distantskaitse puhul on tegemist minimaalkaitsega, kus kaitse toimimise tingimuseks on valem 2.1

$$Z_s < Z_v, \quad (2.1)$$

kus Z_s - tunnussuuruse sätteväärthus,
 Z_v - kaitse välistatav tunnussuuruse väärthus[12]



Joonis 2.1 Distantksaitse toimimispõhimõte[13]

Kaitsesätted sisestatakse releesse sekundaarsuurustena. Takistusreleede puhul arvutatakse tunnussuurus valemiga 2.2[14]

$$Z_{sek} = \frac{\frac{U_{prim}}{n_{PT}}}{\frac{I_{prim}}{n_{VT}}} = \frac{U_{prim} \cdot n_{VT}}{I_{prim} \cdot n_{PT}} = Z_{prim} \cdot \frac{n_{VT}}{n_{PT}}, \quad (2.2)$$

kus Z_{sek} - näivtakistuse sekundaarväärthus,

Z_{prim} - näivtakistuse primaarväärthus,

U_{prim} - pinge primaarväärthus,

I_{prim} - voolu primaarväärthus,

n_{PT} - pingetrafo ülekandesuhe (sisaldab skeemitegurit),

n_{VT} - voolutrafo ülekandesuhe (sisaldab skeemitegurit).

Distantskaitse on suhteliselt selektiivne kaitse. Selektiivsuse saavutamiseks toimib distantskaitse tsoonidena. Esimene kaitsetsoon on põhikaitse reageerib relee viiteajata, järgmistes reserveerivates tsoonides on kasutusel juba viiteaeg, et enne jõuaks toimida vastava tsooni põhikaitse. Voolu- ja pingemõõturitel esinevad mõõtevead, seetõttu ei arvutata sätteid kogu kaitstavale liinipikkusele, vaid vähendatakseliinipikkust korrutades tunnussuurust välistusteguriga ($k_s < 1$), vastavalt valemile 2.3.

$$Z1_{\text{säte}} = Z1_{s3k} \cdot k_s, \quad (2.3)$$

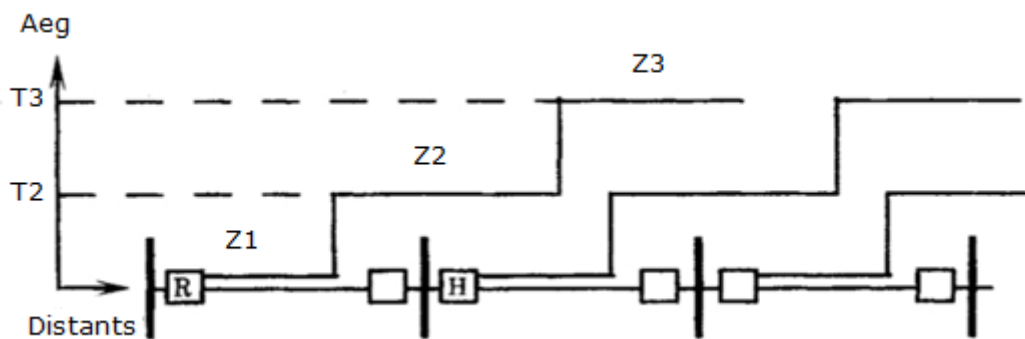
kus $Z1_{\text{säte}}$ - esimese kaitsetooni sätteväärthus,
 Z_{sek} - kaitstava objekti näivtakistuse sekundaarväärthus,
 k_s - selektiivsustegur.

Järgnevatel kaitsetoonidel on oluline, et kaitse oleks lisaks selektiivsusele ka tundlik, selleks korrutatakse tunnussuurus tundlikusteguriga ($k_t > 1$). Teise kaitsetooni ülesandeks on garanteeritult kaitsta kogu kaitseobjekt, seega reaalsuses ulatub aste üle kaitstava objekti. Teises kaitsetoonis peab releekaitsesäte rahuldama valemites 2.4 toodud tingimusi.

$$\begin{cases} Z2_{min} \geq Z1_{sek} \cdot k_t \\ Z2_{max} \leq Z2_{sek} \cdot k_s \\ Z2_{min} \leq Z2_{\text{säte}} \leq Z2_{max} \end{cases} \quad (2.4)$$

kus $Z2_{\text{säte}}$ - teise kaitsetooni sätteväärthus,
 $Z2_{min}$ - teise kaitsetooni minimaalne sätteväärthus,
 $Z2_{max}$ - teise kaitsetooni maksimaalne sätteväärthus,
 $Z1_{sek}$ - esimese kaitsetooni näivtakistuse sekundaarväärthus,
 $Z2_{sek}$ - teise kaitsetooni näivtakistuse sekundaarväärthus,
 k_t - tundlikustegur,
 k_s - selektiivsustegur.

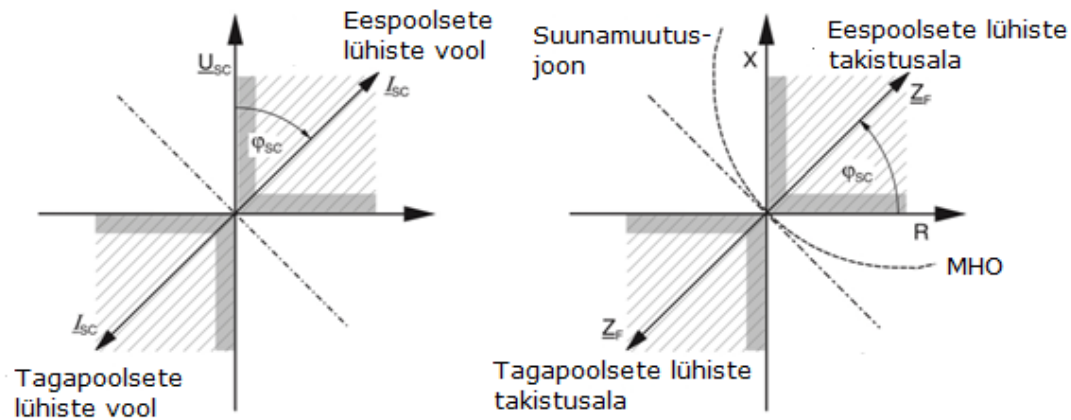
Analoogselt teise kaitsetooniga arvutatakse ka kolmanda tsooni sätted. Skemaatiliselt kujunevad distantskaitse kaitsetoonid vastavalt joonisele 2.2.



Joonis 2.2 Distantskaitse tsoonid[14]

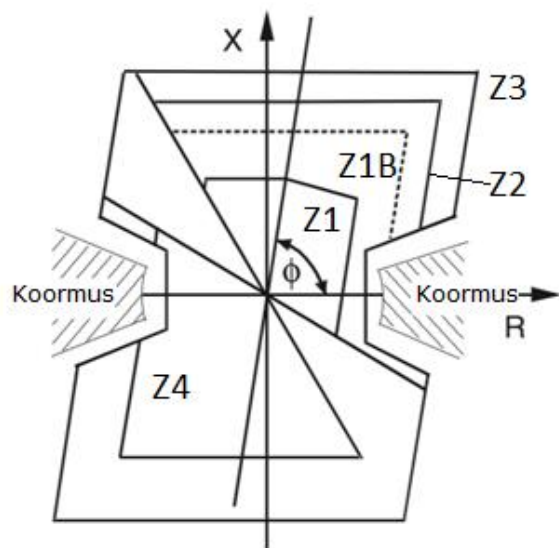
Distantskaitserelje enamastituvastab lühise suuna pingi ja voolu vahelise nurga järgi. Lühise korral on tegemist induktiivse vooluga, seega vool järgneb pingele. Kui pingi langeb nulli, ei ole võimalik tuvastada lühise suunda eelpool mainitud moel. Selleks juhuks on erivariandid, kus kasutatakse ristpolarisatsiooni ja tervete faaside pingetest

tuletatakse lühise suund, määratatakse lühise suund nävtakistuse liikumise järgi X-R tasandil või kasutatakse viimast salvestatud rikkis faasi pingeneruka. Rikkis faasi tuvastamine toimub X-R takistustasandil. koormusvool on suuresti aktiivtakistusliku telje suunal, liini lühistumisel hakkab prelveerima reaktiivne takistus (joonis 2.3)[15]



Joonis 2.3 Distantksaitse lühise suuna ja rikkis faasi määramine[15]

Distantksaitse kaitsetsoonid on toodud joonisel 2.4, kus tsoonid Z1-Z3 on ettevaatavad ja Z4 tahavaatav, ϕ on elektriliini takistuslik nurk. Ette- ja tahapoole vaatavate kaitsetsoonide vahel on kaitsetsoonidega katmata ala, kus relee ei suuda lühise suunda määräta, et vältida olukorda, kus piirsituatsioonis relee toimib mölemas suunas.



Joonis 2.4 Distantksaitse tsoonid[15]

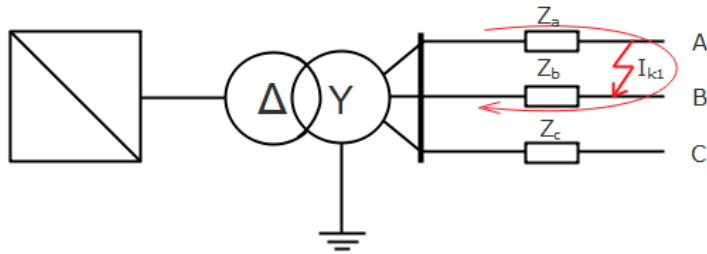
2.2 Muundurite mõju distantskatsele

Tehnoloogia kiire arengu tõttu omavad kõrgepingelised alalisvooluühendused võrreldes vahelduvvoolu kõrgepingeliinidega suuri eeliseid võimsusülekande stabiilsuse ja kontrolli osas, mis on muutunud võtmeteguriks nende ehitamisel. Alalisvooluühenduste projekteerimisel tuleb arvestada, et dünaamiline kontroll ja opereerimine on alalisvoolu puhul oluliselt erinev klassikalistest kõrgepingevõrkudest. Alalisvoolumuundur tekitab vahelduvvooluvõrku sünkroongeneraatoritest erinevaid siirdeprotsesse, mõjutades releeaktse ajalist toimimist ja mõningatel juhtudel on tulemuseks ka väärtoimed. Kaitseskeemide disainimisel tuleb nende eripäradega arvestada ning tihtipeale kasutada tavametoodikaga võrreldes alternatiivseid kaitseprintsiipe.

Volumuundurite puhul, eriti kui lühis on lähedasel vahelduvvooluliinil, on tagajärjeks kommutatsioonihäired. Võimsusülekande taastamine on raskendatud, sest pingelohu aegne voolupiirang muudab lühisvoolu koormusvoolust väiksemaks. Pingemuundurite kasutamisel on konverterjaama kontroll vahelduvvooluvõrgus tekkiva lühise puhul voolumuundurist erinev. Muundurjaam üritab reaktiivenergiat genereerides taastada lühisega liini pinget. Seetõttu mölemad muundurid reageerivad lühistele erinevalt ja ühe tüubi kaitselahendus ei pruugi sobida teise tüübiga.[13]

Lühise tekkimisel vahelduvvoolu kõrgepingeliinil on voolumuundurist lähtuv lühisvool oluliselt piiratum, kui sünkroongeneraatorist tulev ja lähedane koormusvoole. Väheneb võimsuse ülekanne mööda alalisvooluühendust kohati kuni selle katkemiseni.[1] Võimsuse ülekande vähenemist põhjustavad pinge langus, alaldi poolel toimuvate lühiste ajal vähenev alalisvoolu suurus ja vaheldipoolse lühisega kaasnevad kommutatsioonihäired.[6]

Puudub võimalus kasutada analüütilist valemit arvutamaks alalisvoolumuunduri poolt toidetavat lühisvoolu transienti, sest esinevad võimalikud konverteeri kommutatsioonihäired, reaktiivenergia kompensaatorite ja filtrite ebalineaarsus ning HVDC süsteemi kiire reageerimine.[13] Ühtlasi tuleb arvesse võtta, et alalisvoolumuunduri poolset lühisetoidet piirab türistoride/transistorite küllastuslimiit, mis on tavapäraselt 115-120 % nominaalvoolust.[16] Maaühenduseta lühise korral, skeem joonisel 2.5, liigub lühisvool koormusvoole lähedase väärtsusega faaside vahel. Ainult voolu väärtsusest ei piisa, et relee suudaks lühise tuvastada.

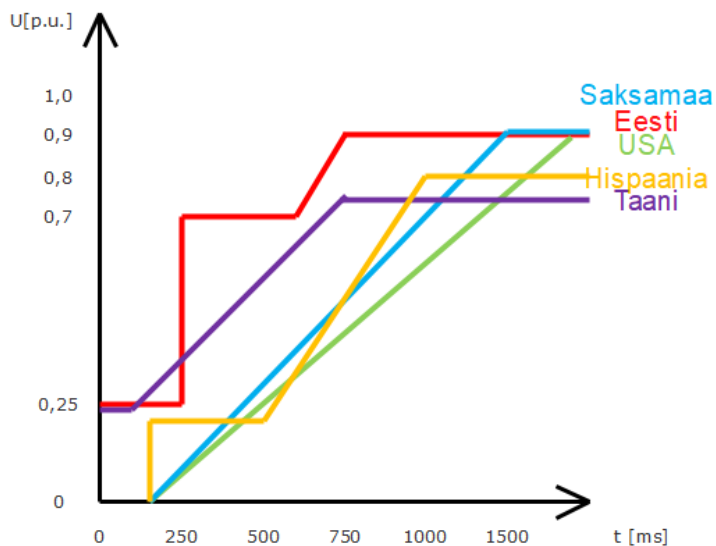


Joonis 2.5 Faasidevaheline lühis

Alalisvooluühenduste korral on karakteristlikud harmoonikud on kuuepulsilise konverteri puhul 5. ja 7. harmoonik ning 12-pulsilise konverteri puhul 11. ja 13. harmoonik. Need tekivad normaalalitluse käigus ja ellimineeritakse spetsiaalselt disainitud filtreitega. Ekstreemjuhtudel, näiteks lühiste puhul, genereeritakse kõrgepingelises vahelduvvooluvõrgus tekkinud transientidest mittekarakteristikud harmoonikud. Nende harmoonikute filtreerimiseks elemendid puuduvad, seega tekitavad need oluliselt müra, mis mõjub releekaitsele.[13]

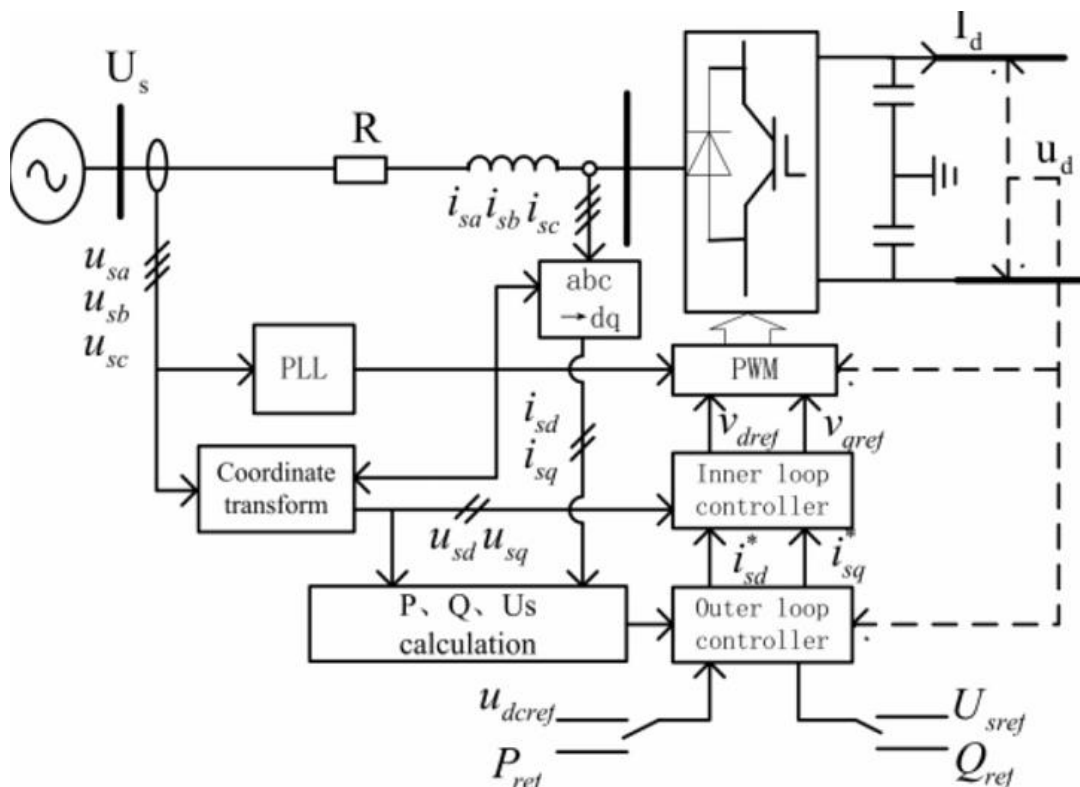
Pingemuunduri kasutamisel võrgupinge toetamiseks reatiivvõimsuse suurendamine samaaegselt lühisvoolu piiramisega võib põhjustada nii sümmeetriliste kui ka asümmeetriliste lühisvoolude puhul situatsioone, mis viivad distantsrelee väärtoimeteni. Samuti põhjustavad konverteri küllastuspiirid releede alatoimeid. Analütilised arvutused näitavad, et distantsrelee poolt nähtav nävtakistus asümmeetriliste lühiste puhul pingemuunduriga ühendatud võrgus varieerub tugevalt, sõltudes konverteris tekkiva vastujärgnevuslühisvoolu, reaktiivenergia genereerimisest tuleneva pärijärgnevusvoolu ja trafot läbiva nulljärgnevusvoolu ning lühise enda takistuse suurustest.[17]

Kui võrrelda faasivoolusid enne ja pärast lühise tekkimist, siis pingemuunduriga ühenduse puhul on lühisvoolud oluliselt erinevad klassikalisest sünkroongeneratori lühisvooludest. Põhjuseks on siin pingelohu läbimise loogika kasutamine. Pingelohu läbimise loogika ülesandeks on garantieerida lingi reaktiivvõimsuse edastus lühiseaegse pingelohu korral, et toetada vahelduvvooluvõrgu pinge taastamist. Tänapäeval on süsteemioperaatorite võrgueeskirjadesse sisse kirjutatud ajalised parameetrid, mille jooksul pingemuunuriga ühendus ei tohi võrgust välja lülituda. Samuti nõutakse, olenevalt võrguetevõtte lähenemisest, lühise ajal võrgu toetamist reaktiivenergiaga kuni 100 % võimsuseni. Erinevate süsteemioperaatorite pingelohu läbimise nõuded on toodud graafiliselt joonisel 2.6.



Joonis 2.6 Pingelohu läbimise nöuded Eestis ja teistes riikides [18,19]

Konverteritoitelise lühise tuvastamine erineb oluliselt erinevalt vörreldes sünkroonseadme toitelise lühisega. Eelpool kirjeldatud pingelohu läbimise loogika kasutamisel toimub lühise tuvastamine alljärgnevalt. Lühise tuvastamiseks kasutatakse voolu nurga muutumist dq tasapinnal. Joonisel 2.7 toodud VSC kontrollskeemil on näha, aktiiv- ja reaktiivvõimsuse juhtimise põhimõte.



Joonis 2.7 Pingemuunduri kontrollskeem[17]

Konverteri aktiiv- ja reaktiivvõimsuse juhtimine toimub vooluvektori liigutamisega dq tasapinnal. Voolu aktiivosa i_{sd} ja reaktiivosa i_{sq} muutmine võimaldab muuta võimsuste balanssi vastavalt vastavalt valemitele 2.5[17]

$$\begin{cases} P = U_s \cdot i_{sd} \\ Q = -U_s \cdot i_{sq} \end{cases} \quad (2.5)$$

kus P - aktiivvõimsus,

Q - reaktiivvõimsus,

U_s - AC pingemus,

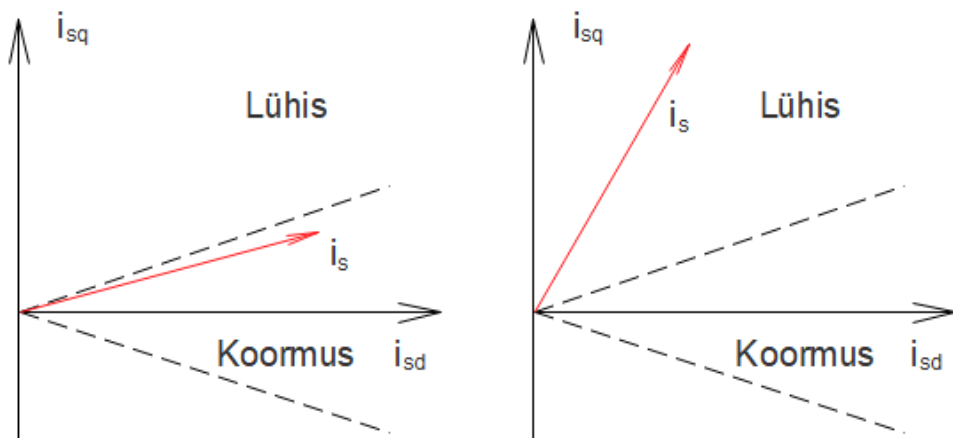
i_{sd} - AC voolu aktiivkomponent,

i_{sq} - AC voolu reaktiivkomponent.

Koormus- ja lühisvool kujutatuna dq-tasapinnal on toodud joonisel 2.8. Enne lühist väljenduvad vahelduvvooluvõrgu faasivoolud analoogselt sünkroongeneraatoriga valemitega 2.6.

$$\begin{cases} i_{sa0}(t) = I_{d0} \cdot \cos(\omega t + \theta) \\ i_{sb0}(t) = I_{d0} \cdot \cos\left(\omega t + \theta - \frac{2\pi}{3}\right) \\ i_{sc0}(t) = I_{d0} \cdot \cos\left(\omega t + \theta + \frac{2\pi}{3}\right) \end{cases} \quad (2.6)$$

kus θ - algne faasinurk



Joonis 2.8 Koormus- ja lühisvool dq-tasapinnal[17]

Lühise tekkimisel väljendub lühisvool valemitega 2.7[15]

$$\begin{cases} i_{sa1}(t) = I_m \cdot \cos(\omega t + \theta + \varphi) \\ i_{sb1}(t) = I_m \cdot \cos\left(\omega t + \theta - \frac{2\pi}{3} + \varphi\right) \\ i_{sc1}(t) = I_m \cdot \cos\left(\omega t + \theta + \frac{2\pi}{3} + \varphi\right) \end{cases} \quad (2.7)$$

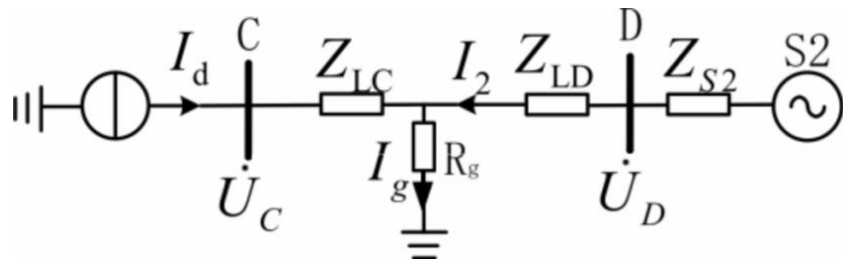
kus

$$\varphi = \arctan \frac{i_{q1}}{i_{d1}}$$

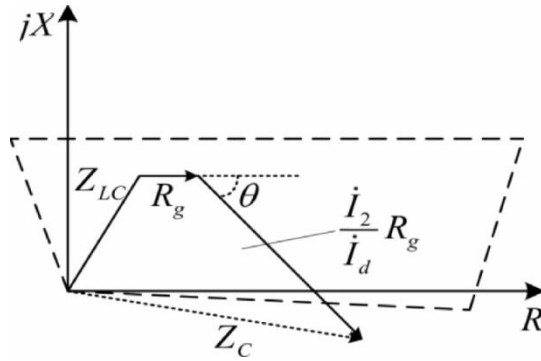
$$I_m = \sqrt{i_{d1}^2 + i_{q1}^2}$$

Eelnevast lähtub, et lühise tekkimisel P väheneb ja Q kasvab. Valemi 2.1 järgi reaktiivvõimsuse muutumiseks on vaja i_{sq} muutumist, mis automaatselt tähendab nurga φ muutumist (valem 2.7). Arvestades, et keerukamates süsteemides on lisaks alalisvooluühendusele mitu muud lühisvooluallikat, siis on nurk φ kaootiline ja stabiliseerub erinevates situatsioonides erinevalt, sõltudes lühise tüübist ja selle asukohast. Nurga muutumine lühise ajal genereerib vastjärgnevusvoolu.[16] Siinjuures on oluline märkida, et lühises faasi(de) pinge hoidmiseks reaktiivvõimsusega toetamine pingemuunduri puhul tekitab ülepinge riski toimiva(te)s faasi(de)s, sest reaktiivvõimsuse toodang ei ole selektiivselt faasipõhine ja võrdne kogus reaktiivenergiat edastatatakse kõiki kolme faasi.

Maalühisvoolude korral (ühe- ja kahefaasiline maalühis) toimub relee reageerimine nulljärgnevusvoolule.(joonis 2.9) Maalühise tuvastamine on lihtsam, sest koormusvool nulljärgnevusvoolu ei sisalda. Maalühise puhul on probleemiks lühisvoolude jagunemine erinevate allikate vahel ja sellest tulenev mõju nävtakistusele. Nävtakistus sõltub oluliselt lühise asukohast, sest lühisvoolude suhte I_2/I_d suurenedes liigub nävtakistus lühise tuvastamise alast välja.(joonis 2.10)

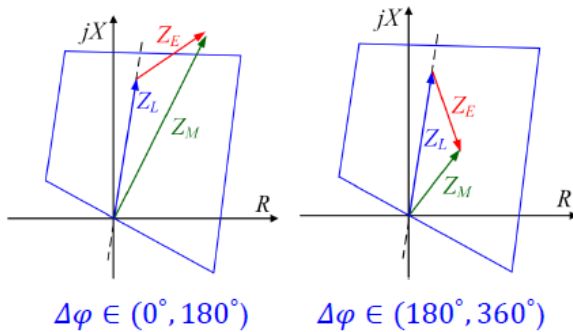


Joonis 2.9 Ühefaasilise lühise aseskeem[17]



Joonis 2.10 Näivtakistuse diagramm[17]

Relee poolt nähtav takistuse suurus sõltub võrgu koormatusest. Induktivse koormusvoolu puhul on risk kaitse alaulatusele ehk tegelik liinipikkus on lühem relee poolt nähtavast ja mahtuvusliku voolu korral tekib kaitse üleulatus.(joonis 2.11)



Joonis 2.11 Näivtakistus induktiivse ja mahtuvusliku voolu korral[20]

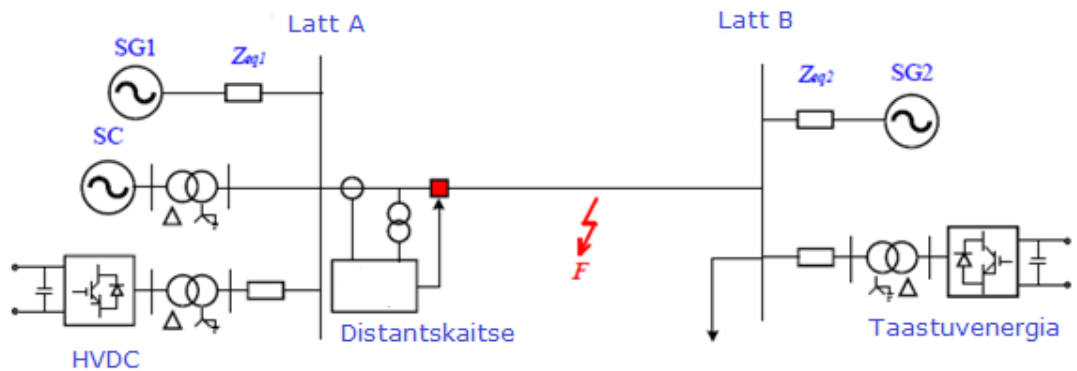
Joonisel 2.11 Z_L -liinitakistus,

Z_E - takistuse viga,

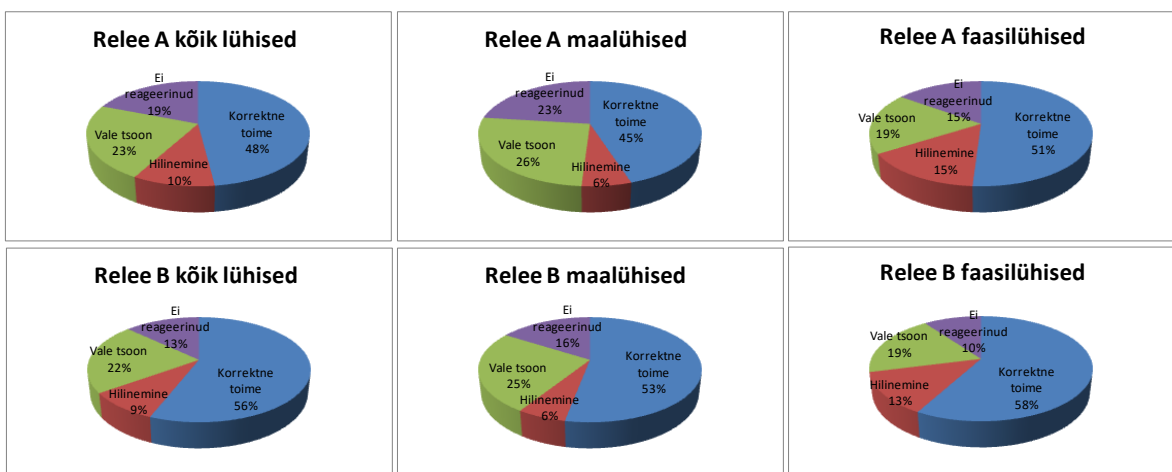
Z_M - relee poolt nähtav takistus

2.3 Distantskaitse toimimine reaalsetes tingimustes

HVDC lingi ja distantskaitsega seotud probleeme ilmestab Ühendkuningriigi *The National HVDC Centre* pool teostatud reaalaja simulaatoril (RTDS) teostatud testid, mis baseerusid joonisel 2.12 toodud süsteemil. Analoogselt käesoleva tööga testiti kahte erinevat reeleed. Kõikide katsete summaarsed tulemused on toodud joonisel 2.13.



Joonis 2.12 Katseskeem[20]

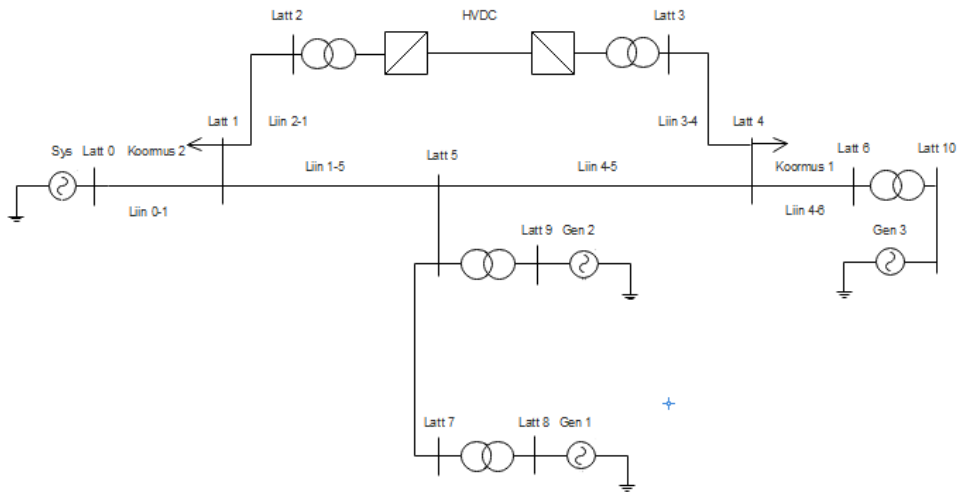


Joonis 2.13 Distantksaitse testide summaarsed tulemused[20]

Tulemustest on näha, et ligikaudu pooltel kordadel oli distantksaitse toime korrektne, veerandil juhtudel toimis vale kaitsetsoon ja ülejäänud juhtudel toimis kaitse hilinemisega või toime puudus. Eelpooltoodu kokkuvõtteks saab järel dada, et tuleviku energiasüsteem, mis sisaldab järjest rohkem alalisvooluühendusi on töeliseks väljakutseks releekaitse ülesehitamisel, seda eelkõige limiteeritud lühisvoolude, muunduris tekivate vastujärgnevusvoolude ja pinget toetava reatiivvõimsuse genereerimisele. Parimaks lahenduseks on siin töenäoliselt differentsiaalkaitsele üleminek ning tehisintellekti ja sünkrofaasoritel baseeruva laivõrgukaitse kasutamine.

3. KATSEMUDELI LOOMINE JA RELEESEADMETE KATSETAMINE

Katsemudel loodi spetsiaalselt testimaks alalisvooolulinkide mõjusid vahelduvvoolu võrkude releekaitsele. Süsteem koosneb seitsmest 400 kV vahelduvvoolu liinist, kolmest 170 MVA generaatorist, suure lühisvõimsusega süsteemist, ühest 500 kV alalisvooluühendusest, kahest koormusest ning trafodest ja lattidest. Skeem on esitatud joonisel 3.1.



Joonis 3.1 Süsteemi ühejooneskeem

Liinide takistused on ära toodud tabelis 3.1.

Tabel 3.1. Mudeli liinide takistused

		R, Ω	X, Ω	Z, Ω	Nurk, °
Liin 1-2	pärijärgnevus	1,36	12,90	12,97	83,98
	nulljärgnevus	9,60	37,56	38,77	75,66
Liin 0-1	pärijärgnevus	0,59	6,17	6,20	84,54
	nulljärgnevus	6,00	19,76	20,65	73,11
Liin 1-5	pärijärgnevus	1,36	12,90	12,97	83,98
	nulljärgnevus	9,60	37,56	38,77	75,66
Liin 5-7	pärijärgnevus	1,03	10,84	10,89	84,57
	nulljärgnevus	10,53	34,68	36,24	73,11
Liin 3-4	pärijärgnevus	1,02	10,84	10,89	84,62
	nulljärgnevus	10,52	34,68	36,24	73,13
Liin 4-6	pärijärgnevus	1,02	10,84	10,89	84,62
	nulljärgnevus	10,52	34,68	36,24	73,13
Liin 4-5	pärijärgnevus	7,68	80,11	80,48	84,52
	nulljärgnevus	70,10	245,47	255,29	74,06

Seadmete parameetrid on alljärgnevad

Süsteem $U=400\text{kV}$; $L=0,02163 \text{ H}$

Alalisvooolungi trafod $U=420 \text{ kV}$; $S=610 \text{ MVA}$; $U_k=0,18$

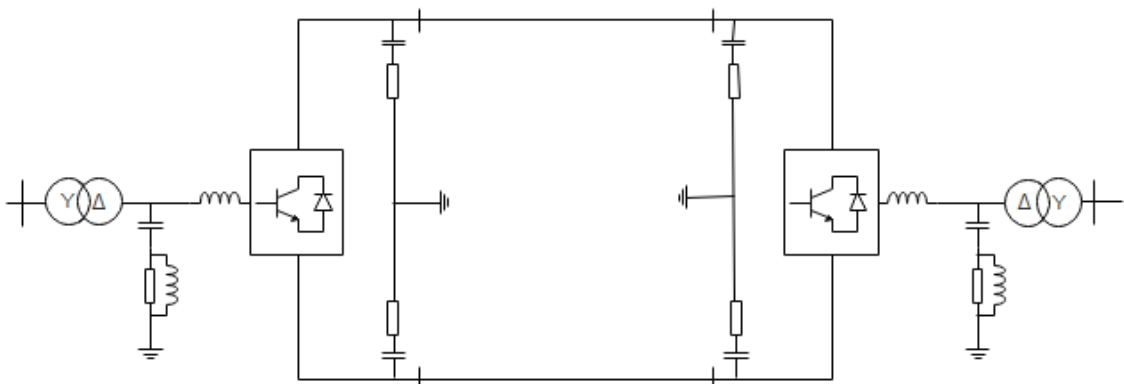
Generaatorid $U=13,8 \text{ kV}$; $S=170 \text{ MVA}$; $X_d''=0,14$

HVDC lingi puhul kasutati katsetustes nii VSC kui LCC tüüpi konverterjaamu.

Koormus 1 $P=50 \text{ MW}$; $Q=10 \text{ Mvar}$ ja koormus 2 $P=1000 \text{ MW}$; $Q=200 \text{ Mvar}$

3.1 Mudel pingemuunduriga

Pingemuunduriga alalisvooluühendus on disainitud võimsusele 600 MW. Mõlemas muundurjaamas on 3 ühefaasilist 200 MVA võimsusega $Y\Delta$ -trafot, igal faasil harmoonikute filtri ja faasireaktorid. Voolu alaldamine toimub kuuepulsilise lülitusskeemiga transistorjuhtimisega (IGBT) lülitite läbi. Alalisvoolu poolt olevad kondensaatorid hoiavad ühtlast pinget.[21] Lingi ühejooneskeem on toodud joonisel 3.2.

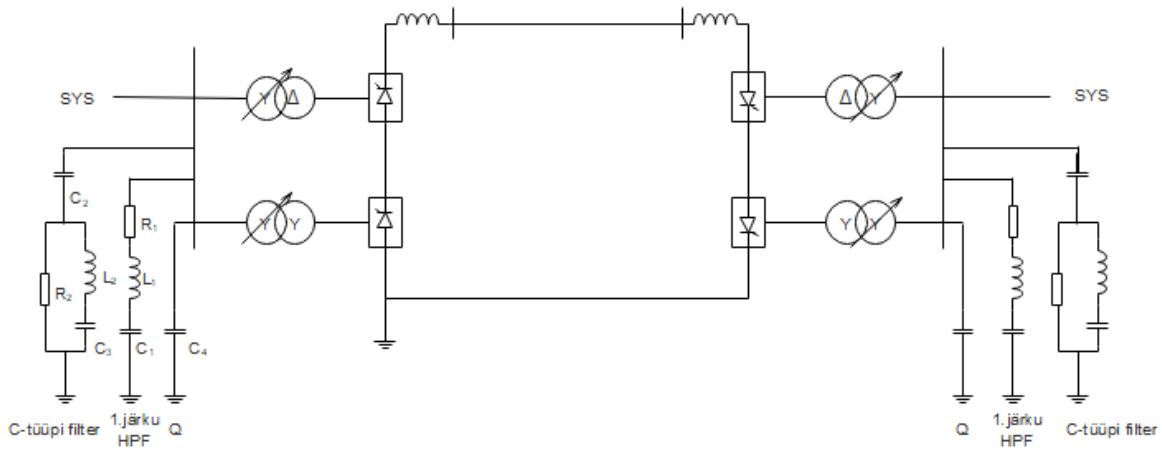


Joonis 3.2 Pingemuunduriga alalisvooluühenduse ühejooneskeem

3.2 Mudel voolumuunduriga

Voolumuunduriga ühenduse puhul kasutati CIGRE valmismudelit võimsusega 1000 MW, mis sobitati pingemuunduriga ühenduse asemel mudelisse. 12-pulsiline voolumuundurjaam koosneb kahest trafost ($Y\Delta$ ja YY), filtritest (HPF ja C-tüüpi), mis filtreerivad välja 11 ja 13 harmooniku ning reaktiivenergiat tootvast kondensaatorist.

Voolu alaldamine toimub türistorlülitustega ja alalisvooluühendus on varustatud ka silumisreaktoritega. Lingi ühejooneskeem on toodud joonisel 3.3.



Joonis 3.3 Voolumuunduriga alalisvooluühenduse ühejooneskeem

Voolumuundurjaam on suure reaktiivenergia tarbimisega ca 60 % ülekantavast aktiivenergiast. Reaktiivenergia tootmine jagatakse tavaliselt suhtega 40:40:20 vastavalt körgpääsfiltri, C-tüüpi filtri ja kondensaatorpanga vahel[21]. Kuna CIGRE mudelis oli voolumuunduriga ühenduse nominaalne võimsus 1000 MW võrreldes pingemuunduriga mudeli 600 MW-ga, siis oli vajalik filtid ja kondensaatorpank ümber arvutada. Ümberarvutused on tehtud arvestades 300 Mvar kompenseerimist, sest võrgud genereerivad veel täiendavalt suurusjärgus 50 Mvar reaktiivenergiat.

Allpool toodud arvutuste algallikaks oli spetsiaalselt antud CIGRE mudeli analüüsiks tehtud uuring.[22]

1. järu kõrgpääsfiltri parameetrid arvutatakse valemitega 3.1 kuni 3.5.

$$X_c = \frac{U^2}{Q_1} = \frac{400^2}{120} = 1333 \Omega, \quad (3.1)$$

kus X_c - kondensaatori takistus,

U - pingi,

Q_1 - kõrgpääsfiltri poolt kompenseeritav reaktiivvõimsus.

$$C_1 = \frac{1}{\omega \cdot X_c} = \frac{1}{314 \cdot 1333} = 2,387 \cdot 10^{-6} F = 2,387 \mu F, \quad (3.2)$$

kus C_1 - esimese kondensaatori mahtuvus,

X_c - kondensaatori takistus,

ω - ringsagedus.

$$X_L = \frac{X_c}{hr^2} = \frac{1333}{11^2} = 12,09 \Omega, \quad (3.3)$$

kus X_L - reaktori takistus,
 X_c - kondensaatori takistus,
 hr - harmooniku järk.

$$L_1 = \frac{X_L}{\omega} = \frac{12,094}{314} = 0,0385 H, \quad (3.4)$$

kus L_1 - reaktori induktiivsus,
 X_L - reaktori takistus,
 ω - ringsagedus.

$$R_1 = q \cdot \sqrt{X_L \cdot X_c} = 1,8 \cdot \sqrt{12,09 \cdot 1333} = 233 \Omega, \quad (3.5)$$

kus R_1 - aktiivtakistus,
 X_L - reaktori takistus,
 X_c - kondensaatori takistus,
 q - kvaliteedifaktor (siin 1,8).

C-tüüpi filtri puhul on kondensaator C_2 võrdne kõrgpääsfiltre kondensaatoriga C_1 , muud parameetrid arvutatakse valemitega 3.6 kuni 3.8.

$$C_3 = \frac{hr^2 - 1}{m} \cdot \frac{Q_1}{2 \cdot U^2 \cdot \omega} = \frac{3^2 - 1}{0,36} \cdot \frac{120}{2 \cdot 400^2 \cdot 314} = 26,53 \cdot 10^{-6} F = 26,53 \mu F, \quad (3.6)$$

kus C_3 - kolmanda kondensaatori mahtuvus,
 hr - harmooniku järk,
 m - konstant, arvutatud algsetest parameetritest,
 U - pinge,
 Q_1 - C-tüüpi filtri poolt kompenseeritav reaktiivvõimsus,
 ω - ringsagedus.

$$L_2 = \frac{U^2}{(hr^2 - 1) \cdot \omega \cdot Q_1} = \frac{400^2}{(3^2 - 1) \cdot 314 \cdot 120} = 0,531 H, \quad (3.7)$$

kus L_2 - teise reaktori induktiivsus,
 hr - harmooniku järk,
 U - pinge,
 Q_1 - C-tüüpi filtri poolt kompenseeritav reaktiivvõimsus,
 ω - ringsagedus.

$$R_2 = \frac{q \cdot U^2}{hr \cdot Q_1} = \frac{1,8 \cdot 400^2}{3 \cdot 120} = 733 \Omega, \quad (3.8)$$

kus R_1 - aktiivtakistus,
 hr - harmooniku järk,
 U - pinge,
 Q_1 - C-tüüpi filtri poolt kompenseeritav reaktiivvõimsus,
 q - kvaliteedifaktor (siin 1,8).

Kondensaatoripatarei mahtuvus arvutatakse valemitega 3.9 ja 3.10.

$$X_c = \frac{U^2}{Q_2} = \frac{400^2}{60} = 2667 \Omega, \quad (3.9)$$

kus X_c - kondensaatori takistus,
 U - pinge,
 Q_2 - kondensaatoripatarei poolt kompenseeritav reaktiivvõimsus.

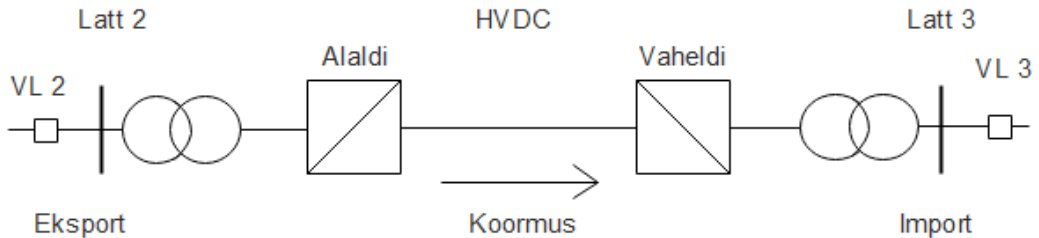
$$C_4 = \frac{1}{\omega \cdot X_c} = \frac{1}{314 \cdot 2667} = 1,194 \cdot 10^{-6} F = 1,194 \mu F, \quad (3.10)$$

kus C_4 - neljanda kondensaatori mahtuvus,
 X_c - kondensaatori takistus,
 ω - ringsagedus.

Arvestades seda, et voolumuunduriga ühendus genereerib reaktiivenergiat vastavalt läbivale võimsusele ning et reaktiivenergia köikumine annab märkimisväärset mõju pinge köikumisele ja stabiilsusele oli vajalik körgpääsfiltre ja kondensaatoripatarei koormuse reguleerimine vastavalt linki läbivale võimsusele. Selleks muudeti körgpääsfiltre kondensaator 3 astmeliseks ja kondensaatoripatarei järgis lineaarselt linki läbivat võimsust. Antud meetodid võimaldasid lingi stabiliseerida ja teostada katseid 100-600 MW võimsuse edastamisel.

3.3 Distantskaitsesätete arvutamine

Laboratooriumis katsetati kahte releekaitseseadet Siemens 7SL87 ja Toshiba GRL200. Töö eesmärgiks on distantskaitse käitumise uurimine, seetõttu teisi kaitsetüüpe (voolukaitse, differentsiaalkaitse) ei käsitletud. Katsetamise ettevalmistuseks oli esimese sammuna vajalik arvutada releekaitsesätted. Sätted arvutati lattidel 2 ja 3 lähtuvate liinidele (joonis 3.4)



Joonis 3.4 Võimsuslülitite (VL) asukohad

Liini 2-1 ja liini 3-4 eraldi katsetamisel on võimalik leida releekaitse toimimise erisust vastavalt võimsust eksportival ja importival suunal. Releekaitsesätted arvutati 3 tsooni jaoks. Allpool on ära toodud liini 2-1 sätete arvutus.

Esimese tsooni puhul (liin 2-1) on oluline selektiivsus, et kaitsetsoon ei ulatuks üle kaitstava objekti. Seetõttu arvutatakse kaitsesätted takistusele kuni 85% liinipikkusest. Vastavalt tabelile 3.1 saadi esimese tsooni säteteks

$$R_{\text{päri}} = 4,8 \Omega$$

$$R_{\text{null}} = 8,2 \Omega$$

$$X_{\text{päri}} = 11 \Omega$$

$$t = 0 \text{ s}$$

Teine tsoon peab ulatuma kaitseobjekti lõpuni, seetõttu võetakse tundlikuse teguriks 1,2 ehk kaitsetsoon on 120% liini 2-1 takistusest. Siinkohal tuleb arvesse võtta voolude jagunemist, sest liinil 1-5 olevat lühist toidab ka süsteem. Sama kehtib ka liinil 1-0 oleva lühise kohta, seda toidavad latile 5 ühendatud generaatorid.(joonis 3.1) Selleks arvutati kõikide harude takistused. Kuivõrd tegemist on 400 kV süsteemiga, siis sätted on arvutatud reaktiivtakistuste baasil. Trafo takistus arvutatakse valemiga 3.11.[23]

$$X_t = U_k \cdot \frac{U_t^2}{S_t} = 0,18 \cdot \frac{420^2}{1220} = 26,03 \Omega, \quad (3.11)$$

kus X_t - trafo takistus,
 U_k - trafo lühispinge,
 U_t - trafo nimipingi,
 S_t - trafode nimivõimsus.

Tegemist on võrgu nimipingest erineva pingega, teisendati takistus võrgu nimipingele valemiga 3.12.[23]

$$X'_t = X_t \cdot \frac{U_n^2}{U_t^2} = 26,03 \cdot \frac{400^2}{420^2} = 23,61 \Omega, \quad (3.12)$$

kus X'_t - teisendatud trafo takistus,
 X_t - trafo takistus,
 U_t - trafo nimipinge,
 U_n - võrgu nimipinge.

Lisades sellele juurde liini 2-1 takistuse saadi alalisvoolu haru kogutakistuseks $X_{\text{HVDC}}=36,51 \Omega$.

Süsteemiharu takistus arvutati valemiga 3.13.[23]

$$X_{\text{sys}} = X_{01} + \omega \cdot L_s = 6,17 + 314 \cdot 0,02163 = 12,96 \Omega, \quad (3.13)$$

kus X_{sys} - süsteemi takistus,
 X_{01} - liini 0-1 takistus,
 ω - ringsagedus,
 L_s - süsteemi induktiivsus.

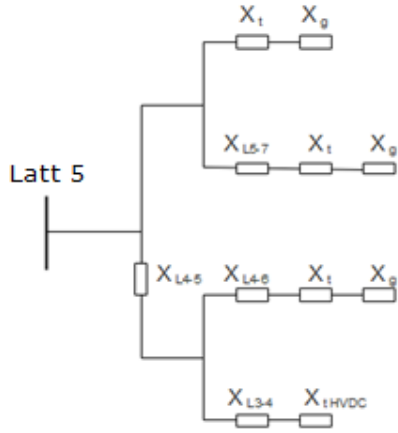
Generaatori ülimööduv takistus arvutati valemiga 3.14.[23]

$$X_g'' = X_d'' \cdot \frac{U_g^2}{S_g} = 0,14 \cdot \frac{13,8^2}{170} = 0,16 \Omega, \quad (3.14)$$

kus X_g'' - generaatori ülimööduv takistus,
 X_d'' - mähise ülimööduv takistus
 U_g - generaatori nimipinge,
 S_g - generaatori nimivõimsus.

Takistuse teisendamisel valemiga 3.12, saadi generaatori takistuseks 400 kV pingel $X_g' = 131,76 \Omega$.

Latile 5 tuleb liinil 1-5 oleva lühise puhul toide neljast erinevast allikast (joonis 3.5).



Joonis 3.5 Lati 5 lühistakistuste aseskeem

Lati 5 toite lühistakistus arvutati valemitega 3.15 kuni 3.17.

Ülemine haru

$$X_{\ddot{u}} = \frac{(X_{L57} + X_t + X_g) \cdot (X_t + X_g)}{X_{L57} + 2 \cdot X_t + 2 \cdot X_g} = \frac{(10,84 + 106,67 + 131,76) \cdot (106,67 + 131,76)}{10,84 + 2 \cdot 106,67 + 2 \cdot 131,76} = 121,87 \Omega \quad (3.15)$$

ja alumine haru

$$\begin{aligned} X_a &= X_{L45} + \frac{(X_{L46} + X_t + X_g) \cdot (X_{tHVDC} + X_{L34})}{X_{L46} + X_t + X_g + X_{tHVDC} + X_{L34}} = \\ &= 80,11 + \frac{(10,84 + 106,67 + 131,76) \cdot (23,61 + 10,84)}{10,84 + 106,67 + 131,76 + 23,61 + 10,84} = 110,38 \Omega, \end{aligned} \quad (3.16)$$

kus X_t - trafo takistus,

X_g - generaatori takistus,

X_{Lxx} - vastava liini takistus.

Mõlemad harud kokku

$$X_{kokku} = \frac{X_{\ddot{u}} \cdot X_a}{X_{\ddot{u}} + X_a} = \frac{121,87 \cdot 110,38}{121,87 + 110,38} = 57,92 \Omega. \quad (3.17)$$

Peale harude lühistakistuste leidmist on võimalik arvutada voolu jagunemistegurid. Juhul, kui lühis on liinil 1-5, toidavad lühist nii alalisvoolu haru kui süsteemiharu. Arvestades, et lühisvool on võrdeline vastasharu takistusega, arvutati jagunemistegur valemiga 3.18.

$$K_{HVDC} = \frac{X_{sys}}{X_{HVDC} + X_{sys}} = \frac{12,96}{36,51 + 12,96} = 0,262, \quad (3.18)$$

kus K_{HVDC} - voolujagunemistegur,
 X_{sys} - süsteemiharu takistus,
 X_{HVDC} - HVDC haru takistus.

Juhul, kui lühis on liinil 0-1, on voolujagunemistegur $K_{HVDC} = 0,613$.

Releekatse teine tsooni minimaalne takistuse väärthus on 120% liini 2-1 takistusest ehk $15,5 \Omega$. Maksimaalne tsooni takistus tuleb valida nii, et ei ulatuks üle lattide 0 ja 5 (joonis 3.1), kasutades selektiivsuskordajat 0,85. Seega lühise puhul liinil 0-1 on vastav näitaja valem 3.19 järgi:

$$X_{2ts} = \frac{X_{L21} + X_{L01} \cdot 0,85}{K_{HVDC}} = \frac{12,90 + 6,17 \cdot 0,85}{0,613} = 29,6 \Omega. \quad (3.19)$$

Lühise puhul liinil 1-5 on tulemuseks, valem 3.20.

$$X_{2ts} = \frac{X_{L21} + X_{L15} \cdot 0,85}{K_{HVDC}} = \frac{12,90 + 12,90 \cdot 0,85}{0,262} = 91,1 \Omega. \quad (3.20)$$

Järelikult teise tsooni pikkus peab jääma $15,5$ ja $29,6 \Omega$ vahele. Analoogselt arvutati ka aktiivtakistuste piirid. Teise tsooni säteteks valiti

$$R_{päri} = 10,8 \Omega$$

$$R_{null} = 21,1 \Omega$$

$$X_{päri} = 26,1 \Omega$$

$$t = 0,3 \text{ s}$$

Kolmanda tsooni ülesandeks on kaitsta latid 0 ja 5.(joonis 3.1) Vaadates voolujagunemistegureid ja liinide pikkusi, on selge, et latt 5 asub kaugemal. Minimaalseks takistus arvutati valemiga 3.21

$$X_{2ts} = \frac{X_{L21} + X_{L15} \cdot 1,2}{K_{HVDC}} = \frac{12,90 + 12,90 \cdot 1,2}{0,262} = 108,3 \Omega. \quad (3.21)$$

Kolmanda tsooni säteteks valiti

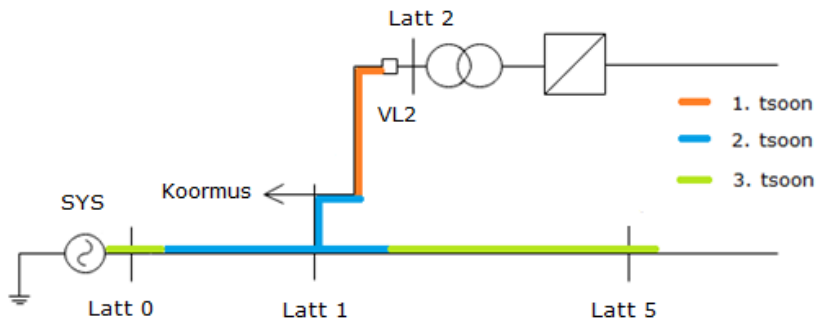
$$R_{päri} = 48 \Omega$$

$$R_{null} = 84,5 \Omega$$

$$X_{päri} = 113,6 \Omega$$

$$t = 0,6 \text{ s}$$

Liin 2-1 releekaitsetsoonid on graafiliselt toodud joonisel 3.6.



Joonis 3.6 Võimsuslüliti 2 releekaitse tsoonid

Sätete sisestamisel releesse tuleb need ümber arvestada sekundaarpoolle. Voolutrafo antud mudelis ülekandesuhtega 1000:1 ja pingetrafo 400:0,1. Takistuste üleviimisel sekundaarpoolle korruti need koefitsendiga, valem 3.22.

$$K = \frac{K_{VT}}{K_{PT}} = \frac{1000}{4000} = 0,25. \quad (3.22)$$

kus K - teisenduskoeffitsent,
 K_{VT} - voolutrafo ülekandesuhe,
 K_{PT} - pingetrafo ülekandesuhe.

Võimsuslülite 2 ja 3 releekaitsesätted on toodud tabelis 3.2.

Tabel 3.2 Releekaitsesätted

	VL2					
	1.tsoon		2.tsoon		3.tsoon	
	Primaar	Sekundaar	Primaar	Sekundaar	Primaar	Sekundaar
$X_päri, \Omega$	11,0	2,75	26,1	6,525	113,6	28,4
$R_päri, \Omega$	4,8	1,2	10,8	2,7	48,0	12
R_{null}, Ω	8,2	2,05	21,1	5,275	84,5	21,125
t, s	0	0	0,3	0,3	0,6	0,6
VL3						
	1.tsoon		2.tsoon		3.tsoon	
	Primaar	Sekundaar	Primaar	Sekundaar	Primaar	Sekundaar
$X_päri, \Omega$	9,2	2,3	83,2	20,8	122,8	30,7
$R_päri, \Omega$	3,6	0,9	31,2	7,8	46,8	11,7
R_{null}, Ω	8,9	2,225	80,5	20,125	108,6	27,15
t, s	0	0	0,3	0,3	0,6	0,6

Maalühise takistuse arvutamiseks kasutavad nii Siemens kui Toshiba tegureid K_x ja K_r . Tegurite arvutusvalemid erinevad tootjati. Toshiba arvutab tegurid protsentidena, kasutades valemit 3.23.[24]

$$K_x = \frac{X_0}{X_1} \cdot 100 \% = \frac{37,56}{12,9} \cdot 100 \% = 291 \% \quad (3.23)$$

kus K_x - teisendustegur,
 X_0 - nulljärgnevus reaktiivtakistus,
 X_1 - - pärijärgnevus reaktiivtakistus.

Siemens arvutab teguri valemiga 3.24.[15]

$$K_x = \frac{X_0 - X_1}{3 \cdot X_1} = \frac{37,56 - 12,9}{3 \cdot 12,9} = 0,632 \quad (3.24)$$

kus K_x - teisendustegur,
 X_0 - nulljärgnevus reaktiivtakistus,
 X_1 - - pärijärgnevus reaktiivtakistus.

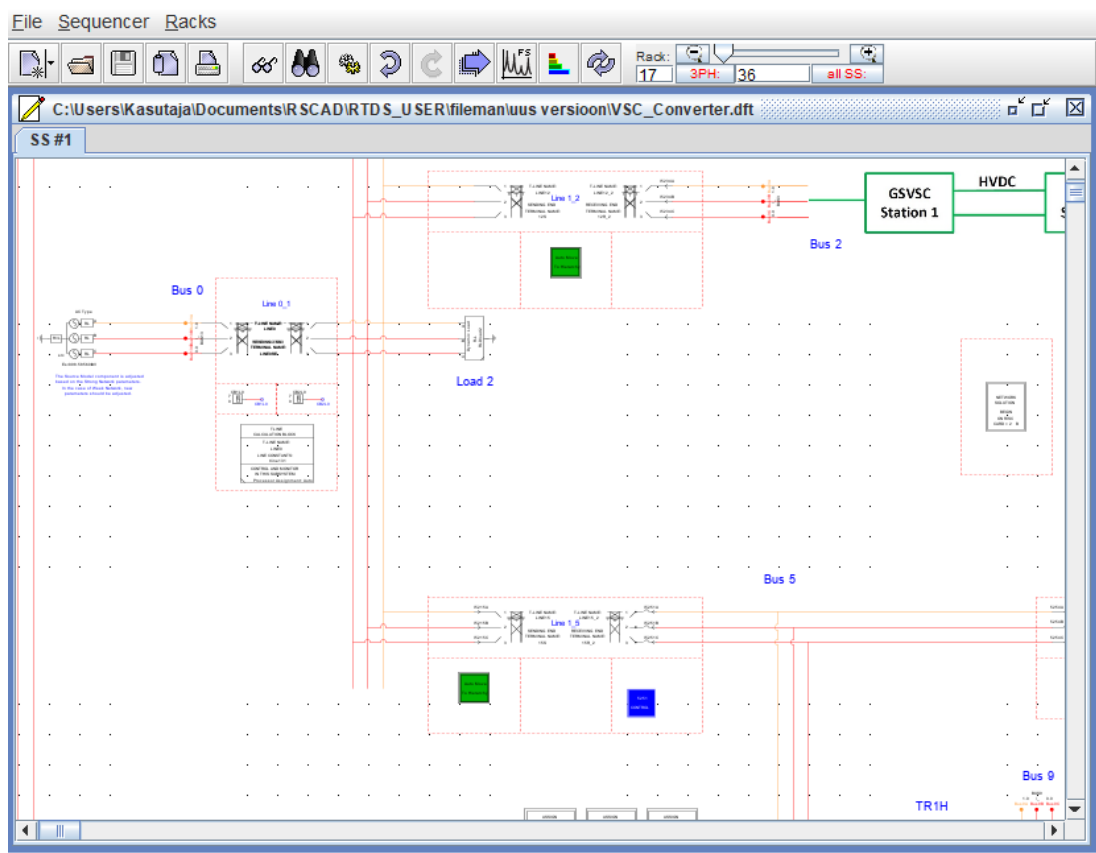
Analoogsete valemitega arvutati ka tegurid K_r , siis asendavad reaktiivtakistusi aktiivtakistused R_0 ja R_1 . Tegurid on toodud tabelis 3.3.

Tabel 3.3. Maalühiste teisendustegurid.

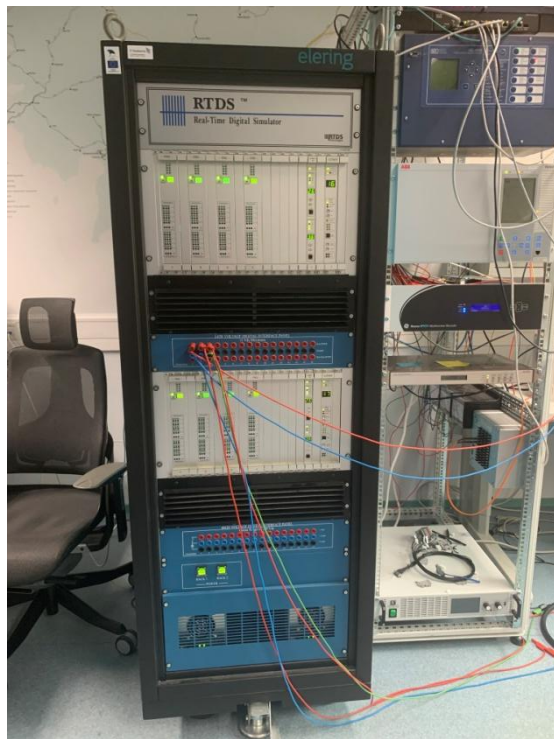
		Siemens	Toshiba
VL2	Kr	2,020	706%
	Kx	0,637	291%
VL3	Kr	3,105	1000%
	Kx	0,733	320%

3.4 Katsetuste teostamine

Katsetuste laboris teostamiseks disainiti võrgumudel RSCAD tarkvaraga. RSCAD võimaldab disainida elektriskeeme ja teostada vastavate skeemidega simulatsioone ning analüüsida nende tulemusi (joonis 3.7). RSCAD tarkvara on toodetud RTDS Technologies Inc. poolt ja kasutab simulatsioonide jooksutamiseks RTDS reaalaja simulaatorit, nähtav joonisel 3.8, mis on välja töötatud sama tootja poolt ning on mõeldud spetsiaalselt keeruliste võrkude protsesside modelleerimiseks ja analüüsimiseks reaalajas.[25]



Joonis 3.7 Kuvatõmmis RSCAD-ist



Joonis 3.8 Reaalajasimulaator RTDS

Testitavateks releeedeks valiti Siemens Siprotec 7SL87 (joonis 3.9) ja Toshiba GRL200 (joonis 3.10).

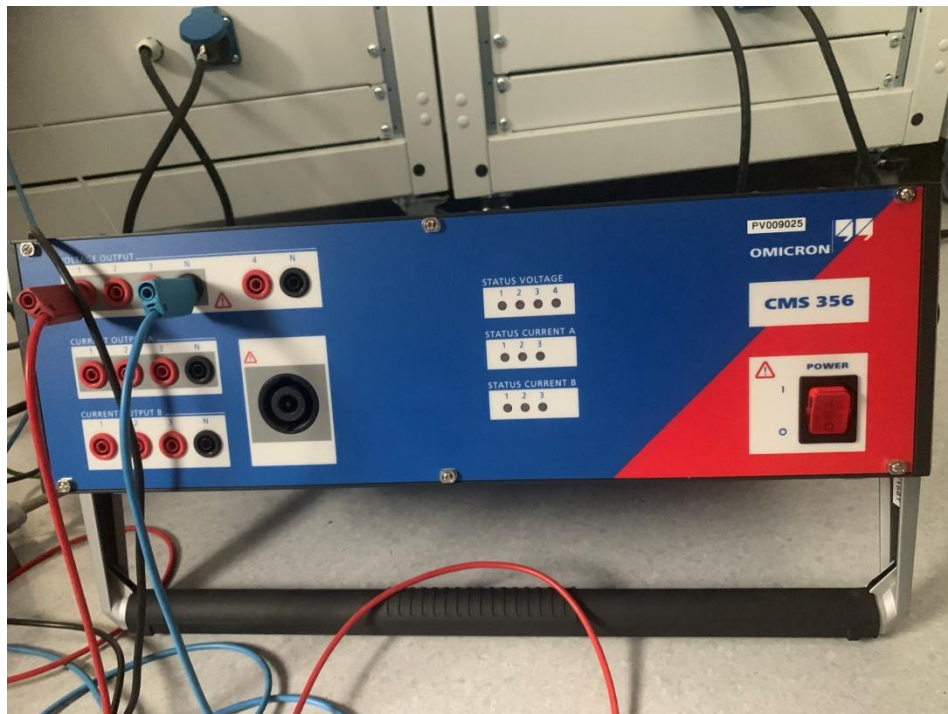


Joonis 3.9 Relee Siemens Siprotec 7SL87



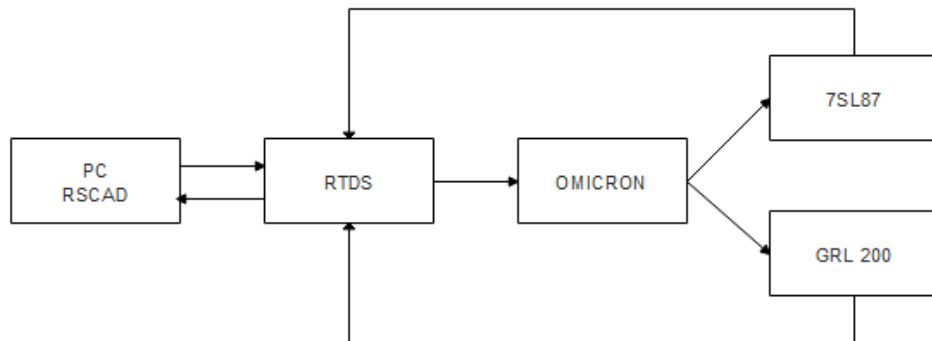
Joonis 3.10 Relee Toshiba GRL200

Releed ühendati Omicron CMS 356 releede testseadmega (joonis 3.11), mis on Omicron Electronics GmbH poolt spetsiaalselt kõikide releetüüpide analüsaator.[26]



Joonis 3.11 Omicron CMS 356 testseade

Omicron omakorda sai signaalid RTDS-iist. Joonisel 3.12 on toodud seadmete skemaatiline ühendus ja info liikumise suunad.



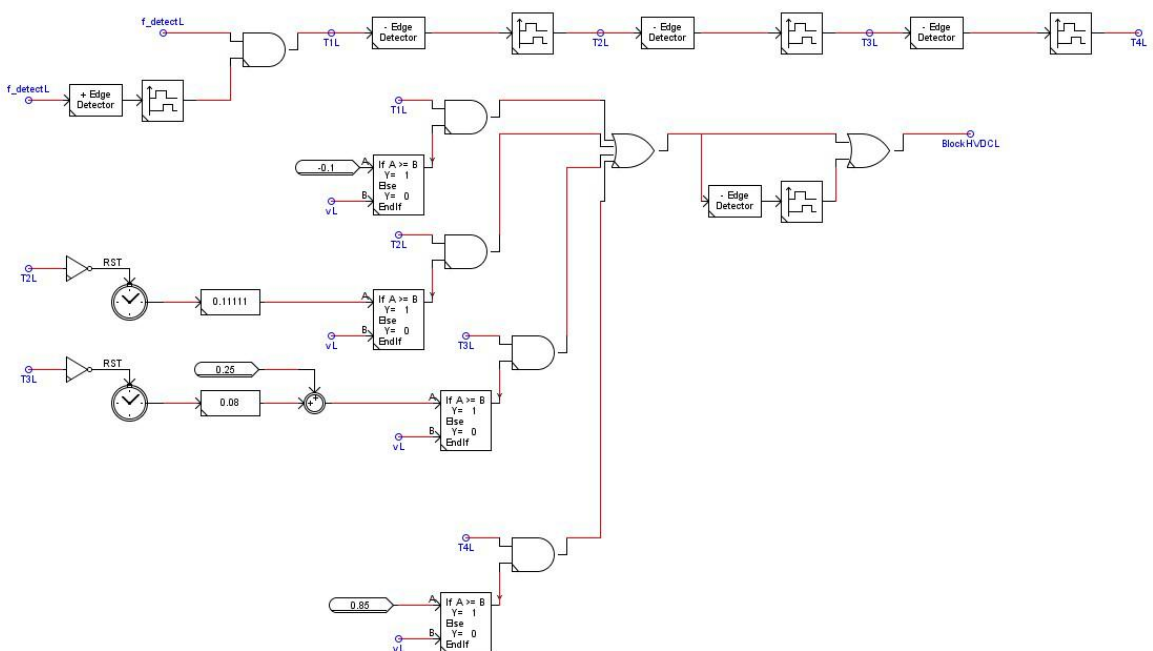
Joonis 3.12 Seadmete ühendusdiagramm

Testimine teostati paralleelselt mõlema kaitserellegega. Testid toimusid eraldi nii võrgust energiat importival latil 2 kui ka energiat võrku eksportival latil 3, et tuvastada releekaitse toimimise erinevused sõltuvuses voolusuunast. Mudelis kasutati 3 erinevat tüüpi alalisvooluühendust:

- voolumuunduriga ühendus kuni 600 MW

- pingemuunduriga ühendus kuni 600 MW
- pingemuunduri ja pingelohu läbimise loogikaga ühendus kuni 600 MW

Pingelohu läbimise loogika ülesanne on vastavalt võrgueeskirjale pakkuda lühise ajal pinge toetust reaktiivenergia genereerimisega. Alalisvooluühendus peab jäädma võrguga ühendatuks sõltuvalt lühise tugevusest ja kestusest. RSCAD-is on kujundatud toimimisloogika, mis vastavalt etteantud parameetritele jälgib, kas pingelohk on ülalpool lubatud kõverat. Juhul, kui pingelohu graafik läbib piirkõvera, toimub automaatne konverteri blokeerimine. Pingelohu läbimise toimimisloogika on ära toodud joonisel 3.13.[27]

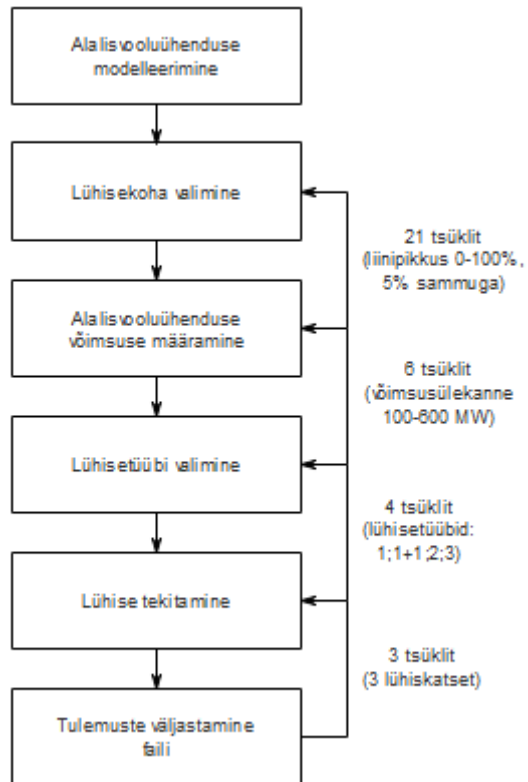


Joonis 3.13 Reaalajasimulaatoris olev pingelohu läbimise toimimisloogika

Katseprogrammi metodika oli alljärgnev:

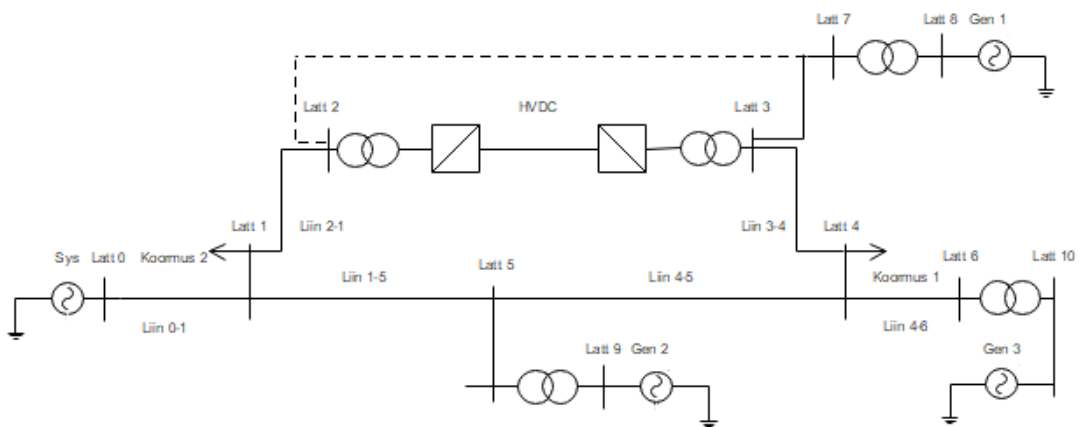
- Liinid jagati 20 lõiguks
- Alalisvooluühenduse koormust muudeti astmeliselt 100 MW resolutsiooniga vahemikus 100-600 MW
- Katsetati nelja erinavat tüüpi lühist (1-faasiline maalühis, 2-faasiline maalühis, 2-faasiline lühis ja 3-faasiline lühis)
- Iga lõigu otstes iga alalisvooluühenduse koormusel tekitati 3 järjestikust korda igat tüüpi lühist
- analüüsits võeti relee reageerimisajaks kolme katse keskmise. Juhul, kui relee ei reageerinud 1,0 sekundi jooksul, loeti kaitse antud katsel mittetoimivaks

Testprogramm koostati programmeerimiskeeles C++.(Lisa 1) Ühe liini testimiseks tekitati 1512 lühist. Testiti nelja liini ja 3 konfiguratsioonis HVDC linki. Kokku kogu põhiprogrammi täitmise jooksul teostati 18 144 lühist. Katseprogrammi plokskeem on toodud joonisel 3.14.



Joonis 3.14 Katseprogrammi plokskeem

Lisatööna teostati mudeli modifikatsioon, kus generaator 1 töösteti latile, mille juures olevat releekaitset testiti.(joonis 3.15)

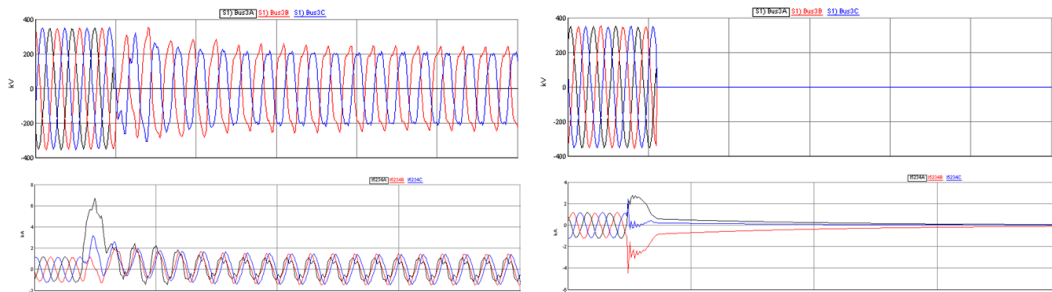


Joonis 3.15 Modifitseeritud mudel

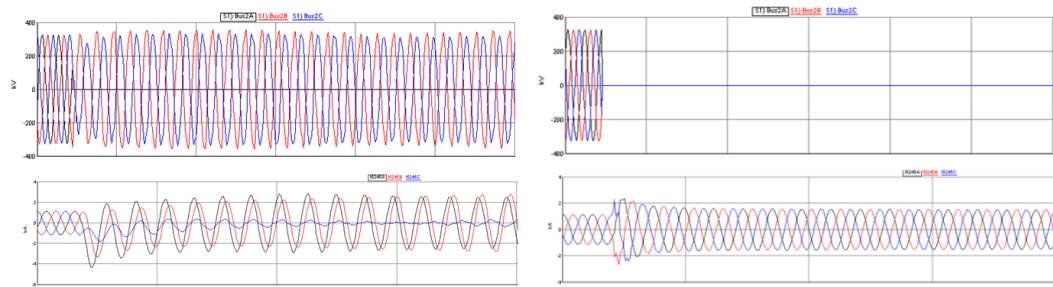
Generaator fikseeriti töötama nominaalvõimsuse 170 MVA juures. Generaatori 1 tööstmist kasutati põhjusel, et see asus testitavatest releekaitsetest takistuslikus mõttes kõige kaugemal ehk avaldas kaitsete toimimisele kõige vähem mõju. Ideaalselt samade katsetingimuste saavutamiseks oleks olnud õige lisada täiesti uus generaator, paraku kasutada oleva realaja simulaatori sõlmede limiit 90 täiendava generaatori lisamist ei võimaldanud.

Lisakatse eesmärgiks oli kontrollida eeldust, et tavalise pöörleva elektrigeneraatori signaali lisamine alaldist või inverterist tulevale signaalile parandab oluliselt releekaitse toimet. Lisakatsel läbiti peale skeemi ümbermodelleerimist põhikatsega analoogne katseprogramm.

Illustratiivselt on joonistel 3.16 ja 3.17 toodud reaalajasimulaatori genereeritud ühe- ja kolmefaasiliste lühiste pinge ja voolu lainekujud vastavalt voolu- ja pingemuundurite kohta. Lühised on teostatud vaheldi vahetus läheduses.



Joonis 3.16 Voolumuunduri ühe- ja kolmefaasiline lühis (pinge ja vool)



Joonis 3.17 Pingemuunduri ühe- ja kolmefaasiline lühis (pinge ja vool)

4. KATSETULEMUSTE ANALÜÜS JA MÕJUDE UURIMINE

Antud töös on katsetulemused toodud välja eraldi voolu suuna suhtes (alaldi ja vaheldi poolsed) ning muunduri tüübi suhtes. Lisades 2-13 on toodud tabelid vastavate lühiskatsete detailsete reageerimisaegadega ning ringdiagrammid lühistele reageerimise liigitusega. Reaktsioonid on liigitatud neljaks: korrektne toime (relee reageerimisaeg kuni 100 ms peale viiteaega), hilinemine (reageerimisaeg 100-300 ms peale viiteaega), vale tsoon (reageerimisaeg üle 300 ms peale viiteaega või enne viiteaega) ning mittereageerimine. Ära peab märkima, et vale tsoonina võeti katsetes arvesse ka ebaoluline viga, kus relee reageeris lühisele eeldatavast erineva ajaga kaitsetsooni arvutusliku vahetuskoha läheduses. Näiteks kaitsetsooni vahetus reaalsuses toimus 90 % liinipikkusel võrreldes arvutusliku 85 %-ga. Lisades toodud tabelistes on lühisele reageerimise aeg kolme katse keskmisenä, ebaõnnestunud katsed tähistati tabelites alljärgnevalt:

- x - ühel katsel kolmest relee ei reageerinud
- xx - kahel katsel kolmest relee ei reageerinud
- xxx - kolmel katsel kolmest relee ei reageerinud

Lisades 14-25 on analoogsed tulemused koos latile ühendatud sünkroongeneraatoriga.

4.1 Katsetulemused latil 2 (muunduri importival poolel)

Voolumuunduri katsetulemused

Korrektelt toimisid kaitstaval objektil

- 7SL87 maalühistel 96 % ja faasidevahelistel lühistel 21 % katsetest
- GRL200 maalühistel 70 % ja faasidevahelistel lühistel 65 % katsetest

Kaugreserveeritaval objektil

- 7SL87 maalühistel 83 % ja faasidevahelistel lühistel 2 % katsetest
- GRL200 maalühistel 29 % ja faasidevahelistel lühistel 0 % katsetest

Kaitstaval liinil toimis relee Siemens Siprotec 7SL87 ebapiisavalt. Minimaalsete häiretega suutis relee tuvastada mõlemad maalühised, nii ühe- kui kahefaasilise. 96 %-le lühistest reageeris relee korrektelt ja 4 %-l juhtudest eksis tsooniga. Viga ei olnud põhimõtteline, sest kaitsetsooni vahetus reaalsuses toimus osaliselt 90 % liinipikkuse juures võrreldes arvutatud 85 %-ga. Suuri probleeme oli kahefaasilise

lühise tuvastamisega, kusjuures relee poolt lühise tuvastamise muster oli seosetu. Kolmefaasiline lühis jäi praktiliselt fikseerimata, vaid 5-s punktis 126-st toimis relee laitmatult kõigi kolme lühiskatse korral. Kaitsetsoon muutus toimus 85-90 % liinipikkusel nagu sätete arvutusel eeldatud. Toshiba GRL200 relee puhul täheldati väärtoimeid. Vigadeta reageeris relee vaid ühefaasilise lühisele. Kahefaasilise ja kahefaasilise maalühise korral toimis relee kaootiliselt. Nähtavalt esines probleeme lühise tuvastamise kiirusega, toimeaeg ulatus kuni 1036 ms sätteväärtsuse 300 ms piirkonnas. Kolmefaasilise lühise tuvastas relee kuni liinipikkuseni kuni 65 % veatult, edasi täheldati häired. Esimese kaitsetooni pikkus oli vastavuses sätete arvutusega.(Lisa 2)

Kaugreserveeritaval liinil toimis relee 7SL87 ootuspäraselt vaid kahefaasilise maalühise korral. Ühefaasiliste lühiste puhul tekkis probleem alates 75% liini pikkusest, millest alates voolude jagunemise töttu relee lühiseid ei tuvastanud. Relee reageeris ühefaasilise maalühise puhul lõpuni minimaalse muunduri koormuse 100 MW puhul, kuid nähtava lühise tuvastamise viivitusega. Toimeaeg ulatus kuni 847 ms vörreldes sätteväärtsusega 600 ms. Kahe ja kolmefaasiliste lühiste puhul relee praktiliselt ei funktsioneerinud. Üksikjuhtumina tuvastas relee lühiseid vaid liinipikkusel 0% ehk lati 1 vahetus läheduses, suuremal distantsil lühiseid ei fikseeritud. Mõningast relee GRL200 toimet täheldati ainult ühefaasiliste lühiste puhul. Kuni 200 MW muunduri koormuste puhul toimis releekaitse liini lõpuni tõrgeteta, koormuse suurenedes hakkas tuvastustsoon lühenema ulatudes 35 %-ni liini pikkusest 600 MW ülekantava võimsuse korral. Kahe- ja kolmefaasilisi ning kahefaasilisi maalühiseid kaugreserveerival liinil ei olnud relee võimeline tuvastama.(Lisa 3)

Pingemuunduri katsetulemused

Korrektelt toimisid kaitstaval objektil

- 7SL87 maalühistel 95 % ja faasidevahelistel lühistel 2 % katsetest
- GRL200 maalühistel 49 % ja faasidevahelistel lühistel 0 % katsetest

kaugreserveeritaval objektil

- 7SL87 maalühistel 86 % ja faasidevahelistel lühistel 0 % katsetest
- GRL200 maalühistel 26 % ja faasidevahelistel lühistel 0 % katsetest

Relee 7SL87 tuvastas kaitstaval liinil üldjoontes korrektelt ühe- ja kahefaasilistel maalühistel (95 % katsetest), osaliselt kaitsetsoon ei vahetunud täpselt 85% liinipikkusel, vaid hiljem (5 %-l juhtudest). Kahe ja kolmefaasilised lühised olid tuvastatavad vaid vähesel määral ja kaitstava liini alguses. Relee GRL 200 tuvastas korrektelt ainult ühefaasilised maalühised. Kahefaasiliste maalühistele reageerimine

oli minimaalne 12-s punktis 126-s. Relee toimeaeg kuni 1036 ms sätteväärtsusega 0 ms piirkonnas viitab raskustele lühise suuna määramisega. Kahe- ja kolmefaasilist lühist relee ei suutnud tuvastada.(Lisa 4)

Kaugreserveeritava liini kogupikkuses reageeris relee 7SL87 analoogselt kaitstava liiniga korrektelt ühe- ja kahefaasilistele maalühistele 86 %-l kordadest. 14 % juhtudest oli tegemist hilinemise või vale tsooniga. Kahe- ja kolmefaasilised lühised olid täiesti tuvastamatud. GRL 200 reageeris piiratud ulatuses kuni 50% liini pikkusest ühefaasilistele maalühistele, teist tüüp lühiseid ei tuvastatud.(Lisa 5)

Pingelohu läbimise loogikaga pingemuunduri katsetulemused

Korrektelt toimisid kaitstaval objektil

- 7SL87 maalühistel 95 % ja faasidevahelistel lühistel 92 % katsetest
- GRL200 maalühistel 61 % ja faasidevahelistel lühistel 51 % katsetest

kaugreserveeritaval objektil

- 7SL87 maalühistel 88 % ja faasidevahelistel lühistel 4 % katsetest
- GRL200 maalühistel 27 % ja faasidevahelistel lühistel 7 % katsetest

Kaitstaval liinil toimis 7SL87 relee 95 % katsete osas veatult. 5 % osas täheldati reageerimise hilinemist või vale tsooni. Muundurist tulenevaid olulisi häireid ei täheldatud. Releekatse 2. kaitsetsoon rakendus vahemikus 85-90 % liini pikkusest nagu arvutustes eeldatud. Relee GRL200 toimis ühe- ja kolmefaasiliste lühiste puhul korrektelt, kahefaasilisel ja kahefaasilisel maalühisel ilmnes selge ala 300 MW ülekantaval võimsusel, kus relee ei suuda määrata lühise suunda. Üleminek esimeselt kaitsetsoonilt teisele toimus vastavuses arvutustega liinipikkusel 85-90 %. (Lisa 6)

70 % kaugreserveeritava liini ulatuses toimis relee 7SL87 ühe- ja kahefaasiliste maalühiste puhul väärtoimeteta. Liini lõpuosas tekkisid toimimisvead, põhjustatuna relee ekslikust lühise takistuslikust mõõtmisest. Liinil suutis relee GRL200 korrektelt reageerida vaid ühefaasilistele maalühistele liinipikkuseni 45%. Ülejäänud alas oli törkeid, kusjuures väärtoimed suurenedes liinipikkuse ja alalisvooluühendusel edastavate koormuste tõustes.(Lisa 7)

4.2 Katsetulemused latil 3 (muunduri eksportival poolel)

Voolumuunduri katsetulemused

Korrektsest toimisid kaitstaval objekttil

- 7SL87 maalühistel 94 % ja faasidevahelistel lühistel 19 % katsetest
- GRL200 maalühistel 82 % ja faasidevahelistel lühistel 27 % katsetest

kaugreserveeritaval objekttil

- 7SL87 maalühistel 66 % ja faasidevahelistel lühistel 0 % katsetest
- GRL200 maalühistel 32 % ja faasidevahelistel lühistel 0 % katsetest

Kaitstaval liinil reageeris relee 7SL87 adekvaatselt ühe- ja kahefaasilistele maalühistele 94 % katsete osas, ülejäänud katsete puhul tähdeldati hilinemist või ebakorrektsed viiteaega. Kahefaasilised lühised tuvastati, kuid problemaatiline oli reageerimisaeg. Kolmefaasilistele lühistele relee ei reageerinud. Kui ühe- ja kahefaasiliste maalühiste puhul toimus kaitsetsoonide vahetus eeldatavas piirkonnas, s. t. 85-90% linipikkusel, siis kahefaasiliste lühiste puhul oli toimeaeg kuni 508 ms ka esimese tsooni piirides. Eeldatavasti tekkis releel probleem kas lühisvoolu tugevuse või lühise suuna määramise osas. Märkimist väärib, et toimeaeg pikenes alalisvooluühenduse koormuse vähenedes ja lühise kaugenedes releest. GRL200 relee tuvastas korrektsest ühe- ja kahefaasilised maalühised 82 %-l katsetest, ülejäänud juhtudel oli tegemist hilinemise või vale viiteaja rakendumisega. Kui ühefaasiliste maalühiste puhul toimus kaitsetsoonni vahetus õiges piirkonnas (85-90% liini pikkusest), siis kahefaasiliste lühiste korral muunduri madalamal koormusel 100 ja 200 MW toimus esimese kaitsetsoonni üleulatus kuni kaitstava liini lõpuni. Osaline lühiste tuvastamine toimis ka kahefaasiliste lühiste puhul, seda suuremal ülekantaval võimsusel (400-600 MW) ja eranditult esimese kaitsetsoonni piires (liini pikkuseni 80 %). Kaugemas osas tekkis releel probleem lühise fikseerimisega. Kolmefaasilist lühisele relee praktiliselt ei reageerinud, tulemuseks 8-s tuvastust 126-st.(Lisa 8)

Kaugreserveeritaval liinil fikseeris 7SL87 ainult ühe- ja kahefaasilised lühised, ühefaasilisi lühiseid tuvastas relee kuni 95 %-ni linipikkusest. Antud tulemusest saab järeladata, et voolumuunduri takistus on eksportival poolel (vaheldi) suurem, kui importival poolel (alaldi). GRL200 registreeris ainult ühefaasilisi maalühiseid. Liini lõpuosas tekkis ka nende tuvastamisel analoogselt 7SL87-ga probleeme, kinnitades üle-eelmises lõigus töstatatud hüpoteesi.(Lisa 9)

Pingemuunduri katsetulemused

Korrektelt toimisid kaitstaval objektil

- 7SL87 maalühistel 91 % ja faasidevahelistel lühistel 3 % katsetest
- GRL200 maalühistel 39 % ja faasidevahelistel lühistel 0 % katsetest

Kaugreserveeritaval objektil

- 7SL87 maalühistel 70 % ja faasidevahelistel lühistel 0 % katsetest
- GRL200 maalühistel 31 % ja faasidevahelistel lühistel 0 % katsetest

Kaitstaval liinil toimus korrektelt relee 7SL87 ühe- ja kahefaasiliste maalühiste tuvastamine. Kahefaasilised lühised fikseeris relee ainult lati 3 vahetus läheduses ning kolmefaasilist lühist ei registreerinud üldse. Täheldati loetud lühiste korral esimese tsooni üleulatust kuni kaitstava objekti lõpuni. GRL200 tuvastas korrektelt ainult ühefaasilisi maalühiseid. Märgati minimaalset tsooni 1 üleulatust liinipikkuseni 90-95 %. Kohati registreeris relee kahefaasilisi maalühiseid, kuid arvestades relee toimeaega 1. tsoonis (viiteaeg 0 ms) kuni 1038 ms, põhjustas lühise suuna määramine või lühisvoolu tuvastamine selgelt ajalülekulu. Kahe- ja kolmefaasilistele lühistele relee ei reageerinud. (Lisa 10)

Kaugreserveeritaval liinil reageeris 7SL87 kahefaasilistele maalühistele kogu liini ulatuses. Ühefaasiliste maalühiste puhul oli problemaatiline 300 MW ülekanav võimsus, mille puhul alates liini pikkusest 30 % relee lühist ei suutnud fikseerida. Registreerimata jäid liini lõpus olevad ühefaasilised lühised. Probleemena saab välja tuua alates liinipikkusest 70 % reageerimise hilinemine ja kohatine vale viiteaeg. Kahe ja kolmefaasilistele lühistele relee ei reageerinud. GRL200 tuvastas ainult ühefaasilisi maalühiseid, alates liinipikkusest 90 % tähdeldati häiringuid. Teistele lühistele relee ei reageerinud.(Lisa 11)

Pingelohu läbimise loogikaga pingemuunduri katsetulemused

Korrektelt toimisid kaitstaval objektil

- 7SL87 maalühistel 91 % ja faasidevahelistel lühistel 94 % katsetest
- GRL200 maalühistel 71 % ja faasidevahelistel lühistel 79 % katsetest

Kaugreserveeritaval objektil

- 7SL87 maalühistel 65 % ja faasidevahelistel lühistel 47 % katsetest
- GRL200 maalühistel 51 % ja faasidevahelistel lühistel 68 % katsetest

Kaitstaval liinil toimis relee 7SL87 kõikide lühisetüüpidega ja täies ulatuses korrektelt 91 %-l katsetest. Ülejäänuute juhtudel oli tegemist hilinemise või kaitsetsooni minimaalse üleulatusega. Esimese kaitsetsooni lõpp paiknes liinipikkusel 85 - 90 %.

Analoogselt fikseeris GRL200 kõiki lühisetüüpe täies liiniulatuses. Probleemeks oli esimese tsooni üleulatus kuni objekti lõpuni nii kahe- ja kolmefaasiliste lühiste kui ka kahefaasiliste maalühiste korral ning ühefaasilistele maalühiste puhul relee toime hilinemine.(Lisa 12)

7SL87 suutis korrektsest määrata kõiki tüüpi lühiseid kaugreserveeritaval liinil kuni pikkuseni 45 %. Edasi tekkisid häired kahe- ja kolmefaasiliste lühiste tuvastamisel. Alates 95 % liinipikkusest ilmnesid probleemid ka ühe- ja kahefaasiliste maalühiste registreerimisel. GRL200 oli võimeline korrektsest reageerima kõigi lühisetüüpide puhul kuni 60 %-ni liinipikkusest. Edasi täheldati häireid kõigi lühisetüüpide puhul. Konkreetsed väärtoimetega mustrit välja tuua ei olnud võimalik.(Lisa 13)

4.3 Katsetulemused latil 2 (muunduri importival poolel) koos generaatoriga

Voolumuunduri katsetulemused

Korrektsest toimisid kaitstaval objektil

- 7SL87 maalühistel 95 % ja faasidevahelistel lühistel 92 % katsetest
- GRL200 maalühistel 96 % ja faasidevahelistel lühistel 95 % katsetest

kaugreserveeritaval objektil

- 7SL87 maalühistel 93 % ja faasidevahelistel lühistel 1 % katsetest
- GRL200 maalühistel 40 % ja faasidevahelistel lühistel 0 % katsetest

Kaitstaval liinil toimisid mölemad releed kõikide lühiste määramisel korrektsest. Esimese kaitsetsooni ulatus oli liinipikkuseni 85 -90 %. (Lisa 14)

Kaugreserveeritaval liinil registreeris 7SL87 kahefaaslist maalühist kõikide katsete puhul liini lõpuni. Ühefaasilise lühisega tekkis probleeme suurtel muunduri koormustel (500 ja 600 MW) alates liinipikkusest 95 %. Kahe- ja kolmefaasilised lühised olid tuvastatavad ainult liini alguses. GRL200 relee puhul oli kolmefaasiline lühis tuvastamatu, kahefaasiline ja kahefaasiline maalühis registreeriti liini alguses. Ühefaasilise maalühise korral toimis relee kogu liini pikkuses väiksematel (100-300 MW) muunduri koormustel vigadeta, ülejäänud juhtudel algasid tõrked koormuste kasvades ja lühisekoha kauguse suurenedes.(Lisa 15)

Pingemuunduri katsetulemused

Korrektelt toimisid kaitstaval objektil

- 7SL87 maalühistel 97 % ja faasidevahelistel lühistel 87 % katsetest
- GRL200 maalühistel 96 % ja faasidevahelistel lühistel 91 % katsetest

kaugreserveeritaval objektil

- 7SL87 maalühistel 92 % ja faasidevahelistel lühistel 3 % katsetest
- GRL200 maalühistel 18 % ja faasidevahelistel lühistel 0 % katsetest

Kaitstaval liinil toimisid mõlemad releed kõikide lühiste määramisel korrektelt.

Esimese kaitsetsooni ulatus oli liinipikkuseni 85 -90 %. (Lisa 16)

Kaugreserveeritaval liinil toimis relee korrektelt 7SL87 ühe- ja kahefaasiliste maalühiste korral, kahe- ja kolmefaasilised lühised fikseeriti kuni liinipikkuseni 10 %. GRL200 reageeris ühefaasilistele maalühistele liinipikkuseni 35 % ning kahefaasilised lühised ja kahefaasilised maalühised tuvastas liini alguses. Kolmefaasilisi lühiseid relee ei fikseerinud. (Lisa 17)

Pingelohu läbimise loogikaga pingemuunduri katsetulemused

Korrektelt toimisid kaitstaval objektil

- 7SL87 maalühistel 95 % ja faasidevahelistel lühistel 95 % katsetest
- GRL200 maalühistel 95 % ja faasidevahelistel lühistel 96 % katsetest

kaugreserveeritaval objektil

- 7SL87 maalühistel 94 % ja faasidevahelistel lühistel 15 % katsetest
- GRL200 maalühistel 54 % ja faasidevahelistel lühistel 18 % katsetest

Kaitstaval liinil toimisid mõlemad releed kõikide lühisetüüpide määramisel korrektelt.

Esimese kaitsetsooni ulatus oli liinipikkuseni 85 -90 %. (Lisa 18)

Kaugreserveeritaval liinil reageeris relee 7SL87 ühe- ja kahefaasilistele maalühistele, kahefaasilised lühised tuvastas kuni 20 %-ni ja kolmefaasilised kuni 5 %-ni liinipikkusest. GRL200 reageeris ühefaasilistele maalühistele liinipikkuseni 55 % ning kahefaasilised lühised ja kahefaasilised maalühised fikseeriti liinipikkuseni 45 %, v.a. 100 MW ülekantava võimsusega kahefaasiline maalühis, kus häired tekkisid juba liinipikkusel 35 %. Kolmefaasilisi lühiseid registreeris relee ainult liini alguses. (Lisa 19)

4.4 Katsetulemused latil 3 (muunduri eksportival poolel) koos generaatoriga

Voolumuunduri katsetulemused

Korrektelt toimisid kaitstaval objektil

- 7SL87 maalühistel 97 % ja faasidevahelistel lühistel 87 % katsetest
- GRL200 maalühistel 88 % ja faasidevahelistel lühistel 81 % katsetest

kaugreserveeritaval objektil

- 7SL87 maalühistel 92 % ja faasidevahelistel lühistel 48 % katsetest
- GRL200 maalühistel 44 % ja faasidevahelistel lühistel 48 % katsetest

Kaitstaval liinil toimisid mõlemad releed köikide lühiste määramisel. Relee 7SL87 puhul oli esimese kaitsetsoon ulatus arvutuslikul kaugusel ehk liinipikkusel 85 -90 %. Kahefaasiliste lühiste korral tähdeldati kaitse hilinemist suurematel (300-600 MW) alalisvooluühenduse koormustel. GRL 200 puhul oli ühefaasiliste maalühiste esimene kaitsetsoon eeldatud pikkusega, kahe- ja kolmefaasiliste lühiste ning kahefaasilise maalühise puhul ulatub esimene kaitsetsoon üle kaitstava objekti lõpu, põhjustades väärtoimeid. Tsoonni üleulatuse põhjuseks oli mudeli konfiguratsiooni muutus (latil 3 toimis paralleelselt muunduriga 170 MVA generaator), mistõttu oleks pidanud ka releekaitsesätted ümber arvutama. Kuna antud töö esmaülesandeks ei olnud õigete releekaitsesätete arvutamine ja käesolev katse ei ole põhifookuses, siis lubati releekaitse väärtoime koos selle põhjuste selgitamisega.(Lisa 20)

Kaugreserveeritaval liinil fikseeris relee 7SL87 kogu liini ulatuses kõik ühe- ja kahefaasilised maalühised. Teine kaitsetsoon lõppes ühefaasiliste lühiste puhul 5 % enne arvutuslikku piiri. Kahefaasilised lühised olid tuvastatavad kuni liinipikkuseni 70 % ja kolmefaasilised 40 %-ni. GRL200 tundis ära ühefaasilised maalühised 20 %-ni liinipikkusest ja ülejäänud lühisetüüpide tuvastamisel tekkisid häired alates liinipikkusest 65 %. (Lisa 21)

Pingemuunduri katsetulemused

Korrektelt toimisid kaitstaval objektil

- 7SL87 maalühistel 95 % ja faasidevahelistel lühistel 52 % katsetest
- GRL200 maalühistel 76 % ja faasidevahelistel lühistel 81 % katsetest

kaugreserveeritaval objektil

- 7SL87 maalühistel 80 % ja faasidevahelistel lühistel 59 % katsetest
- GRL200 maalühistel 28 % ja faasidevahelistel lühistel 49 % katsetest

Kaitstaval liinil registreerisid mölemad releed kõik lühisetüübidi. Relee 7SL87 puhul toimus kaitsetsoonide vahetus ebastabiilselt liinipikkustel 80 - 95 %. GRL 200 puhul oli esimene kaitsetsoon ühefaasiliste maalühistekorral vastavuses arvutatud pikkusega, kahe- ja kolmefaasiliste lühiste ning kahefaasilise maalühise puhul toimus reageerimine viiteajata üle kaitstava objekti lõpu, põhjustades väärtoimeid.(Lisa 22)

Relee 7SL87 reageeris kaugreserveeritava liini ühe- ja kahefaasilistele maalühistele probleemideta kogu liini ulatuses. Samas oli kahefaasiliste maalühiste puhul täheldada teise kaitsetsoon üleulatust liini lõpuni. Kahefaasilised lühised tuvastas relee probleemivabalt kuni 60 %-ni ja kolmefaasilised kuni 5 %-ni liinipikkusest. Ülejäänud alal olid tulemused kaootilised. GRL200 registreeris kõiki lühiseid kuni liinipikkuseni 10 %, kaugemal olid tulemused kaootilised, v. a. kolmefaasiliste lühiste puhul, kus tuvastuspiirkond ulatub 75 %-ni.(Lisa 23)

Pingelohu läbimise loogikaga pingemuunduri katsetulemused

Korrektelt toimisid kaitstaval objektil

- 7SL87 maalühistel 93% ja faasidevahelistel lühistel 94 % katsetest
- GRL200 maalühistel 71 % ja faasidevahelistel lühistel 80 % katsetest

kaugreserveeritaval objektil

- 7SL87 maalühistel 76 % ja faasidevahelistel lühistel 55 % katsetest
- GRL200 maalühistel 39 % ja faasidevahelistel lühistel 63 % katsetest

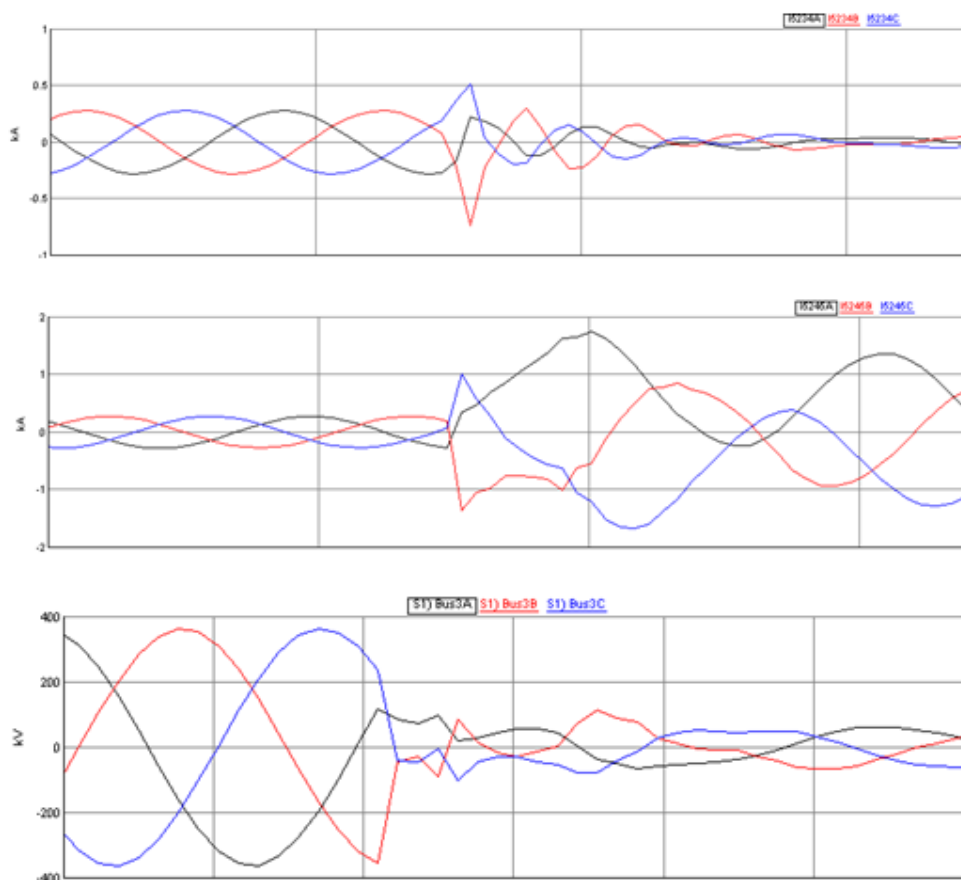
Kaitstaval liinil tuvastasid mölemad releed kõik lühisetüübidi. Relee 7SL87 puhul ulatus esimene kaitsetsoon liinipikkuseni 85 - 90 %. GRL 200 puhul oli ühefaasiliste maalühiste kaitsetsoon vastavuses arvutatud pikkusega, kahe- ja kolmefaasiliste lühiste ning kahefaasilise maalühise puhul ulatus esimene kaitsetsoon üle kaitstava objekti, põhjustades väärtoimeid.(Lisa 24)

Kaugreserveeritaval liinil suutis relee 7SL87 valdavalt reageerida kõikidele lühisetüpidele. Probleeme oli kahe- ja kolmefaasiliste lühiste puhul alates liinipikkusest 50 %, kusjuures täheldatav oli väärtoimetee suurenemine alalisvooluühenduse koormuse suurenedes ja liinipikkuse kasvades. Järjekordsest oli täheldatav teise kaitsetsoon üleulatus objekti lõpuni. GRL200 puhul oli märgata kaootiliste lühisetuvastusprobleemide teke alates liinipikkusest 50 % kahe- ja kolmefaasiliste ning kahefaasiliste maalühiste puhul. Ühefaasilised maalühised registreeris relee kuni liinipikkuseni 15 %. (Lisa 25)

4.5 Katsetulemuste analüüs

Siemens SIPROTEC 7SL87 ja Toshiba GRL200 distantskaitseredel tekib probleeme lühiste tuvastamisel, kui lühise toide on alalisvoolu muunduriga. Suurimaks põhjuseks on releede disain sünkroongeneraatorite poolt toidetavates vahelduvvooluvõrkudes toimimiseks, kus transiendid on klassikaliselt siinuse kuju säilitavad ja sumbuudat signaalid.

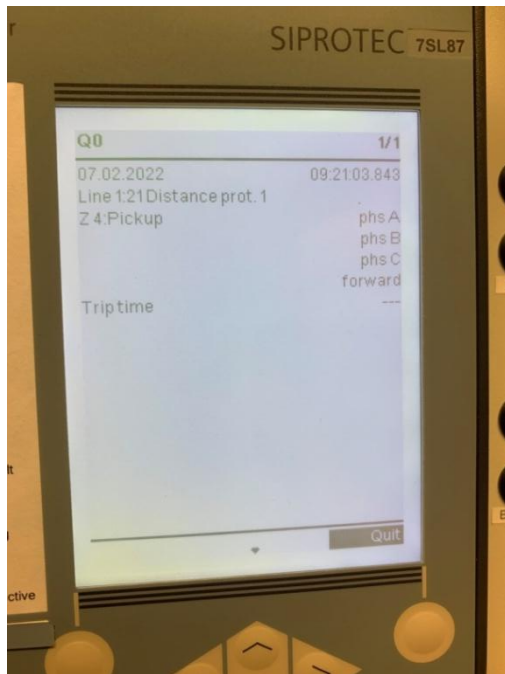
Muundurite puhul on transientide kuju hoopis keerukam, sest alalisvooluühendused on palju kompliitseerituma ülesehitusega sisaldaides harmoonikuid summutavaid filtreid. Filtri on disainitud konkreetsete koormuste jaoks ja lühiste puhul ei toimi antud filtri enam efektiivselt ja nii pinge- kui voolusignaaleesse tekivad kõrgemad harmoonikud. Pinge- ja voolusignaalid on toodud joonisel 5.1.



Joonis 4.1 RSCAD diagrammid: vool lattidel 3 ja 4 ning pinge latil 3 kolmefaasilisel lühisel liinil 4-5 voolumuunduri puhul

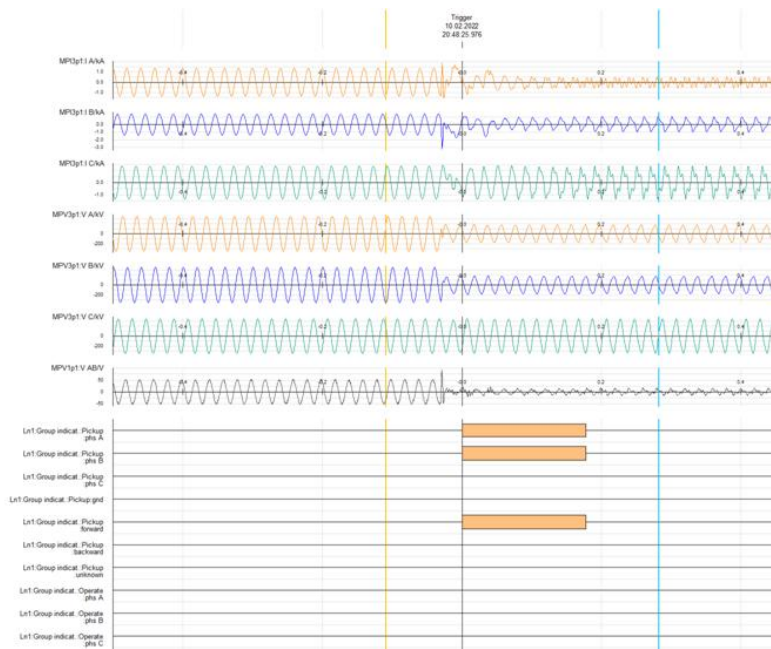
Alalisvooluühendus ei ole konstantse takistusega ja antud lühise puhul on ka näha, et voolude jagunemise tõttu osutub muundurist lähtuv lühisvool nõrgemaks, kui

koormusvool. Seetõttu tekibki releel raskusi kahe- ja kolmefaasilistele lühistele reageerimisel liinil 4-5, sest takistuslikult asub lühis sätetes määratust kaugemal. Joonisel 5.2 on nähtav vastav signaal releel ekraanil.



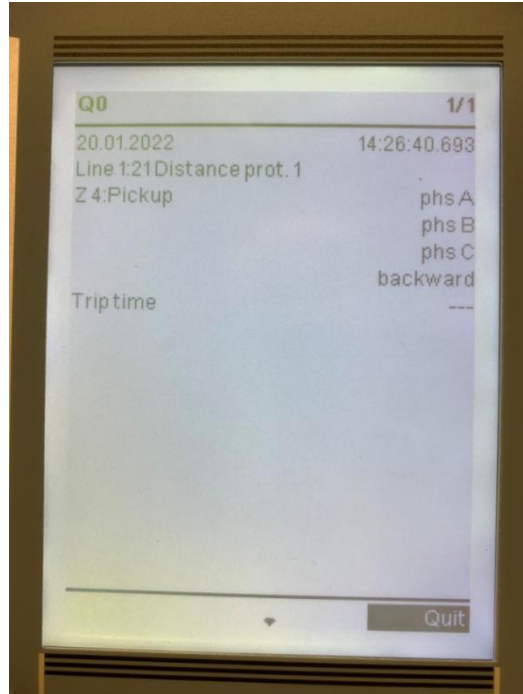
Joonis 5.2 Relee 7SL87 tuvastab lühise, aga ei väljasta täitekäsku

Joonisel 5.3 on toodud voolumuunduriga ühenduse lühis liinil 4-5, kus analoogselt eelpool toodud kolmefaasilise lühisega tuvastab relee kahefaasilise lühise, kuid lühisvoolu väärthus on voolujagunemise tõttu liiga väike, et relee toimiks.



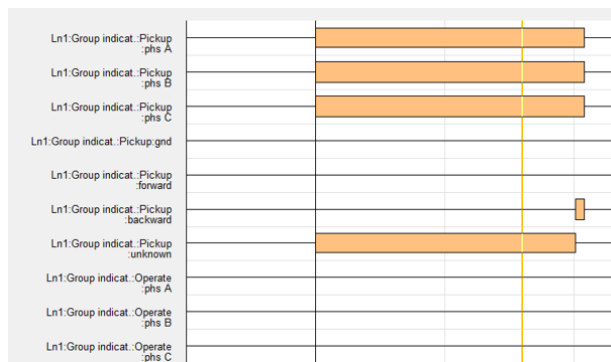
Joonis 5.3 7SL87 kahefaasilisele lühisele ei reageeri

Kahe- ja kolmefaasiliste lühiste puhul ei ole voolu ja pinge signaalid peale lühist siinuselised nagu nähtav jooniselt 5.1, seega tekib lühise suuna määramisel probleeme ka esimeses kaitsetsoonis. Joonistel 5.4 on näha, et relee eksib kolmefaasilise lühise suunda määramisel voolumuunduri puhul liinil 3-4.



Joonis 5.4 7SL87 määrab kolmefaasilise lühise suuna valesti

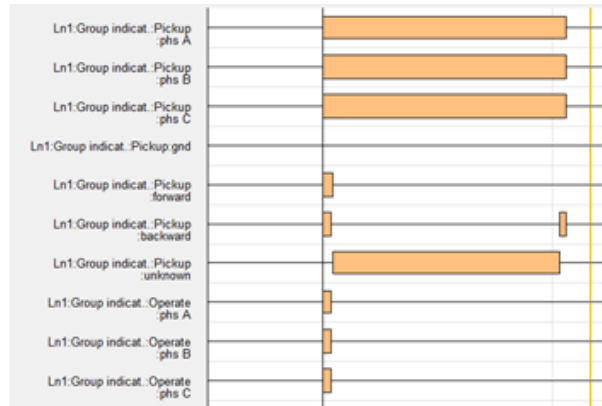
Joonisel 5.5 on näha, et algsest ei suuda relee eelpool mainitud lühise puhul tuvastada selle suunda ja lühise lõpuks väärtoimena fikseeritakse lühis releest tagapool.



Joonis 5.5 Relee 7SL87 toime kolmefaasilise lühise jooksul liinil 3-4

Esines ka situatsioone, kus relee lühise jooksul nägi korduvat suunamuutust. voolumuunduriga mudelis liinil 2-1 esimeses kaitsetsoonis on näha, kuidas relee 7SL87 tuvastab 3-faasilise lühise nii ees- kui tagapool ja lülitub. Sama lühise jooksul

muutub lühise suund tuvastamatuks ja lõpuks näeb relee lühist uuesti tagapool. Antud toime on nähtav joonisel 5.6.

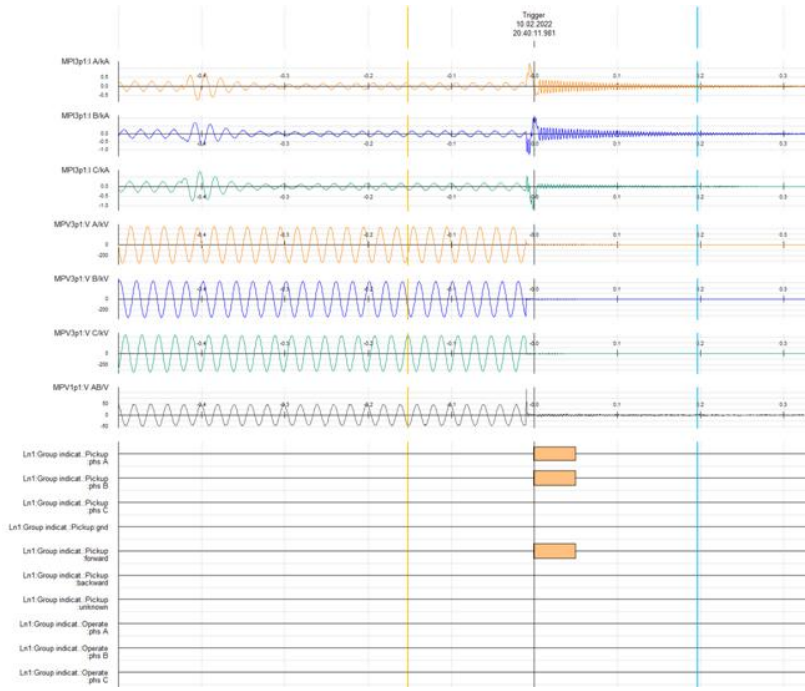


Joonis 5.6 Relee 7SL87 toime kolmefaasilise lühise jooksul liinil 4-5

Analoogsel juhul võib relee tegevus põhjustada lisaviiteaja tekkimist ja selgitab, miks on võimalik viiteajata kaitsetsoonis relee toimeaeg üle 1000 ms. Relee tuvastab lühist teadmata suunas või tagapool, kuni voolu ja pinge signaalide muutus võimaldab releel fikseerida lühise kaitsetsoonis ja reageerida.

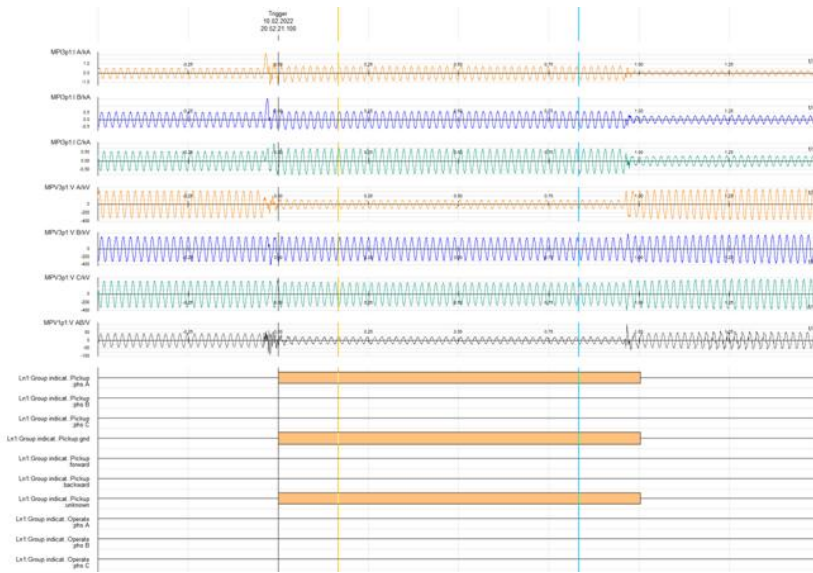
Pingemuunduri puhul tuvastasid releed ainult maalühiseid, sest pingi langemine nulli lähedale faasidevahelise lühise puhul katkestab võimsuse edastamise lingis ning voolu ja pingi puudumisel ei suuda relee lühist tuvastada. Omapärana saab siin välja tuua, et kui Siemens suudab esimesel liinil eksimatult reageerida nii ühe- kui kahefaasilistele maalühisele, siis Toshiba suudab tuvastada vaid ühefaasilise maalühise. Siit saab järel dada, et releed kasutavad erinevaid lühise suuna määramise algoritme.

Kui pingelohu läbimise loogikaga varustatud pingemuunduriga ühenduse puhul toimivad releekaitsed esimeses kaitsetsoonis üldjuhul korralikult kõikide lühisetüüpidega (v.a. 300 MW ülekantava võimsusega tsoon Toshiba GRL200 importival poolel), siis teises kaitsetsoonis liinil 1-5 7SL87 enam kahefaasilisele lühisele ei reageeri, sest tuvastatav lühisekestus jäääb viiteajale alla. Relee väljavõte on toodud joonisel 5.7.



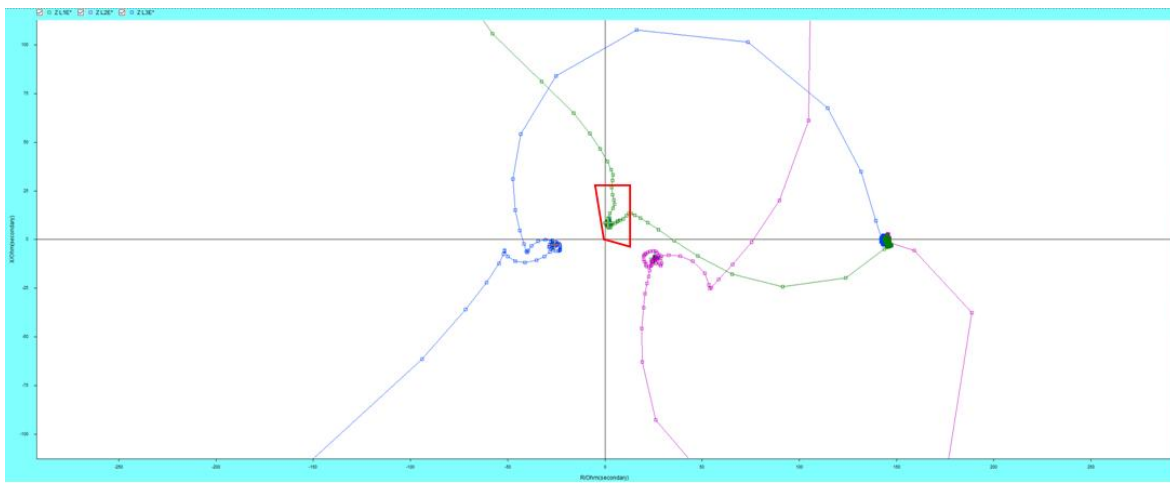
Joonis 5.7 Kahefaasiline lühis pingelohu läbimise loogikaga varustatud pingemuunduriga teises kaitsetsoonis

Pingemuunduriga mudelil korral esines liinil 4-5 ülekantaval võimsusel 300 MW piirkond, kus ühefaasiline maalühis osutus Siemens 7SL87 poolt tuvastamatuks, sest releed ei suutnud määrata lühise suunda. Relee väljavõte on toodud joonisel 5.8.



Joonis 5.8 Ühefaasiline lühis pingemuunduriga ühendusega teises kaitsetsoonis

Vaadeldes lühise parameetreid X-R tasandil joonisel 5.9, on näha, et lühises faasi näivtakistus (joonisel tähistatud rohelisega) jõuab küll kaitsetsoonile (joonisel punane), kuid vastavalt joonisel 5.8 toodud väljavõtttele relee lühisele ei reageeri.



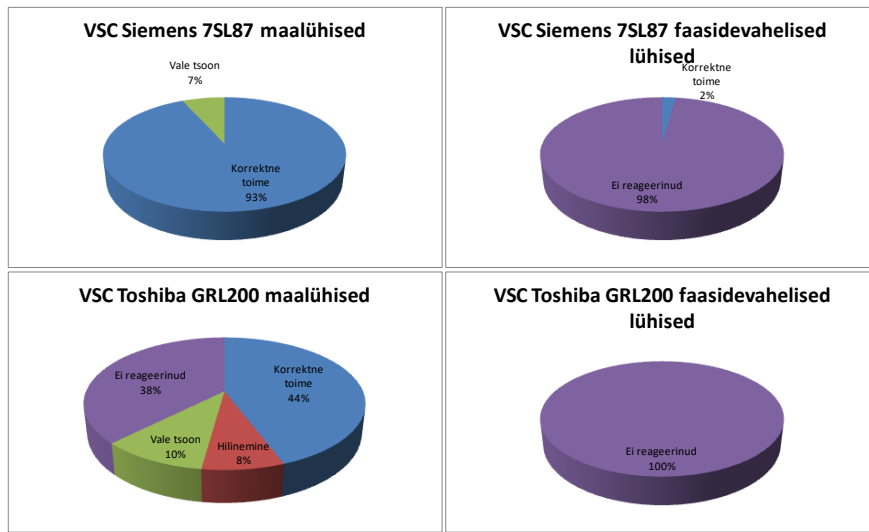
Joonis 5.9 Ühefaasiline lühis pingemuunduriga ühendusega teises kaitsetsoonis X-R tasandil

Üldised järedused, mida saab teha releede katsetamisest

- Releede lühistele reageerimise efektiivsus sõltub alalisvooluühenduse puhul lühise tüübist. Lühiste tuvastamise kvaliteet vähenes järjekorras ühefaasilised maalühised, kahefaasilised maalühised, kahefaasilised lühised ja kolmefaasilised lühised
- Relee toimed on sarnased muunduri importival (alaldi) ja eksportival (vaheldi) poolel, erandina esineb vaheldi poolel kaitsetsoonide üleulatust
- Relee väärtoimete arv üldjuhul suureneb liini pikkuse kasvades ja muunduri koormuse tõustes
- Esinevad alalisvooluühenduse ülekantavad võimsused, kus relee väärtoimed joonistuvad katsetabelites selgelt välja selge piirkonnana. Antud mudelis Toshiba GRL200-1 liinil 2-1 pingelohu läbimise loogikaga pingemuunuri 300 MW koormuse juures kahefaasilise lühise ja kahefaasilise maalühise puhul ning Siemens 7SL87-1 liinil 4-5 pingemuunduriga ühenduse 300 MW koormuse juures ühefaasilise lühise puhul.(lisad 6 ja 11)

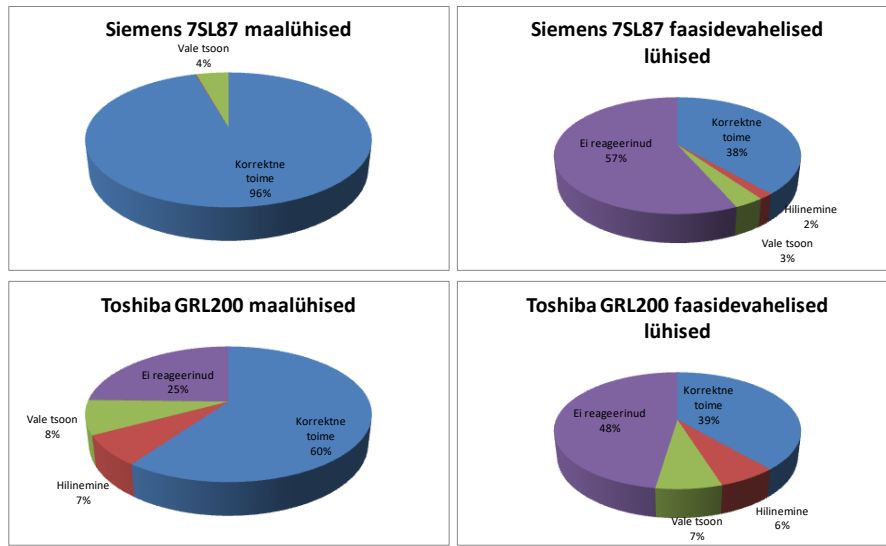
Lisakatsena tehti antud töös testid, kus lisati kontrollitava relee latile täiendavalt 170 MVA generaator. Eelduseks oli, et generaator annab piisavalt tugevad sünkroonmasinale omased signaalid, et relee väärtoimeid vältida. Katsetuse tulemused näitasid, et sellise abinõu kasutuselevõtmisel kaitstaval liinil toimuva lühise korral, toimis releekaitse praktiliselt veatult. Lühise tekkimisel kahe erineva lühist toitva haruga võrgu osas tekkisid häired relee töös, mistöttu saab väita, et generaatori lisamisel toimib releekaitse korrektsest ainult kaitstava objekti lõpuni.

Pingelohu läbimise loogikata pingemuunduri puhul faasidevahelisi lühiseid kumbki relee praktiliselt ei tuvastanud, sest jäiklühisega kaasnev pingekadu lülitab konverteri toite välja enne reageerimisaega. (joonis 5.10)

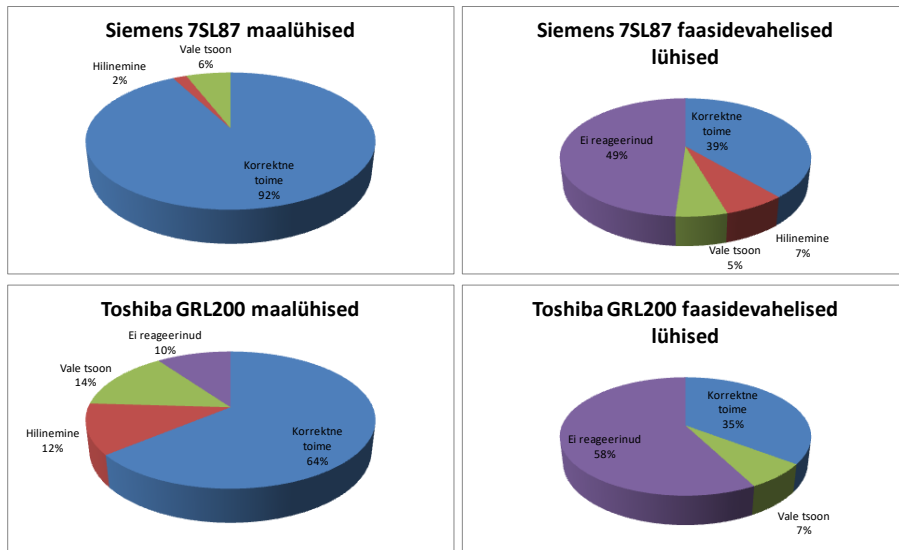


Joonis 5.10 Releede reageerimine pingemuunduri poolt toidetavatele lühistele kaitstava liini ulatuses

Releekaitse toimet vaadates ei olnud märgatavaid erinevusi kaitstava liini ulatuses sõltuvalt sellest, kas kaitse oli muunduri mõttes importival (joonis 5.11) või eksportival (joonis 5.12) suunal.

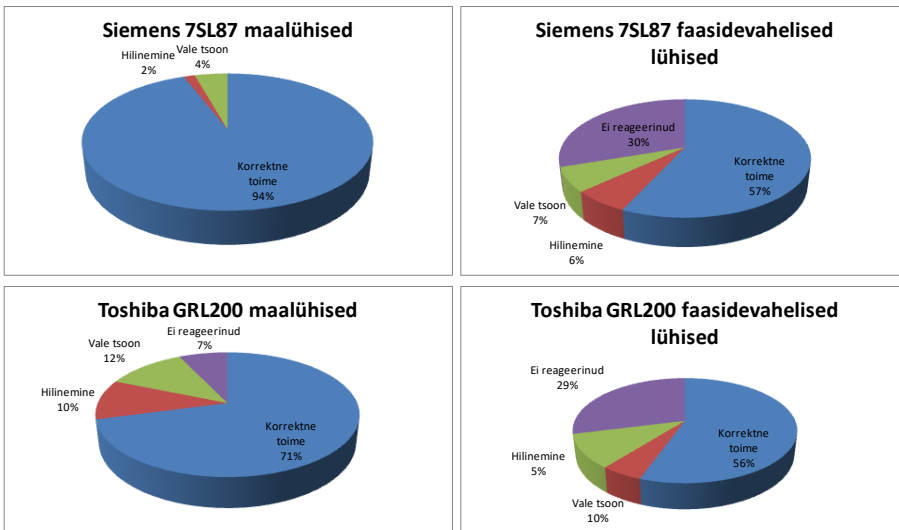


Joonis 5.11 Lühised alalisvooluühenduse importival latil



Joonis 5.12 Lühised alalisvooluühenduse eksportival latil

Releed käitusid lühise tuvastamisel erinevalt. Vaadeldes voolumuunduriga ja pingelohu läbimise loogikaga pingemuunduriga mudelite tulemusi kaitseobjekti osas saab väita, et Siemens SIPROTECH 7SL87 suudab määrata maalühiseid Toshiba GRL200-st mõnevõrra paremini. Faasidevaheliste lühiste puhul erinevust ei tähdeldatud. (joonis 5.13). Erinevust põhjustavad töenäoliselt releeti erinevad voolu ja pinge mõõtmise algoritmid ja/või kaitsetsoonide erinevad piirid X-R tasandil.



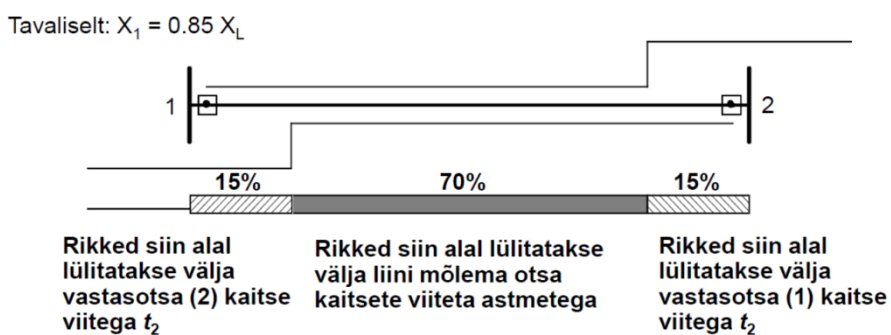
Joonis 5.13 Lühised voolumuunduriga ja pingelohu läbimise loogikaga pingemuunduriga kaitstava liini ulatuses

4.6 Järeldused

Katsetulemused kinnitavad, et releed Siemens SIPROTEC 7SL87 ja Toshiba GRL200 ei sobi oma distantskaitse funktsiooni osas liinikaitse elemendiks ainult alalisvooluühendusega ühendatud latil. Põhjuseks on, et releed on disainitud töötama sünkroongeneraatorite poolt toidetavates vahelduvvooluvõrkudes ja seetõttu on lühiste korral voolu suuna määramine tõsiseks probleemiks. Antud probleemi lahendamiseks on vaja muuta distantskaitserelude lühise suuna määramise mooduseid.

Käesolevaid releesid on võimalik kasutada liinide kaitseks, kui lisada muunduri latile sünkroongeneraator või -kompensaator. Seejuures tuleb aga arvestada, et käesolevad distantskaitsereleed toimivad kuni lühisvoolu jagunemise kohani. Kahe lühisvoolu liitumine tekitab juba relee lühise tuvastamises häireid, mistõttu tuleks probleemi vältimiseks kaitsesätted ümber arvutada.

Teise võimalusena saab käesolevas mudelis kasutada sidekanaliga kaitset, kus liini teises otsas VL1 või VL4 juures olev relee vaatab vastavalt lati 2 või lati 3 poole ning lühise tekkides liinil 2-1 või 3-4 tuvastab selle asukoha, sest releed läbiv lühisvool tuleb sünkroongeneraatorist. Peale relee reageerimist saadab see signaali vastavalt VL2 või VL3 juures olevale releele täitmiskorralduse. Antud juhul tuleb aga arvestada viiteajaga lühise tuvastamisest vastasotsa poolt kuni relee rakendumiseni. Sidekanaliga relee skeem on toodud joonisel 5.14.



Joonis 5.14 Sidekanaliga kaitse skeem[12]

Kolmanda võimalusena saab kasutada diferentsiaalkaitset, kus toimuvalt voolu ja pinge mõõtmised liini erinevates otses ning lühise tuvastamisel lahutatakse võimsuslülitud liini mölemas otsas. Diferentsiaalkaitse on viiteajata absoluutselt selektiivne kaitse.

KOKKUVÕTE

Käesoleva töö eesmärgiks oli uurida kõrgepinge alalisvooluühenduste toimet vahelduvvoolu kõrgepingevõrgu distantskaitsele kasutades RSCAD tarkvara abil moodustatud mudelit, mida lühiskatsete käigus testiti reaalajasimulaatoril (RTDS). Muunduri latilt algava vahelduvvoolu kõrgepingeliini releesätted arvutati analoogselt sünkroongeneraatorite poolt toidetava relee sätetega. Probleemi püstituse eelduseks oli tees, et alalisvooluühenduse käitumine lühise ajal erineb kardinaalselt sünkroongeneraatori käitumisest, seega võis eeldada häireid releekaitsete töös.

Töö käigus testiti kahe relee, Toshiba GRL200 ja Siemens SIPROTECH 7SL87 distantskaitsereleede reageerimist lühistele nii kaitstava kui ka kaugreserveeritava liini osas, seda alalisvooolungi importival kui eksportival poolel. Nii kaitstaval kui kaugreserveerital liinil testiti maa- (1 ja 1+1) ning faasidevahelisi (2 ja 3) lühiseid ühtlaselt kogu liinipikkuse ulatuses ja erinevatel HVDC lingi koormustel (100-600 MW).

Katsetulemused näitasid mölemad relee väärtoimeid. Põhjusteks olid eelkõige piiratud lühisvool, mis ei võimaldanud määratada täpset lühise asukohta ja seepärast esines relee poolt lühise tuvastamist vales kaitsetsoonis või kaitsetsoonidest väljaspool, ning lühisvoolu mittesiinuseline kuju, mis takistas relee poolt lühise asukoha määramist ja põhjustas relee rakendumise hilinemist või mitterakendumist.

Oluliselt parem oli maalühiste määramine kaitseobjekti piires, sest nulljärgnevusvoolu tuvastamine ei tekitanud releedele suuri probleeme. Siin oli parema lühisetuvastusvõimega Siemens 7SL87, mis tuvastas 100 %-liselt maalühised ja 94 %-liselt reageeris õigeaegselt. Toshiba GRL200 ei suutnud märgata 7 % maalühistest ja õigeaegselt reageeris vaid 71 % lühistele. Kaugreserveeriva liini lühiste puhul olid tulemused lühisvoolude jagunemise tõttu oluliselt nõrgemad.

Faasidevaheliste lühiste korral erinevate releede puhul kvalitatiivset erinevust ei esinenud. Kaitstava liini puhul reageerisid releed õigeaegselt 56-57 % lühistest ja lühisele jäi reageerimata 29-30 % katsetest. Kaugreserveeriva liini lühiste puhul täheldati analoogset käitumist maalühistega.

Täiendavalt testiti mudelit, kus lisaks HVDC lingile toitis latti ka sünkroongeneraator, viimase lühisvool osutus võrreldes alalisvooluühendusega domineerivaks, mistõttu mölemad releed reageerisid 100 %-liselt kaitstava objekti ulatuses. Kaugreserveeriva objekti puhul releede lühisetuvastuse võime langes. Selle küsimus lahendamine ei olnud antud töö skoobis ja vajab täiendavalt uurimist.

Lõpptulemusena selgus käesoleva töö käigus, et klassikaliselt rakendatud releekaitse ei sobi väärtoimete tõttu muunduriga ühendatud vahelduvvooluliini kaitseks. Alalisvooluühenduse vahetus läheduses on vajalik kasutada sidekanaliga distantskaitset, mille puhul liini teises otsas olev relee annab lühise nägemisel korralduse liin välja lülitada või absoluutsele selektiivset pikidiferentsiaalkaitset, mis võrdleb voolu väärtsi ja suundasid samaaegselt liini mölemas otsas.

KASUTATUD KIRJANDUS

- [1] J. Arillaga, High Voltage Direct Current Transmission, Short Run Press Ltd., 1988
- [2] K. Kilk, Baltimaade elektrisüsteemid 2025+, AES0200 Energiasüsteemi strateegiline arendamine, loenguslaidid 23.10.2019
- [3] J. Kilter, EES5110 Alalisvoourakendused elektrisüsteemides, loenguslaidid 24.11.2020
- [4] ABB Ltd., ABB overhead transmissionlines for HVDC,
<https://www.hitachiabb-powergrids.com/offering/product-and-system/hvdc/overhead-lines>, 27.01.2022
- [5] F. M. Gonzales-Longatt, Introduction to Direct Current Transmission,
<http://fglongatt.org/DownloadArea/DownloadArea.html#1Presentations>, 1.02.2022
- [6] D. Jovcic ja K. Ahmed, High Voltage Direct Current Transmissioon, John Wiley & Sons Ltd., 2015.
- [7] J. Dixon, Three-phase Controlled Rectifiers,
<http://edge.rit.edu/content/P12026/public/Three%20Phase%20Rectification>, 03.02.2022
- [8] J.Joller, Jõuelektronika, Tallinna Tehnikaülikooli kirjastus, 1996
- [9] M. Daryabak ja S. Filizadeh, Analysis of Waveform Approximation for the AC Current of a Line-commutated Converter,
<https://ieeexplore.ieee.org/document/6713068>, 21.02.2022
- [10] B. B. Jayant, The IGBT Device: Physics, Design and Applications of the Insulated Gate Bipolar Transistor, Elsevier, 2018
- [11] A. M. Abbas ja P. W. Lehn, PWM Based VSC-HVDC Systems,
<https://ieeexplore.ieee.org/document/5275751?msclkid=ab8b9554a94211ec8271e7708d93717a>, 21.03.2022
- [12] M. Tealane, EES5020 Automaatika ja reelekaitse, loenguslaidid 04.03.2020
- [13] X. Zhao, T. Priebe, J. B. Curis ja P. Holmberg, Impact of HVDC Stations on Protection of AC Systems, CIGRE raport, 2011
- [14] P. M. Anderson, Power System Protection, Wiley-IEEE Press Ltd., 1999
- [15] G. Ziegler, Numerical Distance Protection, Publicis Erlangen GmbH, 2011
- [16] M. M. Alam, Distance Protection of Networks Supplied from VSC-HVDC,
<https://repositorio-aberto.up.pt/bitstream/10216/111434/2/260183.pdf>, 28.02.2022
- [17] M. Tang, C. Xiao, J. Ouyang ja R. Yu, The Analysis of Distance Protection Operation Characteristics of Power System Based on VSC-HVDC

Iinterconnection, <https://ieeexplore.ieee.org/document/8245677>,
28.02.2022

- [18] I. Yahyaoui, Advances in Renewable Energies and Power Technologies, Elsevier, 2018
- [19] Elering AS, Võrgueeskiri
<https://elering.ee/sites/default/files/public/Teenused/Liitumine/National%20implementation%20of%20RfG%20established%20by%20Elering.docx>, 7.04.2022
- [20] I. Cowan ja B. Marshall, Evaluation of HVDC Impact on AC Network Protection, veebiseminar 27.04.2021
- [21] P. B. Khoke, S. Malode, VSC Based HVDC Transmission Line,
https://ijariie.com/AdminUploadPdf/REVIEW__VSC_BASED_HVDC_TRANS_MISsION_LINE_ijariie5260.pdf, 5.03.2022
- [22] W.C. Stemmet, J. Smith & G. Atkinson-Hope, AC Harmonic Filter Design Methodology for HVDC Systems,
<http://digitalknowledge.cput.ac.za/bitstream/11189/7843/1/AC%20harmonic%20filter%20design%20methodology%20for%20HVDC%20systems.pdf>, 5.03.2022
- [23] Ü. Treufeldt, Lühised elektrisüsteemides, Tallinna Tehnikaülikooli kirjastus, 2002
- [24] Toshiba Ltd., Manual Relay Toshiba GRL200,
<https://www.scribd.com/document/481615215/Manual-Relay-Toshiba-GRL200-pdf>, 7.03.2022
- [25] RTDS Technologies Ltd., kodulehekülg,
<https://www.rtds.com/applications/protection-systems/>, 8.03.2022
- [26] Omicron Electronics GmbH, kodulehekülg,
<https://www.omicronenergy.com/en/products/cmc-356/>, 8.03.2022
- [27] M. Popov, Accurate Models for Desktop Protection Studies and Hardware-in-the-Loop (HiL) Tests, Horizon2020 project MIGRATE, 2016.

LISA 1. C++ script lühiste testimiseks

voolumuunduriga liinil 1-2

```
float 7SL87_trip_time, GRL200_trip_time, Load;
int i, j, k, l;

external "Subsystem #1 : CTLs : Vars : 7SL87_trip_time"7SL87tr;
external "Subsystem #1 : CTLs : Vars : GRL200_trip_time"GRL200tr;

string filename;
filename="C:\Users\Kasutaja\Documents\RSCAD\RTDS_USER\fileman\uus versioon\LCC\L1_2fault.csv";
fopen(filename,"w");
fprintf(filename,"%s;\n","Testing results on Line 1_2 fault");
SUSPEND 0.1;
MasterPlotLockState = 1;
SUSPEND 0.1;
SUSPEND 0.1;
SetSwitch "Subsystem #1 : CTLs : Inputs : LATIVALIK" = 1;
SUSPEND 0.1;
SetSlider "Subsystem #1 : CTLs : Inputs : FLTDURL12" = 2.0;
fprintf(filename, "%s;%s;%s;%s;\n", "7SL87_trip_time", "GRL200_trip_time", "Fault type", "HVDC Load
p.u.");
for (j=1;j<22;j=j+1)
{
    if(j==1){fprintf(filename,"%s;\n","Fault at 0% of Line 1-2");}
    if(j==1){SetSlider "DraftVariables : L12dist" = 0.0;}

    if(j==2){fprintf(filename,"%s;\n","Fault at 5% of Line 1-2");}
    if(j==2){SetSlider "DraftVariables : L12dist" = 5.0;}

    if(j==3){fprintf(filename,"%s;\n","Fault at 10% of Line 1-2");}
    if(j==3){SetSlider "DraftVariables : L12dist" = 10.0;}

    if(j==4){fprintf(filename,"%s;\n","Fault at 15% of Line 1-2");}
    if(j==4){SetSlider "DraftVariables : L12dist" = 15.0;}

    if(j==5){fprintf(filename,"%s;\n","Fault at 20% of Line 1-2");}
    if(j==5){SetSlider "DraftVariables : L12dist" = 20.0;}

    if(j==6){fprintf(filename,"%s;\n","Fault at 25% of Line 1-2");}
    if(j==6){SetSlider "DraftVariables : L12dist" = 25.0;}

    if(j==7){fprintf(filename,"%s;\n","Fault at 30% of Line 1-2");}
    if(j==7){SetSlider "DraftVariables : L12dist" = 30.0;}

    if(j==8){fprintf(filename,"%s;\n","Fault at 35% of Line 1-2");}
    if(j==8){SetSlider "DraftVariables : L12dist" = 35.0;}

    if(j==9){fprintf(filename,"%s;\n","Fault at 40% of Line 1-2");}
    if(j==9){SetSlider "DraftVariables : L12dist" = 40.0;}

    if(j==10){fprintf(filename,"%s;\n","Fault at 45% of Line 1-2");}
    if(j==10){SetSlider "DraftVariables : L12dist" = 45.0;}

    if(j==11){fprintf(filename,"%s;\n","Fault at 50% of Line 1-2");}
    if(j==11){SetSlider "DraftVariables : L12dist" = 50.0;}

    if(j==12){fprintf(filename,"%s;\n","Fault at 55% of Line 1-2");}
    if(j==12){SetSlider "DraftVariables : L12dist" = 55.0;}

    if(j==13){fprintf(filename,"%s;\n","Fault at 60% of Line 1-2");}
    if(j==13){SetSlider "DraftVariables : L12dist" = 60.0;}

    if(j==14){fprintf(filename,"%s;\n","Fault at 65% of Line 1-2");}
    if(j==14){SetSlider "DraftVariables : L12dist" = 65.0;}

    if(j==15){fprintf(filename,"%s;\n","Fault at 70% of Line 1-2");}
    if(j==15){SetSlider "DraftVariables : L12dist" = 70.0;}
```

```

if(j==16){fprintf(filename,"%s;\n","Fault at 75% of Line 1-2");}
if(j==16){SetSlider "DraftVariables : L12dist" = 75.0; }

if(j==17){fprintf(filename,"%s;\n","Fault at 80% of Line 1-2");}
if(j==17){SetSlider "DraftVariables : L12dist" = 80.0; }

if(j==18){fprintf(filename,"%s;\n","Fault at 85% of Line 1-2");}
if(j==18){SetSlider "DraftVariables : L12dist" = 85.0; }

if(j==19){fprintf(filename,"%s;\n","Fault at 90% of Line 1-2");}
if(j==19){SetSlider "DraftVariables : L12dist" = 90.0; }

if(j==20){fprintf(filename,"%s;\n","Fault at 95% of Line 1-2");}
if(j==20){SetSlider "DraftVariables : L12dist" = 95.0; }

if(j==21){fprintf(filename,"%s;\n","Fault at 100% of Line 1-2");}
if(j==21){SetSlider "DraftVariables : L12dist" = 100.0; }

Start;
SUSPEND 0.1;
for (i=1;i<7;i=i+1)
{
    SetSlider "Subsystem #1 : CTLs : Inputs : IDCORDER" = i/10;
    SUSPEND 0.1;
    Load=i/10;

    for (k=1;k<5;k=k+1)
    {
        //MasterPlotLockState = 0;
        SUSPEND 0.1;
        SetSwitch "Subsystem #1 : CTLs : Inputs : CONFAL12" = 0;
        SUSPEND 0.1;
        SetSwitch "Subsystem #1 : CTLs : Inputs : CONFBL12" = 0;
        SUSPEND 0.1;
        SetSwitch "Subsystem #1 : CTLs : Inputs : CONFCL12" = 0;
        SUSPEND 0.1;
        SetSwitch "Subsystem #1 : CTLs : Inputs : CONFABL12" = 0;
        SUSPEND 0.1;
        SetSwitch "Subsystem #1 : CTLs : Inputs : CONFBCL12" = 0;
        SUSPEND 0.1;
        SetSwitch "Subsystem #1 : CTLs : Inputs : CONFICAL12" = 0;

        if(k==1){SetSwitch "Subsystem #1 : CTLs : Inputs : CONFAL12" = 1;}
        SUSPEND 0.1;
        if(k==2){SetSwitch "Subsystem #1 : CTLs : Inputs : CONFAL12" = 1;}
        if(k==2){SetSwitch "Subsystem #1 : CTLs : Inputs : CONFBL12" = 1;}
        SUSPEND 0.1;
        if(k==3){SetSwitch "Subsystem #1 : CTLs : Inputs : CONFABL12" = 1;}
        SUSPEND 0.1;
        if(k==4){SetSwitch "Subsystem #1 : CTLs : Inputs : CONFABL12" = 1;}
        if(k==4){SetSwitch "Subsystem #1 : CTLs : Inputs : CONFICAL12" = 1;}
        MasterPlotLockState = 1;

        for (l=1;l<4;l=l+1)
        {

            SUSPEND 0.1;
            PushButton "Subsystem #1 : CTLs : Inputs : Start";
            SUSPEND 0.1;
            ReleaseButton "Subsystem #1 : CTLs : Inputs : Start";
            SUSPEND 10.0;
            MasterPlotLockState = 0;
            SUSPEND 0.1;
            PushButton "Subsystem #1 : CTLs : Inputs : Tosh_reset";
            SUSPEND 0.1;
            ReleaseButton "Subsystem #1 : CTLs : Inputs : Tosh_reset";
            SUSPEND 0.1;
            PushButton "Subsystem #1 : CTLs : Inputs : Sie_reset";
            SUSPEND 0.1;
            ReleaseButton "Subsystem #1 : CTLs : Inputs : Sie_reset";
        }
    }
}

```

```

        SUSPEND 0.1;
        PushButton "Subsystem #1 : CTLs : Inputs : FLTL12";
        SUSPEND 0.1;
        ReleaseButton "Subsystem #1 : CTLs : Inputs : FLTL12";
        SUSPEND 0.1;

        7SL87_trip_time=arraymax(7SL87tr);
        GRL200_trip_time=arraymax(GRL200tr);
        fprintf(filename,"% .3f;% .3f;% .0f;% .1f;\n",7SL87_trip_time,
               GRL200_trip_time, k, Load);
        SUSPEND 0.1;
        MasterPlotLockState = 1;

    }

}

Stop;
}

```

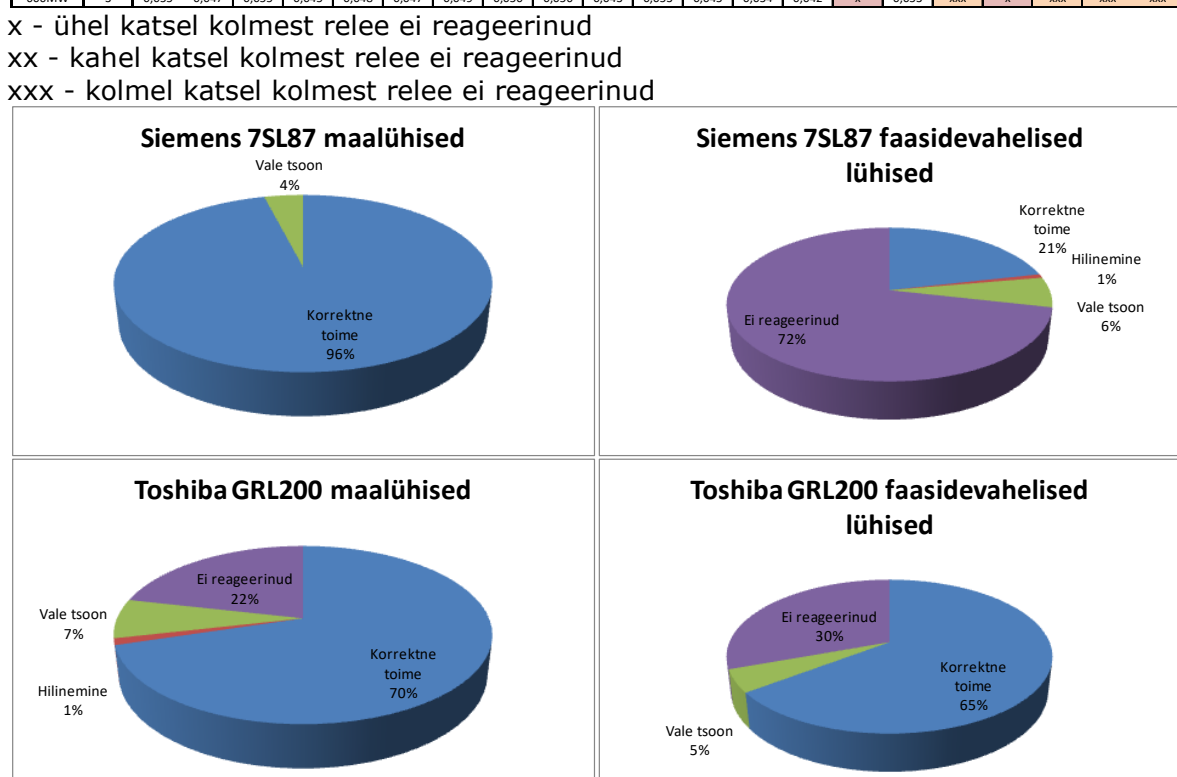
LISA 2. Testitulemused liinil 2-1 LCC-ga

Siemens 7SL87

Liinipikkus		0%	5%	10%	15%	20%	25%	30%	35%	40%	45%	50%	55%	60%	65%	70%	75%	80%	85%	90%	95%	100%	
Võimsus	L1-2	7SL87																					
100MW	1	0,024	0,022	0,027	0,027	0,032	0,034	0,036	0,031	0,025	0,023	0,029	0,032	0,037	0,047	0,055	0,060	0,204	0,324	0,323	0,327		
200MW	1	0,029	0,025	0,025	0,029	0,029	0,032	0,035	0,036	0,027	0,025	0,032	0,034	0,026	0,039	0,067	0,070	0,079	0,322	0,323	0,319	0,328	
300MW	1	0,028	0,023	0,024	0,028	0,037	0,029	0,023	0,027	0,031	0,034	0,027	0,030	0,031	0,033	0,041	0,057	0,056	0,219	0,326	0,330	0,330	
400MW	1	0,028	0,032	0,033	0,033	0,029	0,033	0,033	0,029	0,026	0,035	0,028	0,036	0,034	0,045	0,054	0,059	0,056	0,239	0,330	0,326	0,326	
500MW	1	0,032	0,029	0,034	0,035	0,037	0,028	0,029	0,033	0,031	0,030	0,029	0,030	0,035	0,038	0,046	0,058	0,066	0,328	0,330	0,328	0,337	
600MW	1	0,033	0,029	0,030	0,026	0,031	0,029	0,029	0,032	0,029	0,036	0,033	0,032	0,042	0,065	0,054	0,068	0,061	0,256	0,329	0,325	0,327	
100MW	1+1	0,027	0,024	0,023	0,026	0,030	0,035	0,037	0,034	0,039	0,042	0,050	0,049	0,050	0,055	0,054	0,061	0,159	0,339	0,346	0,332		
200MW	1+1	0,027	0,023	0,021	0,029	0,029	0,040	0,038	0,038	0,034	0,031	0,038	0,048	0,055	0,051	0,052	0,059	0,089	0,336	0,332	0,338		
300MW	1+1	0,030	0,026	0,024	0,030	0,026	0,031	0,033	0,041	0,036	0,031	0,038	0,052	0,058	0,056	0,054	0,053	0,062	0,167	0,334	0,321	0,326	
400MW	1+1	0,032	0,023	0,026	0,023	0,027	0,039	0,052	0,043	0,035	0,044	0,043	0,054	0,052	0,059	0,053	0,060	0,145	0,331	0,329	0,327		
500MW	1+1	0,024	0,048	0,023	0,019	0,032	0,047	0,045	0,056	0,051	0,051	0,048	0,054	0,050	0,055	0,066	0,062	0,248	0,332	0,325	0,326		
600MW	1+1	0,030	0,024	0,029	0,023	0,029	0,046	0,043	0,047	0,056	0,060	0,062	0,052	0,071	0,057	0,063	0,067	0,269	0,331	0,329	0,327		
100MW	2	0,038	0,046	0,057	0,058	xx	xxx	0,653	xxx	xxx	xxx												
200MW	2	0,041	x	0,052	0,058	x	0,078	xxx	0,457	0,460	0,341	0,325	0,579	0,779									
300MW	2	0,069	0,067	0,074	0,066	0,068	0,070	0,064	0,071	xx	xxx	xx	xxx	xxx	xxx	xx	xxx	0,536	0,340	0,343	0,351		
400MW	2	0,044	0,072	0,083	x	xx	0,067	0,067	x	xxx	xxx	x	0,063	x	0,062	xxx	xxx	0,590	0,358	0,350	0,349		
500MW	2	0,038	0,055	0,055	0,049	0,046	0,056	0,050	x	xxx	xxx	xx	0,049	0,042	0,033	0,031	0,030	0,333	0,344	0,354	0,357		
600MW	2	x	0,053	x	xxx	xx	xxx	xx	0,415	0,326	0,342	0,345	0,351	0,354									
100MW	3	x	xx	x	xx	x	xx	x	xx	xx	xx												
200MW	3	xx																					
300MW	3	x	0,044	x	0,053	x	xx																
400MW	3	x	xx																				
500MW	3	xxx	xx	xx	xxx	xxx	xx																
600MW	3	xxx	xx																				

Toshiba GRL200

Liinipikkus		0%	5%	10%	15%	20%	25%	30%	35%	40%	45%	50%	55%	60%	65%	70%	75%	80%	85%	90%	95%	100%
Võimsus	L1-2	GRL200																				
100MW	1	0,033	0,029	0,034	0,035	0,037	0,038	0,040	0,037	0,032	0,030	0,048	0,043	0,032	0,029	0,041	0,049	0,048	0,049	0,326	0,334	0,335
200MW	1	0,036	0,031	0,031	0,036	0,033	0,035	0,038	0,043	0,033	0,031	0,047	0,048	0,042	0,033	0,031	0,048	0,043	0,333	0,330	0,334	
300MW	1	0,034	0,029	0,027	0,033	0,041	0,032	0,026	0,032	0,037	0,040	0,041	0,083	0,033	0,035	0,034	0,038	0,040	0,046	0,335	0,333	0,336
400MW	1	0,035	0,036	0,038	0,038	0,033	0,036	0,038	0,035	0,032	0,039	0,043	0,105	0,038	0,064	0,036	0,064	0,039	0,044	0,328	0,336	0,334
500MW	1	0,037	0,033	0,041	0,039	0,039	0,031	0,033	0,037	0,035	0,038	0,044	0,126	0,043	0,043	0,046	0,047	0,128	0,330	0,340	0,338	
600MW	1	0,038	0,033	0,037	0,031	0,033	0,034	0,033	0,037	0,032	0,041	0,062	0,165	0,045	0,052	0,057	0,060	0,180	0,330	0,331	0,329	
100MW	1+1	xx	xxx	xxx	xxx	xx																
200MW	1+1	0,067	0,060	0,059	xx	0,052	0,038	xx	0,071	xx	xx	x	xxx	xx								
300MW	1+1	xx																				
400MW	1+1	xx																				
500MW	1+1	xx																				
600MW	1+1	xxx	xxx	xx																		
100MW	2	0,060	0,056	0,061	0,041	0,048	0,064	0,070	0,067	0,074	0,059	0,058	0,054	0,065	0,063	0,065	0,065	0,067	0,062	xx	xx	
200MW	2	0,059	0,036	0,057	0,047	0,046	0,065	0,073	0,066	0,071	0,059	0,058	0,059	0,072	0,055	0,064	0,065	0,066	0,063	xx	xx	
300MW	2	x	0,066	0,073	0,066	0,064	0,071	0,066	0,073	0,064	0,071	0,068	0,071	0,068	0,071	0,049	0,063	0,064	0,063	0,061	xx	
400MW	2	xxx	xxx	xx	0,068	xx	x	xx	0,040	0,047	0,058	0,041	0,039	0,055	0,077	0,041	0,037	0,043	0,046	0,047	0,247	
500MW	2	x	0,061	x	0,058	0,053	0,062	0,054	0,055	0,055	0,058	0,062	0,060	0,058	0,054	0,050	0,050	0,043	0,222	0,776	0,896	
600MW	2	0,065	xxx	xx																		
100MW	3	0,043	0,045	0,041	0,043	0,043	0,045	0,045	0,040	0,038	0,041	0,047	0,043	0,043	0,039	0,041	0,046	0,048	x	xx	xx	
200MW	3	0,041	0,045	0,042	0,042	0,047	0,046	0,046	0,044	0,052	0,043	0,041	0,051	0,041	0,061	0,044	0,062	0,048	xx	xx	xx	
300MW	3	0,047	0,052	0,046	0,044	0,037	0,047	0,044	0,043	0,037	0,048	0,059	0,055	0,054	0,059	0,045	0,045	0,058	0,069	xx	xx	xx
400MW	3	0,054	0,046	0,052	0,052	0,053	0,047	0,054	0,052	0,045	0,048	0,048	0,049	0,049	0,051	0,051	0,051	x	xx	xx	xx	xx
500MW	3	0,048	0,056	0,051	0,049	0,057	0,047	0,044	0,049	0,073	0,045	0,051	0,049	0,051	0,061	0,053	0,053	0,053	0,053	0,053	0,053	
600MW	3	0,055	0,047	0,055	0,045	0,048	0,047	0,049	0,050	0,056	0,043	0,053	0,045	0,054	0,042	0,053	0,053	0,053	0,053	0,053	0,053	



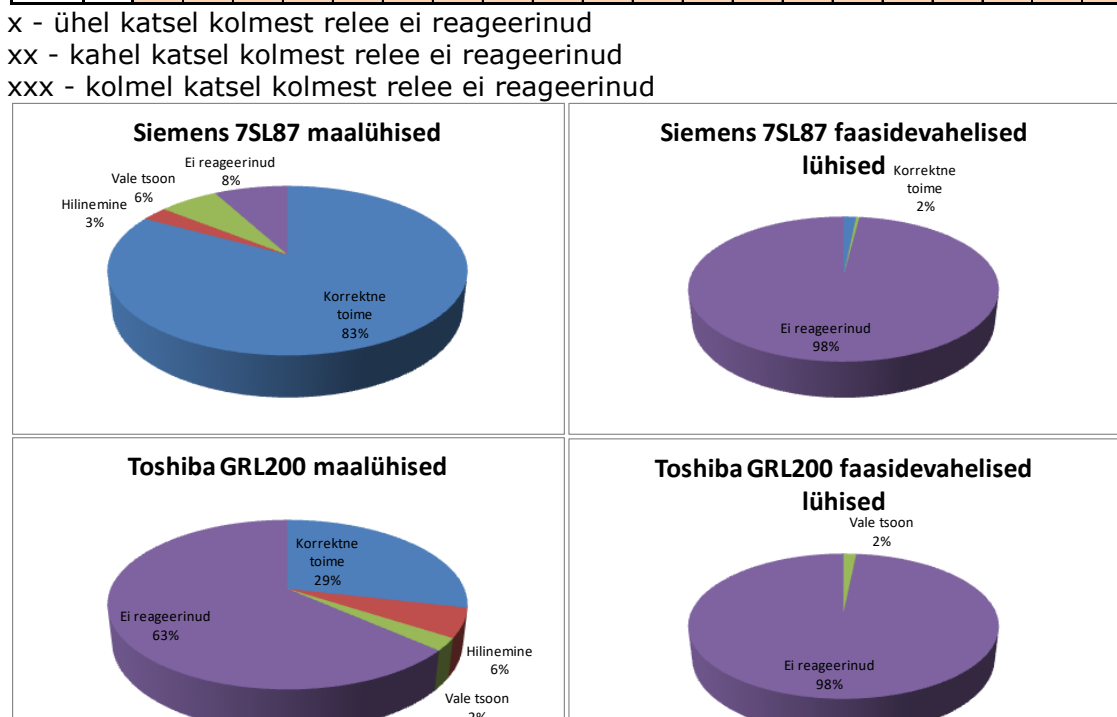
LISA 3. Testitulemused liinil 1-5 LCC-ga

Siemens 7SL87

Liinipikkus		0%	5%	10%	15%	20%	25%	30%	35%	40%	45%	50%	55%	60%	65%	70%	75%	80%	85%	90%	95%	100%
Võimsus	L1-5	7SL87																				
100MW	1	0,328	0,332	0,326	0,623	0,627	0,627	0,641	0,626	0,642	0,635	0,660	0,648	0,644	0,650	0,659	0,652	0,652	0,653	0,704	0,847	0,769
200MW	1	0,323	0,330	0,318	0,317	0,423	0,328	0,331	0,657	0,642	0,656	0,658	0,660	0,663	0,664	0,674	0,755	0,651	0,663	x	x	x
300MW	1	0,329	0,323	0,328	0,629	0,643	0,648	0,646	0,641	0,661	0,658	0,655	0,651	0,658	0,652	0,648	xx	0,663	xx	xx	0,870	xxx
400MW	1	0,331	0,331	0,335	0,653	0,658	0,643	0,648	0,654	0,660	0,643	0,640	0,641	0,650	0,649	0,659	0,656	0,650	0,663	xxx	xxx	xxx
500MW	1	0,328	0,342	0,356	0,643	0,647	0,653	0,656	0,649	0,648	0,647	0,645	0,647	0,642	0,647	0,648	0,654	0,650	0,663	xx	xxx	xxx
600MW	1	0,331	0,335	0,337	0,639	0,647	0,773	0,685	0,649	0,646	0,647	0,636	0,646	0,645	0,645	0,637	0,685	xxx	xxx	xxx	xxx	xxx
100MW	1+1	0,325	0,349	0,339	0,351	0,355	0,668	0,650	0,649	0,676	0,654	0,669	0,673	0,669	0,670	0,675	0,660	0,671	0,661	0,653	0,650	0,647
200MW	1+1	0,336	0,333	0,344	0,350	0,496	0,495	0,571	0,665	0,664	0,669	0,667	0,660	0,670	0,667	0,663	0,661	0,658	0,662	0,671	0,672	0,662
300MW	1+1	0,325	0,339	0,336	0,346	0,664	0,648	0,688	0,676	0,653	0,668	0,653	0,668	0,653	0,657	0,663	0,666	0,665	0,662	0,665	0,672	0,667
400MW	1+1	0,324	0,334	0,338	0,354	0,416	0,631	0,634	0,633	0,638	0,647	0,661	0,666	0,652	0,668	0,669	0,662	0,665	0,677	0,674	0,668	0,666
500MW	1+1	0,326	0,323	0,833	0,326	0,427	0,640	0,630	0,641	0,644	0,645	0,644	0,648	0,655	0,669	0,648	0,666	0,658	0,665	0,672	0,670	0,676
600MW	1+1	0,328	0,322	0,331	0,325	0,322	0,649	0,649	0,649	0,641	0,639	0,647	0,652	0,651	0,690	0,671	0,672	0,672	0,670	0,670	0,670	
100MW	2	xxx																				
200MW	2	xx	xxx																			
300MW	2	0,333	xxx																			
400MW	2	0,352	xxx																			
500MW	2	0,357	xxx																			
600MW	2	0,353	xxx																			
100MW	3	xxx	xx	xxx	xx																	
200MW	3	x	xxx																			
300MW	3	xxx																				
400MW	3	0,061	xxx																			
500MW	3	x	xxx																			
600MW	3	xxx																				

Toshiba GRL200

Liinipikkus		0%	5%	10%	15%	20%	25%	30%	35%	40%	45%	50%	55%	60%	65%	70%	75%	80%	85%	90%	95%	100%
Võimsus	L1-5	GRL200																				
100MW	1	0,334	0,336	0,334	0,620	0,629	0,623	0,631	0,628	0,683	0,682	0,652	0,632	0,682	0,687	0,688	0,677	0,687	0,686	0,682	0,689	
200MW	1	0,327	0,334	0,331	0,340	0,649	0,651	0,674	0,683	0,676	0,676	0,688	0,686	0,683	0,681	0,680	0,773	0,788	0,681	0,687	0,680	0,733
300MW	1	0,332	0,332	0,337	0,626	0,631	0,685	0,684	0,678	0,683	0,681	0,680	0,683	0,680	0,773	0,827	0,772	0,815	xx	xxx	xxx	xxx
400MW	1	0,336	0,335	0,335	0,638	0,684	0,683	0,681	0,681	0,633	0,659	0,738	0,734	0,741	0,736	0,793	xx	xxx	xxx	xxx	xxx	xxx
500MW	1	0,332	0,340	0,343	0,627	0,677	0,683	0,675	0,674	0,790	x	xxx	xxx									
600MW	1	0,334	0,337	0,335	0,661	0,667	0,671	0,684	0,703	xx	xxx	xxx										
100MW	1+1	0,836	xxx	xxx																		
200MW	1+1	xxx	xxx																			
300MW	1+1	xxx	xxx																			
400MW	1+1	xxx	xxx																			
500MW	1+1	xxx	xxx																			
600MW	1+1	xxx	xxx																			
100MW	2	0,822	xxx	xxx																		
200MW	2	0,769	xxx	xxx																		
300MW	2	xxx	xxx																			
400MW	2	xxx	xxx																			
500MW	2	0,827	xxx	xxx																		
600MW	2	xxx	xxx																			
100MW	3	0,060	xxx	xxx																		
200MW	3	x	xxx	xxx																		
300MW	3	xxx	xxx																			
400MW	3	x	xxx	xxx																		
500MW	3	xxx	xxx																			
600MW	3	xxx	xxx																			



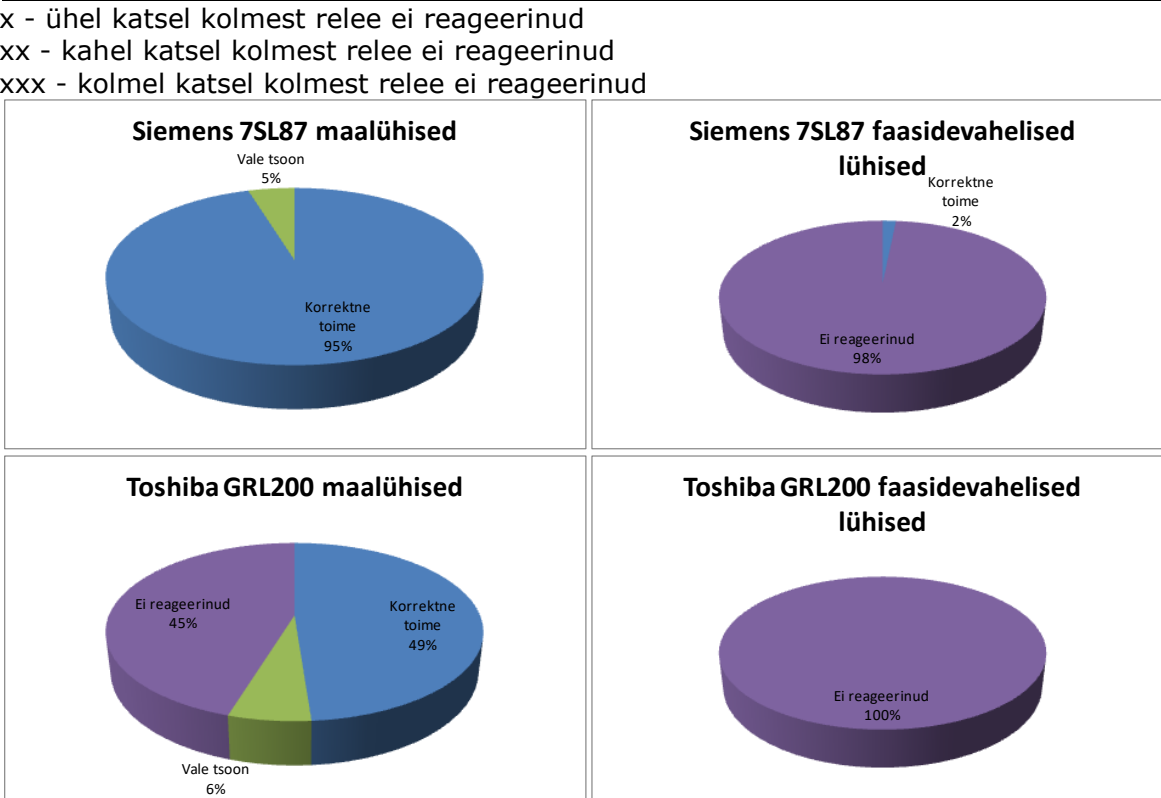
LISA 4. Testitulemused liinil 2-1 VSC-ga

Siemens 7SL87

Lüinikkus	0%	5%	10%	15%	20%	25%	30%	35%	40%	45%	50%	55%	60%	65%	70%	75%	80%	85%	90%	95%	100%	
Võimsus	L1-2	7SL87																				
100MW	1	0,018	0,018	0,015	0,018	0,017	0,016	0,018	0,020	0,018	0,019	0,020	0,021	0,023	0,019	0,035	0,032	0,036	0,133	0,314	0,319	
200MW	1	0,015	0,015	0,016	0,016	0,016	0,017	0,019	0,021	0,019	0,020	0,019	0,020	0,021	0,024	0,030	0,030	0,040	0,132	0,315	0,315	
300MW	1	0,016	0,017	0,016	0,018	0,017	0,020	0,020	0,019	0,020	0,020	0,020	0,021	0,022	0,028	0,020	0,040	0,224	0,315	0,316	0,318	
400MW	1	0,023	0,023	0,023	0,019	0,022	0,020	0,020	0,019	0,020	0,020	0,019	0,021	0,024	0,028	0,040	0,222	0,316	0,316	0,331	0,331	
500MW	1	0,023	0,023	0,022	0,019	0,019	0,018	0,020	0,020	0,019	0,022	0,020	0,023	0,023	0,028	0,029	0,040	0,237	0,330	0,329	0,330	
600MW	1	0,021	0,021	0,021	0,020	0,022	0,027	0,024	0,025	0,029	0,029	0,035	0,029	0,033	0,040	0,041	0,043	0,249	0,331	0,336	0,328	
100MW	1+1	0,016	0,016	0,016	0,016	0,018	0,017	0,025	0,021	0,026	0,025	0,027	0,041	0,041	0,041	0,048	0,047	0,047	0,093	0,317	0,344	0,334
200MW	1+1	0,016	0,017	0,016	0,015	0,019	0,021	0,019	0,023	0,024	0,024	0,025	0,025	0,033	0,047	0,047	0,058	0,099	0,320	0,338	0,328	
300MW	1+1	0,015	0,015	0,015	0,016	0,019	0,019	0,019	0,022	0,022	0,025	0,024	0,026	0,027	0,036	0,047	0,048	0,053	0,106	0,324	0,339	0,319
400MW	1+1	0,015	0,018	0,015	0,017	0,017	0,027	0,021	0,020	0,019	0,024	0,025	0,026	0,029	0,042	0,047	0,047	0,053	0,150	0,321	0,316	0,322
500MW	1+1	0,017	0,019	0,016	0,016	0,016	0,025	0,027	0,023	0,028	0,023	0,028	0,028	0,036	0,043	0,047	0,040	0,046	0,190	0,315	0,334	0,323
600MW	1+1	0,023	0,016	0,016	0,030	0,016	0,027	0,052	0,041	0,030	0,034	0,038	0,048	0,051	0,057	0,057	0,290	0,315	0,325	0,316		
100MW	2	0,016	xx	xxx																		
200MW	2	0,016	xxx																			
300MW	2	0,017	xxx																			
400MW	2	x	xxx																			
500MW	2	xx	xxx																			
600MW	2	xxx	xx																			
100MW	3	xx	xxx	xx	xx	xx	xx	xx	xx													
200MW	3	xx	xxx																			
300MW	3	xxx																				
400MW	3	x	xxx	xx	xx	xx	xx	xx	xx													
500MW	3	xx	xxx	xxx	xx	xxx																
600MW	3	0,028	xxx																			

Toshiba GRL200

Lüinikkus	0%	5%	10%	15%	20%	25%	30%	35%	40%	45%	50%	55%	60%	65%	70%	75%	80%	85%	90%	95%	100%	
Võimsus	L1-2	GRL200																				
100MW	1	0,036	0,041	0,037	0,041	0,038	0,035	0,040	0,037	0,036	0,034	0,037	0,036	0,036	0,039	0,039	0,039	0,037	0,041	0,339	0,341	
200MW	1	0,039	0,042	0,040	0,041	0,039	0,041	0,040	0,039	0,042	0,041	0,039	0,040	0,042	0,040	0,041	0,041	0,041	0,161	0,341	0,341	
300MW	1	0,042	0,042	0,041	0,041	0,042	0,041	0,040	0,043	0,042	0,042	0,043	0,043	0,042	0,040	0,042	0,042	0,042	0,160	0,340	0,341	
400MW	1	0,043	0,042	0,043	0,041	0,042	0,041	0,041	0,043	0,042	0,042	0,043	0,042	0,043	0,042	0,042	0,042	0,041	0,182	0,343	0,341	
500MW	1	0,042	0,042	0,043	0,041	0,042	0,036	0,043	0,042	0,041	0,037	0,043	0,042	0,043	0,042	0,044	0,042	0,042	0,264	0,343	0,343	0,345
600MW	1	0,041	0,038	0,038	0,038	0,041	0,045	0,042	0,041	0,042	0,043	0,043	0,042	0,043	0,042	0,044	0,042	0,042	0,157	0,343	0,343	0,344
100MW	1+1	x	x	1,033	1,034	xxx	xxx	xxx	xx	xx												
200MW	1+1	xx	x	1,036	1,034	xx	xxx	xx	xx													
300MW	1+1	xxx	xx	1,036	1,034	xx	xxx	xx	xx													
400MW	1+1	xx	x	1,036	1,036	x	xx	xx														
500MW	1+1	xx	xx	1,036	1,036	xx	xx															
600MW	1+1	xxx	xx	0,719	xx	xxx	xxx	xxx	xxx	xx	xx											
100MW	2	xxx	xxx																			
200MW	2	xxx	xxx																			
300MW	2	xxx	xxx																			
400MW	2	xxx	xxx																			
500MW	2	xxx	xxx																			
600MW	2	xxx	xxx																			
100MW	3	xxx	xxx																			
200MW	3	xxx	xxx																			
300MW	3	xxx	xxx																			
400MW	3	xxx	xxx																			
500MW	3	xxx	xxx																			
600MW	3	xxx	xxx																			



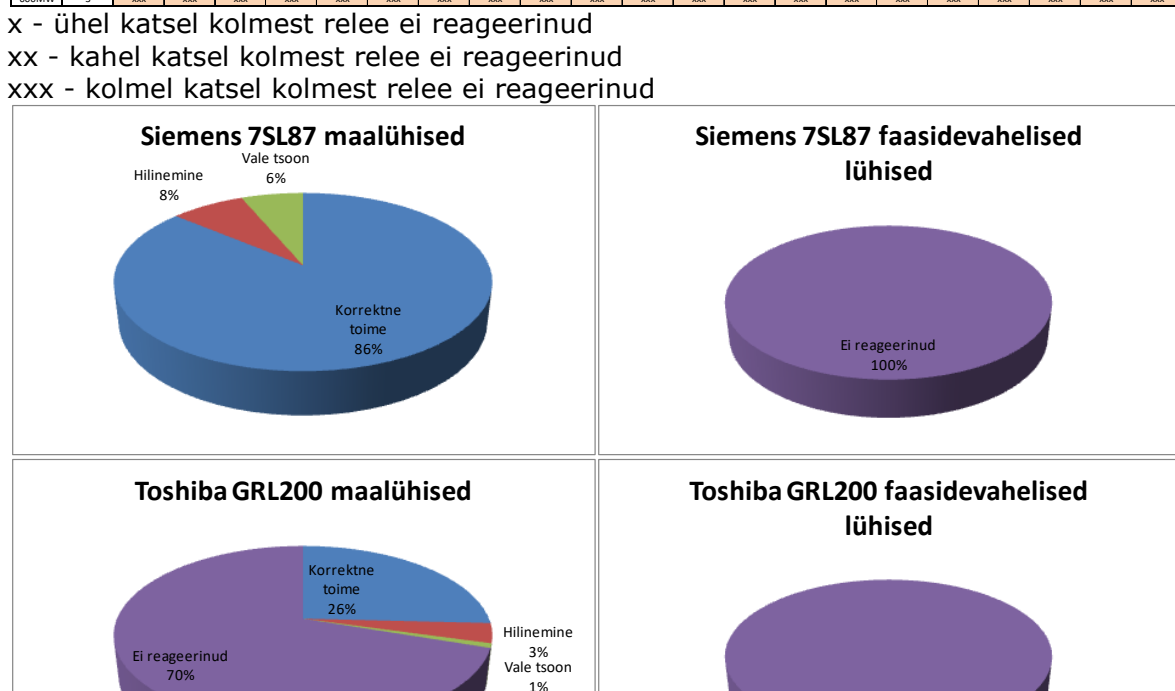
LISA 5. Testitulemused liinil 1-5 VSC-ga

Siemens 7SL87

Liinipikkus	0%	5%	10%	15%	20%	25%	30%	35%	40%	45%	50%	55%	60%	65%	70%	75%	80%	85%	90%	95%	100%
Võimsus	L1-5	7SL87																			
100MW	1	0,321	0,316	0,317	0,617	0,615	0,613	0,618	0,619	0,617	0,623	0,618	0,623	0,619	0,624	0,640	0,638	0,641	0,648	0,854	0,854
200MW	1	0,317	0,317	0,317	0,518	0,617	0,616	0,621	0,624	0,618	0,619	0,619	0,622	0,621	0,637	0,642	0,647	0,647	0,730	0,872	0,872
300MW	1	0,318	0,316	0,318	0,519	0,619	0,616	0,617	0,620	0,621	0,618	0,615	0,618	0,618	0,622	0,628	0,646	0,645	0,650	0,652	0,651
400MW	1	0,318	0,325	0,326	0,520	0,619	0,615	0,626	0,623	0,621	0,625	0,616	0,619	0,617	0,623	0,624	0,630	0,644	0,702	0,647	0,645
500MW	1	0,329	0,334	0,337	0,532	0,630	0,631	0,620	0,618	0,624	0,625	0,620	0,622	0,618	0,624	0,623	0,624	0,637	0,642	0,634	0,634
600MW	1	0,328	0,328	0,328	0,533	0,634	0,622	0,617	0,615	0,618	0,621	0,622	0,624	0,624	0,627	0,626	0,626	0,637	0,641	0,631	0,628
100MW	1+1	0,333	0,316	0,340	0,322	0,323	0,333	0,613	0,621	0,639	0,649	0,627	0,632	0,626	0,675	0,675	0,429	0,619	0,634	0,619	0,857
200MW	1+1	0,337	0,324	0,341	0,333	0,317	0,316	0,614	0,616	0,615	0,615	0,618	0,614	0,612	0,616	0,616	0,617	0,618	0,624	0,615	0,615
300MW	1+1	0,330	0,316	0,330	0,324	0,318	0,317	0,627	0,612	0,616	0,616	0,616	0,615	0,616	0,615	0,615	0,617	0,618	0,618	0,631	0,636
400MW	1+1	0,319	0,316	0,327	0,318	0,314	0,312	0,616	0,613	0,616	0,617	0,615	0,616	0,619	0,617	0,623	0,626	0,615	0,619	0,853	0,824
500MW	1+1	0,320	0,329	0,315	0,316	0,315	0,316	0,617	0,617	0,617	0,617	0,618	0,622	0,627	0,618	0,636	0,620	0,621	0,840	0,867	0,832
600MW	1+1	0,332	0,315	0,316	0,317	0,316	0,319	0,617	0,615	0,618	0,616	0,636	0,621	0,623	0,628	0,421	0,958	0,836	0,812	0,777	
100MW	2	xxx																			
200MW	2	xxx																			
300MW	2	xxx																			
400MW	2	xxx																			
500MW	2	xxx																			
600MW	2	xxx																			
100MW	3	xxx																			
200MW	3	xxx																			
300MW	3	xxx																			
400MW	3	xxx																			
500MW	3	xxx																			
600MW	3	xxx																			

Toshiba GRL200

Liinipikkus	0%	5%	10%	15%	20%	25%	30%	35%	40%	45%	50%	55%	60%	65%	70%	75%	80%	85%	90%	95%	100%
Võimsus	L1-5	GRL200																			
100MW	1	0,339	0,341	0,341	0,640	0,641	0,651	0,640	0,659	0,654	0,654	0,654	0,654	0,649	0,635	0,636	0,626	0,713	xx	xx	xxx
200MW	1	0,342	0,341	0,341	0,545	0,640	0,642	0,640	0,643	0,643	0,641	0,661	0,661	0,673	x	x	xx	x	xxx	xxx	xxx
300MW	1	0,342	0,341	0,341	0,544	0,641	0,642	0,643	0,642	0,641	0,661	0,661	0,673	x	x	x	x	xxx	xxx	xxx	xxx
400MW	1	0,342	0,341	0,341	0,546	0,644	0,642	0,643	0,642	0,643	0,645	0,644	0,645	0,645	0,645	0,645	0,645	0,645	0,645	0,645	0,645
500MW	1	0,342	0,344	0,341	0,544	0,644	0,642	0,643	0,642	0,643	0,644	0,644	0,645	0,645	0,645	0,645	0,645	0,645	0,645	0,645	0,645
600MW	1	0,343	0,344	0,345	0,543	0,644	0,645	0,645	0,645	0,645	0,645	0,645	0,645	0,645	0,645	0,645	0,645	0,645	0,645	0,645	0,645
100MW	1+1	xxx																			
200MW	1+1	xxx																			
300MW	1+1	xxx																			
400MW	1+1	xxx																			
500MW	1+1	xxx																			
600MW	1+1	xxx																			
100MW	2	xxx																			
200MW	2	xxx																			
300MW	2	xxx																			
400MW	2	xxx																			
500MW	2	xxx																			
600MW	2	xxx																			
100MW	3	xxx																			
200MW	3	xxx																			
300MW	3	xxx																			
400MW	3	xxx																			
500MW	3	xxx																			
600MW	3	xxx																			



LISA 6. Testitulemused liinil 2-1 VSC ja LVRT-ga

Siemens 7SL87

Lüinikkus	0%	5%	10%	15%	20%	25%	30%	35%	40%	45%	50%	55%	60%	65%	70%	75%	80%	85%	90%	95%	100%		
Võimsus	L1-2	7SL87																					
100MW	1	0,012	0,017	0,017	0,016	0,017	0,017	0,020	0,019	0,017	0,017	0,019	0,020	0,022	0,021	0,021	0,021	0,028	0,046	0,316	0,316		
200MW	1	0,016	0,016	0,015	0,015	0,016	0,016	0,020	0,019	0,019	0,020	0,020	0,020	0,022	0,026	0,021	0,027	0,037	0,315	0,315	0,317		
300MW	1	0,017	0,016	0,018	0,016	0,020	0,020	0,020	0,019	0,019	0,020	0,020	0,020	0,022	0,022	0,020	0,028	0,037	0,318	0,316	0,318		
400MW	1	0,020	0,020	0,020	0,020	0,019	0,020	0,019	0,020	0,020	0,020	0,020	0,020	0,021	0,022	0,021	0,028	0,037	0,318	0,317	0,318		
500MW	1	0,020	0,019	0,020	0,020	0,019	0,019	0,020	0,020	0,019	0,019	0,021	0,022	0,022	0,020	0,027	0,037	0,043	0,324	0,323	0,324		
600MW	1	0,018	0,018	0,019	0,019	0,022	0,019	0,021	0,023	0,027	0,025	0,025	0,028	0,028	0,028	0,037	0,037	0,327	0,327	0,331	0,328		
100MW	1+1	0,015	0,016	0,017	0,017	0,020	0,019	0,021	0,021	0,021	0,021	0,021	0,025	0,025	0,027	0,029	0,037	0,039	0,045	0,047	0,336	0,325	0,336
200MW	1+1	0,017	0,015	0,018	0,016	0,021	0,020	0,022	0,021	0,021	0,021	0,021	0,025	0,027	0,029	0,037	0,037	0,044	0,050	0,324	0,316	0,335	
300MW	1+1	0,020	0,015	0,015	0,015	0,019	0,023	0,019	0,020	0,023	0,022	0,022	0,021	0,027	0,029	0,037	0,043	0,048	0,323	0,316	0,318		
400MW	1+1	0,016	0,018	0,016	0,015	0,020	0,025	0,020	0,020	0,023	0,025	0,027	0,032	0,037	0,038	0,040	0,137	0,318	0,319	0,319			
500MW	1+1	0,016	0,018	0,019	0,017	0,018	0,024	0,020	0,020	0,021	0,020	0,023	0,024	0,035	0,042	0,041	0,045	0,054	0,321	0,326	0,321		
600MW	1+1	0,018	0,017	0,020	0,018	0,022	0,027	0,022	0,021	0,023	0,028	0,030	0,031	0,046	0,042	0,047	0,298	0,318	0,321	0,328	0,305		
100MW	2	0,015	0,054	0,057	0,047	0,059	0,059	0,062	0,063	0,065	0,068	0,067	0,067	0,067	0,076	0,067	0,067	0,072	0,285	0,316	0,320	0,316	
200MW	2	0,015	0,055	0,053	0,045	0,056	0,071	0,046	0,034	0,062	0,064	0,065	0,067	0,067	0,067	0,071	0,067	0,078	0,319	0,317	0,336	0,317	
300MW	2	0,020	0,055	0,061	0,055	0,045	0,058	0,045	0,059	0,059	0,061	0,063	0,066	0,067	0,064	0,066	0,071	0,330	0,330	0,332	0,328		
400MW	2	0,020	0,034	0,068	0,057	0,057	0,066	0,060	0,068	0,055	0,071	0,063	0,069	0,069	0,071	0,071	0,072	0,071	0,343	0,338	0,339		
500MW	2	0,060	0,066	0,061	0,057	0,070	0,080	0,066	0,073	0,073	0,076	0,070	0,069	0,076	0,081	0,081	0,076	0,081	0,198	0,331	0,328		
600MW	2	0,289	0,066	0,238	0,106	0,139	0,086	0,056	0,107	0,103	0,102	0,103	0,069	0,057	0,057	0,082	0,082	0,342	0,339	0,345	0,335		
100MW	3	0,019	0,020	0,048	0,051	0,057	0,053	0,055	0,067	0,059	0,055	0,060	0,060	0,060	0,067	0,063	0,063	0,065	0,076	0,335	0,320	0,333	
200MW	3	0,016	0,025	0,037	0,047	0,051	0,054	0,054	0,057	0,056	0,059	0,060	0,059	0,065	0,060	0,064	0,072	0,100	0,329	0,321	0,332		
300MW	3	0,017	0,035	0,038	0,052	0,050	0,055	0,057	0,055	0,058	0,057	0,058	0,057	0,063	0,055	0,061	0,065	0,075	0,339	0,328	0,339		
400MW	3	0,045	0,046	0,042	0,052	0,040	0,050	0,054	0,057	0,055	0,057	0,058	0,057	0,063	0,041	0,041	0,044	0,044	0,043	0,343	0,342	0,341	
500MW	3	0,037	0,036	0,054	0,052	0,051	0,052	0,053	0,041	0,041	0,049	0,069	0,061	0,051	0,056	0,050	0,054	0,060	0,067	0,328	0,328	0,337	
600MW	3	0,013	0,036	0,049	0,051	0,065	0,071	0,055	0,060	0,071	0,058	0,068	0,066	0,062	0,062	0,068	0,066	0,068	0,321	0,326	0,319		

Toshiba GRL200

Lüinikkus	0%	5%	10%	15%	20%	25%	30%	35%	40%	45%	50%	55%	60%	65%	70%	75%	80%	85%	90%	95%	100%			
Võimsus	L1-2	GRL200	GRL200	GRL200	GRL200	GRL200	GRL200	GRL200	GRL200	GRL200	GRL200	GRL200	GRL200	GRL200										
100MW	1	0,034	0,037	0,036	0,037	0,033	0,037	0,035	0,039	0,038	0,037	0,038	0,040	0,042	0,044	0,041	0,044	0,127	0,340	0,338	0,341			
200MW	1	0,039	0,041	0,039	0,041	0,039	0,039	0,041	0,040	0,040	0,040	0,040	0,042	0,044	0,041	0,041	0,041	0,340	0,339	0,341	0,341			
300MW	1	0,043	0,042	0,042	0,041	0,043	0,042	0,042	0,040	0,042	0,042	0,043	0,044	0,041	0,041	0,041	0,041	0,240	0,340	0,343	0,341			
400MW	1	0,043	0,042	0,042	0,041	0,042	0,042	0,042	0,040	0,043	0,042	0,043	0,044	0,041	0,041	0,042	0,041	0,343	0,343	0,342	0,341			
500MW	1	0,043	0,042	0,042	0,044	0,043	0,042	0,044	0,042	0,044	0,043	0,044	0,044	0,044	0,044	0,044	0,044	0,343	0,343	0,342	0,345			
600MW	1	0,038	0,041	0,042	0,037	0,041	0,036	0,041	0,048	0,041	0,036	0,048	0,041	0,044	0,044	0,044	0,044	0,344	0,343	0,344	0,344			
100MW	1+1	0,058	0,057	0,058	0,057	0,057	0,059	0,059	0,058	0,057	0,058	0,058	0,058	0,058	0,058	0,058	0,061	0,074	0,143	0,362	0,363			
200MW	1+1	0,093	0,097	0,096	0,108	0,017	0,133	0,135	0,135	0,144	0,142	0,145	0,129	0,121	0,081	0,082	0,081	x	0,832	0,751	0,714			
300MW	1+1	xxx	xxx	xxx	xxx	1,035	xx	xxx	xxx	xxx	xxx	xx	0,124	0,118	0,122	0,111	xxx	xxx	xxx	xxx	xxx			
400MW	1+1	0,358	0,373	0,359	0,361	0,365	0,364	0,369	0,369	0,375	0,378	0,386	0,394	0,400	0,419	0,125	0,286	0,116	0,938	x	0,980	0,989		
500MW	1+1	0,238	0,237	0,237	0,235	0,237	0,239	0,276	0,271	0,238	0,253	0,441	0,179	0,256	0,264	0,223	0,280	0,165	0,261	0,603	0,642	0,563		
600MW	1+1	0,169	0,085	0,095	0,101	0,110	0,126	0,083	0,142	0,126	0,042	0,159	0,076	0,147	0,102	0,129	0,275	0,152	0,107	0,118	0,260	0,582	0,522	
100MW	2	0,252	0,247	0,217	0,210	0,217	0,208	0,205	0,195	0,200	0,544	0,541	0,535	0,525	0,549	0,523	0,525	0,540	0,740	0,794	0,764	0,736		
200MW	2	xxx	xxx	xxx	xxx	xxx	xx	xxx	xx	xx	0,713	0,488	0,487	0,488	0,491	0,501	0,526	0,492	0,520	0,513	0,626	0,818	0,807	0,799
300MW	2	xxx	xxx	xxx	xxx	xxx	xx	xx	xx	xx	xx	xx	xx	xx	xx	xx	xx	xx	xx	xx	xx	xx		
400MW	2	xxx	xxx	xx	0,262	0,264	0,265	0,265	0,269	0,271	0,273	0,282	0,284	0,287	0,296	0,294	0,318	0,313	0,333	0,634	0,638	0,656		
500MW	2	0,561	0,349	0,187	0,087	0,121	0,194	0,194	0,195	0,199	0,199	0,202	0,205	0,208	0,216	0,211	0,162	0,043	0,158	0,423	0,458	0,418		
600MW	2	0,543	0,303	0,126	0,083	0,142	0,126	0,042	0,159	0,076	0,147	0,102	0,129	0,082	0,052	0,107	0,056	0,139	0,433	0,451	0,426			
100MW	3	0,038	0,043	0,040	0,040	0,038	0,038	0,039	0,037	0,037	0,044	0,045	0,046	0,046	0,046	0,047	0,045	0,047	0,045	0,048	0,340	0,341		
200MW	3	0,043	0,048	0,043	0,046	0,042	0,037	0,034	0,040</td															

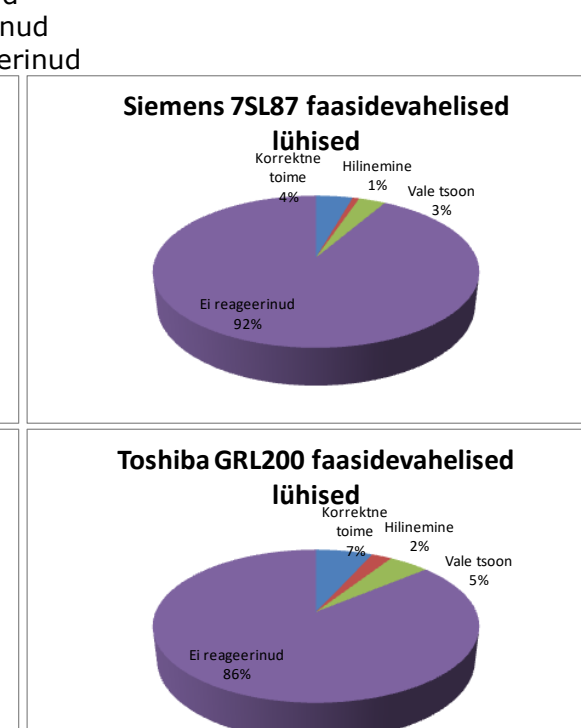
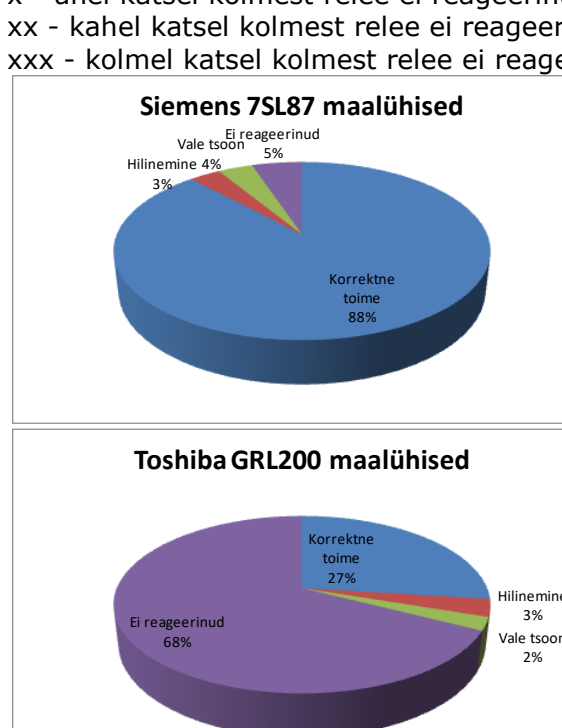
LISA 7. Testitulemused liinil 1-5 VSC ja LVRT-ga

Siemens 7SL87

Liinipikkus	0%	5%	10%	15%	20%	25%	30%	35%	40%	45%	50%	55%	60%	65%	70%	75%	80%	85%	90%	95%	100%
Võimsus	L1-5	7SL87																			
100MW	1	0,321	0,316	0,316	0,313	0,613	0,617	0,616	0,618	0,621	0,623	0,616	0,616	0,622	0,616	0,624	0,636	0,643	0,644	0,637	0,642
200MW	1	0,317	0,316	0,316	0,316	0,616	0,616	0,623	0,617	0,618	0,623	0,625	0,617	0,617	0,625	0,619	0,635	0,645	0,646	0,647	0,642
300MW	1	0,316	0,317	0,316	0,317	0,614	0,617	0,624	0,618	0,619	0,618	0,618	0,619	0,623	0,624	0,645	0,647	0,737	0,640	0,774	
400MW	1	0,320	0,323	0,317	0,318	0,617	0,623	0,625	0,622	0,618	0,617	0,622	0,620	0,624	0,627	0,626	0,648	0,701	0,637		
500MW	1	0,323	0,326	0,328	0,332	0,626	0,625	0,626	0,619	0,625	0,616	0,618	0,625	0,624	0,618	0,625	0,628	0,624	0,624	0,635	
600MW	1	0,332	0,324	0,327	0,326	0,620	0,624	0,617	0,625	0,619	0,624	0,624	0,624	0,624	0,625	0,629	0,625	0,622			
100MW	1+1	0,329	0,320	0,338	0,315	0,323	0,610	0,626	0,631	0,632	0,631	0,630	0,616	0,616	0,650	0,630	0,614	0,634	0,630	0,424	xx
200MW	1+1	0,330	0,330	0,335	0,329	0,314	0,613	0,613	0,617	0,618	0,614	0,616	0,615	0,617	0,616	0,612	0,615	0,615	0,616	0,617	0,616
300MW	1+1	0,341	0,329	0,338	0,317	0,315	0,617	0,615	0,613	0,615	0,614	0,616	0,618	0,618	0,616	0,668	0,616	0,619	0,617	x	x
400MW	1+1	0,319	0,315	0,319	0,318	0,316	0,615	0,615	0,739	0,619	0,645	0,642	0,622	0,619	0,617	0,619	0,617	0,625	xx	0,420	0,624
500MW	1+1	0,318	0,315	0,318	0,316	0,316	0,617	0,643	0,614	0,615	0,616	0,618	0,618	0,615	0,620	0,618	0,617	0,620	x	0,630	x
600MW	1+1	0,321	0,324	0,316	0,323	0,416	0,615	0,644	0,617	0,619	0,619	0,617	0,619	0,619	0,681	0,631	0,625	0,632	x	0,739	0,761
100MW	2	0,337	0,626	xxx	xxx	xx															
200MW	2	0,331	0,634	xx	xxx	xx															
300MW	2	0,332	0,630	xxx																	
400MW	2	0,415	0,641	xxx	xx	xx	x	xx													
500MW	2	0,331	0,645	0,626	xx	x	xx														
600MW	2	0,326	0,528	0,641	xxx	xx															
100MW	3	0,320	xxx	0,866	xxx																
200MW	3	0,331	xxx																		
300MW	3	0,332	xxx																		
400MW	3	0,329	xx	xxx																	
500MW	3	0,331	xx	xxx	xx																
600MW	3	0,326	xxx	xx																	

Toshiba GRL200

Liinipikkus	0%	5%	10%	15%	20%	25%	30%	35%	40%	45%	50%	55%	60%	65%	70%	75%	80%	85%	90%	95%	100%
Võimsus	L1-5	GRL200																			
100MW	1	0,341	0,337	0,341	0,348	0,641	0,652	0,638	0,639	0,427	0,649	0,652	0,653	0,653	0,641	0,641	0,666	0,706	0,662	xx	xx
200MW	1	0,341	0,339	0,341	0,355	0,641	0,640	0,642	0,640	0,640	0,640	0,640	0,642	0,642	0,641	0,641	0,666	0,722	xx	xx	xx
300MW	1	0,341	0,342	0,341	0,355	0,641	0,643	0,642	0,643	0,643	0,670	0,730	xxx	xx	xx						
400MW	1	0,341	0,342	0,344	0,355	0,641	0,643	0,642	0,643	0,643	0,661	0,720	xxx	xx	xx						
500MW	1	0,341	0,342	0,344	0,349	0,645	0,643	0,645	0,643	0,643	0,644	0,704	xxx	xx	xx						
600MW	1	0,343	0,342	0,344	0,344	0,645	0,643	0,645	0,643	0,643	0,644	0,544	x	0,717	xxx	xxx	xxx	xxx	xxx	xx	xx
100MW	1+1	0,360	0,414	0,662	0,670	xxx	xx														
200MW	1+1	0,676	0,736	xxx	xxx	xx															
300MW	1+1	xxx																			
400MW	1+1	x	xxx	xxx	xxx	xxx	xxx	xxx	xx	x	xx										
500MW	1+1	0,663	x	xx																	
600MW	1+1	x	0,535	xx																	
100MW	2	0,496	0,547	0,760	xx																
200MW	2	0,803	xxx	xx																	
300MW	2	xxx																			
400MW	2	0,633	1,014	xxx	xx																
500MW	2	0,491	0,812	0,830	0,949	0,757	xxx	xx													
600MW	2	0,396	x	0,711	0,794	x	xx														
100MW	3	0,341	0,583	0,649	0,649	0,655	0,655	0,663	0,661	0,662	xxx	xxx	xxx	xxx	xx						
200MW	3	0,341	0,387	0,649	xxx	xx															
300MW	3	0,345	0,353	xxx	xx																
400MW	3	0,354	0,349	xxx	xx																
500MW	3	0,360	0,347	xxx	xx																
600MW	3	0,343	0,349	xx																	



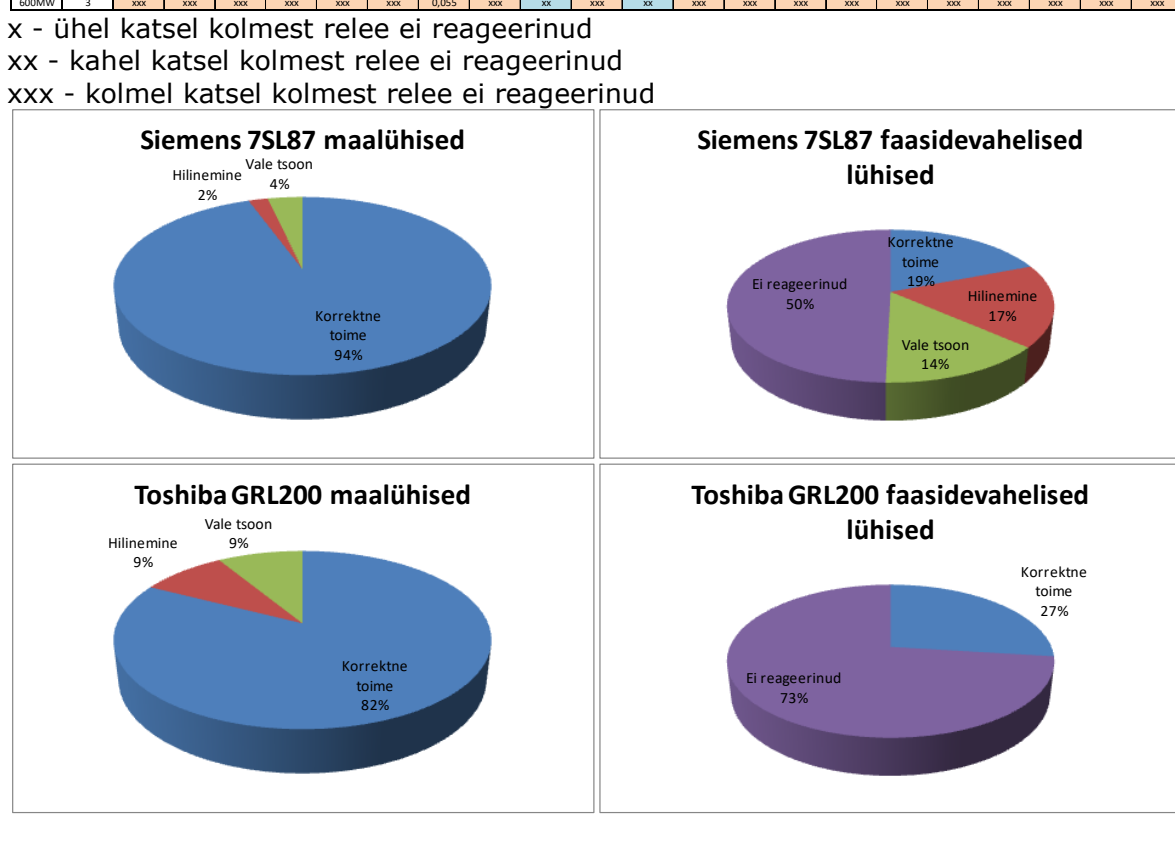
LISA 8. Testitulemused liinil 3-4 LCC-ga

Siemens 7SL87

Liinipikkus	0%	5%	10%	15%	20%	25%	30%	35%	40%	45%	50%	55%	60%	65%	70%	75%	80%	85%	90%	95%	100%	
Võimsus	I3-4	7SL87																				
100MW	1	0,030	0,029	0,024	0,028	0,042	0,035	0,073	0,061	0,030	0,032	0,027	0,028	0,027	0,034	0,029	0,027	0,029	0,027	0,321	0,320	
200MW	1	0,034	0,031	0,030	0,037	0,073	0,047	0,060	0,037	0,066	0,043	0,077	0,041	0,057	0,041	0,060	0,065	0,026	0,342	0,324	0,336	
300MW	1	0,039	0,034	0,030	0,020	0,077	0,065	0,081	0,088	0,077	0,078	0,082	0,085	0,080	0,087	0,083	0,085	0,097	0,154	0,327	0,324	
400MW	1	0,039	0,028	0,030	0,020	0,081	0,082	0,089	0,084	0,074	0,079	0,080	0,081	0,080	0,083	0,089	0,094	0,200	0,347	0,330	0,344	
500MW	1	0,025	0,027	0,042	0,035	0,065	0,068	0,083	0,080	0,067	0,087	0,086	0,066	0,074	0,082	0,078	0,076	0,103	0,213	0,332	0,331	
600MW	1	0,079	0,055	0,035	0,059	0,088	0,079	0,101	0,072	0,087	0,089	0,103	0,081	0,081	0,108	0,088	0,086	0,115	0,253	0,336	0,326	
100MW	1+1	0,028	0,036	0,028	0,028	0,040	0,030	0,037	0,032	0,032	0,027	0,032	0,027	0,032	0,027	0,052	0,058	0,069	0,305	0,328	0,346	0,348
200MW	1+1	0,023	0,027	0,038	0,030	0,035	0,065	0,051	0,049	0,029	0,034	0,041	0,052	0,047	0,047	0,049	0,067	0,073	0,297	0,354	0,345	
300MW	1+1	0,027	0,033	0,052	0,048	0,041	0,051	0,055	0,049	0,050	0,056	0,046	0,048	0,049	0,052	0,059	0,074	0,069	0,347	0,345	0,344	
400MW	1+1	0,050	0,048	0,049	0,055	0,051	0,054	0,046	0,055	0,061	0,057	0,063	0,066	0,060	0,069	0,076	0,292	0,353	0,351	0,346		
500MW	1+1	0,051	0,047	0,042	0,054	0,065	0,054	0,061	0,055	0,067	0,061	0,065	0,063	0,067	0,062	0,055	0,082	0,274	0,339	0,353	0,345	
600MW	1+1	0,057	0,051	0,056	0,047	0,052	0,051	0,054	0,050	0,057	0,084	0,060	0,064	0,055	0,066	0,072	0,164	0,340	0,354	0,345		
100MW	2	0,053	0,099	0,201	0,210	0,205	0,234	0,216	0,245	0,207	0,505	0,505	0,506	0,508	0,507	0,502	0,500	0,506	0,505	0,505	0,521	
200MW	2	0,177	0,162	0,158	0,173	0,160	0,198	0,184	0,207	0,181	0,287	0,354	0,327	0,346	0,359	0,349	0,343	0,346	0,358	0,374	0,368	
300MW	2	0,056	0,053	0,058	0,110	0,133	0,162	0,174	0,219	0,185	0,247	0,266	0,349	0,246	0,347	0,350	0,347	0,343	0,348	0,350	0,351	
400MW	2	0,023	0,055	0,085	0,089	0,090	0,093	0,080	0,084	0,206	0,158	0,282	0,327	0,271	0,328	0,255	0,272	0,325	0,321	0,334	0,329	
500MW	2	0,020	0,048	0,060	0,063	0,063	0,065	0,090	0,155	0,327	0,320	0,324	0,250	0,328	0,327	0,330	0,331	0,321	0,322	0,328	0,330	
600MW	2	0,047	0,059	0,068	0,084	0,090	0,095	0,182	0,239	0,177	0,121	0,093	0,256	0,171	0,286	0,254	0,266	0,330	0,329	0,338	0,334	
100MW	3	xx	xx	xxx																		
200MW	3	xxx	xxx	xxx	xx																	
300MW	3	0,019	xx																			
400MW	3	xxx	xxx	xx																		
500MW	3	xxx	xx																			
600MW	3	x	xx																			

Toshiba GRL200

Liinipikkus	0%	5%	10%	15%	20%	25%	30%	35%	40%	45%	50%	55%	60%	65%	70%	75%	80%	85%	90%	95%	100%		
Võimsus	I3-4	GRL200																					
100MW	1	0,057	0,057	0,035	0,054	0,054	0,051	0,058	0,037	0,036	0,034	0,036	0,033	0,040	0,083	0,085	0,333	0,328	0,328	0,328	0,328		
200MW	1	0,051	0,049	0,041	0,052	0,053	0,050	0,057	0,028	0,043	0,034	0,054	0,033	0,031	0,344	0,347	0,347	0,347	0,347	0,347	0,348		
300MW	1	0,056	0,052	0,049	0,046	0,054	0,058	0,055	0,053	0,045	0,050	0,055	0,057	0,049	0,047	0,349	0,348	0,347	0,352	0,347	0,346		
400MW	1	0,056	0,056	0,052	0,045	0,054	0,060	0,055	0,048	0,039	0,051	0,050	0,048	0,047	0,045	0,047	0,047	0,049	0,346	0,346	0,346		
500MW	1	0,053	0,055	0,045	0,061	0,048	0,050	0,057	0,051	0,050	0,052	0,050	0,049	0,055	0,056	0,061	0,049	0,346	0,346	0,347	0,343		
600MW	1	0,051	0,055	0,045	0,053	0,060	0,053	0,050	0,048	0,048	0,055	0,057	0,054	0,054	0,054	0,054	0,058	0,243	0,346	0,346	0,343		
100MW	1+1	0,066	0,100	0,098	0,103	0,093	0,102	0,100	0,099	0,093	0,096	0,042	0,093	0,039	0,098	0,089	0,103	0,573	0,082	0,099	0,107	0,061	
200MW	1+1	0,096	0,099	0,105	0,100	0,095	0,104	0,099	0,092	0,094	0,097	0,091	0,095	0,034	0,090	0,087	0,095	0,092	0,085	0,087	0,113	0,091	
300MW	1+1	0,101	0,067	0,077	0,072	0,078	0,087	0,094	0,062	0,076	0,071	0,081	0,079	0,078	0,068	0,100	0,099	0,091	0,319	0,814	0,396	0,495	
400MW	1+1	0,069	0,062	0,064	0,065	0,070	0,068	0,071	0,062	0,069	0,067	0,063	0,067	0,070	0,066	0,069	0,069	0,097	0,277	0,480	0,480	0,477	
500MW	1+1	0,064	0,065	0,057	0,056	0,073	0,064	0,075	0,055	0,074	0,061	0,071	0,070	0,068	0,068	0,075	0,083	0,071	0,487	0,496	0,421		
600MW	1+1	0,059	0,056	0,068	0,062	0,053	0,064	0,061	0,067	0,060	0,065	0,066	0,067	0,066	0,066	0,068	0,069	0,071	0,069	0,298	0,366	0,379	0,366
100MW	2	0,076	0,071	xxx	xxx																		
200MW	2	xxx	xxx	xxx	xxx	0,055	xxx	xxx															
300MW	2	xxx	xxx	xxx	xxx	0,053	xxx	xxx															
400MW	2	0,063	0,069	0,068	0,073	0,070	0,086	0,087	0,069	0,076	0,067	0,068	0,066	0,065	0,073	0,091	0,096	0,090	x	xxx	xxx	xxx	
500MW	2	0,061	0,069	0,046	0,070	0,060	0,064	0,067	0,065	0,067	0,062	0,060	0,063	0,066	0,045	0,078	0,098	0,089	xxx	xxx	xxx	xxx	
600MW	2	0,066	0,066	0,043	0,073	0,062	0,059	0,067	0,061	0,068	0,063	0,066	0,069	0,068	0,069	0,098	0,098	0,088	xxx	xxx	xxx	xxx	
100MW	3	0,034	x	xxx	0,045	xxx	0,048	0,045	xxx	xxx	xx	x	x	xxx	xxx								
200MW	3	0,030	xxx	xxx	xxx	0,015	xxx	xxx	xxx	xxx	x	0,051	0,036	0,047	0,050	xxx	xxx	xxx	xxx	xxx	xxx	xxx	
300MW	3	xx	xxx	xxx	xxx	xx	xx																
400MW	3	0,050	0,056	xxx	xxx	xx	xx																
500MW	3	xxx	xx	xx																			
600MW	3	xxx	xxx																				



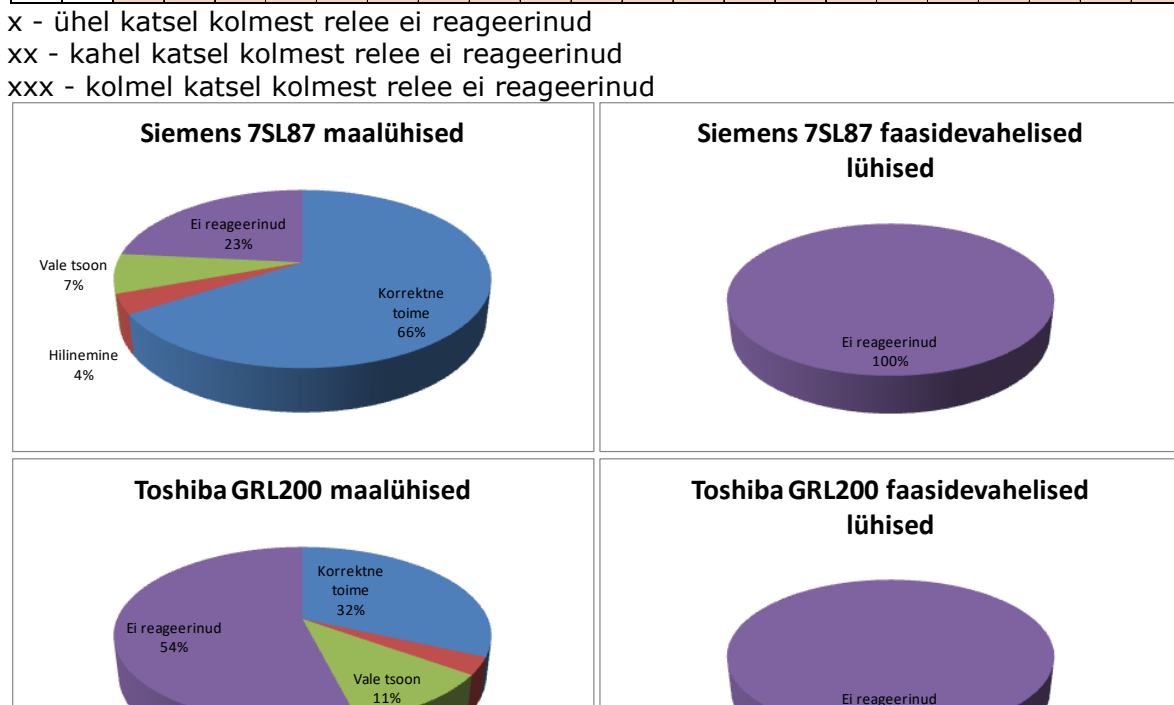
LISA 9. Testitulemused liinil 4-5 LCC-ga

Siemens 7SL87

Liinipikkus	0%	5%	10%	15%	20%	25%	30%	35%	40%	45%	50%	55%	60%	65%	70%	75%	80%	85%	90%	95%	100%	
Võimsus	LS-4	7SL87																				
100MW	1	0,316	0,315	0,315	0,319	0,317	0,319	0,320	0,318	0,318	0,322	0,320	0,320	0,423	0,621	0,621	0,625	0,636	0,702	xx		
200MW	1	0,317	0,316	0,316	0,320	0,317	0,319	0,315	0,318	0,318	0,317	0,321	0,321	0,419	0,607	0,622	0,622	0,625	0,633	0,698	xx	
300MW	1	0,314	0,317	0,317	0,315	0,316	0,315	0,321	0,320	0,318	0,320	0,322	0,322	0,420	0,588	0,623	0,623	0,624	0,634	0,701	xx	
400MW	1	0,317	0,316	0,313	0,316	0,316	0,321	0,317	0,321	0,319	0,315	0,320	0,320	0,421	0,607	0,624	0,624	0,625	0,636	0,697	xx	
500MW	1	0,314	0,318	0,319	0,317	0,320	0,317	0,318	0,322	0,320	0,321	0,320	0,321	0,422	0,606	0,620	0,620	0,628	0,639	0,695	xx	
600MW	1	0,315	0,314	0,314	0,318	0,321	0,317	0,319	0,317	0,321	0,322	0,319	0,317	0,422	0,601	0,621	0,620	0,623	0,633	0,696	xx	
100MW	1+1	0,311	0,312	0,316	0,324	0,320	0,315	0,320	0,318	0,317	0,325	0,327	0,328	xx	xxx							
200MW	1+1	0,312	0,311	0,311	0,322	0,321	0,314	0,321	0,319	0,318	0,319	0,328	0,329	0,326	xxx							
300MW	1+1	0,313	0,312	0,312	0,314	0,313	0,313	0,312	0,320	0,319	0,323	0,328	0,328	xx	xxx							
400MW	1+1	0,314	0,313	0,313	0,311	0,317	0,316	0,314	0,321	0,320	0,109	0,324	0,328	xx	xxx							
500MW	1+1	0,314	0,314	0,317	0,312	0,317	0,317	0,318	0,317	0,320	0,327	0,325	0,326	xxx								
600MW	1+1	0,312	0,315	0,317	0,318	0,318	0,316	0,319	0,318	0,321	0,328	0,327	0,327	xxx								
100MW	2	xxx	xxx	xxx	xxx	xxx	xx	xxx														
200MW	2	xxx																				
300MW	2	xxx																				
400MW	2	xxx																				
500MW	2	xxx																				
600MW	2	xxx																				
100MW	3	xxx																				
200MW	3	xxx																				
300MW	3	xxx																				
400MW	3	xxx																				
500MW	3	xxx																				
600MW	3	xxx																				

Toshiba GRL200

Liinipikkus	0%	5%	10%	15%	20%	25%	30%	35%	40%	45%	50%	55%	60%	65%	70%	75%	80%	85%	90%	95%	100%		
Võimsus	LS-4	GRL200																					
100MW	1	0,326	0,325	0,327	0,327	0,335	0,341	0,348	0,339	0,351	0,342	0,339	0,453	0,633	0,641	0,631	0,640	0,637	0,647	0,625	xx	xxx	
200MW	1	0,327	0,325	0,330	0,332	0,347	0,338	0,335	0,337	0,347	0,344	0,338	0,623	0,621	0,622	0,622	0,624	0,624	0,634	0,652	0,637	xx	xx
300MW	1	0,326	0,324	0,342	0,312	0,356	0,343	0,342	0,338	0,342	0,338	0,341	0,376	0,486	0,481	0,624	0,634	0,652	0,630	0,643	0,643	xx	xx
400MW	1	0,330	0,328	0,327	0,345	0,357	0,350	0,351	0,343	0,345	0,352	0,354	0,472	0,523	0,632	0,640	0,642	0,627	0,661	0,643	0,670	xx	xx
500MW	1	0,327	0,327	0,335	0,358	0,351	0,346	0,329	0,344	0,342	0,349	0,360	0,554	0,621	0,637	0,633	0,649	0,643	0,643	0,643	0,668	xx	
600MW	1	0,326	0,326	0,327	0,324	0,323	0,348	0,336	0,350	0,356	0,362	0,363	0,623	0,432	0,641	0,641	0,642	0,640	0,637	0,668	xx		
100MW	1+1	xxx																					
200MW	1+1	xxx																					
300MW	1+1	xxx																					
400MW	1+1	xxx																					
500MW	1+1	xxx																					
600MW	1+1	xxx																					
100MW	2	xxx																					
200MW	2	xxx																					
300MW	2	xxx																					
400MW	2	xxx																					
500MW	2	xxx																					
600MW	2	xxx																					
100MW	3	xxx																					
200MW	3	xxx																					
300MW	3	xxx																					
400MW	3	xxx																					
500MW	3	xxx																					
600MW	3	xxx																					



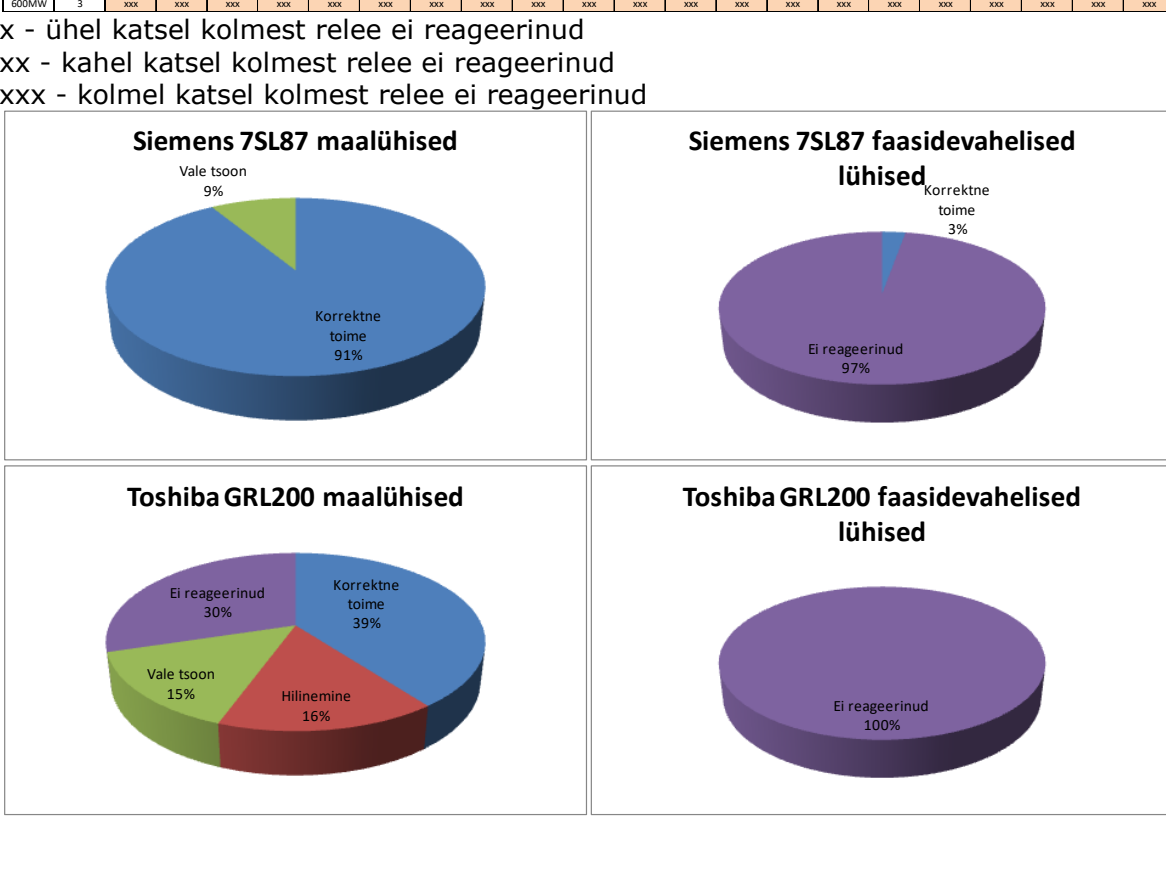
LISA 10. Testitulemused liinil 3-4 VSC-ga

Siemens 7SL87

Liinipikkus	0%	5%	10%	15%	20%	25%	30%	35%	40%	45%	50%	55%	60%	65%	70%	75%	80%	85%	90%	95%	100%	
Võimsus	I3-4	7SL87																				
100MW	1	0,016	0,016	0,016	0,016	0,017	0,025	0,030	0,034	0,034	0,023	0,019	0,030	0,035	0,021	0,032	0,038	0,041	0,131	0,133	0,222	
200MW	1	0,016	0,016	0,016	0,016	0,016	0,026	0,017	0,026	0,026	0,026	0,018	0,026	0,027	0,028	0,035	0,040	0,127	0,220	0,133	0,216	
300MW	1	0,018	0,018	0,018	0,018	0,027	0,035	0,035	0,035	0,035	0,035	0,036	0,037	0,035	0,031	0,031	0,041	0,140	0,313	0,315	0,314	
400MW	1	0,018	0,018	0,018	0,018	0,027	0,038	0,035	0,034	0,035	0,041	0,035	0,036	0,040	0,035	0,035	0,051	0,224	0,211	0,367	0,313	
500MW	1	0,018	0,018	0,018	0,018	0,028	0,044	0,034	0,028	0,044	0,035	0,045	0,041	0,033	0,037	0,034	0,056	0,225	0,365	0,372	0,364	
600MW	1	0,018	0,018	0,018	0,018	0,017	0,029	0,033	0,033	0,037	0,040	0,029	0,028	0,042	0,041	0,041	0,049	0,139	0,209	0,117	0,225	
100MW	1+1	0,017	0,017	0,044	0,047	0,020	0,019	0,047	0,047	0,043	0,047	0,047	0,047	0,047	0,044	0,043	0,041	0,051	0,139	0,341	0,339	0,338
200MW	1+1	0,037	0,024	0,040	0,044	0,037	0,047	0,048	0,048	0,044	0,047	0,047	0,047	0,047	0,045	0,043	0,049	0,154	0,334	0,339	0,336	
300MW	1+1	0,017	0,027	0,040	0,045	0,047	0,043	0,047	0,047	0,047	0,042	0,047	0,047	0,047	0,041	0,035	0,063	0,239	0,340	0,340	0,342	
400MW	1+1	0,017	0,017	0,047	0,044	0,047	0,039	0,048	0,048	0,047	0,044	0,043	0,046	0,048	0,042	0,042	0,049	0,240	0,339	0,341	0,343	
500MW	1+1	0,027	0,017	0,046	0,040	0,037	0,036	0,047	0,046	0,044	0,039	0,041	0,047	0,051	0,054	0,039	0,045	0,052	0,165	0,230	0,332	0,321
600MW	1+1	0,037	0,027	0,042	0,047	0,043	0,037	0,047	0,042	0,036	0,057	0,048	0,049	0,051	0,054	0,055	0,201	0,336	0,323	0,345		
100MW	2	0,015	xx	xxx																		
200MW	2	0,015	xxx																			
300MW	2	0,015	xxx																			
400MW	2	0,015	xxx																			
500MW	2	0,015	xxx																			
600MW	2	0,015	xxx																			
100MW	3	x	xxx																			
200MW	3	xx	xxx																			
300MW	3	xx	xxx																			
400MW	3	x	xxx																			
500MW	3	xx	xxx																			
600MW	3	0,005	xxx																			

Toshiba GRL200

Liinipikkus	0%	5%	10%	15%	20%	25%	30%	35%	40%	45%	50%	55%	60%	65%	70%	75%	80%	85%	90%	95%	100%
Võimsus	I3-4	GRL200																			
100MW	1	0,029	0,031	0,032	0,034	0,035	0,030	0,038	0,041	0,036	0,038	0,043	0,044	0,041	0,036	0,045	0,044	0,043	0,139	0,237	0,335
200MW	1	0,040	0,038	0,037	0,039	0,043	0,039	0,040	0,047	0,038	0,048	0,053	0,053	0,051	0,045	0,059	0,058	0,063	0,249	0,338	0,339
300MW	1	0,040	0,038	0,039	0,038	0,044	0,049	0,038	0,053	0,062	0,070	0,143	0,143	0,141	0,065	0,143	0,145	0,240	0,161	0,338	0,340
400MW	1	0,040	0,038	0,039	0,042	0,046	0,052	0,069	0,140	0,139	0,140	0,140	0,143	0,140	0,140	0,140	0,145	0,140	0,240	0,171	0,338
500MW	1	0,040	0,038	0,041	0,042	0,050	0,080	0,143	0,140	0,139	0,140	0,147	0,140	0,140	0,140	0,145	0,140	0,240	0,172	0,239	0,341
600MW	1	0,040	0,037	0,034	0,034	0,066	0,135	0,142	0,141	0,136	0,135	0,147	0,147	0,140	0,142	0,146	0,140	0,237	0,338	0,339	0,341
100MW	1+1	x	xxx	xx	xx	xx	xxx	xx													
200MW	1+1	xx	xxx	xx																	
300MW	1+1	xx																			
400MW	1+1	x	xxx	xx																	
500MW	1+1	xxx	xx																		
600MW	1+1	xx																			
100MW	2	xxx	xx	xxx	xxx																
200MW	2	xxx																			
300MW	2	xxx																			
400MW	2	xxx																			
500MW	2	xxx																			
600MW	2	xxx																			
100MW	3	xxx																			
200MW	3	xxx																			
300MW	3	xxx																			
400MW	3	xx	xxx																		
500MW	3	xx	xxx																		
600MW	3	xx	xxx																		



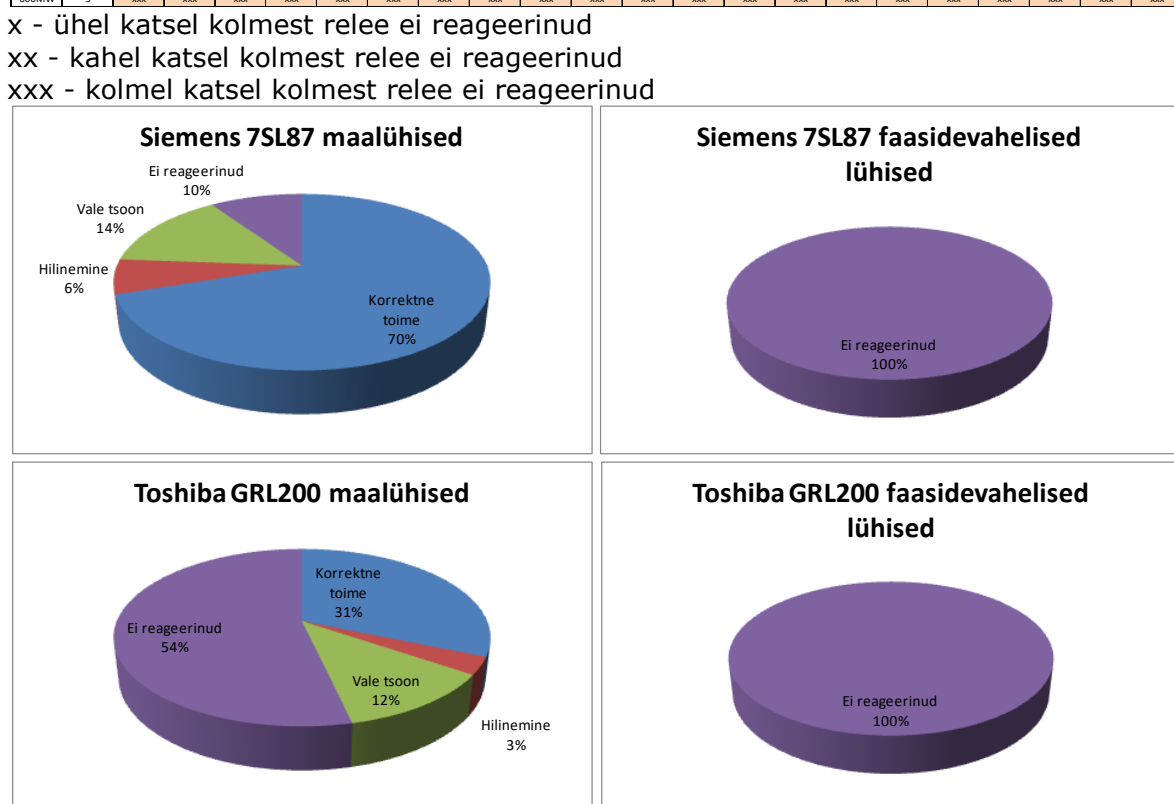
LISA 11. Testitulemused liinil 4-5 VSC-ga

Siemens 7SL87

Liinipikkus	0%	5%	10%	15%	20%	25%	30%	35%	40%	45%	50%	55%	60%	65%	70%	75%	80%	85%	90%	95%	100%
Võimsus	I4-5	7SL87																			
100MW	1	0,314	0,315	0,316	0,314	0,314	0,319	0,316	0,318	0,320	0,317	0,318	0,317	0,317	0,318	0,317	0,318	0,317	0,318	0,317	0,318
200MW	1	0,224	0,314	0,315	0,316	0,314	0,357	0,317	0,318	0,315	0,319	0,318	0,318	0,317	0,320	0,320	0,317	0,319	0,318	0,317	0,319
300MW	1	0,314	0,314	0,313	0,317	0,322	0,358	xx	xx	xx	xx	xx	x	x	xx	xx	x	x	x	x	xx
400MW	1	0,314	0,358	0,314	0,359	0,361	0,362	xx	xx	xx	xx	xx	xx	0,317	0,317	0,319	0,316	0,317	0,318	0,317	0,319
500MW	1	0,363	0,364	0,362	0,362	0,362	0,377	0,363	0,357	0,318	0,317	0,319	0,316	0,317	0,320	0,317	0,318	0,317	0,318	0,317	0,319
600MW	1	0,314	0,314	0,315	0,315	0,368	0,369	0,361	0,319	0,325	0,318	0,320	0,319	0,319	0,319	0,318	0,319	0,319	0,319	0,319	0,319
100MW	1+1	0,337	0,323	0,325	0,327	0,313	0,344	0,339	0,329	0,340	0,340	0,342	0,335	0,342	0,343	0,339	0,337	0,349	0,334	0,336	0,342
200MW	1+1	0,338	0,344	0,324	0,329	0,322	0,328	0,337	0,340	0,334	0,342	0,342	0,343	0,339	0,341	0,338	0,340	0,351	0,344	0,344	0,346
300MW	1+1	0,343	0,335	0,330	0,327	0,323	0,329	0,340	0,341	0,332	0,344	0,339	0,341	0,338	0,337	0,340	0,342	0,344	0,339	0,349	0,354
400MW	1+1	0,345	0,335	0,336	0,331	0,324	0,322	0,336	0,339	0,343	0,338	0,337	0,340	0,340	0,342	0,344	0,346	0,349	0,346	0,346	0,346
500MW	1+1	0,319	0,341	0,322	0,326	0,344	0,321	0,333	0,336	0,341	0,341	0,341	0,340	0,343	0,340	0,342	0,344	0,349	0,348	0,351	0,350
600MW	1+1	0,321	0,320	0,340	0,315	0,543	0,327	0,333	0,339	0,340	0,340	0,337	0,336	0,338	0,341	0,337	0,340	0,347	0,360	0,514	0,580
100MW	2	xxx																			
200MW	2	xxx																			
300MW	2	xxx																			
400MW	2	xxx	xxx	xxx	xxx	xxx	xxx	xx	xxx												
500MW	2	xxx																			
600MW	2	xxx																			
100MW	3	xxx																			
200MW	3	xxx																			
300MW	3	xxx	xxx	xxx	xxx	xxx	xxx	xx	xxx												
400MW	3	xxx	xx	xxx																	
500MW	3	xxx	xxx	xx	xxx	xxx	xxx	xxx	xxx	xx	xxx										
600MW	3	xxx																			

Toshiba GRL200

Liinipikkus	0%	5%	10%	15%	20%	25%	30%	35%	40%	45%	50%	55%	60%	65%	70%	75%	80%	85%	90%	95%	100%
Võimsus	I4-5	GRL200																			
100MW	1	0,330	0,333	0,339	0,342	0,339	0,349	0,363	0,338	0,365	0,353	0,345	0,362	0,648	0,701	0,734	0,641	0,722	0,641	0,725	0,641
200MW	1	0,332	0,341	0,344	0,337	0,351	0,344	0,402	0,367	0,355	0,348	0,372	0,453	0,745	0,645	0,652	0,649	0,652	0,664	0,655	0,666
300MW	1	0,342	0,341	0,348	0,351	0,348	0,362	0,337	0,345	0,348	0,339	0,344	0,657	0,523	0,660	0,663	0,752	0,648	0,643	x	0,655
400MW	1	0,331	0,342	0,353	0,338	0,337	0,347	0,364	0,344	0,342	0,346	0,347	0,345	0,467	0,639	0,652	0,648	0,651	0,646	0,656	0,666
500MW	1	0,345	0,347	0,451	0,346	0,381	0,340	0,338	0,341	0,347	0,339	0,481	0,651	0,640	0,639	0,647	0,654	0,646	0,645	0,655	0,666
600MW	1	0,339	0,334	0,333	0,342	0,352	0,339	0,345	0,356	0,355	0,365	0,343	0,356	0,356	0,665	0,644	0,634	0,707	0,647	0,646	x
100MW	1+1	xxx																			
200MW	1+1	xx	xxx																		
300MW	1+1	xxx																			
400MW	1+1	xxx	xxx	xxx	xx	xxx	xx	xxx													
500MW	1+1	xxx																			
600MW	1+1	xxx	xxx	xxx	xxx	xxx	xxx	xx	xxx												
100MW	2	xxx																			
200MW	2	xxx																			
300MW	2	xxx																			
400MW	2	xxx	xx	xxx	xx	xxx	xx														
500MW	2	xxx																			
600MW	2	xxx	xxx	xxx	xxx	xxx	xxx	xx	xxx												
100MW	3	xxx																			
200MW	3	xxx	xx	xxx																	
300MW	3	xxx	xx	xxx																	
400MW	3	xxx	xxx	xxx	xx	xxx	xxx	xxx	xxx	xxx	xx	xxx									
500MW	3	xxx	xxx	xxx	xx	xxx	xxx	xxx	xxx	xxx	xx	xxx									
600MW	3	xxx																			



LISA 12. Testitulemused liinil 3-4 VSC ja LVRT-ga

Siemens 7SL87

Liinipikkus	0%	5%	10%	15%	20%	25%	30%	35%	40%	45%	50%	55%	60%	65%	70%	75%	80%	85%	90%	95%	100%		
Võimsus	I3-4	7SL87																					
100MW	1	0.016	0.015	0.016	0.016	0.020	0.018	0.019	0.019	0.018	0.019	0.019	0.019	0.019	0.024	0.030	0.030	0.123	0.311	0.315	0.386		
200MW	1	0.016	0.015	0.016	0.016	0.018	0.020	0.017	0.018	0.019	0.019	0.019	0.019	0.019	0.023	0.028	0.029	0.312	0.312	0.314	0.312		
300MW	1	0.018	0.017	0.018	0.018	0.020	0.019	0.020	0.020	0.020	0.020	0.020	0.020	0.021	0.022	0.023	0.028	0.029	0.313	0.312	0.314		
400MW	1	0.018	0.017	0.026	0.018	0.019	0.020	0.020	0.019	0.020	0.020	0.021	0.021	0.025	0.026	0.028	0.029	0.402	0.403	0.451	0.451		
500MW	1	0.018	0.018	0.018	0.018	0.020	0.019	0.020	0.020	0.020	0.020	0.020	0.020	0.028	0.030	0.023	0.028	0.034	0.044	0.462	0.459	0.518	
600MW	1	0.018	0.017	0.017	0.018	0.019	0.019	0.019	0.020	0.019	0.023	0.019	0.021	0.024	0.021	0.024	0.026	0.038	0.139	0.313	0.316	0.314	
100MW	1+1	0.016	0.016	0.017	0.024	0.031	0.035	0.038	0.025	0.031	0.024	0.031	0.024	0.031	0.029	0.031	0.031	0.046	0.046	0.059	0.328	0.330	0.329
200MW	1+1	0.017	0.016	0.020	0.029	0.031	0.037	0.038	0.025	0.034	0.029	0.031	0.029	0.031	0.033	0.046	0.046	0.059	0.327	0.326	0.327		
300MW	1+1	0.016	0.019	0.019	0.021	0.032	0.055	0.033	0.031	0.030	0.029	0.034	0.034	0.031	0.034	0.043	0.083	0.141	0.325	0.324	0.322		
400MW	1+1	0.017	0.015	0.015	0.019	0.033	0.030	0.032	0.028	0.031	0.028	0.033	0.030	0.031	0.036	0.038	0.044	0.102	0.224	0.316	0.322		
500MW	1+1	0.016	0.016	0.020	0.022	0.027	0.028	0.020	0.030	0.032	0.028	0.028	0.030	0.034	0.035	0.040	0.040	0.140	0.226	0.541	0.321		
600MW	1+1	0.017	0.019	0.018	0.019	0.024	0.023	0.024	0.026	0.030	0.032	0.029	0.026	0.036	0.042	0.042	0.038	0.304	0.452	0.346	0.325		
100MW	2	0.015	0.047	0.027	0.038	0.047	0.047	0.052	0.081	0.078	0.081	0.081	0.083	0.085	0.085	0.086	0.089	0.321	0.319	0.321	0.316		
200MW	2	0.015	0.041	0.042	0.041	0.047	0.047	0.047	0.047	0.051	0.063	0.081	0.081	0.085	0.085	0.085	0.089	0.319	0.320	0.317	0.317		
300MW	2	0.015	0.035	0.047	0.051	0.051	0.051	0.057	0.052	0.051	0.059	0.066	0.073	0.069	0.070	0.080	0.063	0.319	0.439	0.318	0.318		
400MW	2	0.016	0.046	0.033	0.045	0.039	0.063	0.040	0.044	0.043	0.044	0.054	0.047	0.050	0.046	0.049	0.061	0.320	0.320	0.319	0.318		
500MW	2	0.015	0.031	0.141	0.039	0.038	0.040	0.040	0.047	0.121	0.044	0.046	0.049	0.047	0.050	0.047	0.052	0.070	0.321	0.320	0.319		
600MW	2	0.016	0.038	0.038	0.032	0.041	0.215	0.043	0.058	0.045	0.062	0.044	0.044	0.047	0.050	0.047	0.059	0.229	0.316	0.322	0.450		
100MW	3	0.016	0.031	0.037	0.036	0.027	0.039	0.041	0.039	0.051	0.051	0.059	0.059	0.059	0.064	0.063	0.066	0.066	0.387	0.317	0.321		
200MW	3	0.016	0.036	0.031	0.036	0.031	0.037	0.043	0.038	0.044	0.044	0.042	0.049	0.042	0.072	0.054	0.053	0.051	0.079	0.318	0.317		
300MW	3	0.016	0.035	0.035	0.031	0.037	0.036	0.038	0.038	0.037	0.039	0.040	0.046	0.049	0.043	0.045	0.057	0.049	0.141	0.318	0.317		
400MW	3	0.016	0.030	0.031	0.035	0.036	0.036	0.041	0.036	0.038	0.040	0.044	0.044	0.048	0.040	0.042	0.048	0.143	0.319	0.319	0.320		
500MW	3	0.016	0.036	0.036	0.036	0.031	0.037	0.036	0.037	0.036	0.036	0.040	0.040	0.040	0.040	0.036	0.037	0.041	0.051	0.320	0.408	0.320	
600MW	3	0.015	0.057	0.031	0.036	0.036	0.037	0.037	0.038	0.038	0.039	0.038	0.039	0.038	0.046	0.046	0.046	0.054	0.318	0.318	0.328		

Toshiba GRL200

Liinipikkus	0%	5%	10%	15%	20%	25%	30%	35%	40%	45%	50%	55%	60%	65%	70%	75%	80%	85%	90%	95%	100%			
Võimsus	I3-4	GRL200																						
100MW	1	0.028	0.026	0.030	0.028	0.030	0.042	0.045	0.040	0.046	0.046	0.042	0.145	0.048	0.048	0.048	0.052	0.052	0.308	0.334				
200MW	1	0.038	0.040	0.038	0.038	0.038	0.050	0.059	0.053	0.057	0.058	0.060	0.060	0.060	0.060	0.060	0.060	0.105	0.108	0.340	0.338			
300MW	1	0.038	0.040	0.038	0.038	0.038	0.056	0.059	0.063	0.063	0.089	0.099	0.109	0.108	0.119	0.138	0.140	0.339	0.338	0.235	0.340			
400MW	1	0.034	0.040	0.034	0.033	0.053	0.067	0.094	0.093	0.174	0.340	0.340	0.261	0.235	0.340	0.338	0.141	0.139	0.338	0.285	0.340	0.339		
500MW	1	0.038	0.040	0.038	0.052	0.069	0.190	0.239	0.340	0.341	0.340	0.242	0.341	0.340	0.313	0.339	0.340	0.313	0.339	0.338	0.340	0.334		
600MW	1	0.033	0.035	0.033	0.042	0.165	0.245	0.134	0.136	0.139	0.131	0.139	0.240	0.236	0.240	0.239	0.239	0.239	0.239	0.239	0.238	0.338		
100MW	1+1	0.036	0.035	0.032	0.033	0.033	0.034	0.032	0.035	0.032	0.034	0.034	0.033	0.033	0.033	0.035	0.033	0.035	0.033	0.036	0.038	0.042	0.082	
200MW	1+1	0.037	0.035	0.036	0.035	0.033	0.034	0.034	0.036	0.035	0.035	0.035	0.035	0.035	0.035	0.035	0.035	0.035	0.033	0.036	0.038	0.041	0.086	
300MW	1+1	0.036	0.035	0.030	0.032	0.032	0.052	0.034	0.033	0.036	0.035	0.035	0.035	0.035	0.035	0.034	0.035	0.034	0.034	0.033	0.038	0.042	0.082	
400MW	1+1	0.036	0.035	0.033	0.035	0.032	0.035	0.035	0.033	0.035	0.035	0.035	0.035	0.035	0.035	0.035	0.035	0.035	0.035	0.035	0.038	0.042	0.053	
500MW	1+1	0.034	0.035	0.035	0.036	0.035	0.032	0.033	0.033	0.036	0.036	0.032	0.033	0.035	0.035	0.032	0.034	0.035	0.035	0.035	0.038	0.042	0.070	
600MW	1+1	0.035	0.034	0.034	0.035	0.036	0.036	0.034	0.035	0.036	0.035	0.035	0.035	0.035	0.035	0.035	0.035	0.035	0.035	0.035	0.035	0.045	0.046	
100MW	2	0.037	0.037	0.035	0.036	0.036	0.035	0.034	0.035	0.035	0.034	0.034	0.035	0.035	0.035	0.035	0.035	0.035	0.033	0.035	0.036	0.043	0.042	0.090
200MW	2	0.036	0.036	0.036	0.036	0.035	0.035	0.034	0.035	0.035	0.035	0.035	0.035	0.035	0.035	0.035	0.035	0.035	0.035	0.035	0.036	0.042	0.081	
300MW	2	0.036	0.035	0.036	0.033	0.033	0.035	0.034	0.035	0.035	0.035	0.035	0.035	0.035	0.035	0.035	0.035	0.035	0.035	0.035	0.035	0.039	0.042	0.059
400MW	2	0.035	0.039	0.035	0.042	0.035	0.039	0.085	0.035	0.035	0.034	0.035	0.035	0.035	0.035	0.035	0.035	0.035	0.035	0.035	0.035	0.041	0.042	0.057
500MW	2	0.032	0.035	0.113	0.035	0.035	0.035	0.034	0.119	0.096	0.035	0.035	0.035	0.035	0.035	0.035	0.035	0.035	0.040	0.039	0.041	0.041	0.052	
600MW	2	0.035	0.035	0.035	0.035	0.043	0.042	0.035	0.036	0.036	0.036	0.												

LISA 13. Testitulemused liinil 4-5 VSC ja LVRT-ga

Siemens 7SL87

Liinipikkus	0%	5%	10%	15%	20%	25%	30%	35%	40%	45%	50%	55%	60%	65%	70%	75%	80%	85%	90%	95%	100%	
Võimsus	I4-5	7SL87																				
100MW	1	0.311	0.314	0.315	0.317	0.316	0.314	0.317	0.317	0.319	0.318	0.319	0.315	0.319	0.319	0.319	0.319	0.319	0.319	0.318	x	
200MW	1	0.315	0.314	0.313	0.316	0.315	0.316	0.315	0.317	0.320	0.319	0.320	0.316	0.316	0.317	0.317	0.317	0.317	0.316	0.322	0.575	
300MW	1	0.313	0.315	0.312	0.317	0.309	0.439	0.436	0.319	0.318	0.318	0.320	0.316	0.317	0.317	0.317	0.317	0.318	0.518	0.523	0.420	
400MW	1	0.452	0.313	0.360	0.405	0.448	0.401	0.235	0.230	0.319	0.316	0.317	0.318	0.318	0.318	0.318	0.318	0.317	0.517	0.624	0.420	
500MW	1	0.410	0.462	0.414	0.463	0.458	0.454	0.446	0.271	0.315	0.319	0.318	0.318	0.319	0.319	0.318	0.318	0.319	0.618	0.530	0.620	
600MW	1	0.419	0.315	0.314	0.427	0.318	0.415	0.363	0.317	0.318	0.319	0.320	0.320	0.419	0.521	0.523	0.520	0.523	0.523	0.520	0.550	
100MW	1+1	0.328	0.325	0.317	0.319	0.320	0.317	0.320	0.345	0.317	0.319	0.318	0.321	0.349	0.325	0.325	0.325	0.431	0.504	0.622	0.625	
200MW	1+1	0.327	0.324	0.323	0.316	0.321	0.314	0.319	0.318	0.317	0.319	0.316	0.331	0.331	0.322	0.422	0.587	0.589	0.569	0.549	x	
300MW	1+1	0.325	0.330	0.319	0.317	0.319	0.315	0.319	0.318	0.316	0.318	0.322	0.323	0.323	0.323	0.323	0.323	0.590	0.527	0.493	0.742	
400MW	1+1	0.322	0.355	0.320	0.323	0.326	0.327	0.316	0.323	0.319	0.344	0.318	0.397	0.332	0.327	0.322	0.319	0.376	0.437	0.508	x	
500MW	1+1	0.324	0.570	0.342	0.549	0.318	0.349	0.313	0.317	0.322	0.446	0.362	0.326	0.348	0.326	0.324	0.365	0.341	0.481	0.460	0.529	
600MW	1+1	0.315	0.491	0.319	0.520	0.536	0.323	0.491	0.397	0.530	0.505	0.520	0.322	0.476	0.473	0.704	0.428	0.472	0.408	x	0.593	
100MW	2	0.316	0.318	0.321	0.320	0.322	0.320	0.565	0.321	0.616	0.769	0.694	x	x	x	x	0.861	0.882	0.753	0.785	x	
200MW	2	0.317	0.319	0.319	0.318	0.322	0.318	0.321	0.326	0.658	0.679	0.715	xxx	0.831	0.918	0.849	0.829	0.762	0.766	0.825	xx	
300MW	2	0.318	0.322	0.321	0.319	0.319	0.315	0.319	0.318	0.538	0.520	0.521	0.324	0.521	x	x	x	x	x	x	xxx	
400MW	2	0.319	0.319	0.319	0.321	0.324	0.320	0.319	0.378	0.423	0.322	0.426	0.373	x	0.470	x	x	x	0.818	xx	x	
500MW	2	0.323	0.317	0.319	0.322	0.322	0.322	0.325	0.324	0.323	0.624	0.328	0.342	0.328	0.324	x	x	x	x	xx	xx	
600MW	2	0.549	0.318	0.322	0.318	0.317	0.327	0.323	0.331	0.526	0.401	x	x	xxx	xx	xx	xx	xx	xx	xxx	xxx	
100MW	3	0.318	0.328	0.321	0.319	0.319	0.325	0.315	0.317	0.320	0.326	0.324	0.323	0.323	0.325	0.331	0.341	0.343	0.345	0.361	xxx	
200MW	3	0.317	0.557	0.324	0.320	0.318	0.326	0.316	0.318	0.320	0.324	0.545	0.327	x	x	x	x	xx	xx	xx	xxx	
300MW	3	0.319	0.323	0.331	0.325	0.316	0.321	0.546	0.542	0.538	0.756	0.634	0.637	0.723	xx	x	x	xx	xx	xx	xx	
400MW	3	0.323	0.319	0.320	0.323	0.316	0.549	0.321	0.320	0.587	0.323	0.323	0.609	0.560	0.435	0.391	x	x	x	x	xx	
500MW	3	0.327	0.322	0.319	0.320	0.322	0.320	0.545	0.317	0.321	0.364	x	0.429	0.234	x	0.606	x	0.427	x	0.361	xxx	xx
600MW	3	0.324	0.484	0.319	0.317	0.317	0.320	0.321	0.320	0.539	0.693	0.320	0.478	0.331	0.563	x	x	x	x	x	x	xxx

Toshiba GRL200

Liinipikkus	0%	5%	10%	15%	20%	25%	30%	35%	40%	45%	50%	55%	60%	65%	70%	75%	80%	85%	90%	95%	100%
Võimsus	I4-5	GRL200																			
100MW	1	0.330	0.326	0.327	0.338	0.341	0.348	0.485	0.464	0.349	0.523	0.513	0.562	0.505	0.582	0.775	0.754	0.782	0.782	x	xxx
200MW	1	0.339	0.332	0.348	0.352	0.357	0.360	0.363	0.367	0.371	0.379	0.385	0.392	0.403	0.407	0.691	0.723	0.757	0.783	xxx	xxx
300MW	1	0.339	0.338	0.355	0.362	0.374	0.400	0.429	0.675	0.412	0.435	0.399	0.420	0.532	xx	xxx	x	xxx	xxx	xxx	xxx
400MW	1	0.340	0.327	0.362	0.373	0.716	0.503	0.340	0.479	0.578	0.511	0.444	0.456	xx							
500MW	1	0.341	0.338	0.387	0.362	0.456	0.487	0.532	0.387	0.374	0.345	0.348	0.333	0.337	xx						
600MW	1	0.340	0.340	0.338	0.320	0.390	0.334	0.462	0.337	0.343	0.334	0.368	0.366	0.367	0.608	xx	xx	xx	xx	xx	xx
100MW	1+1	0.338	0.336	0.336	0.356	0.359	0.358	0.345	0.343	0.356	0.363	0.365	0.372	0.393	0.397	xx	xx	x	xxx	xx	xx
200MW	1+1	0.338	0.336	0.343	0.335	0.338	0.343	0.337	0.334	0.338	0.339	0.338	0.345	0.343	0.343	0.637	x	xx	xx	xx	xx
300MW	1+1	0.338	0.336	0.330	0.333	0.337	0.343	0.337	0.334	0.336	0.336	0.339	0.345	0.343	0.338	x	x	xx	xx	xx	xx
400MW	1+1	0.337	0.342	0.335	0.332	0.332	0.338	0.347	0.338	0.341	0.417	0.511	0.477	0.337	0.560	x	0.339	0.338	x	xx	xx
500MW	1+1	0.337	0.336	0.335	0.333	0.333	0.334	0.337	0.338	0.334	0.337	0.337	0.338	0.337	0.338	0.338	0.337	0.338	0.450	0.529	xx
600MW	1+1	0.337	0.335	0.333	0.330	0.337	0.334	0.337	0.334	0.337	0.334	0.338	0.334	0.337	0.338	0.338	0.337	0.338	0.337	0.338	xx
100MW	2	0.338	0.337	0.336	0.352	0.362	0.364	0.365	0.356	0.364	0.367	0.370	0.384	0.401	0.463	x	x	x	x	x	xx
200MW	2	0.338	0.337	0.337	0.341	0.365	0.365	0.368	0.367	0.370	0.374	0.379	0.430	0.525	0.659	0.702	0.702	0.702	0.702	0.702	xx
300MW	2	0.338	0.338	0.333	0.333	0.365	0.368	0.370	0.374	0.375	0.377	0.387	0.390	0.388	x	0.594	0.594	0.594	0.594	0.594	xx
400MW	2	0.338	0.334	0.334	0.338	0.338	0.360	0.349	0.352	0.353	0.375	0.389	0.488	x	0.647	x	0.539	x	xx	xx	xx
500MW	2	0.345	0.335	0.339	0.435	0.334	0.348	0.354	0.336	0.354	0.356	0.662	0.437	0.441	x	0.646	0.646	0.646	0.646	0.646	xx
600MW	2	0.338	0.337	0.336	0.335	0.337	0.384	0.337	0.368	0.368	0.393	0.459	0.541	0.619	0.439	0.468	0.377	0.610	0.377	0.377	xx
100MW	3	0.334	0.332	0.334	0.333	0.336	0.336	0.337	0.338	0.336	0.339	0.337	0.333	0.333	0.333	0.343	0.349	0.360	0.367	0.377	0.448
200MW	3	0.331	0.335	0.334	0.336	0.340	0.337	0.336	0.340	0.339	0.335	0.340	0.339	0.340	0.340	0.340	0.340	0.340	0.385	0.404	0.905
300MW	3	0.334	0.337	0.337	0.331	0.335	0.331	0.336	0.338	0.334	0.335	0.336	0.330	0.332	0.337	0.339	0.360	0.354	0.391	0.622	xx
400MW	3	0.333	0.331	0.331	0.333	0.331	0.332	0.337	0.333	0.328	0.330	0.337	0.333	0.331	0.331	0.334	0.334	0.345	0.346	0.353	0.438
500MW	3	0.330	0.333	0.334	0.330																

LISA 14. Testitulemused liinil 2-1 LCC ja generaatoriga

Siemens 7SL87

Liinipikkus		0%	5%	10%	15%	20%	25%	30%	35%	40%	45%	50%	55%	60%	65%	70%	75%	80%	85%	90%	95%	100%
Võimsus	L1-2	7SL87																				
100MW	1	0,028	0,028	0,024	0,025	0,037	0,030	0,032	0,029	0,027	0,031	0,031	0,026	0,032	0,035	0,056	0,050	0,057	0,327	0,327	0,327	
200MW	1	0,025	0,028	0,023	0,031	0,029	0,036	0,033	0,037	0,025	0,029	0,028	0,026	0,029	0,030	0,056	0,060	0,061	0,258	0,328	0,327	
300MW	1	0,028	0,024	0,029	0,029	0,025	0,034	0,033	0,034	0,027	0,032	0,027	0,034	0,025	0,025	0,052	0,054	0,060	0,067	0,324	0,319	
400MW	1	0,026	0,030	0,032	0,029	0,033	0,031	0,036	0,029	0,030	0,029	0,024	0,029	0,035	0,031	0,034	0,051	0,050	0,149	0,320	0,335	
500MW	1	0,023	0,020	0,031	0,023	0,031	0,030	0,023	0,030	0,026	0,022	0,031	0,034	0,030	0,034	0,057	0,058	0,063	0,328	0,328	0,331	
600MW	1	0,023	0,031	0,028	0,020	0,029	0,027	0,032	0,030	0,028	0,034	0,029	0,035	0,034	0,029	0,052	0,058	0,056	0,272	0,332	0,316	
100MW	1+1	0,030	0,032	0,028	0,023	0,030	0,028	0,037	0,041	0,034	0,029	0,046	0,050	0,050	0,044	0,048	0,055	0,405	0,565	0,514	0,332	
200MW	1+1	0,039	0,036	0,027	0,034	0,024	0,033	0,034	0,028	0,027	0,029	0,030	0,045	0,050	0,050	0,053	0,049	0,062	0,122	0,341	0,346	
300MW	1+1	0,026	0,033	0,026	0,029	0,028	0,031	0,033	0,032	0,031	0,040	0,034	0,041	0,053	0,047	0,051	0,053	0,064	0,067	0,326	0,334	
400MW	1+1	0,031	0,037	0,023	0,030	0,022	0,039	0,035	0,032	0,035	0,039	0,047	0,039	0,038	0,050	0,049	0,061	0,058	0,311	0,337	0,330	
500MW	1+1	0,033	0,031	0,026	0,042	0,030	0,042	0,039	0,042	0,049	0,037	0,037	0,051	0,032	0,043	0,051	0,056	0,062	0,322	0,331	0,327	
600MW	1+1	0,032	0,029	0,030	0,035	0,030	0,038	0,054	0,051	0,024	0,053	0,052	0,036	0,057	0,057	0,063	0,061	0,194	0,329	0,322	0,330	
100MW	2	0,029	0,049	0,046	0,039	0,057	0,053	0,057	0,061	0,063	0,064	0,067	0,060	0,059	0,057	0,114	0,121	0,072	0,405	0,334	0,325	
200MW	2	0,036	0,052	0,046	0,052	0,049	0,056	0,059	0,059	0,056	0,056	0,063	0,058	0,067	0,062	0,090	0,068	0,158	0,334	0,331	0,327	
300MW	2	0,031	0,046	0,049	0,050	0,058	0,060	0,055	0,057	0,064	0,065	0,063	0,065	0,067	0,071	0,090	0,061	0,290	0,332	0,327	0,330	
400MW	2	0,037	0,051	0,055	0,053	0,051	0,052	0,053	0,055	0,062	0,057	0,059	0,063	0,064	0,066	0,061	0,223	0,324	0,326	0,328		
500MW	2	0,031	0,052	0,047	0,048	0,047	0,047	0,062	0,064	0,063	0,062	0,065	0,071	0,092	0,088	0,122	0,143	0,265	0,330	0,327	0,325	
600MW	2	0,029	0,049	0,050	0,057	0,053	0,063	0,054	0,053	0,063	0,071	0,097	0,121	0,131	0,128	0,332	0,337	0,334	0,329	0,330		
100MW	3	0,033	0,047	0,044	0,045	0,046	0,046	0,052	0,053	0,045	0,048	0,047	0,056	0,050	0,057	0,052	0,055	0,056	0,50	0,346	0,345	
200MW	3	0,021	0,052	0,052	0,045	0,043	0,047	0,047	0,051	0,047	0,047	0,047	0,056	0,050	0,059	0,065	0,062	0,057	0,152	0,333	0,335	
300MW	3	0,038	0,041	0,041	0,047	0,050	0,051	0,050	0,055	0,055	0,051	0,055	0,048	0,054	0,064	0,065	0,065	0,061	0,147	0,341	0,330	
400MW	3	0,030	0,051	0,047	0,042	0,044	0,046	0,051	0,054	0,047	0,042	0,045	0,057	0,061	0,077	0,080	0,109	0,057	0,213	0,343	0,340	
500MW	3	0,032	0,040	0,054	0,055	0,042	0,044	0,049	0,043	0,044	0,049	0,049	0,043	0,051	0,053	0,081	0,082	0,058	0,244	0,330	0,332	
600MW	3	0,032	0,032	0,047	0,048	0,044	0,046	0,045	0,048	0,051	0,049	0,046	0,048	0,045	0,055	0,052	0,080	0,196	0,344	0,337	0,333	

Toshiba GRL200

Liinipikkus		0%	5%	10%	15%	20%	25%	30%	35%	40%	45%	50%	55%	60%	65%	70%	75%	80%	85%	90%	95%	100%
Võimsus	L1-2	GRL200																				
100MW	1	0,036	0,037	0,037	0,032	0,041	0,034	0,037	0,034	0,031	0,037	0,036	0,031	0,034	0,039	0,040	0,040	0,041	0,047	0,336	0,339	
200MW	1	0,032	0,038	0,033	0,038	0,035	0,039	0,039	0,042	0,030	0,035	0,032	0,035	0,039	0,041	0,042	0,046	0,052	0,335	0,335	0,331	
300MW	1	0,035	0,033	0,038	0,036	0,029	0,037	0,039	0,030	0,037	0,032	0,039	0,030	0,037	0,039	0,041	0,046	0,050	0,055	0,327	0,326	
400MW	1	0,032	0,037	0,039	0,033	0,038	0,035	0,041	0,033	0,030	0,034	0,048	0,033	0,041	0,035	0,028	0,044	0,042	0,044	0,328	0,335	
500MW	1	0,029	0,027	0,038	0,028	0,035	0,034	0,029	0,035	0,030	0,028	0,035	0,040	0,036	0,038	0,035	0,046	0,057	0,068	0,334	0,331	
600MW	1	0,029	0,037	0,034	0,034	0,024	0,032	0,030	0,037	0,038	0,030	0,039	0,050	0,057	0,047	0,052	0,046	0,052	0,109	0,337	0,336	
100MW	1+1	0,046	0,051	0,047	0,032	0,040	0,032	0,036	0,040	0,037	0,031	0,038	0,044	0,036	0,031	0,035	0,046	0,050	0,274	0,337	0,345	
200MW	1+1	0,049	0,050	0,048	0,043	0,035	0,035	0,035	0,032	0,030	0,036	0,035	0,047	0,036	0,038	0,040	0,048	0,054	0,322	0,348	0,350	
300MW	1+1	0,041	0,046	0,045	0,039	0,034	0,033	0,032	0,035	0,033	0,040	0,041	0,037	0,039	0,035	0,036	0,053	0,053	0,295	0,347	0,343	
400MW	1+1	0,045	0,051	0,043	0,039	0,032	0,042	0,038	0,033	0,033	0,040	0,041	0,047	0,036	0,040	0,036	0,054	0,042	0,225	0,349	0,350	
500MW	1+1	0,042	0,046	0,046	0,038	0,032	0,032	0,035	0,035	0,035	0,036	0,038	0,030	0,034	0,035	0,048	0,050	0,042	0,212	0,344	0,354	
600MW	1+1	0,042	0,048	0,041	0,037	0,041	0,037	0,042	0,036	0,029	0,038	0,034	0,045	0,040	0,041	0,042	0,056	0,047	0,237	0,350	0,348	
100MW	2	0,044	0,045	0,042	0,036	0,048	0,040	0,050	0,049	0,045	0,046	0,044	0,044	0,038	0,041	0,045	0,058	0,056	0,355	0,353	0,345	
200MW	2	0,041	0,043	0,042	0,047	0,043	0,049	0,041	0,045	0,041	0,046	0,049	0,044	0,047	0,042	0,053	0,057	0,317	0,352	0,346		
300MW	2	0,047	0,045	0,049	0,045	0,049	0,043	0,042	0,047	0,046	0,043	0,044	0,041	0,047	0,042	0,055	0,302	0,346	0,347	0,346		
400MW	2	0,041	0,044	0,044	0,040	0,046	0,044	0,041	0,047	0,044	0,047	0,044	0,046	0,046	0,047	0,050	0,055	0,235	0,344	0,348		
500MW	2	0,039	0,049	0,043	0,042	0,043	0,041	0,048	0,049	0,044	0,049	0,051	0,048	0,044	0,042	0,050	0,052	0,199	0,349	0,345		
600MW	2	0,044	0,044	0,045	0,045	0,040	0,044	0,046	0,049	0,045	0,051	0,045	0,043	0,045	0,044	0,047	0,049	0,207	0,350	0,348		
100MW	3	0,042	0,047	0,040	0,043	0,047	0,039	0,048	0,048	0,044	0,043	0,041	0,050	0,040	0,047	0,040	0,048	0,049	0,057	0,348	0,349	
200MW	3	0,036	0,051	0,049	0,042	0,045	0,045	0,042	0,051	0,044												

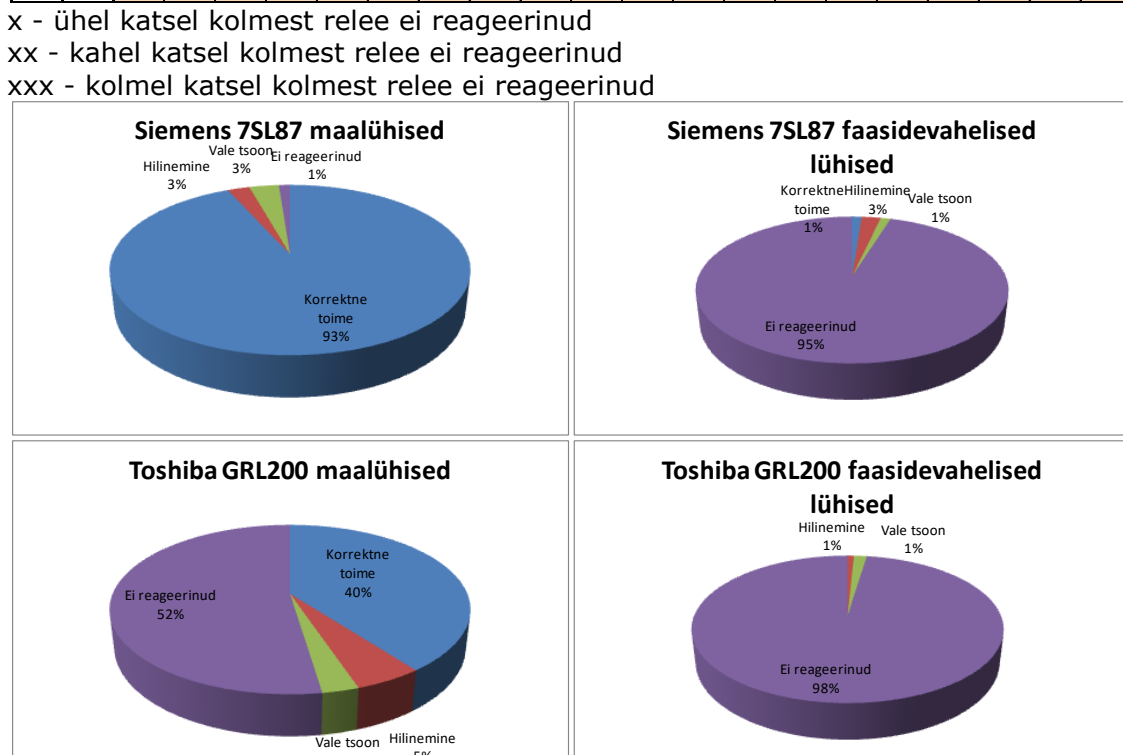
LISA 15. Testitulemused liinil 1-5 LCC ja generaatoriga

Siemens 7SL87

Liinipikkus		0%	5%	10%	15%	20%	25%	30%	35%	40%	45%	50%	55%	60%	65%	70%	75%	80%	85%	90%	95%	100%
Võimsus	L1-5	7SL87																				
100MW	1	0,330	0,330	0,333	0,324	0,630	0,631	0,624	0,630	0,646	0,649	0,646	0,649	0,648	0,650	0,647	0,638	0,642	0,645	0,646	0,645	0,641
200MW	1	0,192	0,322	0,318	0,325	0,628	0,636	0,636	0,638	0,650	0,655	0,643	0,644	0,644	0,640	0,644	0,645	0,642	0,647	0,652	0,641	0,647
300MW	1	0,331	0,330	0,319	0,333	0,629	0,641	0,635	0,645	0,644	0,637	0,648	0,656	0,641	0,639	0,639	0,650	0,642	0,658	0,654	0,652	0,651
400MW	1	0,331	0,334	0,326	0,341	0,632	0,633	0,647	0,645	0,643	0,650	0,645	0,644	0,651	0,669	0,667	0,658	0,647	0,660	0,655	0,644	0,667
500MW	1	0,330	0,333	0,329	0,327	0,646	0,648	0,648	0,650	0,649	0,660	0,646	0,650	0,662	0,641	0,657	0,652	0,644	0,658	0,640	0,649	xx
600MW	1	0,330	0,332	0,340	0,635	0,640	0,647	0,634	0,628	0,641	0,639	0,637	0,634	0,637	0,642	0,645	0,642	0,640	0,643	xx	x	
100MW	1+1	0,339	0,451	0,519	0,522	0,543	0,850	0,874	0,653	0,660	0,661	0,658	0,656	0,629	0,630	0,645	0,629	0,661	0,665	0,665	0,655	0,652
200MW	1+1	0,331	0,346	0,334	0,347	0,348	0,646	0,652	0,656	0,667	0,653	0,659	0,651	0,629	0,632	0,622	0,630	0,668	0,671	0,671	0,670	0,668
300MW	1+1	0,335	0,332	0,327	0,347	0,344	0,630	0,636	0,641	0,625	0,625	0,630	0,628	0,624	0,667	0,669	0,671	0,671	0,669	0,668		
400MW	1+1	0,340	0,329	0,332	0,349	0,334	0,639	0,623	0,634	0,624	0,644	0,628	0,630	0,659	0,681	0,674	0,673	0,671	0,670	0,669	0,663	
500MW	1+1	0,322	0,338	0,330	0,335	0,329	0,633	0,624	0,624	0,672	0,631	0,693	0,689	0,672	0,680	0,684	0,678	0,682	0,677	0,670	0,672	
600MW	1+1	0,327	0,334	0,331	0,331	0,344	0,627	0,627	0,645	0,627	0,690	0,657	0,696	0,683	0,685	0,676	0,657	0,648	0,670	0,667	0,665	0,674
100MW	2	0,628	xxx																			
200MW	2	0,630	xxx																			
300MW	2	0,478	xxx																			
400MW	2	0,622	xxx																			
500MW	2	0,379	xxx																			
600MW	2	0,355	xxx																			
100MW	3	0,342	xx	xxx																		
200MW	3	0,473	xxx																			
300MW	3	0,447	xxx																			
400MW	3	0,486	xxx																			
500MW	3	0,503	xxx																			
600MW	3	0,537	xxx																			

Toshiba GRL200

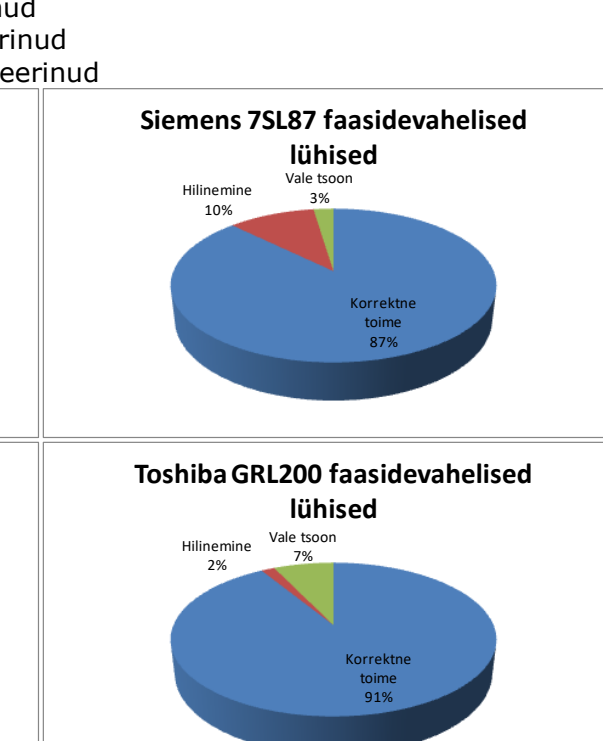
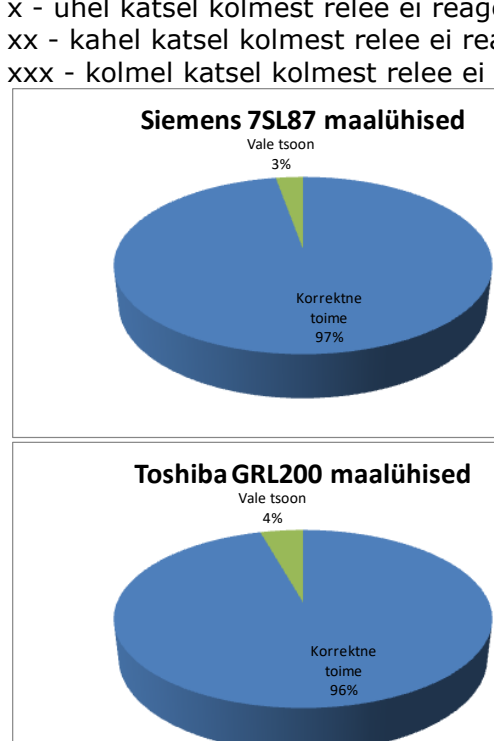
Liinipikkus		0%	5%	10%	15%	20%	25%	30%	35%	40%	45%	50%	55%	60%	65%	70%	75%	80%	85%	90%	95%	100%
Võimsus	L1-5	GRL200																				
100MW	1	0,333	0,338	0,341	0,331	0,630	0,630	0,625	0,627	0,633	0,633	0,629	0,632	0,632	0,631	0,632	0,658	0,629	0,662	0,662	0,684	0,682
200MW	1	0,497	0,334	0,329	0,372	0,626	0,630	0,637	0,632	0,632	0,635	0,625	0,633	0,632	0,677	0,629	0,681	0,670	0,679	0,683	0,677	0,686
300MW	1	0,336	0,338	0,334	0,629	0,628	0,628	0,632	0,633	0,627	0,625	0,682	0,687	0,681	0,680	0,681	0,675	0,683	0,674	0,729	0,818	0,821
400MW	1	0,335	0,339	0,333	0,637	0,626	0,626	0,636	0,683	0,628	0,635	0,684	0,681	0,681	0,682	0,687	0,685	0,680	0,685	xx	xx	xx
500MW	1	0,331	0,340	0,337	0,626	0,634	0,630	0,634	0,678	0,635	0,683	0,687	0,680	0,677	0,828	xx	xx	xx	xx	xx	xx	xx
600MW	1	0,338	0,337	0,335	0,629	0,631	0,660	0,674	0,678	0,681	0,681	0,682	0,847	0,858	xx	xx						
100MW	1+1	0,642	xxx	xxx																		
200MW	1+1	0,510	xx	xxx	xxx																	
300MW	1+1	0,434	0,743	xxx	xxx																	
400MW	1+1	0,425	0,607	xxx	xxx																	
500MW	1+1	0,395	0,482	xxx	xxx																	
600MW	1+1	0,418	0,500	xxx	xxx																	
100MW	2	0,639	xx	xxx	xxx																	
200MW	2	0,643	xx	xxx	xxx																	
300MW	2	0,641	xx	xxx	xxx																	
400MW	2	0,633	xx	xxx	xxx																	
500MW	2	0,473	xx	xxx	xxx																	
600MW	2	0,482	xx	xxx	xxx																	
100MW	3	xx	xx	xxx	xxx																	
200MW	3	xxx	xx	xxx	xxx																	
300MW	3	xxx	xx	xxx	xxx																	
400MW	3	xxx	xx	xxx	xxx																	
500MW	3	xxx	xx	xxx	xxx																	
600MW	3	xxx	xx	xxx	xxx																	



LISA 16. Testitulemused liinil 2-1 VSC ja generaatoriga

Siemens 7SL87

Liinipikkus	0%	5%	10%	15%	20%	25%	30%	35%	40%	45%	50%	55%	60%	65%	70%	75%	80%	85%	90%	95%	100%		
Võimsus	L1-2	7SL87																					
100MW	1	0.015	0.033	0.034	0.027	0.030	0.036	0.031	0.035	0.036	0.030	0.030	0.045	0.052	0.041	0.042	0.042	0.042	0.325	0.322	0.333		
200MW	1	0.016	0.021	0.037	0.030	0.026	0.036	0.033	0.036	0.026	0.023	0.037	0.029	0.040	0.042	0.041	0.035	0.036	0.233	0.321	0.322		
300MW	1	0.016	0.033	0.027	0.028	0.028	0.032	0.032	0.030	0.021	0.096	0.023	0.033	0.034	0.026	0.040	0.042	0.034	0.320	0.321	0.324		
400MW	1	0.016	0.030	0.034	0.038	0.032	0.018	0.031	0.034	0.035	0.035	0.030	0.030	0.035	0.038	0.040	0.042	0.236	0.319	0.321	0.321		
500MW	1	0.034	0.030	0.028	0.030	0.036	0.024	0.038	0.026	0.033	0.036	0.033	0.038	0.036	0.043	0.040	0.041	0.321	0.320	0.324	0.323		
600MW	1	0.019	0.021	0.019	0.018	0.023	0.020	0.019	0.020	0.020	0.019	0.020	0.024	0.030	0.020	0.041	0.322	0.316	0.316	0.316	0.316		
100MW	1+1	0.016	0.034	0.034	0.033	0.025	0.036	0.033	0.033	0.042	0.042	0.036	0.041	0.035	0.044	0.051	0.041	0.044	0.313	0.322	0.333	0.342	
200MW	1+1	0.015	0.026	0.040	0.042	0.040	0.037	0.037	0.036	0.038	0.040	0.031	0.032	0.038	0.045	0.042	0.050	0.046	0.236	0.333	0.332	0.336	
300MW	1+1	0.015	0.043	0.030	0.040	0.036	0.037	0.040	0.029	0.033	0.044	0.034	0.044	0.036	0.039	0.043	0.039	0.042	0.234	0.333	0.333	0.329	
400MW	1+1	0.049	0.028	0.039	0.032	0.034	0.031	0.041	0.037	0.032	0.039	0.039	0.036	0.039	0.039	0.039	0.034	0.048	0.140	0.337	0.336	0.335	
500MW	1+1	0.040	0.050	0.042	0.046	0.034	0.039	0.031	0.032	0.035	0.041	0.040	0.040	0.037	0.039	0.041	0.038	0.039	0.053	0.314	0.323	0.319	
600MW	1+1	0.015	0.017	0.031	0.017	0.020	0.017	0.018	0.021	0.035	0.035	0.032	0.039	0.041	0.038	0.039	0.041	0.038	0.039	0.053	0.314	0.323	
100MW	2	0.015	0.047	0.043	0.046	0.045	0.048	0.050	0.048	0.044	0.113	0.071	0.102	0.093	0.097	0.143	0.111	0.146	0.105	0.330	0.327	0.331	0.334
200MW	2	0.015	0.047	0.048	0.042	0.044	0.048	0.045	0.044	0.044	0.150	0.105	0.135	0.079	0.144	0.141	0.082	0.084	0.331	0.335	0.325	0.331	
300MW	2	0.015	0.041	0.045	0.044	0.044	0.045	0.047	0.049	0.051	0.053	0.145	0.052	0.056	0.076	0.060	0.074	0.111	0.329	0.336	0.331	0.329	
400MW	2	0.035	0.036	0.043	0.039	0.045	0.036	0.049	0.042	0.043	0.047	0.040	0.048	0.060	0.046	0.048	0.062	0.099	0.326	0.333	0.327	0.330	
500MW	2	0.037	0.047	0.045	0.046	0.041	0.044	0.042	0.047	0.047	0.055	0.049	0.063	0.055	0.057	0.073	0.067	0.276	0.327	0.333	0.332		
600MW	2	0.016	0.041	0.039	0.038	0.044	0.041	0.043	0.045	0.041	0.043	0.046	0.059	0.041	0.066	0.078	0.048	0.050	0.235	0.316	0.318	0.319	
Toshiba GRL200																							
Liinipikkus	0%	5%	10%	15%	20%	25%	30%	35%	40%	45%	50%	55%	60%	65%	70%	75%	80%	85%	90%	95%	100%		
Võimsus	L1-2	GRL200																					
100MW	1	0.038	0.038	0.038	0.030	0.038	0.033	0.031	0.035	0.034	0.037	0.035	0.035	0.036	0.039	0.031	0.052	0.038	0.053	0.334	0.328	0.333	
200MW	1	0.024	0.036	0.029	0.031	0.040	0.029	0.037	0.041	0.035	0.039	0.044	0.038	0.038	0.035	0.034	0.039	0.038	0.039	0.329	0.332	0.333	
300MW	1	0.041	0.035	0.034	0.037	0.041	0.035	0.039	0.044	0.041	0.042	0.040	0.041	0.040	0.040	0.041	0.041	0.040	0.340	0.340	0.338		
400MW	1	0.041	0.035	0.041	0.040	0.041	0.037	0.042	0.044	0.041	0.040	0.040	0.040	0.039	0.041	0.041	0.040	0.040	0.341	0.337	0.337		
500MW	1	0.041	0.040	0.041	0.042	0.041	0.041	0.041	0.041	0.041	0.040	0.041	0.040	0.041	0.041	0.041	0.040	0.040	0.342	0.340	0.343		
600MW	1	0.041	0.041	0.041	0.042	0.041	0.043	0.041	0.041	0.042	0.040	0.040	0.043	0.043	0.041	0.043	0.043	0.042	0.340	0.342	0.343		
100MW	1+1	0.036	0.036	0.036	0.034	0.036	0.034	0.033	0.032	0.033	0.035	0.031	0.033	0.035	0.034	0.035	0.039	0.040	0.206	0.339	0.337	0.338	
200MW	1+1	0.036	0.036	0.036	0.034	0.035	0.034	0.036	0.035	0.034	0.035	0.032	0.034	0.035	0.034	0.036	0.038	0.039	0.212	0.339	0.337	0.338	
300MW	1+1	0.036	0.036	0.036	0.034	0.035	0.033	0.034	0.035	0.034	0.033	0.035	0.033	0.035	0.034	0.035	0.037	0.038	0.216	0.339	0.337	0.338	
400MW	1+1	0.036	0.036	0.036	0.034	0.035	0.034	0.036	0.036	0.035	0.034	0.035	0.034	0.035	0.034	0.035	0.036	0.040	0.217	0.339	0.337	0.338	
500MW	1+1	0.036	0.036	0.036	0.034	0.035	0.034	0.036	0.036	0.037	0.033	0.035	0.034	0.035	0.037	0.038	0.041	0.216	0.339	0.337	0.338		
600MW	1+1	0.036	0.036	0.036	0.034	0.035	0.034	0.036	0.036	0.034	0.034	0.035	0.034	0.035	0.034	0.036	0.036	0.041	0.217	0.339	0.337	0.338	
100MW	2	0.036	0.036	0.036	0.034	0.035	0.034	0.033	0.032	0.033	0.035	0.031	0.033	0.035	0.034	0.035	0.039	0.040	0.206	0.339	0.337	0.338	
200MW	2	0.036	0.036	0.036	0.034	0.035	0.034	0.036	0.035	0.034	0.036	0.034	0.035	0.036	0.034	0.035	0.038	0.039	0.212	0.339	0.337	0.338	
300MW	2	0.036	0.036	0.036	0.034	0.035	0.034	0.036	0.035	0.034	0.036	0.034	0.035	0.036	0.034	0.035	0.037	0.038	0.216	0.339	0.337	0.338	
400MW	2	0.036	0.036	0.036	0.034	0.035	0.034	0.036	0.035	0.034	0.036	0.034	0.035	0.036	0.034	0.035	0.037	0.038	0.216	0.339	0.337	0.338	
500MW	2	0.036	0.036	0.036	0.034	0.035	0.034	0.036	0.035	0.034	0.036	0.034	0.035	0.036	0.034	0.035	0.037	0.038	0.216	0.339	0.337	0.338	
600MW	2	0.036	0.035	0.036	0.034	0.035	0.034	0.036	0.035	0.034	0.036	0.034	0.035	0.036	0.034	0.035	0.037	0.038	0.216	0.339	0.337	0.338	
100MW	3	0.033	0.035	0.036	0.034	0.035	0.033	0.031	0.036	0.035	0.034	0.036	0.035	0.034	0.033	0.035	0.037	0.041	0.315	0.343	0.300	0.645	
200MW	3	0.036	0.035	0.034	0.033	0.035	0.034	0.030	0.036	0.035	0.034	0.036	0.035	0.034	0.033	0.035	0.037	0.041	0.339	0.338	0.338	0.339	
300MW	3	0.036	0.035	0.035	0.031	0.036	0.032	0.034	0.036	0.035	0.033	0.036	0.035	0.034	0.033	0.035	0.037	0.041	0.318	0.339	0.337	0.339	
400MW	3	0.036	0.036	0.036	0.030	0.036	0.031	0.036	0.036	0.035	0.033	0.035	0.034	0.033	0.031	0.035	0.037	0.041	0.339	0.337	0.338	0.338	
500MW	3	0.036	0.036	0.036	0.034	0.035	0.031	0.036	0.036	0.035	0.032	0.034	0.033	0.036	0.034	0.033	0.035	0.041	0.326	0.339	0.337	0.338	
600MW	3	0.036	0.035	0.036	0.034	0.035	0.033	0.036	0.036	0.035	0.034	0.036	0.035	0.034	0.033	0.035	0.037	0.042	0.326	0.339	0.337	0.338	



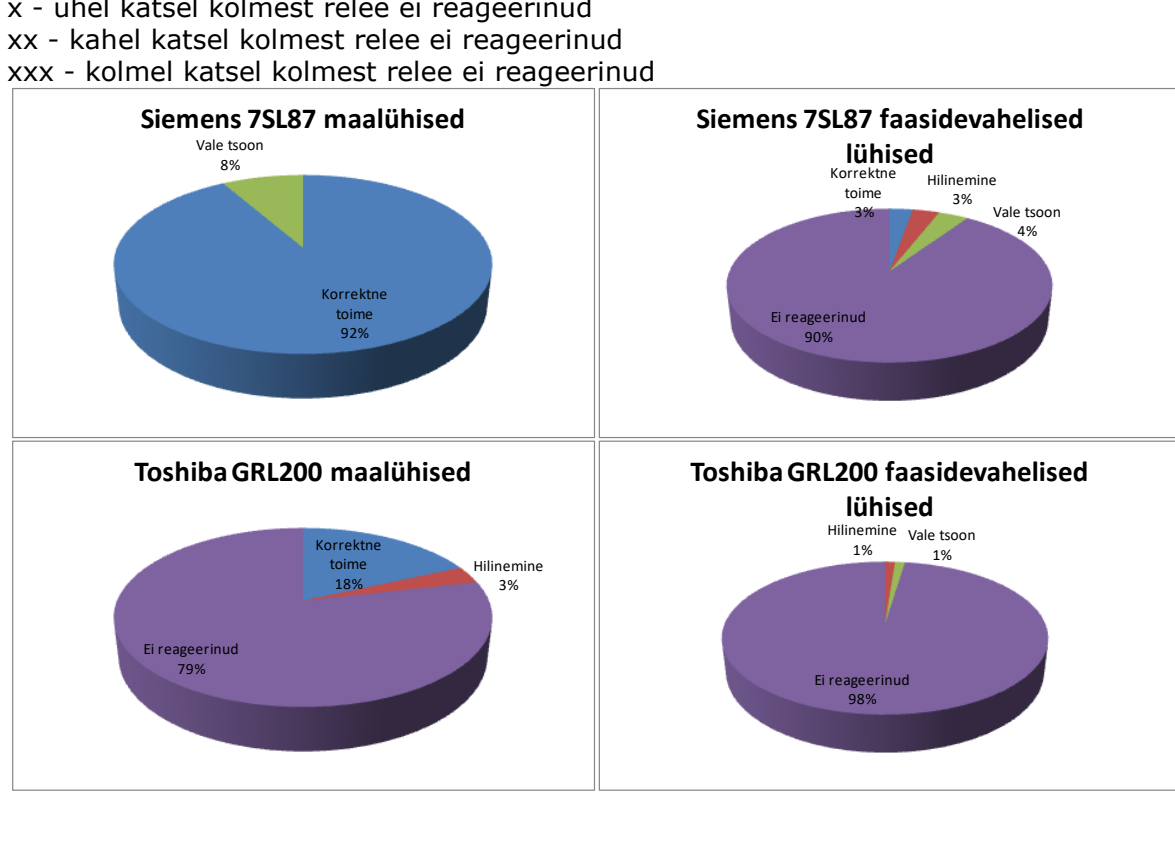
LISA 17. Testitulemused liinil 1-5 VSC ja generaatoriga

Siemens 7SL87

Liinipikkus	0%	5%	10%	15%	20%	25%	30%	35%	40%	45%	50%	55%	60%	65%	70%	75%	80%	85%	90%	95%	100%	
Võimsus	L1-5	7SL87																				
100MW	1	0,315	0,315	0,315	0,313	0,615	0,610	0,614	0,615	0,616	0,617	0,617	0,615	0,618	0,617	0,618	0,618	0,618	0,615	0,620	0,617	
200MW	1	0,316	0,316	0,315	0,314	0,613	0,611	0,614	0,615	0,617	0,616	0,617	0,616	0,618	0,617	0,618	0,619	0,619	0,619	0,621	0,619	
300MW	1	0,317	0,316	0,316	0,314	0,614	0,615	0,615	0,617	0,617	0,619	0,619	0,618	0,618	0,620	0,616	0,615	0,617	0,621	0,619	0,619	
400MW	1	0,318	0,317	0,317	0,316	0,615	0,618	0,616	0,617	0,619	0,615	0,615	0,615	0,619	0,617	0,615	0,618	0,618	0,617	0,620	0,619	
500MW	1	0,319	0,318	0,318	0,316	0,615	0,619	0,617	0,618	0,619	0,615	0,616	0,615	0,616	0,616	0,616	0,616	0,621	0,618	0,618	0,621	
600MW	1	0,323	0,319	0,321	0,317	0,616	0,615	0,618	0,619	0,615	0,616	0,617	0,619	0,617	0,617	0,617	0,619	0,619	0,622	0,619	0,619	
100MW	1+1	0,334	0,335	0,327	0,323	0,323	0,324	0,323	0,322	0,322	0,632	0,619	0,612	0,612	0,617	0,625	0,623	0,620	0,645	0,623	0,640	0,645
200MW	1+1	0,326	0,331	0,331	0,319	0,313	0,319	0,320	0,639	0,625	0,620	0,613	0,612	0,631	0,629	0,626	0,629	0,636	0,637	0,631	0,419	0,206
300MW	1+1	0,330	0,323	0,323	0,325	0,316	0,317	0,316	0,622	0,615	0,626	0,614	0,613	0,617	0,620	0,617	0,625	0,620	0,640	0,637	0,616	0,614
400MW	1+1	0,330	0,327	0,332	0,316	0,315	0,318	0,315	0,616	0,615	0,627	0,615	0,614	0,614	0,616	0,614	0,616	0,616	0,616	0,618	0,617	0,620
500MW	1+1	0,314	0,333	0,333	0,316	0,316	0,314	0,317	0,613	0,614	0,629	0,626	0,615	0,613	0,616	0,617	0,616	0,619	0,619	0,618	0,616	0,616
600MW	1+1	0,317	0,319	0,329	0,320	0,316	0,315	0,622	0,615	0,640	0,639	0,626	0,616	0,614	0,619	0,618	0,617	0,617	0,620	0,619	0,616	0,416
100MW	2	0,509	xxx																			
200MW	2	0,506	xxx																			
300MW	2	0,440	xxx																			
400MW	2	0,434	xxx																			
500MW	2	0,434	xxx																			
600MW	2	0,372	xxx																			
100MW	3	0,308	0,597	0,722	xx																	
200MW	3	0,311	0,593	0,724	xx																	
300MW	3	0,314	0,603	0,728	xx																	
400MW	3	0,317	0,513	0,731	xx																	
500MW	3	0,316	0,616	0,737	xx																	
600MW	3	0,319	0,799	0,835	xx	xxx																

Toshiba GRL200

Liinipikkus	0%	5%	10%	15%	20%	25%	30%	35%	40%	45%	50%	55%	60%	65%	70%	75%	80%	85%	90%	95%	100%	
Võimsus	L1-5	GRL200																				
100MW	1	0,340	0,333	0,334	0,333	0,631	0,632	0,631	0,633	xxx	xxx	xxx	xxx	xxx	xx	xx						
200MW	1	0,333	0,324	0,323	0,324	0,632	0,632	0,649	0,744	xx	xx											
300MW	1	0,339	0,339	0,339	0,341	0,641	0,760	0,638	0,642	xx	xx											
400MW	1	0,340	0,340	0,340	0,341	0,641	0,641	0,643	0,671	xx	xx											
500MW	1	0,340	0,340	0,340	0,341	0,641	0,641	0,642	0,642	xx	xx											
600MW	1	0,343	0,340	0,343	0,341	0,641	0,641	0,643	0,642	xx	xx											
100MW	1+1	0,370	xx	xxx	xxx																	
200MW	1+1	0,409	xx	xxx	xxx																	
300MW	1+1	0,413	xx	xxx	xxx																	
400MW	1+1	0,415	xx	xxx	xxx																	
500MW	1+1	0,424	xx	xxx	xxx																	
600MW	1+1	0,428	x	xxx	xxx																	
100MW	2	0,632	xxx	xxx																		
200MW	2	0,631	xxx	xxx																		
300MW	2	0,642	xxx	xxx																		
400MW	2	0,577	xxx	xxx																		
500MW	2	0,587	xxx	xxx																		
600MW	2	0,470	xxx	xxx																		
100MW	3	xxx	xxx																			
200MW	3	xxx	xxx																			
300MW	3	xx	xxx	xxx																		
400MW	3	xx	xxx	xxx																		
500MW	3	xx	xxx	xxx																		
600MW	3	xx	xx	xxx	xxx																	



LISA 18. TT-d liinil 2-1 VSC LVRT-ga ja generaatoriga

Siemens 7SL87

Liiiniklus	0%	5%	10%	15%	20%	25%	30%	35%	40%	45%	50%	55%	60%	65%	70%	75%	80%	85%	90%	95%	100%			
Võimsus	L1-2	7SL87																						
100MW	1	0,037	0,044	0,028	0,032	0,027	0,028	0,033	0,026	0,026	0,028	0,033	0,028	0,033	0,028	0,033	0,028	0,033	0,049	0,324	0,315	0,320		
200MW	1	0,039	0,034	0,029	0,035	0,027	0,037	0,023	0,029	0,030	0,033	0,028	0,037	0,026	0,038	0,039	0,035	0,230	0,267	0,320	0,322	0,322		
300MW	1	0,039	0,023	0,022	0,032	0,032	0,031	0,017	0,025	0,034	0,032	0,023	0,030	0,036	0,027	0,039	0,038	0,036	0,133	0,326	0,322	0,321		
400MW	1	0,028	0,023	0,027	0,024	0,028	0,032	0,031	0,020	0,042	0,033	0,029	0,035	0,038	0,034	0,036	0,038	0,039	0,150	0,317	0,219	0,322		
500MW	1	0,022	0,025	0,030	0,035	0,032	0,028	0,031	0,026	0,033	0,035	0,038	0,035	0,036	0,035	0,041	0,038	0,041	0,230	0,324	0,317	0,323		
600MW	1	0,023	0,020	0,020	0,020	0,028	0,020	0,019	0,019	0,019	0,020	0,025	0,020	0,025	0,025	0,022	0,023	0,037	0,229	0,320	0,316	0,322		
100MW	1+1	0,026	0,025	0,017	0,052	0,022	0,033	0,032	0,029	0,039	0,030	0,034	0,037	0,039	0,038	0,040	0,042	0,046	0,133	0,331	0,329	0,323		
200MW	1+1	0,068	0,028	0,037	0,037	0,033	0,047	0,034	0,038	0,031	0,040	0,036	0,038	0,043	0,056	0,041	0,048	0,328	0,330	0,329				
300MW	1+1	0,039	0,033	0,024	0,033	0,035	0,054	0,030	0,032	0,038	0,035	0,030	0,036	0,036	0,041	0,042	0,040	0,042	0,137	0,328	0,322	0,329		
400MW	1+1	0,039	0,031	0,034	0,032	0,037	0,034	0,041	0,032	0,031	0,021	0,037	0,042	0,035	0,041	0,036	0,041	0,041	0,121	0,325	0,330	0,336		
500MW	1+1	0,035	0,036	0,022	0,041	0,042	0,033	0,019	0,038	0,041	0,037	0,040	0,038	0,040	0,027	0,037	0,039	0,040	0,055	0,329	0,326	0,328		
600MW	1+1	0,016	0,016	0,019	0,023	0,017	0,017	0,019	0,021	0,022	0,042	0,040	0,038	0,036	0,040	0,030	0,036	0,041	0,232	0,321	0,331	0,321		
100MW	2	0,036	0,035	0,035	0,047	0,042	0,045	0,044	0,045	0,042	0,051	0,048	0,068	0,055	0,042	0,053	0,053	0,056	0,073	0,668	0,329	0,371	0,325	
200MW	2	0,032	0,046	0,041	0,045	0,044	0,041	0,044	0,044	0,053	0,048	0,046	0,051	0,042	0,050	0,059	0,052	0,052	0,138	0,297	0,325	0,323		
300MW	2	0,038	0,042	0,042	0,054	0,039	0,043	0,049	0,044	0,042	0,050	0,043	0,052	0,051	0,054	0,049	0,057	0,061	0,157	0,324	0,327	0,324		
400MW	2	0,040	0,045	0,040	0,044	0,042	0,042	0,043	0,047	0,041	0,049	0,045	0,047	0,045	0,054	0,049	0,049	0,056	0,147	0,330	0,328	0,326		
500MW	2	0,044	0,040	0,041	0,040	0,051	0,047	0,040	0,043	0,047	0,042	0,048	0,050	0,052	0,054	0,048	0,047	0,059	0,062	0,324	0,326	0,331		
600MW	2	0,016	0,037	0,037	0,029	0,037	0,041	0,043	0,045	0,044	0,043	0,043	0,043	0,042	0,043	0,043	0,046	0,052	0,147	0,318	0,316	0,319		
100MW	3	0,031	0,023	0,029	0,037	0,039	0,035	0,038	0,042	0,038	0,039	0,040	0,042	0,037	0,042	0,042	0,046	0,045	0,045	0,047	0,073	0,331	0,333	0,322
200MW	3	0,040	0,007	0,026	0,039	0,041	0,038	0,042	0,041	0,042	0,037	0,044	0,039	0,038	0,045	0,041	0,047	0,047	0,060	0,331	0,327			
300MW	3	0,038	0,027	0,039	0,033	0,036	0,041	0,035	0,039	0,040	0,037	0,040	0,041	0,041	0,045	0,044	0,045	0,045	0,052	0,060	0,326	0,331	0,327	
400MW	3	0,036	0,037	0,040	0,039	0,033	0,039	0,036	0,037	0,038	0,037	0,038	0,039	0,026	0,039	0,043	0,046	0,046	0,046	0,049	0,332	0,329	0,329	
500MW	3	0,041	0,027	0,021	0,039	0,040	0,039	0,048	0,040	0,041	0,041	0,042	0,040	0,040	0,037	0,038	0,040	0,042	0,046	0,060	0,328	0,328	0,330	
600MW	3	0,015	0,030	0,019	0,035	0,030	0,036	0,037	0,036	0,035	0,036	0,035	0,036	0,035	0,038	0,038	0,046	0,047	0,058	0,318	0,327			

Toshiba GRL200

Liiiniklus	0%	5%	10%	15%	20%	25%	30%	35%	40%	45%	50%	55%	60%	65%	70%	75%	80%	85%	90%	95%	100%			
Võimsus	L1-2	GRL200																						
100MW	1	0,036	0,037	0,033	0,035	0,034	0,034	0,038	0,038	0,033	0,029	0,037	0,043	0,067	0,035	0,035	0,037	0,039	0,050	0,339	0,339	0,330		
200MW	1	0,038	0,027	0,035	0,034	0,033	0,034	0,036	0,036	0,035	0,040	0,034	0,031	0,036	0,039	0,034	0,043	0,036	0,037	0,055	0,338	0,333	0,335	
300MW	1	0,038	0,038	0,032	0,038	0,028	0,037	0,039	0,040	0,040	0,041	0,041	0,034	0,037	0,040	0,039	0,036	0,039	0,038	0,116	0,335	0,338	0,338	
400MW	1	0,037	0,038	0,041	0,039	0,040	0,039	0,038	0,042	0,040	0,042	0,039	0,040	0,037	0,042	0,039	0,041	0,040	0,080	0,339	0,341	0,340		
500MW	1	0,040	0,040	0,041	0,041	0,040	0,040	0,041	0,040	0,041	0,041	0,040	0,041	0,042	0,041	0,041	0,041	0,041	0,093	0,343	0,341	0,342		
600MW	1	0,040	0,040	0,041	0,041	0,040	0,042	0,043	0,042	0,040	0,042	0,043	0,040	0,043	0,041	0,042	0,042	0,042	0,278	0,343	0,340	0,343		
100MW	1+1	0,043	0,038	0,031	0,035	0,036	0,029	0,044	0,032	0,031	0,033	0,035	0,032	0,033	0,033	0,039	0,040	0,046	0,045	0,045	0,047	0,073	0,331	0,333
200MW	1+1	0,035	0,035	0,036	0,034	0,032	0,034	0,034	0,035	0,035	0,034	0,034	0,033	0,033	0,034	0,041	0,041	0,040	0,040	0,040	0,122	0,338	0,339	0,338
300MW	1+1	0,035	0,035	0,036	0,037	0,036	0,035	0,035	0,035	0,035	0,036	0,035	0,035	0,035	0,035	0,034	0,040	0,040	0,040	0,119	0,338	0,339	0,338	
400MW	1+1	0,035	0,035	0,036	0,037	0,036	0,035	0,035	0,035	0,035	0,036	0,035	0,035	0,035	0,035	0,037	0,037	0,034	0,041	0,041	0,113	0,338	0,339	0,338
500MW	1+1	0,035	0,035	0,036	0,036	0,035	0,035	0,035	0,035	0,035	0,036	0,035	0,035	0,035	0,036	0,034	0,041	0,041	0,041	0,130	0,338	0,339	0,338	
600MW	1+1	0,035	0,035	0,036	0,036	0,036	0,035	0,034	0,034	0,035	0,036	0,036	0,035	0,036	0,035	0,036	0,036	0,036	0,040	0,041	0,114	0,338	0,339	0,338
100MW	2	0,035	0,035	0,039	0,035	0,034	0,035	0,034	0,035	0,034	0,034	0,035	0,035	0,036	0,033	0,034	0,034	0,034	0,041	0,041	0,166	0,338	0,375	0,338
200MW	2	0,035	0,035	0,036	0,035	0,039	0,041	0,035	0,034	0,034	0,036	0,036	0,035	0,035	0,035	0,036	0,036	0,036	0,041	0,069	0,156	0,338	0,338	
300MW	2	0,035	0,035	0,036	0,036	0,035	0,034	0,034	0,035	0,035	0,036	0,035	0,036	0,036	0,035	0,036	0,036	0,036	0,041	0,074	0,174	0,338	0,338	
400MW	2	0,035	0,035	0,036	0,036	0,035	0,034	0,034	0,034	0,035	0,036	0,035	0,036	0,036	0,037	0,037	0,034	0,041	0,041	0,250	0,338	0,338	0,338	
500MW	2	0,035	0,035	0,036	0,037	0,035	0,034	0,034	0,033	0,035	0,036	0,035	0,035											

LISA 19. TT-d liinil 1-5 VSC LVRT-ga ja generaatoriga

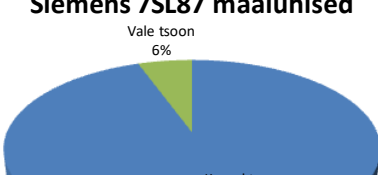
Siemens 7SL87

Liiinpikus	0%	5%	10%	15%	20%	25%	30%	35%	40%	45%	50%	55%	60%	65%	70%	75%	80%	85%	90%	95%	100%
Võimsus	L1-5	7SL87																			
100MW	1	0.315	0.317	0.315	0.315	0.613	0.615	0.614	0.618	0.618	0.616	0.618	0.618	0.617	0.618	0.619	0.615	0.620	0.619	0.620	0.620
200MW	1	0.315	0.316	0.316	0.314	0.614	0.611	0.617	0.615	0.613	0.615	0.615	0.616	0.617	0.618	0.618	0.615	0.616	0.620	0.620	0.621
300MW	1	0.316	0.315	0.317	0.315	0.615	0.612	0.618	0.616	0.616	0.616	0.616	0.617	0.619	0.618	0.619	0.616	0.617	0.621	0.622	0.622
400MW	1	0.317	0.314	0.318	0.315	0.616	0.618	0.618	0.617	0.615	0.615	0.617	0.618	0.615	0.616	0.619	0.615	0.617	0.618	0.620	0.620
500MW	1	0.318	0.315	0.318	0.316	0.617	0.619	0.616	0.616	0.616	0.616	0.616	0.617	0.615	0.617	0.618	0.616	0.620	0.617	0.618	0.619
600MW	1	0.317	0.319	0.324	0.319	0.578	0.614	0.615	0.619	0.617	0.617	0.618	0.615	0.622	0.411	0.624	0.617	0.623	0.619	0.619	0.619
100MW	1+1	0.328	0.322	0.330	0.315	0.313	0.315	0.616	0.616	0.618	0.614	0.618	0.618	0.617	0.620	0.623	0.617	0.620	0.624	0.634	0.620
200MW	1+1	0.326	0.325	0.323	0.316	0.314	0.317	0.612	0.616	0.613	0.617	0.618	0.617	0.615	0.614	0.618	0.619	0.617	0.626	0.635	0.622
300MW	1+1	0.327	0.325	0.317	0.315	0.315	0.317	0.616	0.616	0.614	0.614	0.616	0.616	0.617	0.614	0.614	0.626	0.624	0.623	0.636	0.630
400MW	1+1	0.329	0.322	0.317	0.316	0.316	0.416	0.619	0.614	0.615	0.617	0.613	0.616	0.613	0.615	0.616	0.617	0.617	0.617	0.618	0.618
500MW	1+1	0.313	0.327	0.320	0.316	0.315	0.417	0.615	0.613	0.619	0.616	0.614	0.617	0.615	0.616	0.618	0.619	0.618	0.634	0.634	0.621
600MW	1+1	0.314	0.329	0.327	0.317	0.318	0.315	0.612	0.617	0.615	0.615	0.617	0.618	0.615	0.617	0.618	0.616	0.615	0.626	0.622	0.621
100MW	2	0.320	0.314	0.615	0.618	0.616	0.622	0.620	0.656	0.668	0.676	xxx									
200MW	2	0.319	0.320	0.616	0.614	0.615	0.622	0.622	0.671	xxx											
300MW	2	0.320	0.322	0.620	0.615	0.626	xxx														
400MW	2	0.317	0.322	0.623	0.616	0.616	0.618	0.759	xxx												
500MW	2	0.322	0.320	0.619	0.617	0.620	0.631	0.630	0.663	xxx											
600MW	2	0.317	0.419	0.522	0.617	0.618	0.632	x	0.657	0.968	x	xxx									
100MW	3	0.320	0.622	0.709	0.786	xxx															
200MW	3	0.316	0.518	xx	xxx																
300MW	3	0.317	0.519	xxx																	
400MW	3	0.318	0.520	xxx																	
500MW	3	0.318	0.528	xxx	xxx	xx	xxx														
600MW	3	0.319	0.421	xx																	

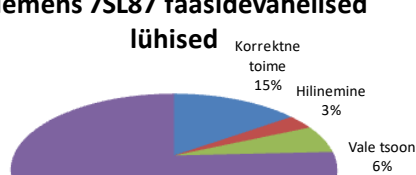
Toshiba GRL200

Liiinpikus	0%	5%	10%	15%	20%	25%	30%	35%	40%	45%	50%	55%	60%	65%	70%	75%	80%	85%	90%	95%	100%
Võimsus	L1-5	GRL200																			
100MW	1	0.340	0.332	0.335	0.332	0.638	0.640	0.631	0.626	0.635	0.634	0.632	0.638	0.636	0.637	0.636	0.640	0.635	0.637	0.638	0.638
200MW	1	0.323	0.325	0.326	0.326	0.621	0.622	0.622	0.622	0.620	0.623	0.623	0.623	0.623	0.621	0.621	0.624	0.628	0.629	0.635	0.638
300MW	1	0.339	0.341	0.339	0.342	0.640	0.640	0.642	0.642	0.640	0.640	0.640	0.640	0.640	0.640	0.640	0.640	0.640	0.640	0.640	0.640
400MW	1	0.340	0.341	0.340	0.342	0.640	0.640	0.642	0.642	0.641	0.641	0.642	0.642	0.641	0.643	0.642	0.642	0.642	0.642	0.642	0.642
500MW	1	0.340	0.341	0.342	0.342	0.641	0.643	0.642	0.642	0.641	0.641	0.642	0.642	0.641	0.643	0.642	0.643	0.642	0.642	0.642	0.642
600MW	1	0.343	0.341	0.342	0.342	0.644	0.644	0.645	0.645	0.641	0.641	0.642	0.642	0.641	0.643	0.643	0.644	0.643	0.643	0.643	0.643
100MW	1+1	0.338	0.353	0.641	0.643	0.645	0.645	0.647	x	xx	xxx										
200MW	1+1	0.338	0.350	0.641	0.640	0.642	0.642	0.643	0.647	0.652	0.655	xxx									
300MW	1+1	0.345	0.349	0.641	0.640	0.642	0.655	0.660	0.663	0.670	0.672	xxx									
400MW	1+1	0.338	0.347	0.641	0.640	0.642	0.641	0.651	0.663	0.668	0.672	xxx									
500MW	1+1	0.338	0.347	0.642	0.644	0.642	0.641	0.644	0.643	0.646	0.671	xxx									
600MW	1+1	0.338	0.343	0.639	0.643	0.642	0.645	0.644	0.643	0.643	0.669	xxx									
100MW	2	0.338	0.355	0.644	0.644	0.645	0.648	0.647	x	xx	xxx										
200MW	2	0.338	0.353	0.641	0.644	0.642	0.644	0.643	0.647	0.652	0.655	xxx									
300MW	2	0.345	0.350	0.641	0.640	0.642	0.663	0.670	0.731	0.759	0.854	xxx									
400MW	2	0.338	0.350	0.641	0.640	0.642	0.642	0.640	0.671	0.726	0.750	xx									
500MW	2	0.338	0.346	0.642	0.643	0.642	0.642	0.643	0.643	0.643	0.714	0.731	0.784	xxx							
600MW	2	0.343	0.445	0.541	0.643	0.643	0.645	0.644	0.643	0.643	0.685	0.715	0.751	xxx							
100MW	3	0.329	0.528	xxx																	
200MW	3	0.326	0.532	xxx																	
300MW	3	0.337	0.337	xxx																	
400MW	3	0.337	0.337	xxx																	
500MW	3	0.334	0.334	xxx																	
600MW	3	0.335	0.335	xxx	xx	xxx															

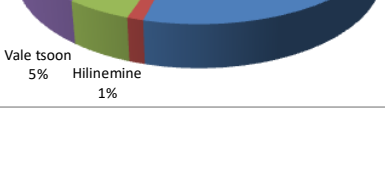
Siemens 7SL87 maalühised



Siemens 7SL87 faasidevahelised lühised



Toshiba GRL200 maalühised



LISA 20. Testitulemused liinil 3-4 LCC ja generaatoriga

Siemens 7SL87

Liinipikkus	0%	5%	10%	15%	20%	25%	30%	35%	40%	45%	50%	55%	60%	65%	70%	75%	80%	85%	90%	95%	100%		
Võimsus	L3-4	7SL87																					
100MW	1	0,025	0,025	0,027	0,028	0,024	0,024	0,026	0,023	0,030	0,030	0,026	0,031	0,025	0,033	0,027	0,063	0,325	0,324	0,330	0,332		
200MW	1	0,025	0,027	0,030	0,033	0,028	0,037	0,031	0,030	0,031	0,033	0,028	0,028	0,046	0,084	0,220	0,320	0,322	0,319				
300MW	1	0,025	0,026	0,026	0,032	0,028	0,026	0,046	0,030	0,051	0,033	0,022	0,026	0,031	0,031	0,078	0,089	0,221	0,316	0,330	0,324		
400MW	1	0,029	0,031	0,028	0,027	0,026	0,045	0,038	0,040	0,059	0,070	0,082	0,043	0,034	0,030	0,072	0,083	0,091	0,116	0,325	0,320		
500MW	1	0,030	0,024	0,021	0,024	0,057	0,066	0,066	0,071	0,065	0,069	0,074	0,062	0,057	0,071	0,074	0,097	0,248	0,319	0,324	0,319		
600MW	1	0,032	0,027	0,031	0,026	0,020	0,070	0,068	0,070	0,073	0,055	0,067	0,043	0,078	0,067	0,057	0,070	0,076	0,268	0,337	0,316	0,331	
100MW	1+1	0,049	0,043	0,044	0,035	0,042	0,031	0,047	0,041	0,047	0,034	0,048	0,047	0,044	0,042	0,046	0,055	0,063	0,240	0,333	0,346	0,346	
200MW	1+1	0,044	0,039	0,043	0,028	0,040	0,036	0,039	0,032	0,039	0,037	0,041	0,034	0,040	0,057	0,054	0,055	0,067	0,321	0,329	0,335	0,337	
300MW	1+1	0,038	0,028	0,045	0,037	0,036	0,036	0,033	0,035	0,043	0,043	0,039	0,043	0,042	0,043	0,043	0,054	0,075	0,298	0,333	0,332	0,335	
400MW	1+1	0,049	0,049	0,045	0,036	0,044	0,038	0,048	0,041	0,050	0,041	0,046	0,043	0,043	0,043	0,042	0,054	0,072	0,337	0,340	0,347		
500MW	1+1	0,049	0,044	0,049	0,041	0,047	0,056	0,037	0,035	0,040	0,038	0,034	0,040	0,037	0,048	0,056	0,061	0,073	0,235	0,341	0,331	0,338	
600MW	1+1	0,033	0,045	0,047	0,048	0,045	0,037	0,045	0,055	0,039	0,045	0,040	0,043	0,044	0,042	0,050	0,062	0,083	0,341	0,339	0,341		
100MW	2	0,033	0,050	0,032	0,037	0,028	0,049	0,047	0,055	0,061	0,069	0,065	0,065	0,075	0,090	0,092	0,099	0,105	0,325	0,325	0,322	0,328	
200MW	2	0,070	0,055	0,041	0,047	0,049	0,073	0,069	0,067	0,069	0,080	0,080	0,073	0,087	0,092	0,090	0,096	0,086	0,167	0,334	0,339	0,332	0,338
300MW	2	0,068	0,058	0,072	0,066	0,072	0,079	0,072	0,078	0,094	0,109	0,111	0,115	0,121	0,133	0,127	0,265	0,239	0,285	0,339	0,341	0,337	
400MW	2	0,072	0,064	0,066	0,069	0,069	0,072	0,073	0,093	0,089	0,086	0,114	0,108	0,113	0,194	0,246	0,231	0,337	0,347	0,349	0,341	0,345	
500MW	2	0,045	0,053	0,058	0,062	0,062	0,065	0,054	0,086	0,060	0,060	0,059	0,063	0,111	0,110	0,063	0,158	0,159	0,336	0,337	0,328	0,324	
600MW	2	0,041	0,021	0,071	0,057	0,061	0,063	0,079	0,067	0,085	0,077	0,061	0,162	0,076	0,159	0,089	0,173	0,172	0,326	0,329	0,327	0,321	
100MW	3	0,033	0,039	0,040	0,047	0,048	0,050	0,046	0,047	0,044	0,040	0,050	0,052	0,048	0,042	0,041	0,050	0,056	0,047	0,344	0,342	0,329	
200MW	3	0,040	0,047	0,042	0,051	0,050	0,046	0,042	0,059	0,045	0,045	0,055	0,054	0,053	0,055	0,053	0,057	0,054	0,055	0,341	0,347		
300MW	3	0,049	0,044	0,054	0,045	0,056	0,046	0,046	0,051	0,056	0,056	0,059	0,053	0,050	0,048	0,057	0,049	0,056	0,054	0,344	0,348	0,342	
400MW	3	0,030	0,050	0,040	0,045	0,050	0,058	0,059	0,056	0,053	0,050	0,048	0,048	0,057	0,049	0,044	0,052	0,048	0,043	0,052	0,149	0,343	0,352
500MW	3	0,029	0,038	0,050	0,047	0,057	0,058	0,049	0,040	0,050	0,046	0,048	0,049	0,052	0,047	0,043	0,044	0,053	0,044	0,060	0,341	0,339	0,339

Toshiba GRL200

Liinipikkus	0%	5%	10%	15%	20%	25%	30%	35%	40%	45%	50%	55%	60%	65%	70%	75%	80%	85%	90%	95%	100%	
Võimsus	L3-4	GRL200																				
100MW	1	0,043	0,045	0,046	0,049	0,044	0,041	0,045	0,041	0,048	0,048	0,050	0,043	0,051	0,050	0,053	0,089	0,083	0,084	0,353	0,355	
200MW	1	0,044	0,049	0,050	0,055	0,050	0,053	0,050	0,048	0,049	0,051	0,050	0,049	0,053	0,048	0,046	0,050	0,051	0,342	0,349	0,344	
300MW	1	0,044	0,048	0,046	0,053	0,049	0,043	0,051	0,043	0,055	0,050	0,053	0,045	0,049	0,052	0,051	0,050	0,051	0,346	0,344	0,349	
400MW	1	0,048	0,053	0,048	0,048	0,043	0,050	0,050	0,050	0,045	0,042	0,055	0,049	0,049	0,052	0,053	0,049	0,049	0,348	0,348	0,347	
500MW	1	0,049	0,046	0,042	0,046	0,051	0,051	0,044	0,046	0,048	0,049	0,055	0,042	0,049	0,045	0,042	0,045	0,050	0,350	0,346	0,345	
600MW	1	0,053	0,049	0,051	0,049	0,042	0,049	0,050	0,052	0,047	0,047	0,050	0,052	0,047	0,041	0,045	0,053	0,046	0,349	0,347		
100MW	1+1	0,057	0,053	0,060	0,053	0,046	0,042	0,051	0,050	0,057	0,041	0,052	0,051	0,044	0,049	0,046	0,046	0,054	0,052	0,052	0,085	
200MW	1+1	0,056	0,057	0,059	0,046	0,056	0,055	0,048	0,042	0,056	0,049	0,058	0,046	0,044	0,047	0,047	0,043	0,049	0,053	0,044	0,060	0,106
300MW	1+1	0,054	0,047	0,057	0,054	0,047	0,052	0,046	0,045	0,055	0,050	0,055	0,051	0,047	0,041	0,045	0,049	0,054	0,048	0,044	0,060	0,099
400MW	1+1	0,055	0,056	0,055	0,052	0,048	0,051	0,052	0,050	0,053	0,050	0,055	0,046	0,048	0,049	0,046	0,051	0,050	0,050	0,055	0,061	0,165
500MW	1+1	0,056	0,057	0,057	0,054	0,052	0,056	0,047	0,041	0,049	0,048	0,041	0,043	0,043	0,050	0,050	0,052	0,050	0,052	0,057	0,094	
600MW	1+1	0,054	0,054	0,060	0,053	0,052	0,043	0,051	0,055	0,044	0,047	0,047	0,040	0,049	0,047	0,047	0,048	0,051	0,052	0,049	0,059	0,142
100MW	2	0,052	0,048	0,058	0,061	0,055	0,053	0,050	0,052	0,050	0,057	0,051	0,048	0,053	0,051	0,048	0,056	0,050	0,055	0,049	0,061	0,062
200MW	2	0,052	0,056	0,053	0,058	0,052	0,060	0,050	0,051	0,063	0,051	0,052	0,047	0,051	0,054	0,058	0,051	0,050	0,052	0,051	0,062	0,107
300MW	2	0,054	0,049	0,057	0,053	0,049	0,050	0,048	0,052	0,055	0,056	0,051	0,056	0,054	0,053	0,053	0,054	0,056	0,063	0,062	0,054	
400MW	2	0,056	0,050	0,046	0,055	0,052	0,038	0,053	0,053	0,054	0,046	0,045	0,044	0,047	0,053	0,050	0,058	0,054	0,051	0,056	0,061	0,259
500MW	2	0,055	0,057	0,052	0,053	0,053	0,052	0,039	0,061	0,047	0,043	0,040	0,044	0,040	0,053	0,049	0,047	0,042	0,051	0,056	0,050	
600MW	2	0,046	0,038	0,052	0,039	0,044	0,044	0,042	0,044	0,045	0,051	0,043	0,044	0,044	0,042	0,043	0,048	0,044	0,053	0,048	0,048	0,123
100MW	3	0,046	0,046	0,042	0,048	0,047	0,053	0,047	0,046	0,042	0,050	0,053	0,047	0,046	0,043	0,045	0,051	0,053	0,048	0,051	0,050	0,047
200MW	3																					

LISA 21. Testitulemused liinil 4-5 LCC ja generaatoriga

Siemens 7SL87

Liinipikkus	0%	5%	10%	15%	20%	25%	30%	35%	40%	45%	50%	55%	60%	65%	70%	75%	80%	85%	90%	95%	100%
Võimsus	LS-4	7SL87																			
100MW	1	0,317	0,318	0,316	0,316	0,317	0,316	0,318	0,320	0,319	0,317	0,318	0,318	0,318	0,320	0,320	0,621	0,622	0,624	0,624	0,626
200MW	1	0,312	0,315	0,317	0,317	0,315	0,314	0,315	0,315	0,316	0,317	0,318	0,318	0,319	0,321	0,622	0,623	0,619	0,620	0,624	0,627
300MW	1	0,313	0,314	0,312	0,318	0,314	0,319	0,319	0,320	0,319	0,319	0,319	0,319	0,321	0,618	0,624	0,620	0,623	0,623	0,627	
400MW	1	0,314	0,315	0,313	0,318	0,316	0,319	0,316	0,317	0,319	0,321	0,319	0,319	0,315	0,316	0,320	0,619	0,619	0,621	0,621	0,628
500MW	1	0,315	0,316	0,314	0,314	0,317	0,315	0,317	0,316	0,316	0,317	0,315	0,316	0,316	0,321	0,320	0,619	0,620	0,622	0,622	0,624
600MW	1	0,316	0,317	0,315	0,315	0,318	0,316	0,315	0,319	0,317	0,318	0,316	0,317	0,317	0,319	0,620	0,621	0,624	0,623	0,616	0,625
100MW	1+1	0,324	0,318	0,319	0,318	0,318	0,319	0,317	0,319	0,320	0,320	0,319	0,322	0,320	0,318	0,625	0,624	0,626	0,634	0,636	
200MW	1+1	0,323	0,318	0,317	0,319	0,320	0,318	0,320	0,321	0,319	0,320	0,323	0,329	0,321	0,319	0,622	0,626	0,625	0,632	0,632	
300MW	1+1	0,324	0,318	0,318	0,318	0,321	0,318	0,321	0,318	0,320	0,320	0,320	0,319	0,320	0,321	0,317	0,625	0,626	0,632	0,636	
400MW	1+1	0,324	0,320	0,318	0,319	0,316	0,317	0,320	0,320	0,320	0,320	0,321	0,321	0,321	0,317	0,319	0,626	0,627	0,632	0,633	
500MW	1+1	0,323	0,321	0,319	0,319	0,317	0,320	0,319	0,318	0,319	0,320	0,320	0,321	0,321	0,322	0,318	0,620	0,625	0,627	0,632	0,634
600MW	1+1	0,326	0,317	0,320	0,320	0,320	0,321	0,318	0,319	0,318	0,319	0,321	0,325	0,322	0,317	0,319	0,628	0,623	0,635		
100MW	2	0,317	0,318	0,321	0,322	0,319	0,322	0,319	0,320	0,320	0,320	0,319	0,327	0,641	0,639	0,643	0,640	0,642	x	xxx	xxx
200MW	2	0,321	0,319	0,320	0,322	0,320	0,321	0,320	0,320	0,320	0,320	0,338	0,639	0,635	0,639	0,641	0,641	x	xxx	xxx	xxx
300MW	2	0,322	0,320	0,318	0,320	0,321	0,319	0,321	0,321	0,321	0,320	0,321	0,631	0,636	0,635	0,640	0,642	x	xxx	xxx	xxx
400MW	2	0,320	0,320	0,319	0,319	0,322	0,320	0,319	0,321	0,322	0,320	0,322	0,635	0,639	0,638	0,639	0,640	x	xxx	xxx	xxx
500MW	2	0,320	0,318	0,319	0,319	0,320	0,322	0,320	0,322	0,321	0,319	0,320	0,636	0,642	0,636	0,643	0,640	x	xxx	xxx	xxx
600MW	2	0,318	0,317	0,320	0,321	0,318	0,321	0,319	0,320	0,323	0,323	0,334	0,642	0,640	0,642	0,649	0,641	x	xxx	xxx	xxx
100MW	3	0,315	0,316	0,316	0,328	0,324	0,320	0,319	0,320	0,320	0,320	0,341	xx	x	xx	x	xx	xx	xx	xx	xx
200MW	3	0,316	0,317	0,317	0,324	0,320	0,319	0,320	0,320	0,320	0,320	0,329	xx	x	xx	x	xx	xx	xx	xx	xx
300MW	3	0,315	0,314	0,316	0,320	0,320	0,319	0,316	0,322	0,322	0,320	0,321	0,321	0,321	0,322	0,320	0,320	0,320	0,320	0,320	
400MW	3	0,320	0,314	0,319	0,314	0,320	0,322	0,321	0,322	0,321	0,321	0,340	xx	x	xx	x	xx	xx	xx	xx	xx
500MW	3	0,321	0,315	0,317	0,335	0,322	0,320	0,323	0,318	0,328	0,322	0,324	0,332	xx							
600MW	3	0,315	0,316	0,316	0,328	0,322	0,321	0,318	0,324	0,332	0,320	0,332	0,332	0,332	0,332	0,332	0,332	0,332	0,332	0,332	

Toshiba GRL200

Liinipikkus	0%	5%	10%	15%	20%	25%	30%	35%	40%	45%	50%	55%	60%	65%	70%	75%	80%	85%	90%	95%	100%
Võimsus	LS-4	GRL200																			
100MW	1	0,325	0,328	0,329	0,337	0,337	xx	xxx													
200MW	1	0,328	0,328	0,331	0,332	0,335	xxx														
300MW	1	0,326	0,333	0,327	0,339	0,335	xxx														
400MW	1	0,323	0,335	0,329	0,337	0,331	xxx														
500MW	1	0,326	0,327	0,341	0,332	0,332	xxx														
600MW	1	0,329	0,335	0,340	0,340	0,332	xxx														
100MW	1+1	0,107	0,328	0,334	0,340	0,338	0,355	0,350	0,347	0,354	0,374	0,382	0,337	0,366	0,357	0,348	x	xxx	xxx	xxx	xxx
200MW	1+1	0,098	0,338	0,334	0,347	0,332	0,367	0,366	0,372	0,342	0,351	0,379	0,349	0,375	0,377	x	x	xxx	xxx	xxx	xxx
300MW	1+1	0,068	0,329	0,329	0,348	0,343	0,363	0,375	0,360	0,377	0,369	0,372	0,370	0,352	0,359	0,339	xx	xxx	xxx	xxx	xxx
400MW	1+1	0,120	0,330	0,335	0,349	0,349	0,338	0,347	0,345	0,359	0,378	0,376	0,369	0,370	0,343	xx	x	xxx	xxx	xxx	xxx
500MW	1+1	0,074	0,338	0,342	0,347	0,342	0,372	0,340	0,363	0,365	0,364	0,362	0,360	0,348	0,374	x	x	xxx	xxx	xxx	xxx
600MW	1+1	0,069	0,338	0,330	0,346	0,334	0,375	0,353	0,336	0,343	0,357	0,372	0,354	0,366	0,366	0,356	0,354	0,366	0,354	0,354	
100MW	2	0,056	0,339	0,337	0,345	0,345	0,360	0,358	0,364	0,376	0,379	0,351	0,650	0,659	0,656	0,654	0,627	xxx	xxx	xxx	xxx
200MW	2	0,056	0,339	0,339	0,345	0,347	0,375	0,354	0,364	0,377	0,349	0,354	0,650	0,661	0,651	0,657	xx	xxx	xxx	xxx	xxx
300MW	2	0,064	0,336	0,334	0,343	0,337	0,354	0,352	0,375	0,349	0,352	0,342	0,643	0,654	0,650	0,645	0,622	xxx	xxx	xxx	xxx
400MW	2	0,056	0,342	0,349	0,342	0,346	0,362	0,348	0,367	0,350	0,382	0,370	0,649	0,654	0,657	0,641	0,625	xxx	xxx	xxx	xxx
500MW	2	0,137	0,343	0,332	0,344	0,349	0,348	0,371	0,351	0,368	0,356	0,364	0,647	0,656	0,644	0,625	xx	xxx	xxx	xxx	xxx
600MW	2	0,107	0,349	0,342	0,340	0,341	0,344	0,368	0,345	0,371	0,348	0,365	0,658	0,660	0,649	0,642	xx	xxx	xxx	xxx	xxx
100MW	3	0,042	0,339	0,333	0,339	0,336	0,345	0,337	0,341	0,356	0,372	0,367	0,643	0,653	0,644	0,644	0,755	xxx	xxx	xxx	xxx
200MW	3	0,042	0,337	0,338	0,332	0,337	0,336	0,358	0,376	0,364	0,377	0,372	0,654	0,645	0,642	0,762	0,743	xxx	xxx	xxx	xxx
300MW	3	0,042	0,336	0,337	0,332	0,336	0,336	0,368	0,362	0,343	0,361	0,358	0,637	0,654	0,648	0,653	0,759	xx	xxx	xxx	xxx
400MW	3	0,041	0,337	0,338	0,338	0,336	0,336	0,365	0,372	0,361	0,373	0,357	0,636	0,654	0,640	0,640	0,638	x	xxx	xxx	xxx
500MW	3	0,042	0,332	0,337	0,339	0,337	0,336	0,365	0,372	0,361	0,373	0,357	0,636	0,654	0,644	0,644	0,758	xx	xxx	xxx	xxx
600MW	3	0,041	0,332	0,343	0,333	0,336	0,338	0,353	0,349	0,340	0,356	0,356	0,638	0,645	0,644	0,644	0,758	xx	xxx	xxx	xxx

LISA 22. Testitulemused liinil 3-4 VSC ja generaatoriga

Siemens 7SL87

Liiinpikus	0%	5%	10%	15%	20%	25%	30%	35%	40%	45%	50%	55%	60%	65%	70%	75%	80%	85%	90%	95%	100%			
Võimsus	I3-4	7SL87																						
100MW	1	0,016	0,016	0,015	0,017	0,023	0,018	0,019	0,022	0,020	0,024	0,031	0,019	0,025	0,032	0,036	0,041	0,316	0,315	0,319	0,319			
200MW	1	0,017	0,017	0,017	0,017	0,020	0,021	0,021	0,022	0,022	0,022	0,022	0,022	0,023	0,028	0,032	0,036	0,040	0,223	0,223	0,313	0,314		
300MW	1	0,017	0,017	0,017	0,018	0,017	0,028	0,021	0,024	0,023	0,023	0,022	0,022	0,023	0,028	0,033	0,035	0,134	0,222	0,313	0,313	0,313		
400MW	1	0,017	0,018	0,018	0,017	0,017	0,028	0,028	0,029	0,028	0,025	0,023	0,023	0,028	0,028	0,032	0,042	0,130	0,313	0,313	0,314	0,314		
500MW	1	0,018	0,018	0,016	0,018	0,023	0,037	0,027	0,037	0,028	0,019	0,019	0,023	0,036	0,037	0,039	0,050	0,314	0,314	0,313	0,315	0,315		
600MW	1	0,016	0,017	0,016	0,016	0,015	0,018	0,017	0,019	0,019	0,017	0,017	0,017	0,020	0,028	0,078	0,079	0,108	0,315	0,315	0,316	0,316		
100MW	1+1	0,016	0,017	0,039	0,041	0,032	0,044	0,035	0,042	0,042	0,047	0,047	0,046	0,035	0,038	0,047	0,049	0,050	0,056	0,342	0,335	0,334	0,336	
200MW	1+1	0,037	0,027	0,042	0,036	0,042	0,042	0,048	0,042	0,042	0,047	0,047	0,047	0,047	0,050	0,051	0,057	0,343	0,339	0,328	0,337	0,337		
300MW	1+1	0,024	0,017	0,038	0,033	0,042	0,047	0,044	0,044	0,047	0,047	0,047	0,048	0,048	0,048	0,050	0,051	0,059	0,340	0,329	0,334	0,340		
400MW	1+1	0,358	0,017	0,039	0,030	0,044	0,044	0,045	0,039	0,044	0,043	0,043	0,043	0,048	0,051	0,051	0,051	0,276	0,340	0,339	0,337	0,337		
500MW	1+1	0,042	0,017	0,035	0,041	0,040	0,038	0,042	0,040	0,041	0,041	0,041	0,040	0,042	0,042	0,040	0,060	0,276	0,334	0,333	0,332	0,332		
600MW	1+1	0,024	0,017	0,025	0,031	0,034	0,040	0,049	0,038	0,045	0,041	0,041	0,041	0,039	0,045	0,041	0,041	0,060	0,263	0,321	0,322	0,327		
100MW	2	0,016	0,044	0,045	0,046	0,052	0,053	0,053	0,052	0,053	0,051	0,152	0,182	0,216	0,240	0,251	0,270	0,246	0,261	0,298	0,308	0,320	0,319	0,316
200MW	2	0,016	0,044	0,045	0,049	0,051	0,062	0,062	0,059	0,062	0,103	0,138	0,176	0,222	0,229	0,251	0,268	0,259	0,263	0,284	0,297	0,316	0,320	0,317
300MW	2	0,016	0,044	0,049	0,047	0,051	0,076	0,105	0,151	0,176	0,238	0,252	0,266	0,278	0,260	0,278	0,281	0,297	0,315	0,317	0,316	0,318	0,318	
400MW	2	0,016	0,046	0,049	0,050	0,052	0,062	0,109	0,147	0,182	0,226	0,232	0,245	0,258	0,252	0,270	0,286	0,223	0,316	0,318	0,317	0,318	0,318	
500MW	2	0,034	0,047	0,048	0,047	0,054	0,054	0,102	0,143	0,180	0,206	0,233	0,241	0,244	0,256	0,255	0,272	0,296	0,319	0,319	0,318	0,320	0,320	
600MW	2	0,025	0,035	0,047	0,047	0,050	0,054	0,073	0,068	0,129	0,144	0,183	0,174	0,204	0,197	0,247	0,259	0,320	0,320	0,319	0,316	0,316		
100MW	3	0,285	0,035	0,038	0,038	0,040	0,039	0,046	0,065	0,143	0,156	0,235	0,226	0,245	0,261	0,282	0,302	0,320	0,320	0,324	0,321	0,321	0,321	
200MW	3	0,015	0,036	0,036	0,041	0,040	0,044	0,047	0,047	0,046	0,106	0,187	0,151	0,252	0,263	0,264	0,287	0,279	0,304	0,299	0,321	0,323	0,317	
300MW	3	0,015	0,037	0,038	0,040	0,041	0,042	0,047	0,086	0,183	0,226	0,234	0,255	0,257	0,255	0,264	0,282	0,304	0,322	0,331	0,316	0,318	0,318	
400MW	3	0,015	0,037	0,042	0,045	0,050	0,044	0,042	0,082	0,158	0,218	0,242	0,248	0,177	0,240	0,266	0,266	0,300	0,318	0,325	0,317	0,319	0,319	
500MW	3	0,015	0,039	0,042	0,045	0,045	0,046	0,066	0,137	0,166	0,216	0,160	0,248	0,241	0,250	0,261	0,261	0,282	0,324	0,319	0,318	0,320	0,319	
600MW	3	0,010	0,044	0,047	0,046	0,046	0,041	0,061	0,074	0,042	0,107	0,190	0,217	0,182	0,213	0,164	0,235	0,278	0,320	0,320	0,319	0,319	0,322	

Toshiba GRL200

Liiinpikus	0%	5%	10%	15%	20%	25%	30%	35%	40%	45%	50%	55%	60%	65%	70%	75%	80%	85%	90%	95%	100%	
Võimsus	I3-4	GRL200																				
100MW	1	0,033	0,038	0,032	0,038	0,039	0,039	0,039	0,039	0,039	0,040	0,039	0,039	0,033	0,034	0,039	0,040	0,045	0,138	0,040	0,333	0,338
200MW	1	0,038	0,038	0,038	0,039	0,039	0,040	0,038	0,042	0,042	0,042	0,047	0,048	0,039	0,138	0,139	0,146	0,142	0,340	0,340	0,340	0,340
300MW	1	0,039	0,038	0,038	0,039	0,039	0,039	0,038	0,038	0,038	0,038	0,040	0,040	0,038	0,140	0,139	0,147	0,148	0,244	0,242	0,340	0,340
400MW	1	0,039	0,038	0,037	0,039	0,039	0,039	0,038	0,038	0,039	0,039	0,039	0,039	0,038	0,139	0,146	0,147	0,239	0,142	0,240	0,340	0,340
500MW	1	0,039	0,038	0,038	0,037	0,039	0,037	0,039	0,040	0,039	0,038	0,038	0,038	0,038	0,138	0,153	0,141	0,145	0,140	0,240	0,239	0,340
600MW	1	0,039	0,039	0,037	0,037	0,040	0,039	0,039	0,038	0,038	0,038	0,039	0,039	0,038	0,038	0,038	0,040	0,139	0,337	0,340	0,340	0,340
100MW	1+1	0,037	0,037	0,035	0,035	0,034	0,034	0,036	0,035	0,035	0,036	0,035	0,035	0,035	0,035	0,035	0,035	0,035	0,035	0,035	0,035	0,043
200MW	1+1	0,037	0,036	0,035	0,035	0,034	0,034	0,035	0,035	0,036	0,036	0,035	0,035	0,036	0,036	0,034	0,035	0,035	0,035	0,035	0,035	0,045
300MW	1+1	0,036	0,036	0,035	0,035	0,034	0,034	0,035	0,035	0,036	0,036	0,035	0,035	0,036	0,036	0,034	0,035	0,035	0,035	0,035	0,035	0,039
400MW	1+1	0,035	0,037	0,035	0,036	0,035	0,035	0,034	0,037	0,036	0,035	0,036	0,036	0,036	0,036	0,034	0,035	0,037	0,036	0,035	0,035	0,040
500MW	1+1	0,037	0,034	0,035	0,036	0,035	0,035	0,034	0,035	0,034	0,035	0,033	0,033	0,033	0,033	0,034	0,034	0,035	0,035	0,035	0,035	0,040
600MW	1+1	0,036	0,034	0,036	0,036	0,036	0,033	0,034	0,034	0,034	0,034	0,034	0,034	0,034	0,034	0,035	0,035	0,035	0,035	0,035	0,035	0,041
100MW	2	0,037	0,036	0,035	0,034	0,034	0,034	0,036	0,035	0,036	0,035	0,036	0,035	0,035	0,035	0,034	0,036	0,035	0,035	0,035	0,035	0,045
200MW	2	0,037	0,037	0,035	0,035	0,034	0,034	0,036	0,035	0,036	0,035	0,035	0,035	0,035	0,035	0,034	0,035	0,035	0,035	0,035	0,035	0,047
300MW	2	0,036	0,037	0,035	0,035	0,034	0,034	0,034	0,035	0,036	0,035	0,036	0,035	0,035	0,035	0,034	0,035	0,035	0,035	0,035	0,035	0,042
400MW	2	0,034	0,036	0,036	0,035	0,034	0,034	0,033	0,036	0,036	0,036	0,035	0,036	0,035	0,036	0,034	0,035	0,035	0,035	0,035	0,035	0,045
500MW	2	0,036	0,034	0,033	0,033	0,034	0,035	0,034	0,033	0,033	0,033	0,033	0,033	0,033	0,033	0,033	0,035	0,035	0,035	0,035	0,	

LISA 23. Testitulemused liinil 4-5 VSC ja generaatoriga

Siemens 7SL87

Liiiniklus	0%	5%	10%	15%	20%	25%	30%	35%	40%	45%	50%	55%	60%	65%	70%	75%	80%	85%	90%	95%	100%	
Võimsus L4-5	7SL87																					
100MW 1	0,314	0,312	0,494	0,318	0,317	0,317	0,318	0,317	0,319	0,317	0,316	0,318	0,318	0,317	0,318	0,318	0,318	0,317	0,316	0,316	0,316	
200MW 1	0,315	0,313	0,312	0,315	0,316	0,318	0,318	0,315	0,317	0,317	0,319	0,318	0,318	0,319	0,318	0,319	0,319	0,319	0,317	0,321	0,321	
300MW 1	0,316	0,314	0,313	0,315	0,313	0,319	0,319	0,316	0,318	0,317	0,319	0,318	0,318	0,319	0,318	0,319	0,319	0,319	0,317	0,320	0,320	
400MW 1	0,313	0,315	0,522	0,316	0,312	0,314	0,318	0,317	0,319	0,319	0,325	0,361	0,316	0,332	0,316	0,319	0,318	0,320	0,317	0,318	0,322	
500MW 1	0,313	0,314	0,313	0,315	0,315	0,316	0,316	0,316	0,318	0,319	0,333	0,315	0,316	0,318	0,319	0,318	0,320	0,317	0,318	0,333	0,409	
600MW 1	0,314	0,312	0,311	0,314	0,315	0,317	0,316	0,314	0,316	0,316	0,318	0,316	0,318	0,319	0,318	0,317	0,318	0,320	0,325	0,427	0,316	
100MW 1+1	0,341	0,340	0,336	0,339	0,335	0,340	0,324	0,334	0,322	0,319	0,323	0,320	0,321	0,323	0,326	0,342	0,405	0,377	0,415	0,416	0,409	
200MW 1+1	0,335	0,340	0,337	0,333	0,331	0,335	0,333	0,327	0,330	0,353	0,322	0,322	0,322	0,323	0,334	0,331	0,334	0,378	0,407	0,394	0,384	
300MW 1+1	0,338	0,337	0,338	0,336	0,333	0,334	0,336	0,333	0,339	0,328	0,322	0,329	0,335	0,331	0,337	0,338	0,377	0,391	0,376	0,392	0,397	
400MW 1+1	0,342	0,340	0,334	0,335	0,333	0,342	0,340	0,332	0,330	0,331	0,331	0,334	0,331	0,341	0,339	0,322	0,368	0,380	0,382	0,355	0,424	
500MW 1+1	0,333	0,331	0,330	0,328	0,334	0,338	0,341	0,333	0,336	0,333	0,337	0,331	0,337	0,326	0,318	0,356	0,371	0,382	0,437	0,384	0,437	
600MW 1+1	0,327	0,332	0,331	0,327	0,328	0,337	0,329	0,334	0,327	0,326	0,340	0,316	0,333	0,343	0,325	0,350	0,358	0,481	0,368	0,376	0,376	
100MW 2	0,319	0,318	0,317	0,326	0,320	0,324	0,315	0,318	0,327	0,328	0,337	0,330	0,340	0,347	0,353	0,386	xxx	xx	0,463	0,441		
200MW 2	0,320	0,318	0,318	0,320	0,321	0,331	0,323	0,327	0,333	0,329	0,334	0,331	0,346	0,347	0,366	xx	0,581	xx	0,557	xx		
300MW 2	0,316	0,319	0,319	0,321	0,317	0,332	0,318	0,317	0,332	0,330	0,342	0,337	0,345	0,351	0,359	x	xx	0,571	xxx	xxx		
400MW 2	0,317	0,320	0,320	0,317	0,318	0,333	0,316	0,332	0,344	0,341	0,343	0,341	0,343	0,352	xx	xx	xx	xx	xx	xx		
500MW 2	0,318	0,317	0,321	0,318	0,319	0,334	0,324	0,332	0,336	0,342	0,347	0,346	0,347	0,365	0,366	xx	xx	xx	xx	xx		
600MW 2	0,319	0,317	0,315	0,336	0,340	0,330	0,315	0,329	0,330	0,342	0,334	0,342	0,353	x	xx	xx	xx	xx	xx			
100MW 3	0,330	0,318	xx	xx	x	xx	xx	x	x	x	x	0,338	0,339	0,348	0,346	0,365	0,352	x	0,353	xx	xx	
200MW 3	0,334	0,319	0,358	x	x	xx	xx	xx	xx	xx	xx	0,378	0,337	0,338	0,341	0,340	0,343	0,350	0,349	xx	xx	
300MW 3	0,316	0,327	0,447	x	xx	0,410	0,447	0,337	0,342	0,341	0,337	0,345	0,348	0,350	xx	xx						
400MW 3	0,318	0,324	x	xx	0,445	0,387	0,338	0,337	0,343	0,344	0,343	x	xx	xx	xx							
500MW 3	0,325	0,332	x	xx	0,372	0,341	0,332	0,342	0,337	0,339	0,335	0,345	0,340	xx	xx							
600MW 3	0,319	0,326	x	xx	0,401	0,325	0,343	0,335	0,334	0,340	0,340	0,338	xx	xx	xx							

Toshiba GRL200

Liiiniklus	0%	5%	10%	15%	20%	25%	30%	35%	40%	45%	50%	55%	60%	65%	70%	75%	80%	85%	90%	95%	100%	
Võimsus L4-5	GRL200	GRL200	GRL200	GRL200	GRL200	GRL200	GRL200															
100MW 1	0,333	0,338	0,355	0,382	x	xx	xx	x	xx	xx	xxx	xx	xx	xx	xx	xx	xx	xx	xx	xx	xx	
200MW 1	0,337	0,340	0,340	0,394	x	xx	xx	xx	xx	xx	xx	xx										
300MW 1	0,338	0,338	0,340	x	xx	xx	xx	xx	xx	xx	xx											
400MW 1	0,338	0,339	0,340	x	x	xx	xx	xx	xx	xx	xx	xx										
500MW 1	0,338	0,338	0,340	x	x	xx	xx	xx	xx	xx	xx	xx										
600MW 1	0,338	0,338	0,341	x	x	xx	xx	xx	xx	xx	xx	xx										
100MW 1+1	0,182	0,339	0,338	xx	xx	xx	xx	x	x	x	x	0,334	0,599	0,612	0,354	0,362	0,356	0,362	0,639	0,678	xx	xx
200MW 1+1	0,185	0,340	0,353	0,345	xx	xx	xx	x	xx	x	xx	0,351	0,376	0,355	0,357	0,372	0,642	x	xx	xx	xx	xx
300MW 1+1	0,192	0,338	0,337	xx	xx	xx	x	x	0,666	x	0,641	0,340	0,361	0,367	0,375	0,339	0,619	x	0,646	0,675	xx	xx
400MW 1+1	0,186	0,338	0,337	xx	x	xx	x	x	0,340	x	0,351	0,362	0,362	0,357	0,551	0,624	0,669	0,640	0,648	xx	xx	
500MW 1+1	0,173	0,337	0,337	xx	xx	xx	xx	xx	0,355	x	0,439	0,331	0,340	0,392	x	0,335	0,361	0,645	0,650	0,639	xx	xx
600MW 1+1	0,169	0,337	0,334	xx	x	xx	xx	xx	0,310	0,323	0,337	0,321	0,392	0,366	0,655	x	0,478	0,640	xx	xx	xx	
100MW 2	0,192	0,339	0,342	x	x	0,355	0,338	x	0,391	0,349	0,691	x	0,501	0,372	0,410	0,391	x	xx	xx	xx	xx	xx
200MW 2	0,175	0,339	0,338	0,345	xx	xx	x	xx	0,369	0,713	0,355	0,502	x	0,398	0,355	x	0,633	0,337	x	xx	xx	xx
300MW 2	0,215	0,341	0,338	x	xx	xx	xx	xx	0,341	0,402	0,354	0,630	x	0,363	0,338	x	0,349	0,666	0,650	x	xx	xx
400MW 2	0,209	0,334	0,339	0,336	0,334	0,482	0,501	0,392	0,334	0,357	x	0,667	0,390	0,344	0,336	0,302	0,647	0,638	xx	xx	xx	xx
500MW 2	0,199	0,339	0,338	0,339	0,604	0,382	0,341	0,355	0,335	0,622	0,358	0,371	0,330	0,356	0,394	0,354	0,640	x	xx	xx	xx	xx
600MW 2	0,178	0,337	0,335	0,339	0,196	0,495	0,359	0,362	0,337	0,353	0,475	0,335	0,365	0,512	0,333	0,487	x	xx	xx	xx	xx	xx
100MW 3	0,049	0,340	0,340	0,571	0,373	0,340	0,333	0,374	0,333	0,334	0,338	0,392	0,506	0,337	0,370	0,704	0,638	0,637	0,638	0,645	xx	
200MW 3	0,083	0,339	0,336	0,340	0,365	0,328	0,370	0,640	0,367	0,695	0,639	0,491	0,333	0,573	0,538	0,375	0,637	0,642	x	xx	xx	
300MW 3	0,166	0,338	0,339	0,411	0,364	0,490	0,337	0,337	0,350	0,357	0,376	0,350	0,395	0,368	0,332	0,502	x	xx	xx	xx	xx	
400MW 3	0,170	0,339	0,340	0,332	0,335	0,643	0,495	0,444	0,424	0,561	0,337	0,658	0,350	0,577	0,331	0,333	0,639	x	xx	xx	xx	
500MW 3	0,174	0,338	0,340	0,360	0,347	0,350	0,702	0,337	0,343	0,334	0,335	0,332	0,374	0,651	0,508	0,573	0,641	0,644	xx	xx	xx	
600MW 3	0,174	0,338	0,338	0,340	0,340	0,339	0,513	0,447	0,638	0,604	0,677	0,522	0,782	0,336	0,343</							

LISA 24. TT-d liinil 3-4 VSC LVRT-ga ja generaatoriga

Siemens 7SL87

Liinipikkus	0%	5%	10%	15%	20%	25%	30%	35%	40%	45%	50%	55%	60%	65%	70%	75%	80%	85%	90%	95%	100%	
Võimsus	I3-4	7SL87																				
100MW	1	0,015	0,297	0,018	0,016	0,017	0,019	0,019	0,020	0,022	0,019	0,020	0,021	0,022	0,023	0,026	0,028	0,029	0,036	0,345	0,311	
200MW	1	0,017	0,017	0,017	0,018	0,016	0,017	0,018	0,019	0,018	0,019	0,020	0,021	0,022	0,026	0,029	0,043	0,314	0,313	0,313	0,313	
300MW	1	0,017	0,017	0,018	0,018	0,017	0,020	0,018	0,025	0,027	0,035	0,037	0,019	0,021	0,022	0,027	0,023	0,043	0,310	0,313	0,310	
400MW	1	0,017	0,017	0,017	0,017	0,017	0,019	0,018	0,019	0,019	0,018	0,020	0,020	0,024	0,027	0,034	0,133	0,312	0,312	0,312	0,312	
500MW	1	0,015	0,015	0,017	0,016	0,017	0,017	0,018	0,018	0,020	0,027	0,019	0,021	0,022	0,025	0,035	0,315	0,316	0,253	0,253	0,312	
600MW	1	0,016	0,016	0,015	0,015	0,021	0,016	0,020	0,018	0,017	0,018	0,019	0,019	0,020	0,022	0,041	0,034	0,275	0,314	0,316	0,314	
100MW	1+1	0,016	0,018	0,017	0,023	0,020	0,024	0,020	0,026	0,028	0,037	0,031	0,021	0,032	0,039	0,037	0,036	0,258	0,346	0,324	0,369	
200MW	1+1	0,015	0,017	0,020	0,028	0,017	0,030	0,018	0,033	0,024	0,027	0,031	0,022	0,031	0,031	0,037	0,033	0,045	0,319	0,319	0,319	
300MW	1+1	0,016	0,017	0,019	0,023	0,017	0,024	0,018	0,024	0,048	0,053	0,029	0,026	0,028	0,030	0,035	0,034	0,038	0,047	0,320	0,321	
400MW	1+1	0,044	0,017	0,022	0,017	0,017	0,024	0,019	0,027	0,021	0,024	0,028	0,024	0,029	0,033	0,034	0,040	0,046	0,504	0,318	0,318	
500MW	1+1	0,017	0,016	0,017	0,025	0,020	0,022	0,028	0,042	0,050	0,027	0,029	0,032	0,028	0,033	0,034	0,036	0,045	0,318	0,319	0,344	
600MW	1+1	0,016	0,017	0,023	0,022	0,017	0,028	0,025	0,023	0,021	0,025	0,021	0,030	0,026	0,051	0,034	0,035	0,047	0,318	0,319	0,319	
100MW	2	0,015	0,020	0,037	0,040	0,046	0,042	0,046	0,045	0,047	0,042	0,045	0,048	0,046	0,047	0,048	0,047	0,047	0,322	0,321	0,319	
200MW	2	0,015	0,019	0,037	0,037	0,039	0,037	0,041	0,045	0,047	0,041	0,047	0,047	0,047	0,047	0,047	0,047	0,056	0,320	0,317	0,317	
300MW	2	0,015	0,019	0,019	0,037	0,040	0,039	0,041	0,042	0,047	0,042	0,041	0,047	0,042	0,046	0,044	0,046	0,047	0,142	0,320	0,318	
400MW	2	0,015	0,025	0,020	0,038	0,039	0,039	0,041	0,040	0,042	0,042	0,043	0,044	0,042	0,047	0,047	0,047	0,235	0,319	0,319	0,317	
500MW	2	0,015	0,025	0,026	0,038	0,039	0,038	0,041	0,040	0,041	0,042	0,043	0,044	0,044	0,045	0,043	0,046	0,231	0,319	0,319	0,320	
600MW	2	0,015	0,025	0,025	0,038	0,038	0,041	0,040	0,041	0,042	0,043	0,044	0,044	0,044	0,045	0,043	0,046	0,231	0,319	0,318	0,320	
100MW	3	0,016	0,035	0,034	0,025	0,036	0,037	0,036	0,036	0,037	0,063	0,038	0,039	0,038	0,037	0,043	0,038	0,048	0,052	0,324	0,326	0,476
200MW	3	0,016	0,035	0,028	0,024	0,036	0,036	0,037	0,036	0,037	0,037	0,038	0,035	0,037	0,036	0,040	0,038	0,047	0,327	0,316	0,330	
300MW	3	0,016	0,030	0,021	0,035	0,037	0,037	0,038	0,037	0,038	0,039	0,040	0,041	0,040	0,042	0,045	0,047	0,048	0,246	0,325	0,327	0,331
400MW	3	0,016	0,035	0,027	0,036	0,037	0,035	0,036	0,037	0,037	0,036	0,038	0,037	0,036	0,037	0,037	0,038	0,049	0,328	0,329	0,328	
500MW	3	0,016	0,034	0,020	0,037	0,037	0,036	0,037	0,042	0,036	0,037	0,035	0,039	0,036	0,035	0,036	0,038	0,055	0,322	0,327	0,472	
600MW	3	0,016	0,034	0,025	0,037	0,037	0,036	0,036	0,036	0,037	0,039	0,039	0,039	0,038	0,036	0,037	0,038	0,508	0,844	0,660	0,830	

Toshiba GRL200

Liinipikkus	0%	5%	10%	15%	20%	25%	30%	35%	40%	45%	50%	55%	60%	65%	70%	75%	80%	85%	90%	95%	100%
Võimsus	I3-4	GRL200																			
100MW	1	0,035	0,027	0,038	0,033	0,035	0,034	0,035	0,035	0,030	0,034	0,030	0,035	0,033	0,042	0,039	0,034	0,140	0,228	0,240	0,329
200MW	1	0,038	0,037	0,037	0,037	0,038	0,038	0,040	0,038	0,039	0,065	0,040	0,040	0,038	0,138	0,038	0,037	0,237	0,338	0,338	0,338
300MW	1	0,038	0,038	0,037	0,037	0,038	0,037	0,033	0,030	0,033	0,030	0,030	0,031	0,040	0,039	0,037	0,037	0,337	0,338	0,338	0,338
400MW	1	0,039	0,037	0,035	0,039	0,039	0,037	0,038	0,039	0,029	0,039	0,029	0,036	0,036	0,038	0,039	0,037	0,239	0,234	0,238	0,139
500MW	1	0,133	0,138	0,088	0,139	0,090	0,090	0,135	0,235	0,135	0,040	0,034	0,130	0,239	0,139	0,134	0,040	0,238	0,235	0,366	0,339
600MW	1	0,034	0,038	0,037	0,038	0,039	0,038	0,037	0,031	0,031	0,030	0,031	0,030	0,034	0,039	0,039	0,039	0,219	0,139	0,339	0,338
100MW	1+1	0,036	0,035	0,034	0,035	0,034	0,035	0,033	0,034	0,034	0,030	0,035	0,035	0,032	0,033	0,032	0,035	0,034	0,039	0,041	0,051
200MW	1+1	0,037	0,036	0,036	0,034	0,036	0,036	0,035	0,034	0,034	0,035	0,034	0,034	0,033	0,036	0,036	0,035	0,038	0,040	0,040	0,044
300MW	1+1	0,034	0,035	0,036	0,034	0,032	0,036	0,033	0,033	0,033	0,033	0,034	0,033	0,032	0,031	0,034	0,036	0,035	0,041	0,045	0,045
400MW	1+1	0,035	0,035	0,036	0,034	0,032	0,035	0,035	0,036	0,031	0,033	0,034	0,033	0,033	0,035	0,035	0,035	0,041	0,040	0,046	0,046
500MW	1+1	0,035	0,035	0,035	0,032	0,034	0,035	0,032	0,034	0,036	0,035	0,035	0,035	0,032	0,034	0,033	0,034	0,035	0,041	0,043	0,043
600MW	1+1	0,034	0,036	0,036	0,032	0,033	0,034	0,034	0,036	0,036	0,035	0,035	0,035	0,034	0,034	0,034	0,035	0,036	0,041	0,043	0,042
100MW	2	0,036	0,035	0,036	0,035	0,035	0,036	0,035	0,036	0,034	0,034	0,035	0,034	0,034	0,034	0,035	0,036	0,036	0,035	0,041	0,051
200MW	2	0,037	0,035	0,035	0,036	0,035	0,035	0,035	0,036	0,034	0,035	0,035	0,034	0,034	0,035	0,035	0,036	0,036	0,035	0,040	0,044
300MW	2	0,034	0,035	0,034	0,034	0,034	0,036	0,035	0,034	0,034	0,035	0,034	0,034	0,035	0,035	0,035	0,036	0,036	0,038	0,041	0,041
400MW	2	0,035	0,036	0,035	0,034	0,034	0,035	0,035	0,035	0,035	0,035	0,035	0,034	0,036	0,036	0,035	0,035	0,036	0,038	0,042	0,046
500MW	2	0,035	0,035	0,036	0,034	0,032	0,033	0,034	0,034	0,033	0,032	0,030	0,033	0,032	0,031	0,032	0,033	0,035	0,036	0,041	0,044
600MW	2	0,035	0,035	0,035	0,034	0,033	0,034	0,034	0,035	0,031	0,033	0,032	0,033	0,032	0,031	0,032	0,033	0,034	0,035	0,041	0,043
100MW	3	0,033	0,035	0,035	0,034	0,034	0,034	0,034	0,030	0,034	0,033	0,034	0,034	0,034	0,031	0,033	0,034	0,035	0,036	0,040	0,041
200MW	3	0,033	0,035	0,034	0,033																

LISA 25. TT-d liinil 4-5 VSC LVRT-ga ja generaatoriga

Siemens 7SL87

Lüinikkus	0%	5%	10%	15%	20%	25%	30%	35%	40%	45%	50%	55%	60%	65%	70%	75%	80%	85%	90%	95%	100%	
Võimsus	I4-5	7SL87																				
100MW	1	0,313	0,312	0,312	0,313	0,314	0,313	0,315	0,317	0,317	0,317	0,317	0,317	0,317	0,317	0,316	0,316	0,329	0,571	0,274	0,522	
200MW	1	0,314	0,312	0,312	0,314	0,314	0,315	0,317	0,317	0,315	0,318	0,318	0,318	0,318	0,317	0,316	0,316	0,443	0,443	0,370	0,523	
300MW	1	0,313	0,313	0,313	0,315	0,315	0,313	0,318	0,318	0,316	0,318	0,318	0,318	0,317	0,317	0,316	0,316	0,413	0,435	0,495	0,523	
400MW	1	0,314	0,314	0,314	0,314	0,316	0,317	0,316	0,313	0,316	0,320	0,319	0,319	0,317	0,317	0,320	0,319	0,407	0,325	0,321	0,420	
500MW	1	0,313	0,314	0,314	0,315	0,316	0,316	0,317	0,317	0,316	0,316	0,319	0,319	0,317	0,317	0,319	0,318	0,326	0,345	0,321	0,330	
600MW	1	0,315	0,446	0,316	0,315	0,318	0,316	0,316	0,316	0,316	0,317	0,317	0,318	0,318	0,318	0,318	0,316	0,344	0,319	0,521	0,463	
100MW	1+1	0,319	0,320	0,318	0,315	0,315	0,318	0,318	0,319	0,319	0,317	0,314	0,314	0,317	0,324	0,324	0,326	0,464	0,451	0,434	0,435	
200MW	1+1	0,316	0,317	0,317	0,319	0,315	0,320	0,322	0,317	0,321	0,319	0,323	0,319	0,325	0,327	0,325	0,354	0,381	0,387	0,408		
300MW	1+1	0,319	0,315	0,318	0,345	0,344	0,319	0,323	0,318	0,322	0,318	0,322	0,319	0,327	0,389	0,323	0,328	0,329	0,342	0,345		
400MW	1+1	0,369	0,316	0,318	0,324	0,323	0,317	0,344	0,318	0,321	0,416	0,319	0,317	0,230	0,358	0,323	0,324	0,426	0,329	0,427	0,334	
500MW	1+1	0,319	0,322	0,320	0,323	0,316	0,317	0,321	0,319	0,340	0,322	0,371	0,321	0,347	0,540	0,350	0,325	0,366	0,350	0,598	0,809	
600MW	1+1	0,320	0,392	0,343	0,318	0,626	0,317	0,367	0,320	0,345	0,319	0,318	0,388	0,318	0,510	0,321	0,345	0,327	0,491	0,684	0,957	
100MW	2	0,320	0,322	0,316	0,318	0,314	0,317	0,316	0,314	0,448	0,322	0,339	0,326	0,326	0,322	0,329	0,331	0,333	0,387	0,591	0,472	
200MW	2	0,319	0,321	0,314	0,321	0,315	0,315	0,319	0,316	0,320	0,323	0,319	0,324	0,321	0,323	0,326	0,407	0,335	0,436	0,628	0,573	
300MW	2	0,320	0,321	0,315	0,323	0,316	0,335	0,320	0,321	0,319	0,320	0,323	0,380	0,322	0,365	0,451	0,425	0,440	0,532	0,673	0,716	
400MW	2	0,316	0,320	0,244	0,227	0,323	0,321	0,321	0,320	0,440	0,322	0,320	0,324	0,328	0,421	0,375	0,430	0,530	0,433	0,459	0,710	
500MW	2	0,319	0,319	0,318	0,318	0,319	0,324	0,319	0,321	0,321	0,534	0,321	0,365	0,384	0,572	0,415	x	0,430	0,438	x	0,619	
600MW	2	0,320	0,317	0,317	0,318	0,319	0,323	0,321	0,320	0,319	0,322	0,322	0,320	0,326	0,637	0,331	0,498	0,436	0,479	xx	1,373	
100MW	3	0,330	0,317	0,332	0,323	0,325	0,317	0,316	0,547	0,317	0,322	0,321	0,319	0,321	0,323	0,325	0,359	0,333	0,334	0,327	0,380	
200MW	3	0,331	0,323	0,328	0,319	0,320	0,320	0,323	0,317	0,526	0,320	0,725	0,916	x	xx	x	x	xx	xxx	xx	xx	
300MW	3	0,323	0,322	0,550	0,328	0,546	0,727	0,556	0,316	0,512	0,667	x	0,321	0,635	x	0,839	0,371	0,517	0,478	xx	x	0,459
400MW	3	0,492	0,325	0,324	0,326	0,319	0,319	0,530	0,317	0,318	0,321	x	0,342	x	0,342	x	0,687	0,371	0,418	x	xx	
500MW	3	0,424	0,336	0,333	0,316	0,517	0,523	0,329	0,512	0,319	0,391	x	0,504	x	0,552	0,575	x	x	xx	xx	xx	
600MW	3	0,661	0,662	0,325	0,325	0,839	0,324	0,323	0,845	0,500	0,317	0,508	0,661	0,661	0,719	0,902	0,661	x	xx	xx	xx	

Toshiba GRL200

Lüinikkus	0%	5%	10%	15%	20%	25%	30%	35%	40%	45%	50%	55%	60%	65%	70%	75%	80%	85%	90%	95%	100%	
Võimsus	I4-5	GRL200																				
100MW	1	0,339	0,335	0,339	0,312	x	xx	xx	xxx	xx												
200MW	1	0,338	0,340	0,338	0,500	0,341	xx	xx	xxx	xx												
300MW	1	0,338	0,340	0,339	0,498	x	xx	xx	xxx	xx												
400MW	1	0,341	0,338	0,329	0,303	xx																
500MW	1	0,339	0,341	0,337	0,338	0,337	0,338	0,555	0,338	0,322	0,343	0,330	0,335	0,341	0,335	x	xx	xx	xx	xx	xx	
600MW	1	0,467	0,340	0,400	0,506	xx																
100MW	1+1	0,054	0,337	0,380	0,388	0,587	0,330	0,331	0,338	0,333	0,342	0,336	0,341	0,340	0,339	0,369	0,312	0,365	0,385	0,392	0,733	
200MW	1+1	0,089	0,338	0,337	0,388	0,467	0,337	0,339	0,338	0,336	0,335	0,339	0,330	0,334	0,335	0,395	0,359	0,672	0,523	0,419	0,729	0,703
300MW	1+1	0,057	0,337	0,337	0,367	0,339	0,334	0,338	0,340	0,335	0,339	0,338	0,337	0,338	0,335	0,544	0,708	0,710	0,693	0,431	0,547	
400MW	1+1	0,056	0,337	0,336	0,336	0,528	0,331	0,337	0,338	0,339	0,337	0,336	0,338	0,333	0,335	0,335	0,551	0,739	0,672	0,704	0,674	0,615
500MW	1+1	0,160	0,336	0,337	0,337	0,337	0,338	0,555	0,338	0,322	0,343	0,330	0,335	0,341	0,335	x	0,740	0,642	0,728	0,403	0,580	
600MW	1+1	0,044	0,337	0,337	0,343	0,333	0,338	0,547	0,336	0,331	0,337	0,334	0,338	0,335	0,338	0,345	x	0,660	0,530	0,568	0,818	0,576
100MW	2	0,070	0,338	0,337	0,482	0,334	0,335	0,334	0,335	0,337	0,339	0,335	0,337	0,335	0,335	0,416	0,437	0,413	0,632	0,588	0,570	0,485
200MW	2	0,047	0,338	0,337	0,399	0,339	0,337	0,338	0,340	0,339	0,339	0,335	0,337	0,336	0,335	0,337	0,337	0,612	0,670	0,393	0,624	x
300MW	2	0,070	0,338	0,337	0,339	0,337	0,340	0,338	0,338	0,341	0,339	0,340	0,336	0,335	0,335	0,335	0,335	0,644	0,646	0,650	0,639	0,651
400MW	2	0,069	0,336	0,337	0,449	0,336	0,335	0,338	0,338	0,340	0,332	0,340	0,335	0,339	0,340	0,335	0,335	0,636	0,685	0,443	x	0,718
500MW	2	0,057	0,339	0,337	0,342	0,334	0,349	0,335	0,339	0,338	0,341	0,339	0,338	0,337	0,338	0,337	0,338	0,639	0,461	0,462	0,541	0,417
600MW	2	0,042	0,339	0,337	0,332	0,338	0,331	0,326	0,341	0,338	0,587	0,338	0,339	0,331	0,331	0,693	0,635	0,543	0,469	0,695	0,451	0,792
100MW	3	0,041	0,337	0,336	0,336	0,585	0,337	0,332	0,336	0,337	0,340	0,337	0,337	0,335	0,335	x	0,584	0,563	0,399	0,434	0,625	0,418
200MW	3	0,041	0,336	0,332	0,342	0,334	0,334	0,333	0,336	0,337	0,337	0,338	0,337	0,338	0,338	0,338	0,338	0,661	0,544	0,418	0,519	0,566
300MW	3	0,041	0,336	0,336	0,334	0,327	0,337	0,331	0,340	0,333	0,333	0,335	0,338	0,337	0,338	0,338	0,338	0,539	0,471	0,427	0,487	0,625
400MW	3	0,041	0,332	0,336																		